

И. В. ПОРОЙКОВ

СПРАВОЧНИК
ПО РЕНТГЕНОМЕТРИИ

ЛЕНИНГРАД

1936

МОСКВА

И. В. ПОРОЙКОВ

СПРАВОЧНИК
ПО РЕНТГЕНОМЕТРИИ

ГОСУДАРСТВЕННОЕ ИЗДАТЕЛЬСТВО ПО СТАНДАРТИЗАЦИИ
„СТАНДАРТГИЗ“

Главный ред. изд-ва *М. И. Гаммерман*. Ответствен. ред. С. З. Скарский. Технич. ред. Р. Н. Моссач. Ленторлит № 16617. Тираж 1500. Сдано в набор 10.II 1936. Подписано к печати 8.VII—1936 г. Форм. бумаги 60×92. Уч. авт. л. 19,23. Объем 13², печ. л. Знаков в печ. л. 52224. Изд. № 19. Индекс. № 2—3—9. Заказ № 255. 2-я тип. Трансжелдориздата им. Лиханкова. Ленинград, ул. Правды, 15.

ПРЕДИСЛОВИЕ

Настоятельная необходимость в книге справочного характера по рентгенометрии обусловлена тем широким распространением, которое получили рентгеновские лучи как средство воздействия и анализа в разнообразных научно-исследовательских и прикладных областях науки и техники.

Обширный опытный материал различного рода измерений в области рентгеновских лучей, столь необходимый в практике их применения, разбросан по различным книгам и журналам общего и специального назначения, вследствие чего не всегда может быть использован без затруднений.

Преодолеть это неудобство и ставит себе целью предлагаемый читателю справочник, являющийся практическим дополнением к книге автора „Физические основы дозиметрии рентгеновских лучей“, вышедшей в 1934 г.

При подборе материала автор стремился затрагивать только те вопросы, которые в той или иной мере связаны с характеристикой и действием самого рентгеновского излучения, а также подсчетами в области рентгенометрии. Последовательность изложения, по возможности, подчинена логической связи между отдельными вопросами с целью облегчить пользование справочником.

Табличные данные специальных отделов книги сопровождаются краткими указаниями, цель которых — не только служить пояснениями к таблицам, но также ознакомить с существом вопроса и возможностями использования данных в тех или иных случаях.

Источниками для составления справочника служили фундаментальные труды по основным разделам рентгенометрии и наиболее тщательные исследования по отдельным вопросам этой области знания.

ОТДЕЛ I

ФИЗИЧЕСКИЕ ВЕЛИЧИНЫ

§ 1. Единицы измерений

Численные значения коэффициентов в физических формулах зависят от выбора единиц измерений.

В абсолютной системе единиц за основные величины приняты:
для механических явлений:

длина l [L],
масса m [M],
время t [T],

для тепловых явлений присоединяется температура T ,

для электрических и магнитных явлений факторы среды ϵ , μ .

Все прочие единицы в этой системе являются производными.

В технической системе механических единиц за одну из основных величин принята не масса, а сила, и значит единица массы является производной.

Из возможного множества абсолютных систем в физике обычно употребляется система единиц С. Г. С. (centimetre, gramme, seconde).¹

В абсолютной электростатической системе единиц (С. Г. С. Е.) фактор среды ϵ принимается нулевой размерности.

В абсолютной электромагнитной системе единиц (С. Г. С. М.) фактор среды μ принимается нулевой размерности.

Выбор практических единиц диктуется исключительно удобствами применения их, но в основном обычно придерживаются международных соглашений.

§ 2. Соотношения между различными единицами измерений

Углы:

$$\text{Радиан} = \frac{360}{4\pi} = 57^{\circ},2958.$$

Стер-радиан — телесный угол вырезающий на сферической поверхности, описанной из вершины угла, площадь численно равную квадрату радиуса сферы.

Угловые: градус ($^{\circ}$) = $1,745 \cdot 10^{-2}$ рад.

минута ($'$) = $2,91 \cdot 10^{-4}$ рад.

секунда ($''$) = $4,85 \cdot 10^{-6}$ рад.

¹ Иногда для удобства численных выражений применяют систему М. Т. С. (metre, tonne, seconde).

Длины:

Километр	$(км) = 10^3$	метров	$= 10^5$	сантиметров
Гектометр	$(гм) = 10^2$	"	$= 10^4$	"
Метр	$(м) = 1$	"	$= 10^2$	"
Дециметр	$(дм) = 10^{-1}$	"	$= 10$	"
Сантиметр	$(см) = 10^{-2}$	"	$= 1$	"
Миллиметр	$(мм) = 10^{-3}$	"	$= 10^{-1}$	"
Микрон	$(μ) = 10^{-6}$	"	$= 10^{-4}$	"
Милли микрон (шм)	$= 10^{-9}$	"	$= 10^{-7}$	"
Ангстрем	$(\text{Å}) = 10^{-10}$	"	$= 10^{-8}$	"
Микромикрон (μμ)	$= 10^{-12}$	"	$= 10^{-10}$	"
Английский ярд	$= 3$	футам	$= 36$	дюймам $= 0,914$ м.
Английский дюйм	$= 25,4$	мм,		
Английская миля (London)	$= 5 \cdot 10^3$	футов	$= 1,524$	км.
Английская миля	$= 1760$	ярд	$= 1,609$	км.
Сажень	$= 7$	футам	$= 2,1336$	м; верста
			$= 5 \cdot 10^2$	саженей $= 1,0668$ км.
Географическая миля	$= 1/15$	экваториального градуса	$= 7,4204$	км.
Немецкая морская миля	$= 1/60$	меридианного градуса	$= 1,852$	км.
Немецкая земная миля	$= 7,5$	км.		
Японская миля (Ri)	$= 36$	Tchō	$= 3,927$	км.
Парсек (расстояние до звезды с паралаксом в $1''$)	$= 31 \cdot 10^{12}$	км.		
Световой год	$= 9,5 \cdot 10^{12}$	км	$= 5,9 \cdot 10^{12}$	английских миль.

Поверхности:

Ар (a)	$= 10^2$	м ² .
Гектар ($га$)	$= 10^2 a$	$= 10^4$ м ² $= 10^{-2}$ км ² .
Английский акр	$= 0,404685$	га.
Американская секция	$= 640$	акрам $= 2,59$ км ² .

Объемы:

Литр ($л$)	$= 10^{-3}$	м ³	$= 1$ дм ³ .
Гектолитр ($гл$)	$= 10^2$	л	$= 10^{-1}$ м ³ $= 10^2$ дм ³ .
Английский имперский галлон	$= 4,5435$	л.	
Американский винный галлон	$= 3,7852$	л.	
Четверть	$= 2,099$	гал.	
Ведро	$= 12,299$	л.	

Весы, силы, давления:

Килограмм ($кг$)	$= 10^3$	г	$= 10^6$	сг	$= 10^6$	мг.
Тонна ($т$)	$= 20$	центнерам	$= 1000$	кг.		
Английский и американский фунт	$= 0,45359$	кг.				
Английская унция	$= 1/16$	фунта	$= 28,3495$	г.		
Фунт	$= 1/40$	пуда	$= 0,40953$	кг		
Пуд	$= 16,3805$	кг.				

Золотник = 4,2657 г.

Карат = 0,205 г.

Грамм = g дин (g — ускорение силы тяжести).

Стен = 10^8 дин.

Физическая атмосфера = 760 мм Hg = 1,0332 кг/см² =
= 1013253 бар (дин/см²).

Бар = 10^{-4} пьезам (стен/м²).

Время:

Секунда (сек.) = $1/60$ минуты = $1/3600$ часа.

Час = $1/24$ средних солнечных суток.

Температуры:

1° Цельсия = $\frac{4}{5}^\circ$ Реомюра = $\frac{5}{9}^\circ$ Фаренгейта.

Формулы перевода:

$$T^\circ(\text{Ц}) = \frac{5}{4} T^\circ(\text{Р}) = \frac{5}{9} (T^\circ(\Phi) - 32).$$

$$T^\circ(\text{Р}) = \frac{4}{5} T^\circ(\text{Ц}) = \frac{4}{9} (T^\circ(\Phi) - 32).$$

$$T^\circ(\Phi) = \frac{9}{5} T^\circ(\text{Ц}) + 32 = \frac{9}{4} T^\circ(\text{Р}) + 32.$$

Абсолютный термодинамический нуль = 0° Кельвина = — 273°,20 Ц.

Электричество и магнетизм:

Количество электричества Q :

Кулон (C) = $3 \cdot 10^9$ С. Г. С. Е. = 10^{-1} С. Г. С. М.

Ампер-час (Ah) = $10,8 \cdot 10^{12}$, = 360 , = 3 600 С

Потенциал U:

Вольт (V) = $\frac{1}{300}$, = 10^3 ,

Емкость С (электрическая):

Фарауда (F) = $9 \cdot 10^{11}$, = 10^{-9} ,

Сила тока J:

Ампер (A) = $3,10^9$, = 10^{-1} ,

Сопротивление R (электрическое):

Ом (Ω) = $\frac{1}{9 \cdot 10^{11}}$, = 10^9 ,

Проводимость σ (электрическая):

Сименс (S) = $9 \cdot 10^{11}$, = 10^{-9} ,

Частота f, в:

Герц (Hz) = 1 , = 1 ,

Напряженность магнитного поля H:

Эрстед (Ое) = $3 \cdot 10^{10}$, = 1 ,

Магнитная индукция B :

$$\text{Гаусс (G)} = \frac{1}{3 \cdot 10^{10}} \quad \text{C. G. S. E.} = 1 \quad \text{C. G. S. M.}$$

Магнитное сопротивление R_m :

$$= 9 \cdot 10^{20} \quad \text{=} 1 \quad \text{--}$$

Поток магнитной индукции Φ :

$$\text{Максвелл (M)} = \frac{1}{3 \cdot 10^{10}} \quad \text{=} 1 \quad \text{--}$$

Магнитодвижущая сила F :

$$\text{Гельберт (Gb)} = 12\pi \cdot 10^{10} \quad \text{=} 4\pi \quad \text{--}$$

$$\text{Ампер-виток (Aw)} = 12\pi \cdot 10^9 \quad \text{=} \frac{4\pi}{10} \quad \text{--}$$

Индуктивность L , M :

$$\text{Генри (H)} = \frac{1}{9 \cdot 10^{11}} \quad \text{=} 10^9 \quad \text{--}$$

Энергия и работа:

$$\text{Джоуль (J)} = 10^7 \text{ эргов} = 0,24 \text{ малой калории} = 10^7 \text{ C. G. S. E.} = 10^7 \text{ C. G. S. M.}$$

$$\text{Килограммометр (кгм)} = 9,80665 \text{ джоулей} = 9,8 \cdot 10^7 \text{ эргов.}$$

Большая калория (Cal) (15° C) = 426,8 кгм Малая " (cal) (15° C) = $4,182 \cdot 10^7$ эргов	$\left. \begin{array}{l} \text{механический} \\ \text{эквивалент} \\ \text{тепла} \end{array} \right\}$
---	---

Мощность:

$$\text{Ватт (W)} = \frac{\text{Джоуль}}{\text{сек.}} = 0,24 \frac{\text{мал. кал.}}{\text{сек.}} = 10^7 \text{ C.G.S.E.} = 10^7 \text{ C.G.S.M.}$$

$$\text{Лошадиная сила (PS)} = 75 \frac{\text{кгм}}{\text{сек.}} = 735,499 \text{ W.}$$

$$\text{Английская лошадиная сила (HP)} = 550 \frac{\text{фунтофутов}}{\text{сек.}} = 745,695 \text{ W.}$$

$$\text{Биловатт (kW)} = 10^3 \text{ W} = 1,36 \text{ PS} = 0,24 \frac{\text{больш. кал.}}{\text{сек.}}$$

Специальные единицы:

$$\text{Ваттсекунда} = 0,102 \text{ кгм} = 1 \text{ джоулю.}$$

$$\text{Биловаттчас} = 1,36 \text{ лош. сил. час (P. S. h)} = 864 \text{ больш. кал.}$$

$$\text{Люмен } (\lambda = 0,556 \mu) = \frac{1}{620} \text{ W.}$$

Рентген (r) = $0,11 \frac{\text{эрг.}}{\text{см}^3}$.

Электрон-вольт = $1,59 \cdot 10^{-12}$ эрга.

§ 3. Разные величины

Гравитационная постоянная $\gamma = 7,10^{-8} \frac{\text{см}^3}{\text{г} \cdot \text{сек}^2}$.

Ускорение силы тяжести на уровне моря под широтой 45°

$$g = 980,665 \frac{\text{см}}{\text{сек}^2}.$$

Объем грамм-молекул идеального газа при 0° и 760 мм Hg:

$$V = 22,412 \text{ см.}$$

Число Авогадро (число молекул в граммоле): $N_0 = 6,060 \cdot 10^{23}$.

Число Лошмидта (число молекул в см^3 газа при 0° и 760 см Hg).

$$\pi = 2,7 \cdot 10^{19}.$$

Универсальная газовая постоянная $R = 8,315 \cdot 10^7 \frac{\text{эрг.}}{\text{град} \cdot \text{моль}} =$
 $= 0,08204 \frac{\text{литр-атм.}}{\text{град} \cdot \text{моль}} = 1,985 \frac{\text{мал. кал.}}{\text{град} \cdot \text{моль}}.$

Больцманновская постоянная $k = \frac{R}{N_0} = 1,37 \cdot 10^{-16} \frac{\text{эрг.}}{\text{град} \cdot \text{моль}}.$

Радиус молекулы водорода $r = 10^{-8} \text{ см.}$

Масса атома водорода $m_H = 1,662 \cdot 10^{-24}$.

Средняя длина свободного пути молекулы водорода при 0° и 760 см Hg:

$$\lambda_{H_2} = 1,84 \cdot 10^{-5} \text{ см}$$

Скорость света в пустоте: $c = 3 \cdot 10^{10} \frac{\text{см}}{\text{сек}}.$

Скорость звука в воздухе при 0° $v_0 = 331,7 \frac{\text{см}}{\text{сек}}$

Постоянная Фарадея (электрохимический эквивалент) 1 грамм-эквивалент вещества переносит 96 494 кулонов электричества.

Заряд электрона $e = 4,77 \cdot 10^{-10}$ С. Г. С. Е. = $1,59 \cdot 10^{-19}$ С. Г. С. М.

Масса, так называемого, покоящегося электрона $m_0 = 9 \cdot 10^{-28}$ з.

Отношение заряда к массе покоящегося электрона

$$\frac{e}{m_0} = 5,31 \cdot 10^{17} \text{ С. Г. С. Е.} = 1,77 \cdot 10^7 \text{ С. Г. С. М.}$$

Масса протона $m_p = 1,66 \cdot 10^{-24}$

Постоянная закона Стефана-Больцмана $\sigma = 5,6 \cdot 10^{-5}$ (С. Г. С.).

Постоянная в законе Вина $k = 0,2884 \frac{\text{см}}{\text{град}}.$

Постоянная Ридберга в предположении неподвижного ядра:

$R \approx 109\,737 \text{ см}^{-1}$ или для частоты $R = C \cdot R \approx 3,27 \cdot 10^{15} \text{ сек}^{-1}$.

Постоянная Планка $h = 6,547 \cdot 10^{-27}$ эрг \times сек. (квант действия)

§ 4. Механические величины

Таблица 1

Объемы и моменты инерции

Тело	Ось	Объем	Момент инерции
Шар радиуса r	диаметр	$\frac{4}{3} \pi r^3$	$M \frac{2}{5} r^2$
Эллипсоид с осями $2a, 2b, 2c$	ось $2a$	$\frac{4}{3} \pi \cdot a \cdot b \cdot c$	$M \frac{b^2 + c^2}{5}$
Сферич. слой, внешний рад. r , внутренний r_1	диаметр	$\frac{4}{3} \pi (r^3 - r_1^3)$	$M \frac{2}{5} \frac{r^5 - r_1^5}{r^3 - r_1^3}$
Круговой цилиндр длины $2a$, радиуса r	ось $2a$	$2\pi \cdot a \cdot r^2$	$M \frac{r^2}{2}$
То же	перпенд. к оси через центр	То же	$M \left(\frac{r^2}{4} + \frac{a^2}{3} \right)$
Полый цилиндр, длина $2a$, внешний радиус r , внутренний r_1	ось $2a$	$2\pi \cdot a (r^2 - r_1^2)$	$M \left(\frac{r^2 + r_1^2}{2} \right)$
То же	перпенд. к оси через центр	То же	$M \left(\frac{r^2 + r_1^2}{4} + \frac{a^2}{3} \right)$
Прямоугольный параллелепипед. размерами $2a, 2b, 2c$	ось $2a$	$8 \cdot a \cdot b \cdot c$	$M \left(\frac{b^2 + c^2}{3} \right)$
Ромбическая призма, длина $2a$, диагонали $2b, 2c$	ось $2a$	$4 \cdot a \cdot b \cdot c$	$M \frac{b^2 + c^2}{6}$
То же	параллельно диагонали $2b$, через центр	То же	$M \left(\frac{a^2}{3} + \frac{c^2}{6} \right)$

Во всех этих случаях оси проходят через центр тяжести. M обозначает массу тела. Чтобы получить момент инерции около какой-либо оси, параллельной одной из указанных осей, но не проходящей через центр тяжести, нужно к указанному моменту прибавить величину, равную произведению массы тела на квадрат расстояния между осями.

Таблица 2

Ускорение силы тяжести для разных широт на уровне моря

Широта в градусах	$g \frac{\text{см}}{\text{сек}^2}$	Широта в градусах	$g \frac{\text{см}}{\text{сек}^2}$
0	978,030	50	981,066
5	978,069	55	981,503
10	978,186	60	981,914
15	978,376	65	982,285
20	978,634	70	982,606
25	978,952	75	982,866
30	979,321	80	983,058
35	979,730	85	983,176
40	980,166	90	983,216
45	980,616	Москва	981,523
		Ленинград	981,908

§ 5. Газы

Поправка отсчета барометра на температуру

Для приведения отсчитанной при температуре t высоты барометра H к 0° от отсчета нужно отнять величину $(0,000182 - \beta) Ht$, где $0,000182$ — коэффициент расширения ртути, β — коэффициент расширения шкалы.

Таблица составлена для латунной шкалы: коэффициент расширения латуни принят $0,000019$. Для стеклянной шкалы числа необходимо увеличить на $0,008t$ (см. последний столбец).

Таблица 3

Темпера- тура	Отсчитанная высота барометра в мм							Для стекл. шкалы $008t$
	720	730	740	750	760	770	780	
1°	0,12	0,12	0,12	0,12	0,12	0,13	0,13	0,01
2	0,23	0,24	0,24	0,24	0,25	0,25	0,25	0,02
3	0,35	0,36	0,36	0,37	0,37	0,38	0,38	0,02
4	0,47	0,48	0,48	0,49	0,50	0,50	0,51	0,03
5	0,59	0,59	0,60	0,61	0,62	0,63	0,64	0,04
6	0,70	0,71	0,72	0,73	0,74	0,75	0,76	0,05
7	0,82	0,83	0,84	0,86	0,87	0,88	0,89	0,06
8	0,94	0,95	0,96	0,98	0,99	1,00	1,02	0,06
9	1,06	1,07	1,09	1,10	1,11	1,13	1,14	0,07
10	1,17	1,19	1,21	1,22	1,24	1,26	1,27	0,08
11	1,29	1,31	1,33	1,34	1,36	1,38	1,40	0,09
12	1,41	1,43	1,45	1,47	1,49	1,51	1,53	0,10
13	1,53	1,55	1,57	1,59	1,61	1,63	1,65	0,10
14	1,64	1,67	1,69	1,71	1,73	1,76	1,78	0,11
15	1,76	1,78	1,81	1,83	1,86	1,88	1,91	0,12
16	1,88	1,90	1,93	1,96	1,98	2,01	2,03	0,13
17	2,00	2,02	2,05	2,08	2,11	2,13	2,16	0,14
18	2,11	2,14	2,17	2,20	2,23	2,26	2,29	0,14
19	2,23	2,26	2,29	2,32	2,35	2,38	2,42	0,15
20	2,35	2,38	2,41	2,45	2,48	2,51	2,54	0,16
21	2,46	2,50	2,53	2,57	2,60	2,64	2,67	0,17
22	2,58	2,62	2,65	2,69	2,73	2,76	2,80	0,18
23	2,70	2,74	2,77	2,81	2,85	2,89	2,92	0,18
24	2,82	2,86	2,89	2,93	2,97	3,01	3,05	0,19
25	2,93	2,97	3,02	3,06	3,10	3,14	3,18	0,20
26	3,05	3,09	3,14	3,18	3,22	3,26	3,31	0,21
27	3,17	3,21	3,26	3,30	3,34	3,39	3,43	0,22
28	3,29	3,33	3,38	3,42	3,47	3,51	3,56	0,22
29	3,40	3,45	3,50	3,55	3,59	3,64	3,69	0,23
30	3,52	3,57	3,62	3,67	3,72	3,77	3,81	0,24

Таблица 4

Приведение объема газа к 0°

Табл. 4 дает значения двучлена расширения $1 + \alpha t$ для различных t
($\alpha = 0,003670$)

t	$1 + \alpha t$	t	$1 + \alpha t$	Пропорциональные части		
1°	1,00367	21°	1,07707	0,1°	36,7	10^{-5}
2	1,00734	22	1,08074	0,2	73,4	10^{-5}
3	1,01101	23	1,08441	0,3	110,1	10^{-5}
4	1,01468	24	1,08808	0,4	146,8	10^{-5}
5	1,01835	25	1,09175	0,5	183,5	10^{-5}
6	1,02202	26	1,09542	0,6	220,2	10^{-5}
7	1,02569	27	1,09909	0,7	256,9	10^{-5}
8	1,02936	28	1,10276	0,8	293,6	10^{-5}
9	1,03303	29	1,10643	0,9	330,3	10^{-5}
10	1,03670	30	1,11010			
11	1,04037	31	1,11377			
12	1,04404	32	1,11744			
13	1,04771	33	1,12111			
14	1,05138	34	1,12478			
15	1,05505	35	1,12845			
16	1,05872	36	1,13212			
17	1,06239	37	1,13579			
18	1,06606	38	1,13946			
19	1,06973	39	1,14313			
20	1,07340	40	1,14680			

Таблица 5

Плотность сухого воздуха

Плотность воздуха d при температуре t° и давлении H мм ртутного столба вычислена по формуле

$$d = \frac{0,001293}{1 + 0,000367 \cdot t} \cdot \frac{H}{760}$$

Составные части воздуха

	Ки- сло- род	Азот	Аргон	Криптон	Ксеноны	Неон	Гелий	Углеки- слый газ
По объ- ему	21,0	78,05	0,932	0,000005	0,0000006	0,00124	0,00041	0,030-
По весу	23,2	75,5	1,29	0,000014	0,0000027	0,00085	0,000054	0,046

Темпе- ратура	Давление							
	720 мм	730 мм	740 мм	750 мм	760 мм	770 мм	780 мм	
0°	0,00 1225	0,00 1242	0,00 1259	0,00 1276	0,00 1293	0,00 1310	0,00 1327	
1	1221	1238	1255	1272	1288	1305	1322	
2	1216	1233	1250	1267	1284	1301	1318	
3	1212	1229	1245	1262	1279	1296	1313	
4	1207	1224	1241	1258	1274	1291	1308	
5	1203	1220	1236	1253	1270	1287	1303	
6	1199	1215	1232	1249	1265	1282	1299	
7	1194	1211	1228	1244	1261	1277	1294	
8	1190	1207	1223	1240	1256	1273	1289	
9	1186	1202	1219	1235	1252	1268	1285	
10	1182	1198	1215	1231	1247	1264	1280	
11	1178	1194	1210	1227	1243	1259	1276	
12	1173	1190	1206	1222	1239	1255	1271	
13	1169	1186	1202	1218	1234	1251	1267	
14	1165	1181	1198	1214	1230	1246	1262	
15	1161	1177	1193	1210	1226	1242	1258	
16	1157	1173	1189	1205	1221	1238	1254	
17	1153	1169	1185	1201	1217	1233	1249	
18	1149	1165	1181	1197	1213	1229	1245.	
19	1145	1161	1177	1193	1209	1225	1241	
20	1141	1157	1173	1189	1205	1221	1236	
21	1137	1153	1169	1185	1201	1216	1232	
22	1134	1149	1165	1181	1197	1212	1228.	
23	1130	1145	1161	1177	1193	1208	1224	
24	1126	1142	1157	1173	1189	1204	1220.	
25	1122	1138	1153	1169	1185	1200	1216.	
26	1118	1134	1149	1165	1181	1196	1212	
27	1115	1130	1146	1161	1177	1192	1208	
28	1111	1126	1142	1157	1173	1188	1204	
29	1107	1123	1138	1153	1169	1184	1200	
30	1104	1119	1134	1150	1165	1180	1196	

Таблица 6

Упругость насыщенного пара воды и ртути

а) Вода: Упругость дана в мм ртутного столба через одну десятую градуса
В пределах от $-5,9^{\circ}$ до 0° дана упругость пара над льдом

t	Упругость пара в мм									
	0	1	2	3	4	5	6	7	8	9
-5	3,01	2,98	2,96	2,93	2,91	2,88	2,86	2,83	2,81	2,79
-4	3,28	3,25	3,22	3,20	3,17	3,14	3,11	3,09	3,06	3,04
-3	3,57	3,54	3,51	3,48	3,45	3,42	3,39	3,36	3,33	3,31
-2	3,88	3,85	3,82	3,78	3,75	3,72	3,69	3,66	3,63	3,60
-1	4,22	4,18	4,15	4,11	4,08	4,04	4,01	3,98	3,95	3,91
-0	4,58	4,54	4,51	4,47	4,43	4,40	4,36	4,32	4,29	4,25
+0	4,58	4,61	4,65	4,68	4,72	4,75	4,79	4,82	4,86	4,89
1	4,93	4,96	5,00	5,03	5,07	5,11	5,14	5,18	5,22	5,26
2	5,29	5,33	5,37	5,41	5,45	5,49	5,53	5,57	5,60	5,64
3	5,69	5,73	5,77	5,81	5,85	5,89	5,93	5,97	6,02	6,06
4	6,10	6,14	6,19	6,23	6,27	6,32	6,36	6,41	6,45	6,50
5	6,54	6,59	6,64	6,68	6,73	6,78	6,82	6,87	6,92	6,27
6	7,01	7,06	7,11	7,16	7,21	7,26	7,31	7,36	7,41	7,46
7	7,51	7,57	7,62	7,67	7,72	7,78	7,83	7,88	7,94	7,99
8	8,05	8,10	8,16	8,21	8,27	8,32	8,38	8,44	8,50	8,55
9	8,61	8,67	8,73	8,79	8,85	8,91	8,97	9,03	9,09	9,15
10	9,21	9,27	9,33	9,40	9,46	9,52	9,59	9,65	9,72	9,78
11	9,85	9,91	9,98	10,04	10,11	10,18	10,25	10,31	10,38	10,45
12	10,52	10,59	10,66	10,73	10,80	10,87	10,94	11,02	11,09	11,16
13	11,23	11,31	11,38	11,46	11,53	11,61	11,68	11,76	11,84	11,91
14	11,99	12,07	12,15	12,23	12,30	12,38	12,46	12,55	12,63	12,71
15	12,79	12,87	12,96	13,04	13,12	13,21	13,29	13,38	13,46	13,55
16	13,64	13,72	13,81	13,90	13,99	14,08	14,17	14,26	14,35	14,44
17	14,53	14,63	14,72	14,81	14,91	15,00	15,10	15,19	15,29	15,38
18	15,48	15,58	15,68	15,78	15,87	15,97	16,07	16,18	16,28	16,38
19	16,48	16,59	16,69	16,79	16,90	17,00	17,11	17,22	17,32	17,43
20	17,54	17,65	17,76	17,87	17,98	18,09	18,20	18,31	18,43	18,54
21	18,66	18,77	18,89	19,00	19,12	19,24	19,35	19,47	19,59	19,71
22	19,83	19,96	20,08	20,20	20,32	20,45	20,57	20,70	20,82	20,95
23	21,07	21,20	21,33	21,46	21,59	21,72	21,85	21,98	22,12	22,25
24	22,38	22,52	22,65	22,79	22,93	23,07	23,20	23,34	23,48	23,62
25	23,76	23,91	24,05	24,19	24,34	24,48	24,63	24,77	24,92	25,07
26	25,22	25,37	25,52	25,67	25,82	25,97	26,13	25,28	26,43	26,59
27	26,75	26,91	27,06	27,22	27,38	29,54	27,70	27,87	28,03	28,19
28	28,36	28,52	28,69	28,86	29,03	29,19	29,36	29,54	29,71	29,88
29	30,05	30,23	30,40	30,58	30,75	30,93	31,11	31,29	31,47	31,65
30	31,83	32,02	32,20	32,39	32,57	32,76	32,95	33,14	33,33	33,52

б) Ртуть: t — температура по Цельсию,
 p — упругость пара в мм ртутного столба

t	p	t	p	t	p	t	p	t	p в атмо- сферах
0	0,0002	70	0,0503	140	1,854	220	32,01	450	4,25
10	0,0005	80	0,0920	150	2,811	240	56,64	500	7,00
20	0,0013	90	0,1628	160	4,179	260	95,94	600	22,0
30	0,0030	100	0,2793	170	6,102	280	156,29	700	46,0
40	0,0065	110	0,4655	180	8,758	300	245,85	800	86,0
50	0,0134	120	0,7557	190	12,37	350	669,77	900	145,0
60	0,0265	130	1,197	200	17,22	400	1566,1	1000	260,0

Таблица 7

Механические и тепловые свойства газов

Плотность при 0 в 760 м.м. и Massa g Masse kg	Средний коэффициент расширения 0°—100° 0°—100°	Тепло- емкость $C_p =$ $0^{\circ} - 100^{\circ}$ (удельная)	$\frac{C_p}{C_v}$	Критическое состояние		Жидкое состояние		Точка отверже- ния			
				Темпера- тура типа	Давле- ние в атмо- сферах	Темпера- туре испаре- ния	Плот- ность				
Водород	1,02928	1,000	0,0003675	0,243	1,399	—140,0	39,0	—192	51	—	—
Водород	0,00985	0,06930	0,0003661	3,41	1,41	—240,0	14,0	—252,8	123	0,07	—259
Гелий	0,1787	0,1878	0,0003663	1,25	1,64	—268,0	2,8	—287	—	0,15	—272
Азот	1,2514	0,9672	0,0003668	0,249	1,41	—146,0	35,0	—195,7	52	0,79	—210,5
Кислород	1,4292	1,1055	0,0003674	0,218	1,40	—118,0	50,0	—181,4	51	1,41	—233
Хлор	3,1674	2,490	0,0003633	0,1225	1,336	141,0	83,9	—37,6	62	1,50	—102
Углек газ	1,9768	1,5291	0,000371	0,2025	1,30	31,2	73	—79,1	142,4	—<1,7	1,53
Аммиак	0,07708	0,5962	0,000386	0,520	1,262	130,0	115,0	—33,5	321	0,63	—75,5
Метан	0,7168	0,5545	0,000369	0,5929	1,316	—95,5	50,0	—164,7	—	0,42	184
Аргон	1,7909	1,3775	0,0003668	0,123	1,667	—117,4	52,9	—186	—	1,41	—188
Неон	0,9002	0,6963	—	—	1,642	—205,0	29,0	—220	—	1,24	—243
Окись азота	1,3402	1,0367	0,0003719	0,2317	1,394	—93,5	71,2	—150,5	—	1,27	—160,5
Бром	7,1388	5,5243	—	0,0553	1,293	302,2	—	58,75	44	2,90	—7,3
Селенистый газ	2,9206	2,2638	0,0003908	0,154	1,256	155,4	78,9	—10	96	1,43	—72,7
Сероводород	1,5302	1,1908	—	0,245	1,324	99,6	89,5	—61,5	—	1,33	—83,0

§ 6. Жидкости

Механические и тепловые свойства жидкостей

Таблица 8

Плотность $\rho / \text{см}^3$	°C	Коэф. расширения на 100° К	Отвердевание		Кипение		Крит. состоян.			
			Темп- рата плоты	Темп- рата кип.	Ге- ометрия плоты	Темп- рата кип.				
0,829	0	0,000095	0,554	-117	-	+188	120	348	-	
1,038	0	0,000086	0,491	-	8	+183,9	110	426	52,4	
0,792	20	0,00149	0,528	-	94,6	-	+56,6	125	233	52
0,879	20	0,00124	0,413	+	5,48	30	+80,2	94	280	47,9
1,000	4	0,000207	0,999	0	79,6	+100	537	374	217,5	-
1,269	0	0,000505	0,576	-	20	42,5	+290	-	-	-
0,8	0	0,000955	0,51	-	-	-	-	-	-	-
0,810	0	0,00119	0,600	-	97	-	+66	262	240	78,5
1,22	18	0,00103	0,523	-	8,6	53	+100,8	120	-	-
1,21	18	0,00083	0,358	-	5	22	+211	79,1	-	-
0,918	15	0,000721	0,471	-	20	-	+300	-	-	-
13,596	0	0,00018	0,033	-	88,87	2,82	+357	65	1077	456
0,736	0	0,00166	0,564	-	118	27,4	+34,6	90,5	193,8	35,6
1,203	0	0,00122	0,242	-	110	-	+46,2	83,8	278	72,0
0,873	16	0,00094	0,12	-	-	+161	74	-	-	-
0,89	18	0,00109	0,402	-	92	-	+110,3	86	320,6	41,0
1,053	18	0,00107	0,487	+	16,7	46	+118,5	97	321,6	57,1
1,480	18	0,00127	0,237	-	65	19,2	+61,2	68,5	260	54,9
0,807	0	0,0112	0,593	-	114	-	+78	206	243	63

Поверхностное натяжение

 α , выраженное в динах на см

Вещество	t°	α
Вода	15	73
Олово	240	352
Ртуть	18	491
Свинец	335	473
Платина	2000	1819
Ацетон	16,8	23,3
Бензол	15	29
Хлороформ	20	28,3
Серный эфир	20	16,8
Этиловый спирт	20	22
Глицерин	17	65
Оливковое масло	20	32
Мыльная жидкость	—	30
Керосин	18	30
Толуло	18	28,6

§ 7. Твердые тела

Таблица 10

Некоторые свойства твердых тел

Плотность $\frac{\text{г}}{\text{см}^3}$	Коэффициент расширения $0^\circ - 100^\circ$ $\alpha \cdot 10^4$	Теплопро- водн. при мал. кал. 18° см. сек.	Удельное сопроти- вление при 18°		Temperatur- ra koefici- enten $T_{\text{Temperatur}}$ $T_{\text{Temperatur}}$	$\rho \cdot 10^6$	Удельное сопроти- вление при 18°
			Горка плавления	Горка кипения T_{kippung} $T_{\text{Temperatur}}$			
Алюминий	2,65—2,80	20	0,2220	0,219	658,7	76,8	2,8
Бронза	8,78—8,89	—	0,171—0,212	0,104	—	—	+ 3,9
Висмут	9,67—10,0	20	0,132	0,031	271	12,64	18
Вольфрам	18,6—19,1	—	0,048	0,037	3400	—	+ 0,5
Воск	0,96—0,97	—	3,1—15,2	—	62	42,3	+ 4,2
Вуда сплав.	—	9,70	—	0,04	65,5	8,4	+ 4,6
Дерево черное	—	—	—	—	—	—	—
Дерево дубовое	—	—	—	—	—	—	—
Дерево еловое	—	—	—	—	—	—	—
Золото	18,88—19,33	—	0,05—0,5	0,033	0,70	1063	15,9
Железо	7,85—7,88	—	0,04—0,58	0,032	0,14	1530	23—33
Сталь	7,60—7,80	—	0,147	0,119	0,11	—	10—70
Чугун	7,03—7,73	—	0,106	0,12	—	—	+ 3,5
Инвар	7,9	—	0,114	—	0,12	—	+ 5,0
Иридий	22,42	17	0,000	—	0,011	—	—
Калмий	8,37—8,67	—	0,032	0,032	0,14	2350	13,66
Калций	0,87	20	0,316	0,057	0,22	320,9	15,7
Кварц	1,54	—	0,83	0,17	0,23	62,3	—
Кварц оси	—	—	—	0,17	—	810	—
Кварц оси	2,65	—	0,134	0,19	0,016	—	+ 4,2
Кварц плавленный	2,2	—	0,08	—	0,033	—	+ 5,8
Кобальт	8,71	21	0,0057	—	0,0024	—	+ 3,6
Константан	8,88	—	0,124	0,109	—	1480	—
Латунь	8,44—8,70	—	0,1523	0,10	0,054	—	+ 0,002
	около 900	—	0,188—0,193	0,088	0,26	—	+ 2

Приложение 10

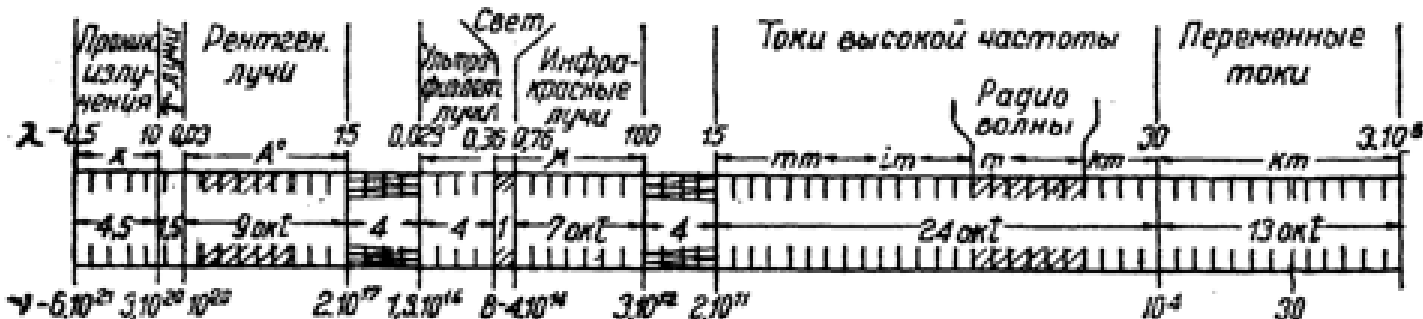
Плотность	Коэффициент расширения $0^{\circ}-100^{\circ}$ $\alpha \cdot 10^4$	Теплопроводн. води при 18° см. сек.	Точка плавления	Удельное сопротив- ление при 18°	Temperatur- ra koefici- enten	
					$\rho \cdot 10^6$	10^{16}
Лед	0,917	0	0,51	—	—	—
Магнезий	2,0	—	0,238	—	—	—
Магний	1,741	—	0,261	0,25	0,38	+ 4,006
Манганин.	8,5	—	0,181	0,10	0,052	+ 4,1
Медь	8,90—8,95	20	0,167	0,094	0,92	+ 4,4
Натрий	0,9712	20	2,26	0,25	0,32	+ 4,4
Нейзельбер	8,90—8,45	—	0,184	0,095	0,07	+ 0,7
Никелев	8,77	—	—	—	около 1000	+ 0,22
Никром	8,60—8,90	—	0,128	0,11	0,14	—
Олово	—	—	—	—	—	—
Одимир	22,5	—	0,230	0,055	0,157	+ 0,4
Палладий	12,16	—	0,0657	0,091	—	+ 4,7
Парфин	0,87—0,91	—	0,118	0,059	0,168	+ 4,2
Платина	21—37	—	1,07—4,7	0,09	0,0006	+ 3,5
Пробка	0,22—0,26	—	0,027	0,027	0,166	+ 3,9
Сажа	11,34	20	0,271	0,03	—	—
Себаподиум	1,92—2,07	—	1,18	0,175	—	+ 4,2
Серебро	10,42—10,60	—	0,189	0,056	0,001	+ 4,0
Стекло фильтр.	2,4—2,8	—	0,09	0,16	0,0018	—
Стекло проб.	2,0—5,9	—	0,079	0,12	0,0014	—
Титан	16,6	—	—	0,033	0,18	—
Углерод аммиак	3,52	—	0,0118	0,11	—	—
Фарфор	2,25	—	0,079	0,16	0,0025	+ 3,3
Цинк	6,90—7,19	—	0,298	0,04	0,2657	- 0,8
Эбонит	1,15	—	0,84	—	419,4	+ 4,1

§ 8. Оптические свойства тел

Таблица 11

Длины волн наиболее ярких линий видимого атомного спектра некоторых элементов в ангстремах (10^{-8} см)

Na 5889,965 5895,932 K 4044 4047 5802 7665 7699 Li 3915 4132 4602 6104 6707,846 Cs 3877 3899 4555 4593 5835 5864 6010 6213 6723 6974 Rb 4202 4216 5432 5724 6207 6299 Sr 4607 Tl 3776 5351	Cu 4023 4063 5105,543 5153,251 5218,202 5700 5782,090 5782,159 Ag 4055 4212 4669 5209,081 5465,489 5472 5623 Zn 4680,138 4722,164 4810,535 49 12 49 5 6103 6362,345 Hg 3650 3655 4047 4358 5460,742 5769,598 5790,659 6124 6235 6908 7082	Ni 4402 4715 5036 5477 Sn 3861 4525 4586 5799 6453 Mg 3829 3832 3838 5167 5173 5184 5529 Cd 4678 4799,9088 5085,8220 6438,4696 H 3886 3889 3970 4102 4341 4861 6563 He 3888,646 4026,189 4471,477 4713,143 4921,929 5015,675 5875,618 6678,149 7065,188
--	---	--



Показатели преломления линии D

Сурьмяный блеск	5,12	Каменная соль.....	1,544
Алма:	2,419	Канадский бальзам.....	1,54
Фосфор белый	2,144	Крон легкий.....	1,515
Фосфор в сероуглероде ..	1,97	Сильвин	1,49
Флинт самый тяжелый.. .	1,9	Скипидар	1,48
Бромист. мышьяк.....	1,78	Илавиковый шпат.....	1,434
Флинт тяжелый.....	1,75	Этиловый спирт	1,363
Иодистый метил	1,74	Вода.....	1,333
Монобромонафталин.....	1,66	Хлор	1,000773
Сероуглерод	1,63	Сернистый газ.....	1,00067
Исландский шпат:		Сероводород	1,00064
обыкновенный луч....	1,659	Углекислый газ.....	1,000450
необыкновенный луч...	1,486	Аммиак	1,000379
Крон тяжелый	1,615	Азот.....	1,000298
Флинт легкий.....	1,609	Воздух.....	1,000292
Кассиево масло.....	1,605	Кислород	1,000271
Кварц:		Водород	1,000139
необыкновенный луч...	1,5533	Гелий	1,000034
обыкновенный луч....	1,5442		
плавленный.....	1,4584		

§ 9. Таблица атомных весов химических элементов

Веса даны по системе $\text{He}^4 = 4 \cdot M$ — масса ядра

Z	обозн. ение	Элемент	Средний атомный вес	Изотопы М	Процент	Точные атомные веса ядер	Дефекты массы
0	n	Нейтрон ...	1,06	1	—	1,006	—
1	H	Водород ...	1,0074	{ 1 2	99,98 0,02	1,0069 2,0121	—
2	He	Гелий.....	4,0011	4	100	4,0000	—
3	Li	Литий	6,94	{ 6 7	6 94	6,009 7,008	0,004 0,001
4	Be	Бериллий ..	9,02	{ 8 9	0,1 99,9	—	—
5	B	Бор.....	10,82	{ 10 11	22 78	10,008 11,005	0,005 0,014
6	C	Углерод ...	11,9971	{ 12 13	99,9 0,1	11,9971 12,997	0,0029 0,009
7	N	Азот	14,0008	{ 14 15	99,9 0,1	14,0000	0,013
8	O	Кислород ..	15,995	{ 16 17	99,8 0,03	15,9914	0,0086
9	F	Фтор.....	18,99	{ 18 19 20	0,16 100	(17,981) 18,940	(0,0031) 0,029
10	Ne	Неон.....	20,17	{ 21 22	—	19,9892	—
11	Na	Натрий	22,987	{ 23	100	—	—
12	Mg	Магний	24,20	{ 24 25 26	—	—	—
13	Al	Алюминий	26,96	{ 27	100	—	—
14	Si	Кремний ...	28,06	{ 28 29 30	—	—	—
15	P	Фосфор	30,97	{ 31 32	100	30,966	0,055
16	S	Сера	32,047	{ 33 34	—	—	—
17	Cl	Хлор.....	35,437	{ 35 37 39	59 41 1	34,964 36,960	0,055 0,066
18	Ar	Аргон	39,92	{ 36 40	0,7 99,3	35,957 39,049	0,048 0,075
19	K	Калий	39,083	{ 39 41	94,8 5,2	—	—
20	Ca	Кальций ...	40,07	{ 40	—	—	—
21	Sc	Скандий ...	45,13	{ 44 45	—	—	—
22	Ti	Титан.....	47,87	{ 48 (50)	100	—	—

Продолжение таблицы

Z	Со- зан- че- ни- е	Элемент	Средний атомный вес	Изотопы M	Процент	Точные атомные веса ядер	Дефекты массы
23	V	Ванадий ...	50,92	51 50 52 53 54 55	100 4,9 81,6 10,4 3,1 —	—	—
24	Cr	Хром	52,01	56 54 55 59	— — 100 —	51,920	0,10
25	Mn	Марганец ..	54,92	55	—	—	—
26	Fe	Железо	55,81	54 56	— —	—	—
27	Co	Кобальт....	58,92	59	100	—	—
28	Ni	Никель ...	58,66	58 60	— —	57,911	0,11
29	Cu	Медь.....	63,52	63 65 64 65 66 67 68 69 70	— — 48,0 2,5 25,9 5,3 17,1 0,85 0,38	—	—
30	Zn	Цинк.....	65,35	69 71 70 71 72	— — — — —	63,903	0,117
31	Ga	Галлий	69,69	73 74 75 76 77	— — — — —	—	—
32	Ge	Германий ..	72,57	73 74 75 76 77	— — — — —	—	—
33	As	Мышьяк ...	74,9	75 74 76	— — —	74,894	0,17
34	Se	Селен.....	79,2	77 78 80 82	— — — —	—	—
35	Br	Бром	79,871	79 81 78 80	50,65 49,35 0,4 2,5	78,886 80,882 77,884 79,883	0,18 0,20 0,15 0,165
36	Kr	Криптон ...	82,9	82 83 84 86	11,8 11,8 56,8 16,7	81,883 82,882 83,883 85,883	0,18 0,184 0,19 0,20
37	Rb	Рубидий ...	85,38	85 87	— —	—	—
38	Sr	Стронций ..	87,58	86 88	— —	—	—
39	Y	Иттрий	88,88	89	—	—	—

Продолжение таблицы

Z	Обозн ение	Элемент	Средний атомный вес	Изотопы M	Процент	Точные атомные веса ядер	Дефекты массы
				{	—	—	—
40	Zr	Циркон . . .	91,1	90	—	—	—
				92	—	—	—
				94	—	—	—
				96	—	—	—
41	Nb	Ниобий . . .	93,2	—	—	—	—
				92	14,2	—	—
				94	10,2	—	—
				95	15,5	—	—
42	Mo	Молибден ..	95,9	96	17,8	—	—
				97	9,6	—	—
				98	23,0	97,892	0,19
				100	9,8	99,891	0,20
43	Ma	Мазурний . . .	—	—	—	—	—
44	Ru	Рутений . . .	101,59	—	—	—	—
45	Rh	Родий	102,8	—	—	—	—
46	Pd	Палладий ..	106,6	—	—	—	—
47	Ag	Серебро	107,821	107	—	—	—
				109	—	—	—
				110	—	—	—
				111	—	—	—
48	Cd	Кадмий . . .	112,34	112	—	—	—
				113	—	—	—
				114	—	—	—
				116	—	—	—
49	In	Индий	114,7	115	—	—	—
				112	1,07	111,858	0,21
				114	0,74	113,856	0,23
				115	0,44	114,854	0,24
				116	14,19	115,852	0,24
				117	9,81	116,853	0,25
50	Sn	Олово.	118,63	118	21,48	117,850	0,26
				119	11,02	118,849	0,26
				120	27,04	119,847	0,27
				121	2,96	120,846	0,28
				122	5,03	121,845	0,29
				124	6,19	123,842	0,30
51	Sb	Сурьма	121,69	121	—	—	—
				123	—	—	—
				126	—	—	—
52	Te	Теллур . . .	127,4	128	—	—	—
				130	—	—	—
53	I	Иод.	126,862	127	—	126,864	0,28
				124	0,10	129,867	0,23
				126	0,10	125,865	0,24
				128	2,30	127,863	0,26
				129	27,10	—	—
54	Xe	Ксеноны.	130,1	130	4,20	129,861	0,27
				131	20,70	130,860	0,28
				132	26,40	131,859	0,29
				134	10,30	133,857	0,30
				136	8,80	135,855	0,31
55	Cs	Цезий.	132,74	133	—	—	—

Продолжение таблицы

Z	Обозначение	Элемент	Средний атомный вес	Изотопы M	Процент	Точные атомные веса ядер	Дефекты массы
56	Ba	Барий.....	137,28	{ (136) 138	—	—	—
57	La	Лантан	138,82	139	—	—	—
58	Ce	Церий	140,1	{ 140 142	—	—	—
59	Pr	Празеодим ..	140,8	141	—	—	—
				{ 142	—	—	—
60	Nd	Неодим	144,17	{ 144 (145) 146	—	—	—
61	Jl	Иллиний ...	—	—	—	—	—
62	Sm	Самарий ...	150,35	—	—	—	—
63	Eu	Европий ...	151,9	—	—	—	—
64	Gd	Гадолиний ..	156,9	—	—	—	—
65	Tb	Тербий.....	159,1	—	—	—	—
66	Dy	Диспрозий ..	162,38	—	—	—	—
67	Ho	Хольмий... .	163,4	—	—	—	—
68	Er	Эрбий.....	167,5	—	—	—	—
69	Tu	Тулий	169,3	—	—	—	—
70	Yb	Иттербий ..	172,9	—	—	—	—
71	Cp	Кассиопей ..	174,9	—	—	—	—
72	Hf	Гафний	178,5	—	—	—	—
73	Ta	Тантал	181,2	—	—	—	—
74	W	Вольфрам ..	184,0	—	—	—	—
75	Re	Рений.....	188,6	—	—	—	—
76	Os	Осмий	190,9	—	—	—	—
77	Ir	Иридий	192,93	—	—	—	—
78	Pt	Платина ...	195,1	—	—	—	—
79	Au	Золото.....	197,10	{ 196 198 199	0,1 9,9 16,4	195,910 197,909 198,909	0,31 0,32 0,32
				{ 200 201 202 204	23,8 13,7 29,3 6,8	199,908 200,908 201,907 203,906	0,33 0,34 0,34 0,36
80	Hg	Ртуть	200,49	{ 203 205	—	—	—
				{ 207 (AcC*) 208 (ThC*) 210 (RaC*)	30 70	—	—
81	Tl	Таллий	—	{ 206 (RaG) 207 (AcD) 208 (ThD)	86,8 9,3 3,9	205,905 206,905 207,905	0,35 0,35 0,36
				{ (209) 210 (RaD) 211 (AcB) 212 (ThB) 212 (RaB)	—	—	—
82	Pb	Свинец	207,11	{ 210 (RaD) 211 (AcB) 212 (ThB) 212 (RaB)	—	—	—

Продолжение таблицы

В химии обычно применяется система, в которой средний вес нейтрального атома кислорода принят равным 16. В системе Астона $O^{1e} = 16$ средний атомный вес кислорода будет 16,00035.

ОТДЕЛ II

РЕНТГЕНОВСКАЯ АППАРАТУРА

§ 1. Электротехнические величины и зависимости

Количество электричества заряженного конденсатора: $Q = C \cdot U$.

Энергия заряженного конденсатора: $W = \frac{CU^2}{2} = \frac{QU}{2}$.

Сила притяжения обкладок плоского конденсатора: $F = \frac{\epsilon}{8\pi} \cdot \frac{S}{d^2} \cdot U^2$.

Напряженность электрического поля $|E| = \text{grad } U$:

Точечного заряда q

$$E = \frac{q}{\epsilon r^2};$$

Линейного заряда при плотности электричества $\sigma = \frac{q}{L}$:

$$E = \frac{2\sigma}{\epsilon r}.$$

Плоского заряда при плотности электричества $\sigma = \frac{q}{s}$:

$$E = \frac{2\pi\sigma}{\epsilon}$$

Между плоскостями: при однородном диэлектрике

$$E = \frac{4\pi\sigma}{\epsilon} = - \frac{U}{d};$$

при слоистом диэлектрике

$$|E_x| = \text{grad } U_k = \frac{U}{\epsilon_k \sum_i \frac{d_i}{\epsilon_i}}.$$

Шарового конденсатора

$$|E_x| = \text{grad } U_x = \frac{RrU}{x^2(R-r)}.$$

Цилиндрического конденсатора

$$|E_x| = \text{grad } U = \frac{U}{x \ln \frac{R}{r}}.$$

Характеристики изолирующих материалов

Наименование материала	Объемное сопротивление	Поверхностное сопротивление	
		в $\Omega \text{ см}$	
		Относительн. влажность 30%	Относительн. влажность 80%
1. Асфальт естественный	$10^{14} - 10^{15}$	—	—
2. Вакелит.....	$10^{11} - 10^{14}$	$10^{10} - 10^{12}$	$10^8 - 10^{10}$
3. Вакелизированный картон	$10^{11} - 10^{13}$	$10^{10} - 10^{-2}$	$10^8 - 10^9$
4. Бумага кабельная сухая.....	$10^{12} - 10^{13}$	—	
5. Бумага кабельная пропитанная....	10^{15}	—	—
6. Галалит	10^{10}	6×10^{10}	6×10^8
7. Дерево (дуб) парафинированное....	10^{13}	10^{13}	10^9
8. Кварц плавленный.....	10^{16}	10^{15}	3×10^{12}
9. Лакированная материя (эксцельсиор)	$10^{12} - 10^{13}$	—	—
10. Масло трансформаторное	$10^{12} - 10^{13}$	—	—
11. Миканит	10^{15}	10^{14}	10^9
12. Мрамор.....	$10^9 - 10^{11}$	10^{11}	10^7
13. Парафин	$10^{15} - 10^{16}$	10^{16}	4×10^{15}
14. Прессшпан	$10^{11} - 10^{12}$	—	—
15. Сера	10^{17}	10^{16}	10^{14}
16. Слюдя мусковит.....	$10^{15} - 10^{17}$	10^{14}	10^{11}
17. Слюдя флагопит.....	$10^{12} - 10^{14}$	10^{13}	4×10^{10}
18. Стекло.....	$10^{11} - 10^{12}$	10^{14}	10^7
19. Стеатит (мелалит)	$10^{14} - 10^{15}$	$10^{13} - 10^{14}$	—
20. Фибра.....	$10^9 - 10^{10}$	3×10^{10}	10^7
21. Фарфор	$10^{14} - 10^{15}$	10^{13}	10^9
22. Шеллак	$10^{15} - 10^{16}$	2×10^{14}	6×10^8
23. Шифер.....	$10^7 - 10^{10}$	2×10^8	10^7
24. Церезин	10^{16}	8×10^{16}	3×10^{14}
25. Целлулонид	2×10^{10}	8×10^{10}	8×10^8
26. Целлон.....	2×10^{10}	6×10^{11}	6×10^8
27. Электроза желтая	10^{15}	10^{15}	5×10^8
28. Эбонит	10^{17}	6×10^{16}	10^{19}

Таблица 13

при температуре $t = 15 \div 25^{\circ} \text{ C}$

Электрическ. прочность		Диэлектрический коэффициент	Угол потерь	Частота, при которой производилось измерение угла потерь пер./сек. (Hz)
Толщина в м.м	Пробивное напряжение в кв.мм			
3,6	14	2,7	—	—
1	13 — 23	5,2 — 8	10 — 30	10^6
10	8 — 10	4,5 — 6	10 — 45	50
0,15	6 — 9	2,3 — 3,5	5 — 10	350
0,15	10 — 25	3,4 — 3,7	15 — 20	50
—	6 — 8,5	—	—	—
10	4 — 7	4,5 — 5	—	—
1,2	30	3,5 — 3,6	0,12	10^6
0,1	50 — 80	3,5 — 5,5	20 — 30	—
1	$5 \propto 15^1$	2,15 — 2,5	5	50
3	15 — 20	4,5 — 6	—	—
10	3,5 — 5,5	8,3	—	—
2	15 — 30	2,1 — 2,2	0,05	500
1	9 — 14	2,5 — 4	26	10^4
—	—	2,4 — 4	—	—
0,05	120 — 200	6 — 7,5	0,1 — 0,2	5×10^3
0,05	80 — 150	4 — 6	—	—
—	10 — 40	5,5 — 10	0,4 — 10	10^6
10	15	4,1 — 5	5 — 10	—
3	5 — 11	2,5 — 8,2	70	10^6
20	6 — 15	4,5 — 6,5	12 — 27	50
—	—	2,7 — 3,7	—	—
10	1,5 — 3	6 — 7,5	90	950
0,2	15	2,1 — 2,2	0,03	500
0,2	10 — 25	4 — 16	40	10^6
0,1	15 — 25	3,5	40	1000
3	25	—	—	—
5	8 — 10	2 — 3,5	2,5 — 23	1000

¹ Сильно зависит от чистоты масла

Таблица 14

Диэлектрический коэффициент при 18°

Асфальт	2,7	Плавиковый шпат	6,8
Анилин	7,2	Сильвин	4,9
Ацетон	21	Соль каменная	5,6
Бензол	2,3	Слюдя	6—8
Бумага	2—2,5	Спирт метилов	33
Вода	81	этиловый	26
Гуттаперча	4,4	Стекло обыкнов.	5—7
Дерево (сухое)	2—8	Оптическ. стекло	до 10
Исландск. шпат		Сера	3,6—4,3
оси	8	Сероуглерод	2,6
⊥ оси	8,5	Скипидар	2,3
Касторовое масло	4,67	Толуол	2,3
Каучук	2,2—3	Фарфор	6
Кварц		Шеллак	3—3,7
оси	4,7	Эбонит	2,7
⊥ оси	4,4	Эфир серный	4,4
Кварц плавленн.	3,7	Янтарь	2,8
Керосин	2	Сернистый газ	1,010
Ксиол	2,2—2,6	Аммиак	1,0084
Мрамор	8,3	Углекислый газ	1,00097
Муравьиная кислота	58	Азот	1,000606
Нитробензол	36	Воздух	1,000590
О-Нитротолуол	27,8	Кислород	1,000547
Парафин	2	Водород	1,000264
Парафиновое масло	2,2	Гелий	1,000074

Сопротивление изоляторов

При оценке изолирующей способности изолирующих материалов приходится принимать в расчет не только величину ρ , аналогичную удельному сопротивлению, но и некоторую величину σ , называемую поверхностным сопротивлением и представляющую собой сопротивление куска поверхности длиной и шириной в 1 см. Эта величина зависит от влажности воздуха.

М а т е р и а л .	σ 50% влаж- ности	σ 70% влаж- ности	σ 90% влаж- ности	ρ $\Omega \text{ см}$
Кварц плавленный.....	8×10^{12}	2×10^9	2×10^8	5×10^{16}
Эбонит новый.....	3×10^{15}	1×10^{14}	2×10^9	1×10^{16}
Слюда бесцветная.....	2×10^{12}	4×10^{11}	8×10^9	2×10^{17}
Сера	7×10^{15}	4×10^{15}	1×10^{14}	1×10^{17}
Янтарь	6×10^{14}	2×10^{14}	1×10^{11}	5×10^{16}
Каучук	6×10^{14}	3×10^{14}	2×10^{14}	5×10^{16}
Парафин.....	9×10^{15}	7×10^{15}	6×10^{15}	1×10^{16}
Шеллак.....	6×10^{13}	3×10^{12}	7×10^9	1×10^{16}
Сургуч	2×10^{16}	6×10^{14}	9×10^{13}	8×10^{15}
Стекло особого сорта.....	4×10^{12}	4×10^9	1×10^9	8×10^{15}
Воск.....	6×10^{14}	6×10^{11}	5×10^{14}	2×10^{15}
Фарфор неглазурованный	6×10^{14}	7×10^9	5×10^7	3×10^{14}
Парафинир. красное дерево	4×10^{12}	5×10^{11}	7×10^9	4×10^{13}
Стекло зеркальное.....	5×10^{10}	6×10^7	2×10^7	2×10^{13}
Мрамор итальянск.....	3×10^9	2×10^8	2×10^7	1×10^{11}
Пэллуплонд.....	5×10^{10}	2×10^{10}	2×10^9	2×10^{10}
Фибра красная.....	2×10^{10}	3×10^9	2×10^8	5×10^9
Слоновая кость.....	5×10^9	1×10^9	3×10^7	2×10^8
Шифер	9×10^7	3×10^7	1×10^7	1×10^8

Таблица 16

Амплитудные значения разрядных напряжений в КЧ для случая двух одинаковых сфер по Франку

Расстояние в см	а) $D = 2$ см		$D = 5$ см	
	Один шар заземлен	Симметричное распределение напряжения	Один шар заземлен	Симметричное распределение напряжения
0,1	4,65	4,65	4,65	4,65
0,2	8,13	8,08	8,03	8,03
0,3	11,44	11,29	11,28	11,28
0,4	14,54	14,41	14,40	14,35
0,5	17,60	17,45	17,47	17,33
0,6	20,68	20,48	20,44	20,21
0,7	23,59	23,39	23,36	23,16
0,8	26,30	26,15	26,25	26,03
0,9	28,90	28,73	29,08	28,83
1,0	31,20	31,20	31,90	31,70
1,1	33,35	33,50	34,71	34,45
1,2	35,28	35,68	37,45	37,22
1,3	36,98	37,76	40,22	39,93
1,4	37,50	38,31	42,97	42,57
1,5	40,03	41,70	45,54	45,20
1,6	41,33	43,47	48,04	47,70
1,7	42,71	45,20	50,48	50,22
1,8	43,84	46,83	52,80	52,73
1,9	44,85	48,20	55,00	55,10
2,0	45,80	49,70	57,25	57,48
2,5	49,98	55,72	67,20	68,50
3,0	52,70	60,48	75,60	78,20
4,0	56,87	67,08	88,63	94,87
5,0	—	—	97,75	108,0
6,0	—	—	104,8	118,5
7,0	—	—	110,2	127,1
8,0	—	—	114,3	134,3
9,0	—	—	117,8	139,9
10,0	—	—	120,7	144,8

Расстояние в см	6) $D = 6,25 \text{ см}$		$D = 10 \text{ см}$	
	Один шар заземлен	Симметричное распределение напряжения	Один шар заземлен	Симметричное распределение напряжения
0,1	4,65	4,65	4,65	4,65
0,2	8,04	8,04	8,05	8,05
0,3	11,29	11,28	11,28	11,28
0,4	14,40	14,37	14,37	14,37
0,5	17,46	17,38	17,43	17,43
0,6	20,53	20,35	20,38	20,38
0,7	23,58	23,30	23,28	23,28
0,8	26,35	25,98	26,20	26,17
0,9	29,25	28,90	29,13	29,02
1,0	32,00	31,70	32,05	31,88
1,1	34,75	34,50	34,91	34,62
1,2	37,56	37,26	37,77	37,40
1,3	40,29	40,00	40,60	40,20
1,4	43,04	42,74	43,40	43,00
1,5	45,72	45,44	46,18	45,72
1,6	48,45	48,12	48,98	48,38
1,7	51,10	50,77	50,86	50,20
1,8	53,60	53,25	54,52	53,78
1,9	56,11	55,80	57,35	56,51
2,0	58,64	58,38	60,10	59,20
2,5	69,92	70,10	73,10	72,20
3,0	79,70	80,85	85,40	84,50
4,0	95,60	99,45	107,2	107,1
5,0	107,3	115,2	125,0	127,0
6,0	116,2	128,2	139,8	144,7
7,0	123,2	136,9	152,0	160,5
8,0	128,8	148,0	162,0	174,7
9,0	133,8	155,7	170,7	187,6
10,0	137,6	162,9	177,0	198,5
12,0	143,8	173,0	189,8	217,4
14,0	—	—	199,5	233,0
15,0	—	—	202,2	239,5
16,0	—	—	206,1	245,7
18,0	—	—	210,8	256,0
20,0	—	—	216,1	264,8

Расстояние в см	в) $D = 12,5$ см		$D = 15$ см	
	Один шар заземлен	Симметричное распределение напряжения	Один шар заземлен	Симметричное распределение напряжения
0,1	4,65	4,65	4,64	4,64
0,5	17,46	17,46	17,48	17,48
1,0	32,07	32,00	32,08	32,02
1,5	46,62	46,23	46,27	45,90
2,0	59,96	59,37	60,00	59,48
2,5	73,40	72,58	73,67	72,70
3,0	86,22	85,40	86,94	85,82
4,0	110,1	109,4	111,8	110,4
5,0	130,8	131,2	134,1	133,4
6,0	148,5	150,9	154,3	154,7
7,0	164,0	168,6	172,1	174,1
8,0	177,2	184,9	188,3	192,0
9,0	188,0	200,0	202,0	208,6
10,0	197,7	213,6	213,8	224,3
12,0	213,6	237,0	233,3	251,7
14,0	225,0	257,0	249,3	275,0
15,0	230,3	265,5	255,8	285,2
16,0	235,0	273,3	262,4	294,5
18,0	242,8	287,2	272,4	312,2
20,0	249,6	299,4	280,7	327,0
25,0	262,0	322,4	296,1	357,7
30,0	—	—	307,5	379,7

Расстояние в см	г) $D = 25$ см		$D = 50$ см	
	Один шар заземлен	Симметричное распределение напряжения	Один шар заземлен	Симметричное распределение напряжения
0,5	17,53	17,53	17,58	17,58
1,0	32,15	32,15	32,35	32,35
1,5	46,30	46,20	46,50	46,50
2,0	60,18	59,90	60,13	60,13
2,5	73,80	73,45	71,00	71,00
3,0	87,18	86,70	87,50	87,40
4,0	113,8	112,5	114,2	113,8
5,0	139,3	137,7	140,7	139,7
6,0	163,6	161,8	166,3	164,8
7,0	187,1	184,7	192,0	190,5
8,0	208,2	206,7	217,2	215,1
9,0	228,9	227,7	242,3	239,0
10,0	247,2	248,0	265,8	263,4
12,0	281,0	284,8	312,3	309,4
14,0	309,6	317,7	357,0	352,8
15,0	322,3	333,7	377,4	374,0
16,0	333,4	348,8	397,6	394,0
18,0	353,7	377,5	436,0	433,8
20,0	370,4	401,8	471,7	471,5
25,0	405,2	455,4	549,6	558,5
30,0	431,0	498,0	612,0	634,5
35,0	451,0	532,0	664,2	703,7
40,0	464,3	560,7	706,0	765,0
50,0	484,3	604,0	769,0	865,7
60,0	—	—	817,0	947,0
70,0	—	—	852,5	1013
80,0	—	—	879,8	1068
90,0	—	—	902,0	1112
100,0	—	—	918,0	1148

Расстояние в см	д) $D = 75 \text{ см}$		$D = 100 \text{ см}$	
	Один шар заземлен	Симметричное распределение напряжения	Один шар заземлен	Симметричное распределение напряжения
1,0	32,47	32,44	32,38	32,38
2,0	60,50	60,50	60,54	60,54
3,0	87,73	87,73	88,00	88,00
4,0	113,5	113,3	114,8	114,8
5,0	141,3	140,8	141,7	141,7
6,0	167,5	166,8	168,1	168,0
7,0	193,7	192,4	194,3	193,8
8,0	219,2	217,3	220,3	219,7
9,0	244,7	242,3	246,2	245,1
10,0	270,0	267,2	272,0	270,4
12,0	319,5	315,8	322,0	319,6
14,0	368,0	363,2	371,6	369,0
16,0	414,7	409,0	420,0	416,0
18,0	459,0	454,3	468,0	463,0
20,0	503,0	496,5	514,3	509,2
25,0	603,2	598,0	626,0	618,7
30,0	693,0	692,3	729,2	722,4
35,0	771,0	778,3	825,0	819,2
40,0	840,0	857,0	912,3	909,0
50,0	950,0	998,0	1060	1075
60,0	1031	1120	1181	1221
70,0	1098	1220	1277	1350
80,0	1151	1307	1355	1467
90,0	1193	1394	1423	1570
100,0	1228	1449	1478	1659
110,0	1258	1508	1566	1813
120,0	1284	1559	1566	1813
150,0	1336	1678	1655	1993
200,0	—	—	1753	2198

Расстояние в см	e) $D = 150$ см		$D = 200$ см	
	Один шар заземлен	Симметричное распределение напряжения	Один шар заземлен	Симметричное распределение напряжения
5,0	141,8	141,8	142,5	142,5
10,0	273,0	272,8	273,8	273,8
15,0	400,3	398,6	402,8	401,5
20,0	523,4	520,0	528,4	525,6
25,0	642,0	636,5	650,0	645,5
30,0	759,0	751,0	770,0	765,0
35,0	870,5	858,5	887,4	878,0
40,0	975,0	962,0	1000	989,0
50,0	1170	1157	1215	1199
60,0	1344	1338	1417	1397
70,0	1494	1502	1602	1584
80,0	1626	1651	1770	1760
90,0	1738	1792	1922	1925
100,0	1837	1922	2060	2078
110,0	1920	2044	2182	2220
120,0	1995	2152	2293	2354
150,0	2173	2435	2558	2725
200,0	2373	2785	2863	3200
250,0	2496	3040	3075	3560
300,0	2579	3222	3155	3840
350,0	--	--	3322	4067
400,0	--	--	3397	4240

Для получения эффективных значений переменного напряжения делить при правильной форме кривой на \sqrt{Z} .

Поправка на давление и температуру.

U_0 — напряжение, взятое из таблиц, соответствующее нормальным условиям (760 мм Hg; 20° C).

U — напряжение, соответствующее данным условиям

$$U = U_0 \frac{(273 + t) 760}{(273 + 20) p},$$

где p — давление в мм Hg, t — температура в градусах Цельсия.

Емкость единичных проводящих тел

Шар радиуса R в среде с диэлектрическим коэффициентом ϵ :

$$C = \epsilon R.$$

Эллипсоид вращения вокруг большой оси a ($b = c$ и $\epsilon^2 = \frac{a^2 - b^2}{a^2}$):

$$C = \frac{2 \cdot \epsilon \cdot a \cdot e}{\ln \frac{1+e}{1-e}}.$$

Эллипсоид вращения вокруг малой оси b ($a = c$ и $\epsilon^2 = \frac{a^2 - b^2}{a^2}$):

$$C = \frac{\epsilon \cdot a \cdot e}{\arcsin e}.$$

Два соприкасающихся шара радиуса R :

$$C = 2\pi R \ln 2.$$

Тонкий диск радиуса R :

$$C = \frac{2\pi R}{\pi}.$$

Круговой цилиндр радиуса R и длины $L \gg R$:

$$C = \frac{\epsilon L}{2 \ln \frac{L}{R}}.$$

Емкость конденсаторов

Плоский конденсатор при равномерном поле и однородном диэлектрике:

$$C = \frac{\epsilon S}{4\pi d}.$$

Плоский конденсатор при слоистом диэлектрике:

$$C = \frac{S}{4\pi \sum_{i=1}^n \frac{d_i}{\epsilon_i}}.$$

Два параллельных диска радиуса R толщиной b , на расстоянии d ($R \gg b$ и $R \gg d$):

$$C = \frac{\epsilon R^2}{4d} + \frac{\epsilon R}{4\pi} \left[1 + \ln \frac{16\pi(b+d)R}{d^2} + \frac{b}{d} \cdot \ln \frac{b+d}{d} \right].$$

Две длинных параллельных ленты длиной L , шириной b , на расстоянии d :

$$C = 0,0254L \left\{ \frac{\pi b + d}{d} + \ln \left[\frac{\pi b + d}{d} + \ln \frac{\pi b + d}{d} \right] \right\}.$$

Шаровой конденсатор:

$$C = \frac{\epsilon Rr}{R - r}.$$

Две сферы радиусов R_1 и R_2 при расстоянии между центрами d ($d \gg R_1$ и $d \gg R_2$):

$$C = \frac{\epsilon R_1 R_2 d}{(R_1 + R_2)d - 2R_1 R_2}.$$

Плоскость и сфера радиуса R , центр которой на расстоянии d ($d \gg R$):

$$C = \epsilon R \left(1 + \frac{R}{2d} \right).$$

Цилиндрический конденсатор длиной L :

$$C = \frac{\epsilon L}{2 \ln \frac{R}{r}}.$$

Два эксцентрических цилиндра радиусов R_1 и R_2 , расположенных один внутри другого при расстоянии между осями d :

$$C = \frac{\epsilon L}{2 \ln \frac{1}{2R_1 R_2} [R_1^2 + R_2^2 + A^2]},$$

где

$$A^2 = \sqrt{(R_1^2 - R_2^2)^2 - 2d^2(R_1^2 + R_2^2) - d^4}.$$

Два параллельных цилиндра радиусов R_1 и R_2 один вне другого, при расстоянии между осями d :

$$C = \frac{\epsilon L}{2 \ln \frac{1}{2R_1 R_2} [d^2 - (R_1^2 + R_2^2) + A^2]},$$

где

$$A^2 = \sqrt{d^4 - 2d^2(R_1^2 + R_2^2) + (R_1^2 - R_2^2)^2};$$

если

$$d \gg R_1 \text{ и } d \gg R_2,$$

то

$$C = \frac{\epsilon L}{2 \ln \frac{d^2}{R_1 R_2}}.$$

Плоскость и цилиндр радиуса R , длиной L , при расстоянии оси от плоскости d :

$$C = \frac{\epsilon L}{2 \ln \left[\frac{d + \sqrt{d^2 + R^2}}{R} \right]};$$

если

$$L \gg d \quad R,$$

то

$$C = \frac{\epsilon L}{2 \ln \frac{2d}{R}}.$$

Термоэлектродвигущие силы (при комнатной температуре) (Микровольты на градус)

Платина — платина + 10% родий	— 6,4
* — железо	18,1
* — висмут	~ 500
" — теллур	~ 500
Висмут — теллур	~ 550
Висмут — сурьма	~ 100
Константан — медь	~ 40
* — серебро	~ 40
* — железо	52

Сила электрического тока: $i = \frac{dq}{dt}$.

Мощность в цепи постоянного тока: $P = J \cdot U$.

Активная мощность в цепи переменного тока: $P_a = J \cdot U \cos \phi$.

Активная мощность в цепи трехфазного тока при равномерной нагрузке фаз: $P_{\perp \Delta} = \sqrt{3} J_a U_a \cos \phi$.

Термоионная эмиссия:

$$\text{плотность тока эмиссии по Ричардсону } j = a T^{\frac{1}{2}} \cdot e^{-\frac{b}{T}},$$

$$\text{или, более точно, по Дешмэну } j = a T^2 e^{-\frac{b}{T}}.$$

Для практически существенных значений температуры T обе формулы дают близкие результаты.

По Дешмэну для всех чистых металлов

$$a = 60,2 \frac{A}{cm^2 \text{град}^2}.$$

Для оксидов "а" изменяется в широких границах от 10^{-12} до 167.

Постоянная $b = \frac{A_s}{k}$, где A_s — работа выхода электрона из данного металла и k постоянная Больцманна.

Таблица 17

Значение постоянной b по Дешмэну

Z	Э л е м е н т	b
20	Кальций.....	$26,0 \times 10^3$
39	Итрий.....	$37,0 \times 10^3$
40	Цирконий.....	$38,0 \times 10^3$
42	Молибден	$50,0 \times 10^3$
58	Церний.....	$35,6 \times 10^3$
73	Тантал	$51,0 \times 10^3$
74	Вольфрам	$52,6 \times 10^3$
92	Уран.....	$38,0 \times 10^3$

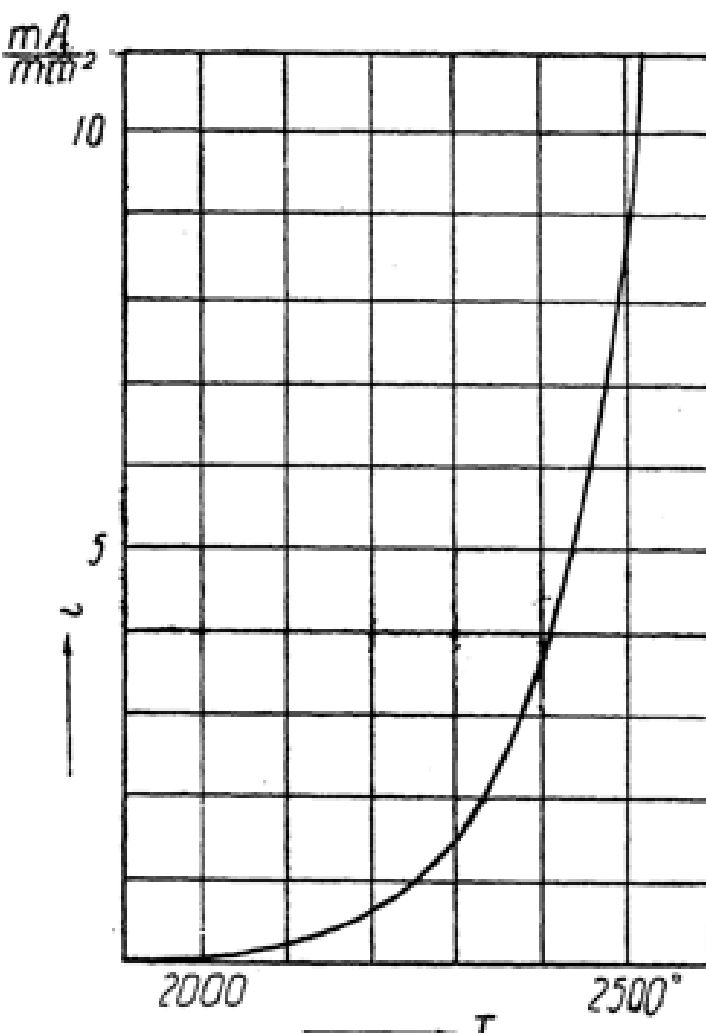


Рис. 1. Плотность эмиссионного тока насыщения в зависимости от температуры вольфрамовой нити.

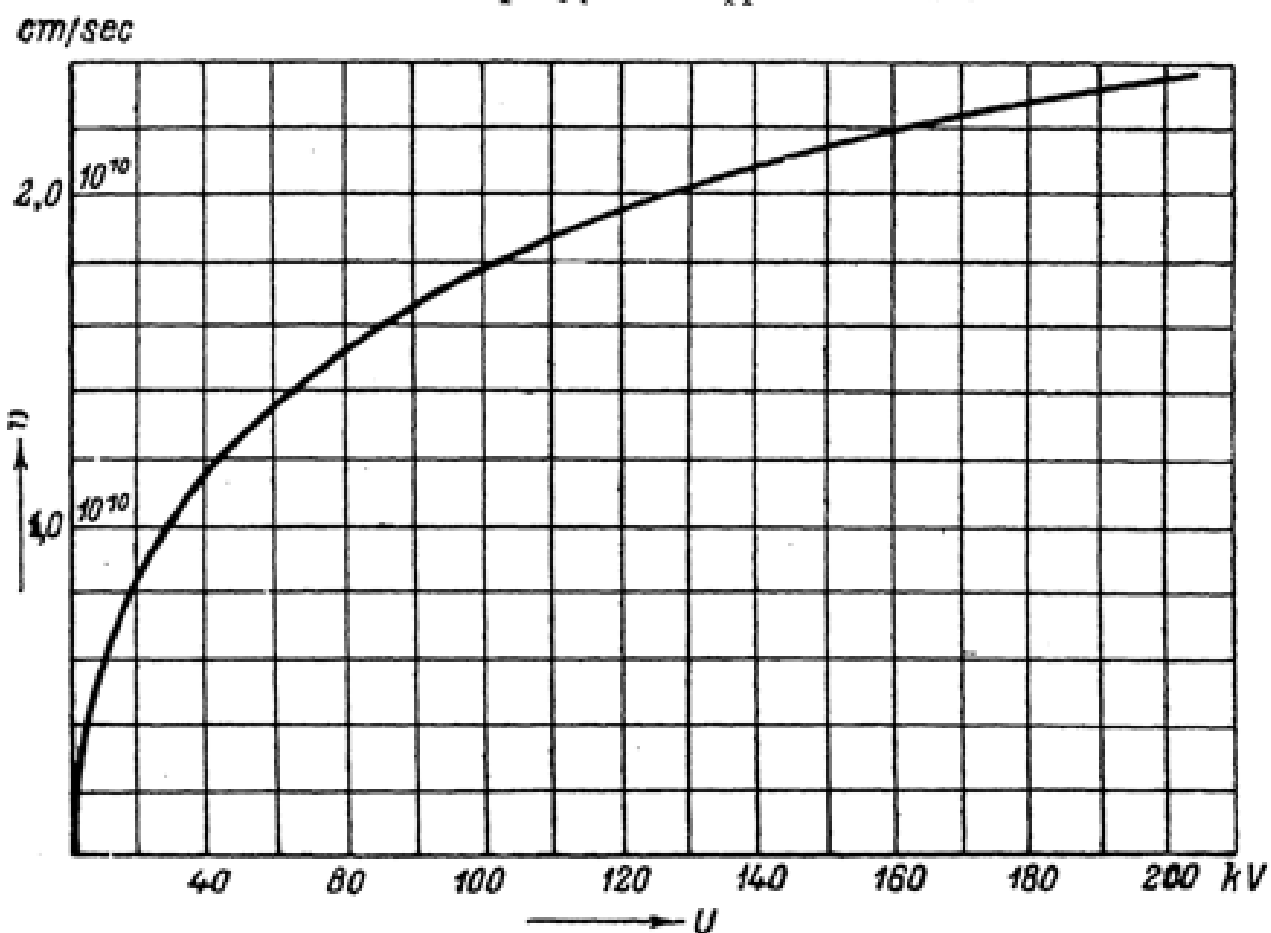


Рис. 2. Скорость электронов катодного пучка в зависимости от разгоняющего потенциала.

§ 2. Рентгеновские трубы и аппараты

Таблица 17а.

Рентгеновские трубы

Некоторые типичные данные

Тип трубки	Размеры фокусного пятна	Рабочее напряжение (постоянное)	Ток накала А	Напряжение накала V	Анондый ток		Охлаждение
					Длительный ток мА	Секундный ток мА	
Диагностические (промышленные и снимки)	Круглый $d = 3 \text{ мм}$ Штриховой от $1,5 \times 1,5 \text{ мм}^2$ до $4 \times 4 \text{ мм}^2$	60—100	3—5	4—8	4—6	15—30	Водяное или воздушное
Терапевтические и промышленные металлов	Круглый $d = 10—15 \text{ мм}$	60—100	3—5	5—10	8—10	100—200	Тоже
Для структурного анализа (с линзами и окном)	Штриховой	80—200	3—4	4—8	4—8	—	Лучепропускающее или термосифонное
Для получения лучей Букси	Круглый	5—15	3—4	4—8	5—10	—	Водяное
Специальные для промышленных металлов	Круглый	до 400	3—4	3—6	10	—	Водяное или воздушное
С врачающимся анодом для снимков	Острый	40—90	7—8	12	10	100	Приглушенное масляное
							Воздушное

Типичные схемы выпрямления рентгеновских аппаратов

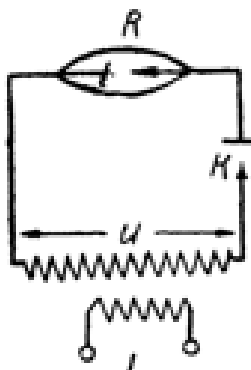
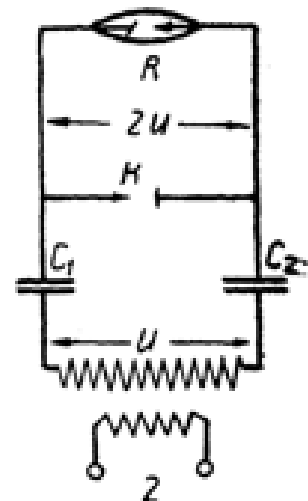


Рис. 3. Типичные схемы аппарата с прерывисто-синусоидально-пульсирующим напряжением:



- 1) Схема однокенотронного выпрямления без удвоения напряжения (пульсация от U'_{\max} до 0), 2) Схема однокенотронного выпрямления с удвоением напряжения по Виллярду (пульсация от $2 U'_{\max}$ до 0).

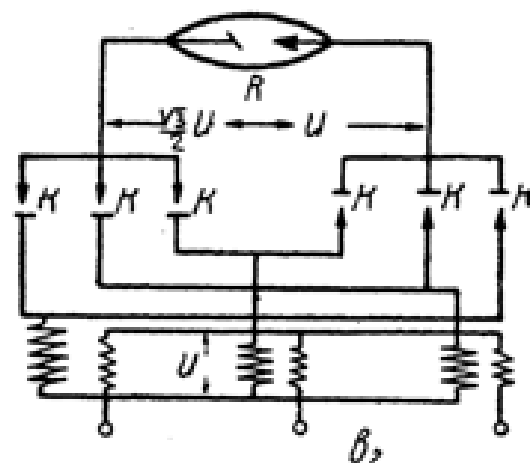
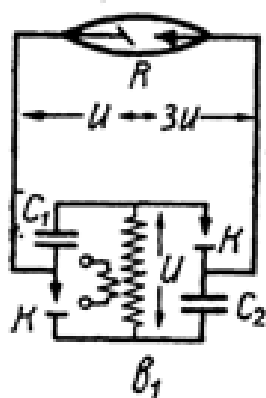
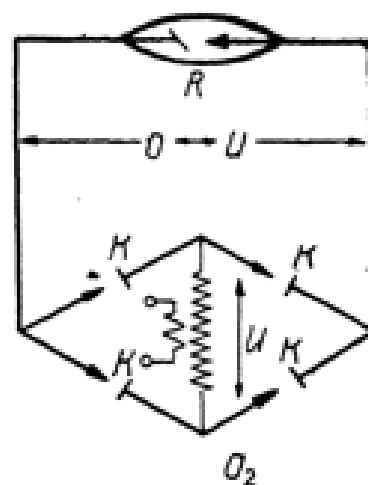
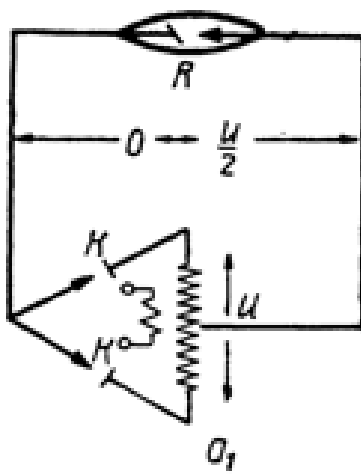


Рис. 4. Типичные схемы выпрямления для синусоидально-пульсирующего напряжения: а) пульсация от U до 0; б) пульсация от U_1 и U_2 :

- a₁) схема двухкенотронного выпрямления с использованием половины трансформаторного напряжения; a₂) схема четырехкенотронного выпрямления по Гречу; b₁) схема двухкенотронного выпрямления с утроением по Витка; b₂) схема шестикенотронного выпрямления трехфазного аппарата.

Схема выпрямления	Характеристика рабочего напряжения
1. Без выпрямления и однокенотронное без конденсаторов	Одна полуволна синусоидального напряжения, пульсирующего от 0 до U'_{\max} с нормальным периодом пульсами $U_{\max} \approx U'_{\max}$
2. Однокенотронное с конденсаторами по Вилларду	Синусоидально пульсирующее напряжение от 0 до U_{\max} с двойным периодом пульсации (период синусоиды) $U_{\max} \approx U'_{\max}$
3. Четырехкенотронное по Грецу без конденсаторов	Выпрямленное синусоидальное напряжение, пульсирующее от 0 до U_{\max} с нормальным периодом пульсации (полупериод синусоиды): $U_{\max} = U'_{\max}$
4. Двухкенотронное с конденсаторами по Витка	Синусоидально пульсирующее напряжение от $\frac{U_{\max}}{3}$ до U_{\max} с двойным периодом пульсации $U_{\max} \approx 3 U'_{\max}$
5. Трехфазное по Грецу	Синусоидально пульсирующее напряжение от $0,88 U_{\max}$ до U_{\max} с укороченным периодом пульсации (треть полупериода синусоиды) $U_{\max} = \sqrt{3} U'_{\max}$
6. Двухкенотронное с конденсаторами по Грейнажеру и четырехкенотронное по Грецу с конденсаторами	} Постоянно: $U_{\max} = 2 U'_{\max}$ } $U_{\max} = U'_{\max}$

Примечание 1. U'_{\max} — максимальное значение напряжения на выво-

Приимечание 2. Для механического выпрямления с конденсаторами саторов она является неопределенной, но коэффициент амплитуды кривой

рентгеновских аппаратов

Эффективное значение напряжения	Коэффициент амплитуды $K = \frac{U_{\max}}{U_{\text{eff}}}$
$U_{\text{eff}} = \sqrt{\frac{2}{T} \int_0^{\frac{T}{2}} (U'_{\max} \sin \omega t)^2 dt} = 0,7 U'_{\max}$	(за полуволну) 1,43
$U_{\text{eff}} = \sqrt{\frac{1}{T} \int_0^{\frac{T}{2}} (U'_{\max} + U'_{\max} \sin \omega t)^2 dt} = 1,22 U'_{\max}$	1,64
$U_{\text{eff}} = \sqrt{\frac{2}{T} \int_0^{\frac{T}{2}} (U'_{\max} \sin \omega t)^2 dt} = 0,7 U'_{\max}$	1,43
$U_{\text{eff}} = \sqrt{\frac{1}{T} \int_0^{\frac{T}{2}} (2U'_{\max} + U'_{\max} \sin \omega t)^2 dt} = 2,12 U'_{\max}$	1,43
$U_{\text{eff}} = \sqrt{\frac{6}{T} \int_{\frac{T}{6}}^{\frac{T}{3}} (\sqrt{3} U'_{\max} \sin \omega t)^2 dt} = 1,66 U'_{\max}$	1,04
$U_{\text{eff}} = 2 U'_{\max}$	1
$U_{\text{eff}} = U'_{\max}$	1

дах трансформатора.

Форма кривой напряжения совпадает со случаем 6. При отсутствии конденсатора допустимо считать лежащими между значениями для случаев 2-го и 3-го.

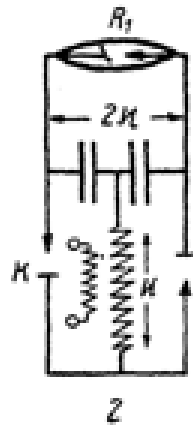
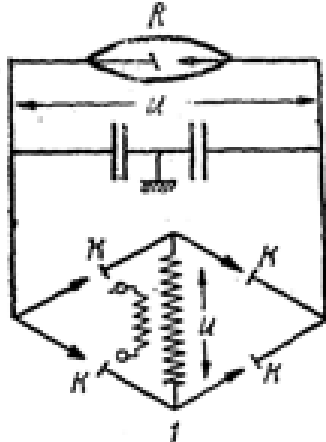


Рис. 5. Типичные схемы выпрямления для постоянного напряжения.

1. Схема без удвоения напряжения.
2. Схема с удвоением напряжения по Грейнахеру.

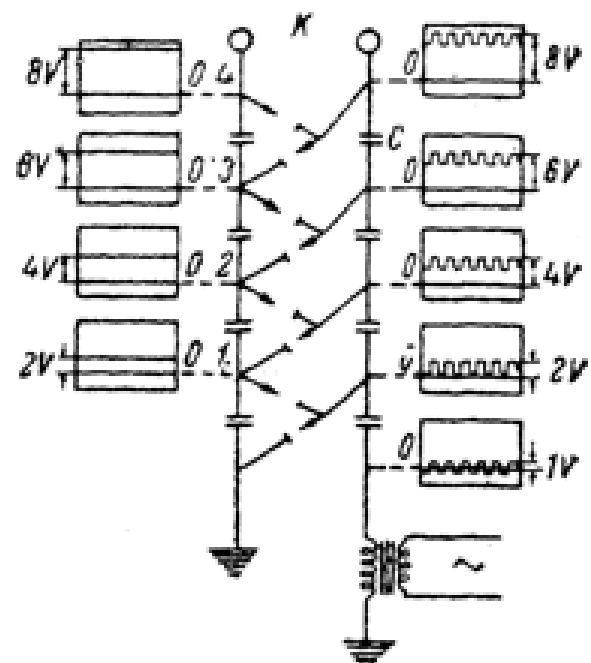


Рис. 6. Схема многократного умножения по Кокрофту.

§ 3. Спектрометры

Формула Бреггов:

$$n\lambda = 2d \sin \theta,$$

где $n = 1, 2, 3 \dots$ порядок отражения,

d — расстояние между сетчатыми плоскостями кристалла,

θ — угол наклона лучей к отражающей плоскости,

λ — длина волны рентгеновских лучей.

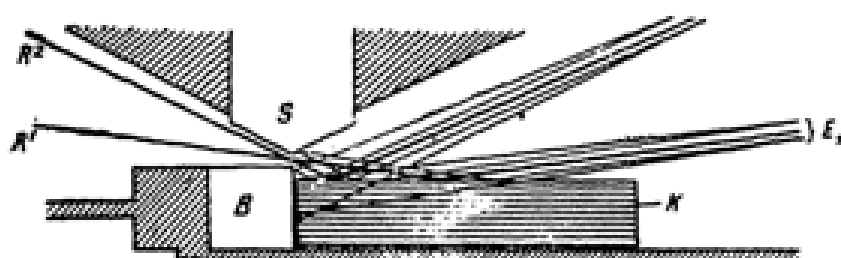


Рис. 7. Принципиальная схема спектрографа Зеемана (метод щели).

С помощью отражения от кристалла можно выделить из смешанного пучка однородные лучи какой-либо из присутствующих в сплошном спектре (результативный спектр при смешении непрерывного и характеристического спектра) длии волн.

Прибор, предназначенный для получения спектра и измерений длин волн, называется спектрометром или спектрографом, если имеется автоматическая запись.

Принципиальная схема действия и внешний вид некоторых типов спектрографов (метод щели) показан на рис. 7.

Для лучей с большой длиной волны применяются вакуумные спектрометры.

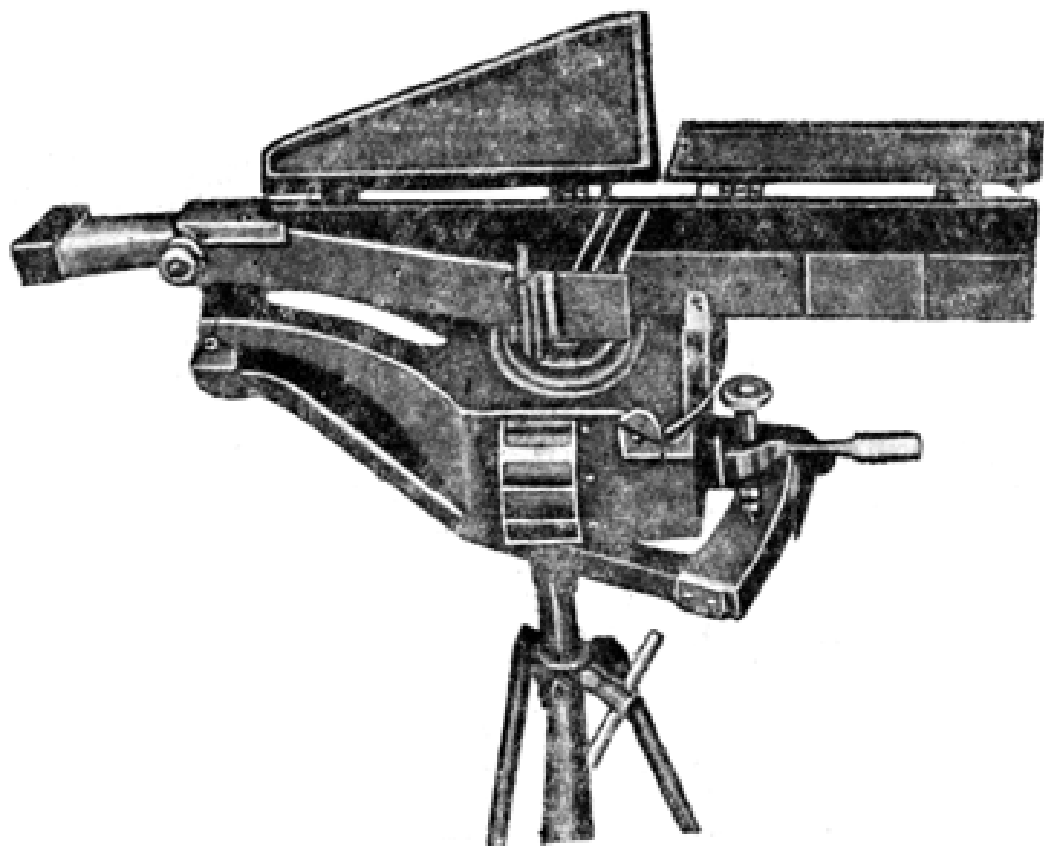


Рис. 8. Общий вид спектрографа Зеемана.

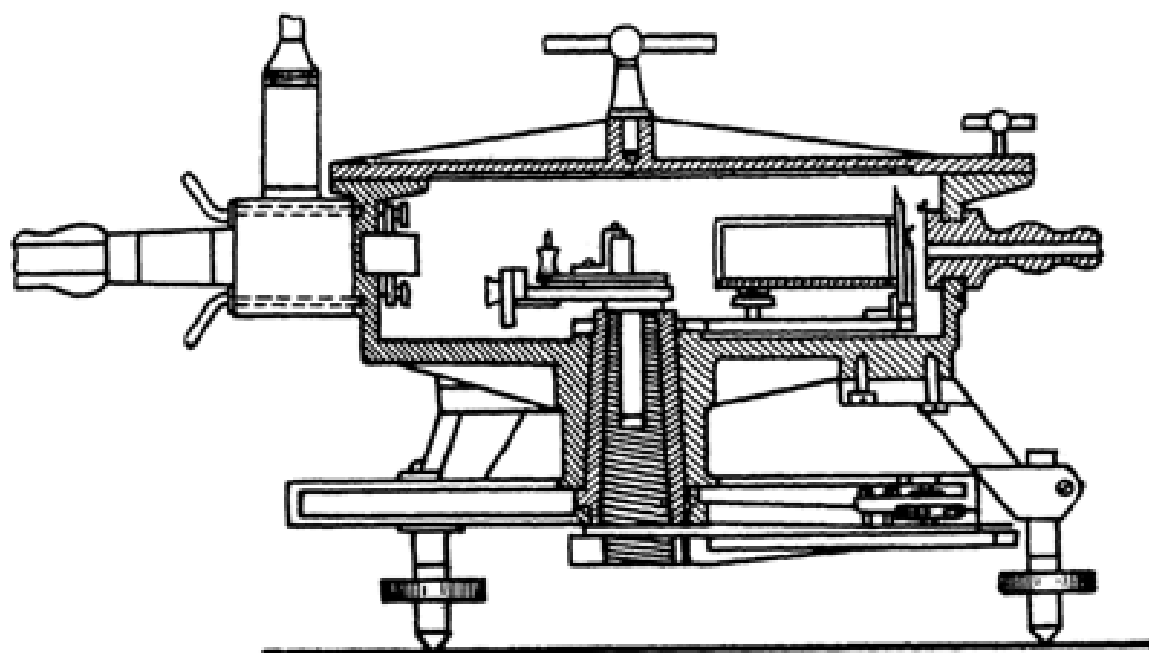


Рис. 9. Вакуумный спектрограф Зигбана.

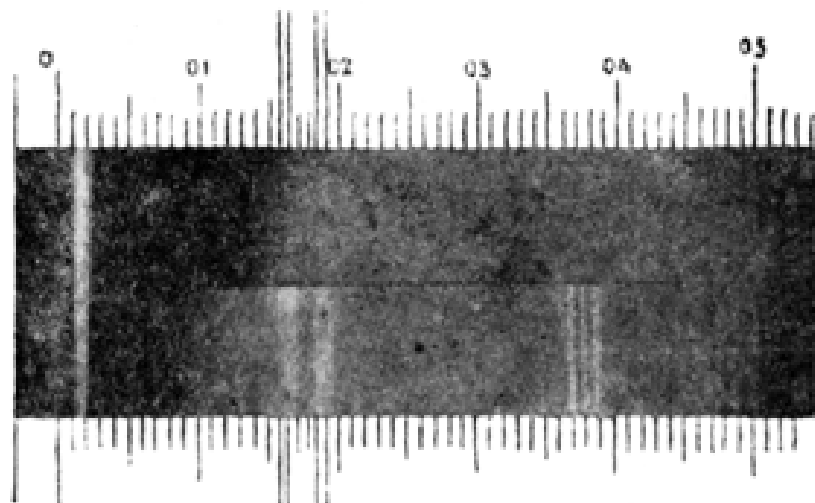


Рис. 10. Спектрограмма, снятая с помощью спектрографа Зеемана, с усилительными экранами для двух различных напряжений.

Таблица 18

Постоянные спектрографов

Спектрограф	Метод	Расстояние кристаллической пластины в мм	Кристалл	Участок волн в X	Расстоянию в 1 мм на пластинке или пленке соответств. разн. длин волн в X
Хаддинг	Вращающ. кристалл	60	Каменная соль	1000	46,1
	"	60	" "	2000	43,8
	"	60	" "	3000	39,8
	"	60	Известков. шпат	1000	49,9
	"	60	" "	2000	47,6
	"	60	" "	3000	43,8
Зигбан	"	120	Каменная соль	1000	23,1
	"	120	" "	2000	21,9
	"	120	" "	3000	19,9
	"	120	Известков. шпат	1000	24,9
	"	120	" "	2000	23,8
	"	120	" "	3000	21,9
Зееман	Метод лезвия и камеры со щелью	280	Каменная соль	500	19,9

Спектрограф	Метод	Расстояние кристаллических пластинок в мм	Кристалл	Участок длины волн в X	Расстоянию в 1 мкм на пластинах или пленке соответств. разн. длии волн в X
Зееман	Метод лезвия и камеры со щелью	280	Каменная соль	1000	19,1
		280	Известков. шпат	500	21,4
		280	" "	1000	20,7
		280	Гипс	1000	53,7
		280	"	2000	52,6
		420	Каменная соль	500	13,3
		420	Известков. шпат	500	14,3
		420	Гипс	1000	35,8
		420	"	200	35,1
		490	Каменная соль	500	11,4
		490	Известков. шпат	500	12,2
		490	Гипс	1000	30,7
		490	"	2000	30,1

Таблица 18а

Постоянные решеток d некоторых кристаллов при 18°C по Энгсану

Кристалл	Плоскость	$d \cdot 10^4$	Интенсивность линий первых четырех порядков по Бреггу
Каменная соль	Плоск. симметрии	2,81400	100 : 20 : 7 : 3
Известковый шпат	" "	3,02904	100 : 20 : 20 : 9
Гипс	" "	7,578	—
Слюдя	" "	0,937	—
Пальмитиновая кислота	" "	35,49	—
Кварц	Плоск. призмы	4,247	—
Сахар	100	10,57	(Стенстрём)
$\text{K}_4\text{Fe}(\text{CN})_6$	100	8,408	—
Карборунд	111	2,49	(Овен)

Таблица 19

Угол отражения и длина волны по Зигбану при $n = 1$

Длина волны в X $X = 10^{-3} \text{ \AA}$	Угол отражения для		
	каменной соли	известкового шпата	гипса
200	2°2'	1°53'	—
400	4°4'	3°47'	1°31'
600	6°7'	5°41'	—
800	8°10'	7°35'	—
1000	10°14'	9°30'	3°47'
1200	12°19'	11°25'	—
1400	14°24'	13°22'	5°18'
1600	16°31'	15°19'	—
1800	18°39'	17°17'	6°49'
2000	20°49'	19°16'	—
2200	23°1'	21°18'	8°21'
2400	25°14'	23°20'	—
2600	27°31'	25°25'	9°53'
2800	29°50'	27°31'	—
3000	32°13'	29°41'	10°25'
3200	34°39'	31°53'	—
3400	37°10'	34°8'	12°58'
3600	39°46'	36°28'	—
3800	42°28'	38°51'	14°31'
4000	45°18'	41°19'	—
4200	48°16'	43°53'	16°5'
4400	51°25'	46°35'	—
4600	54°49'	49°24'	17°40'
4800	58°31'	52°24'	—
5000	62°41'	55°37'	19°16'

§ 4. Рентгенометры

Все современные приборы для энергетических измерений в области рентгеновских лучей построены на принципе ионизационного действия лучей в воздухе.

Рентгенометром называется прибор, предназначенный для измерений физической дозы в рентгенах или мощности физической дозы в r/sec (r/min).

Любой рентгенометр состоит из следующих частей:

1) камеры, в которой происходит ионизация воздуха под действием измеряемого рентгеновского излучения;

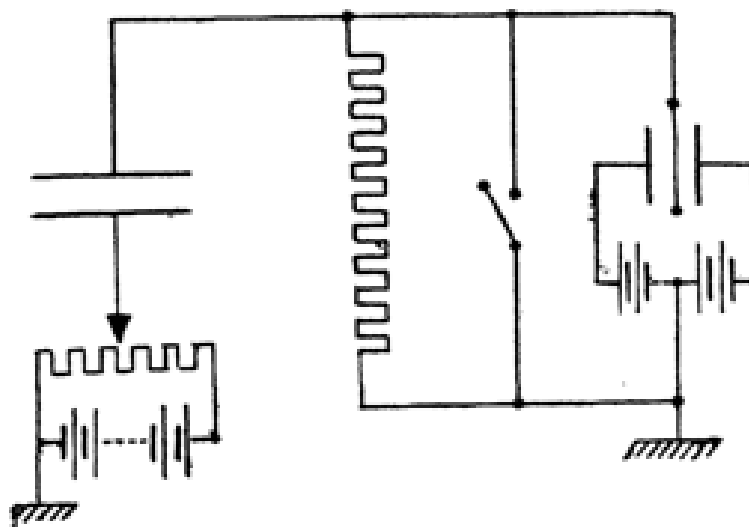


Рис. 11-а.

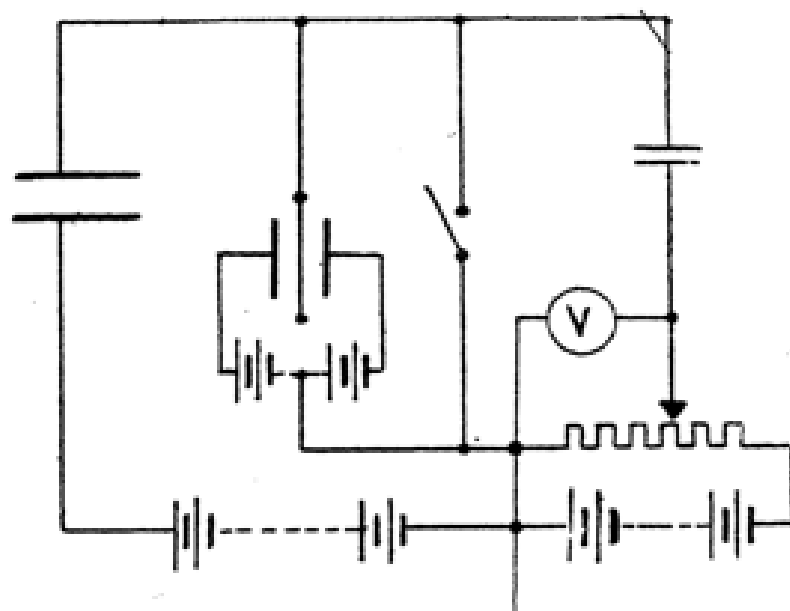


Рис. 11-б.

Рис. 11. Принципиальные схемы электрометрического измерения силы ионизационного тока: а) по Бронсону, б) по Таусенду.



Рис. 12. Ионометр по Вульфу.

2) соединительной части, связывающей камеру с электрическим устройством;

3) электрометрического устройства для измерения силы ионизационного тока или количества электричества.

Кроме того, в некоторых конструкциях применяются:

4) специальные приспособления (сигнальные и счетные).

С помощью рентгенометра выполняются следующие основные измерительные проблемы:

а) анализ качества смешанного излучения путем измерения слоя полувинного ослабления;

б) измерение мощности физической дозы в воздухе, на поверхности и на глубине освещаемого тела;

в) определение количества энергии рентгеновских лучей, фактически поглощенных освещаемым телом;

г) измерение физической дозы в воздухе за некоторый интервал времени;

д) снятие кривых распределения мощности физической дозы в воздухе.

Основными методами измерения силы ионизационного тока являются:

1) гальванометрический и 2) электрометрический: а) метод заряда или разряда конденсатора, б) метод Бронсона, в) компенсационный метод Таунсендса.

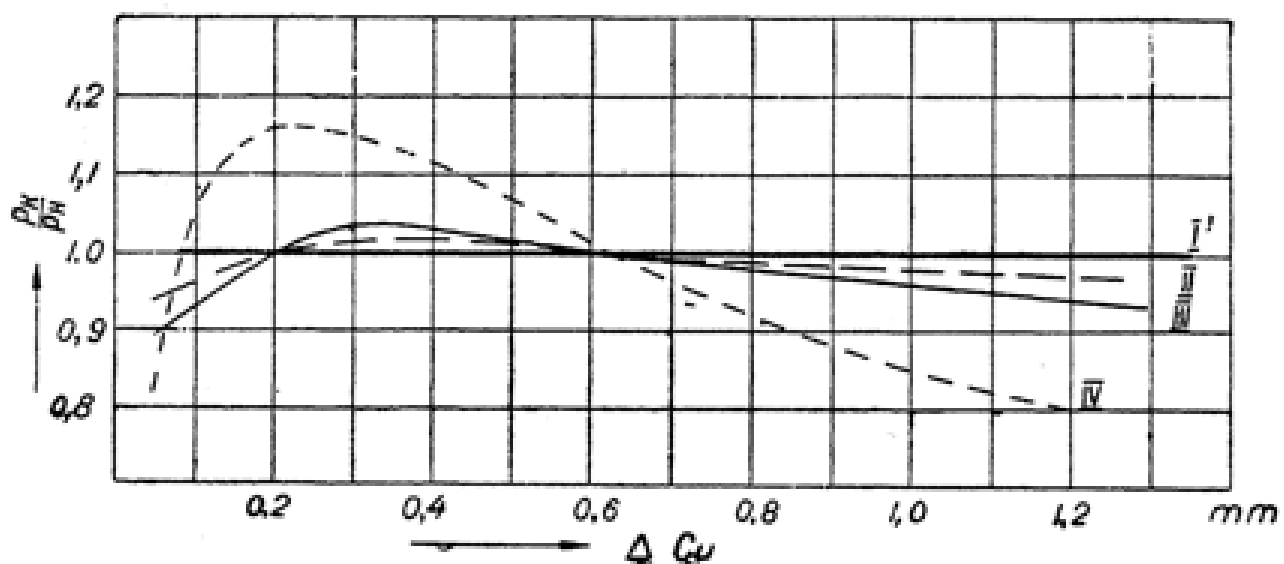


Рис. 13. Ход изменения относительных показаний приборов, снабженных различными камерами,* в зависимости от качества излучения:

I — цилиндрическая камера, II — бакелитовая наперстковая камера,

III — графитовая камера (с примесью Si), IV — алюминиевая камера со стенками толщиной 0,18 мм. При $\Delta Cu = 0,6$ мм показания при-

боров для всех камер приняты равными единице.

Ионометры (по Мартиусу, Сциляру, Фридриху, Випаверу, Заксу, Соломону, Вульфу и т. п.).

Камера наперстковая из алюминия или эbonита или графита с кремнием.

Внешний проводящий слой заземлен. Внутренний электрод соединен с электрометром.

Заряд подается на электрод от electrostaticской машинки.

Метод измерений — наблюдение за указателем электрометра при потере заряда электродом.

Пределы измерений без специальных приспособлений приблизительно от 30 r/min до $5 \cdot 10^{-2} r/min$.

Светосигнальный рентгенометр ВНИИМа отличается от предыдущих типов тем, что снабжен автоматическим зарядным устройством с питанием от сети

переменного тока и специальной конструкцией электрометра, позволяющей наблюдение светового сигнала.

Измерительный прибор по Кюстнеру (имеет несколько модификаций). Принцип действия тот же, что и у предыдущих приборов.

Большая модель снабжена основной цилиндрической камерой для лабораторных измерений и набором специальных камер для практических целей.

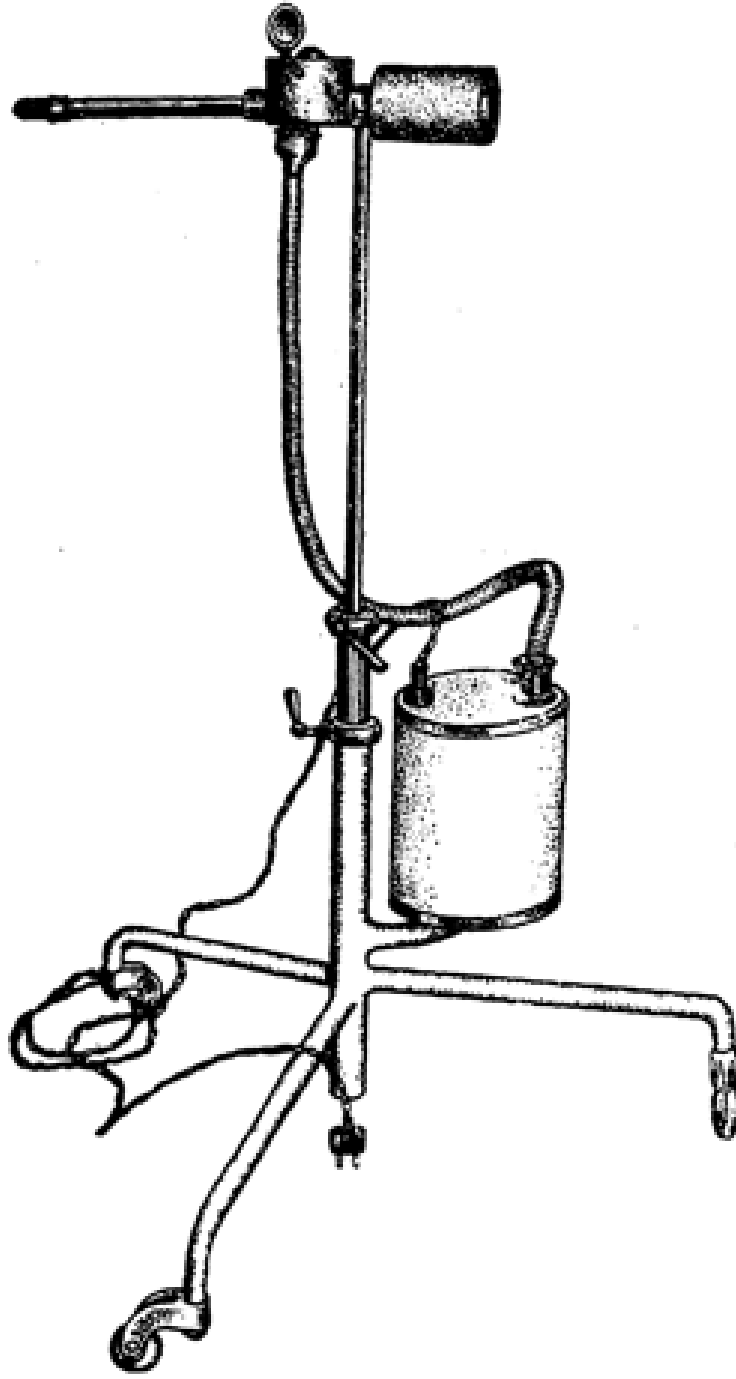


Рис. 14. Общий вид светосигнального рентгенметра (завод „Вуревестник“).

тический принцип действия как и ионометры, приспособление, выполненное путем выпрямления переменного напряжения. Наблюдение за нитью электрометра производится по тени на матовой шкале. Камера выполнена в виде плоского конденсатора в заземленном кожухе. Для расширения пределов измерений прибор снабжен добавочным конденсатором.

Интегральный рентгенметр Сименса имеет тот же принцип действия. Особенность конструкции: шаровая камера, коленчатая соединительная часть и добавочные конденсаторы. Электрометр стрелочный.

Прибор снабжен радиоактивным контролльным ионизатором, прост и надежен в употреблении. При употреблении цилиндрической камеры с диафрагмами охватывает широкий диапазон измерений от 50 $\mu/\text{мин}$ до $10^{-4} \mu/\text{мин}$ и практически вовсе свободен от изменений постоянной в зависимости от качества излучения в интервале от $\Delta_{Ae} = 0,15 \text{ мкм}$ до $\Delta_{Cu} = 2,0 \text{ мкм}$.

Наблюдение за нитью электрометра производится с помощью отсчетного микроскопа.

Прочие модели имеют тот же принцип действия и отличаются лишь конструктивным оформлением.

Малая модель имеет малые габаритные размеры и вес (10 кг). Прибор для точных измерений отличается отсчетным и зарядным устройствами. Новая модель — зарядным и электрометрическим устройством.

На том же принципе, что и прибор Кюстнера, работает прибор разработанный Г. Р. И. (Москва).

Особенностью конструкции является добавление камеры для рассеянного излучения и добавочного конденсатора, приключаемого при измерениях больших физических доз.

Универсальный измерительный прибор по Раевскому имеет анало-

гичный принцип действия как и ионометры. Особенностью является зарядное

приспособление, выполненное путем выпрямления переменного напряжения.

Наблюдение за нитью электрометра производится по тени на матовой шкале. Камера выполнена в виде плоского конденсатора в заземленном кожухе. Для расширения пределов измерений прибор снабжен добавочным конденсатором.

Интегральный рентгенметр Сименса имеет тот же принцип действия.

Особенность конструкции: шаровая камера, коленчатая соединительная часть и добавочные конденсаторы. Электрометр стрелочный.

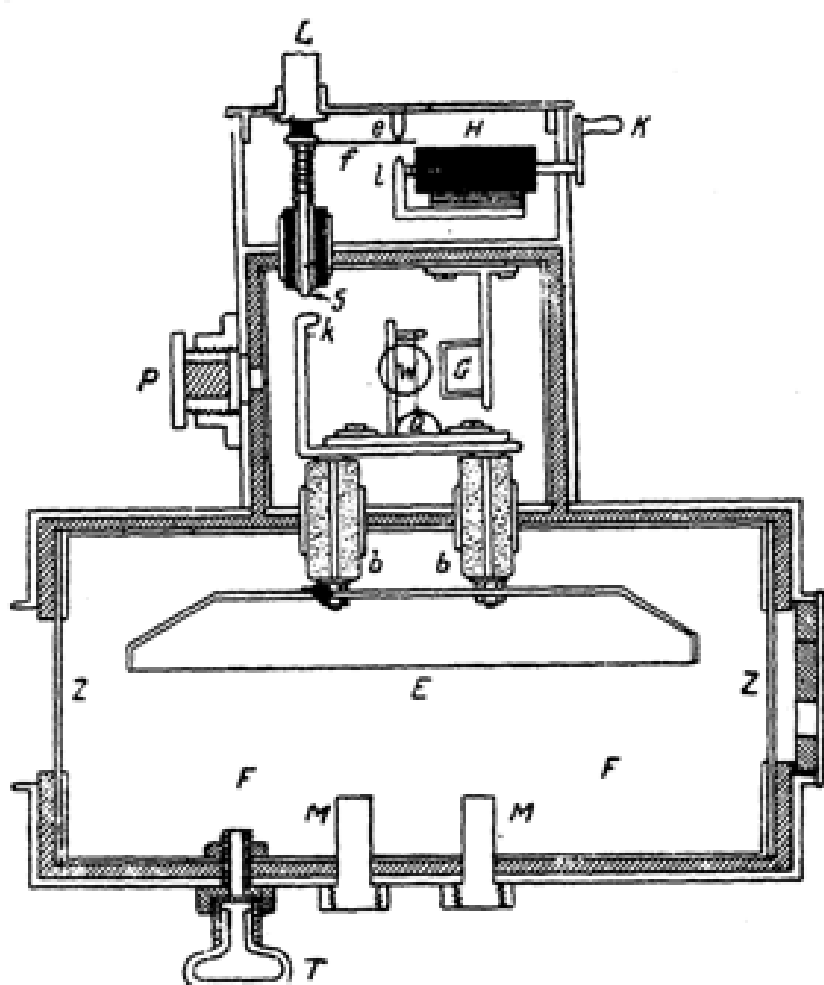


Рис. 15. Схематический разрез большого измерительного устройства по Кюстнеру.

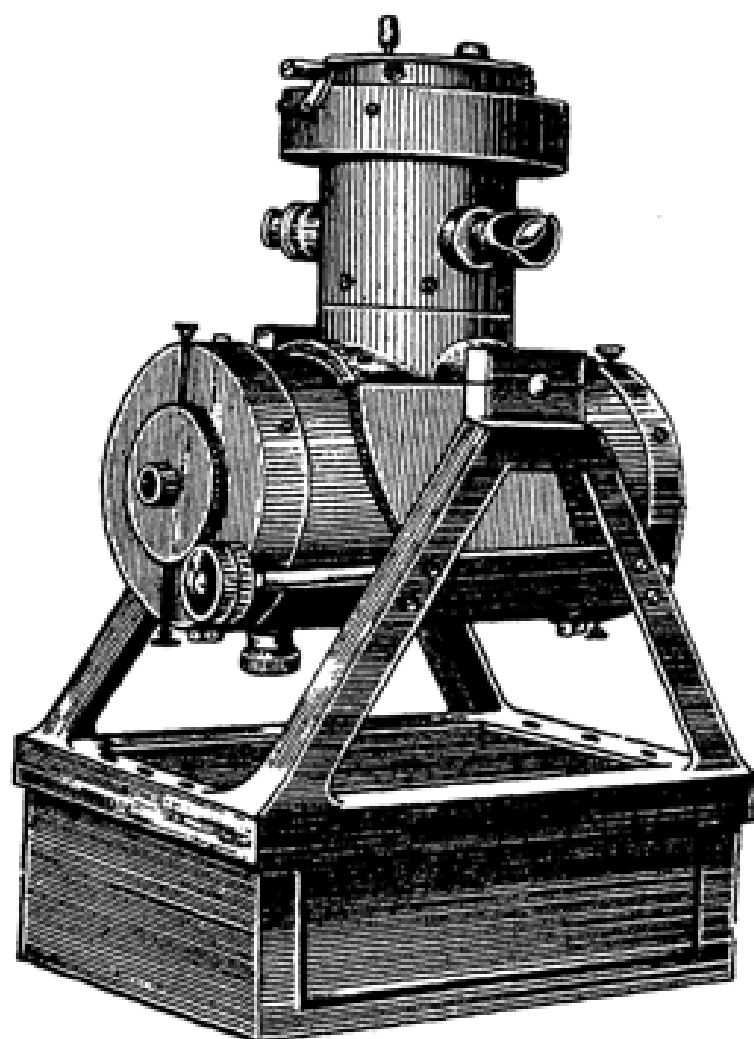


Рис. 16. Общий вид большого измерительного устройства по Кюстнеру.

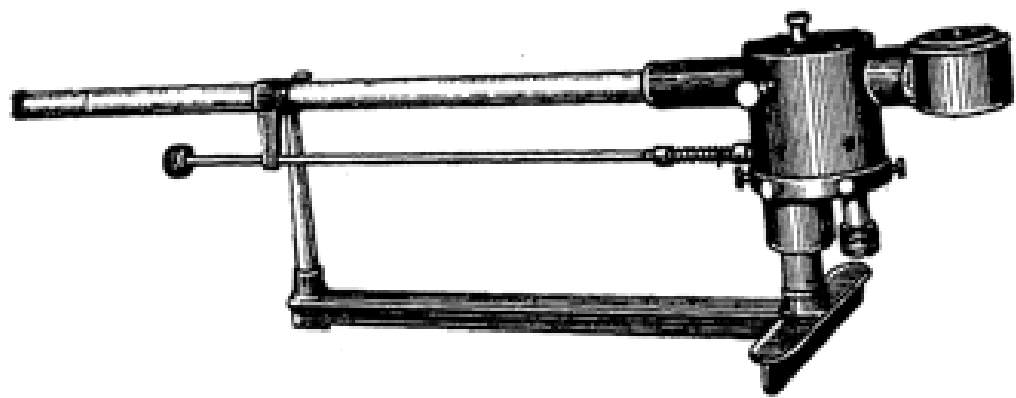


Рис. 17. Специальный прибор по Кюстнеру для точных измерений.

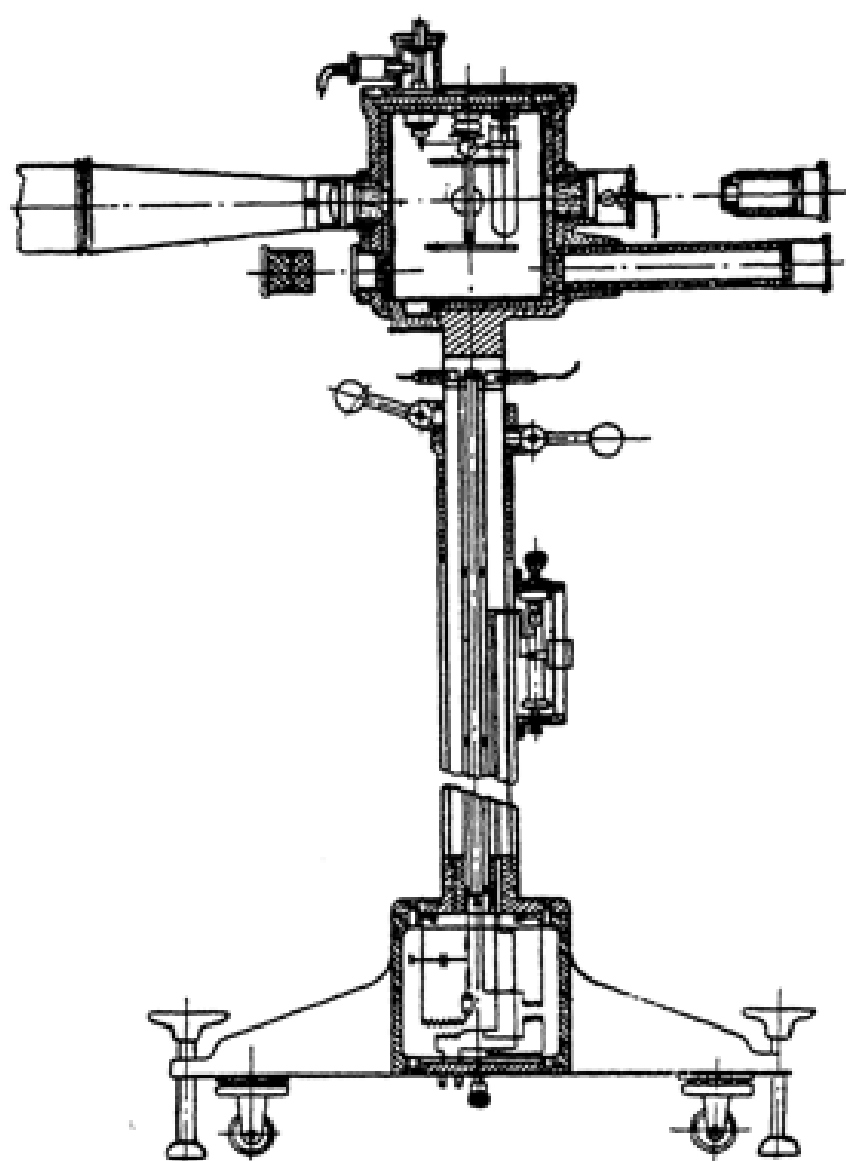


Рис. 18. Устройство универсального рентгенометра по Раевскому.

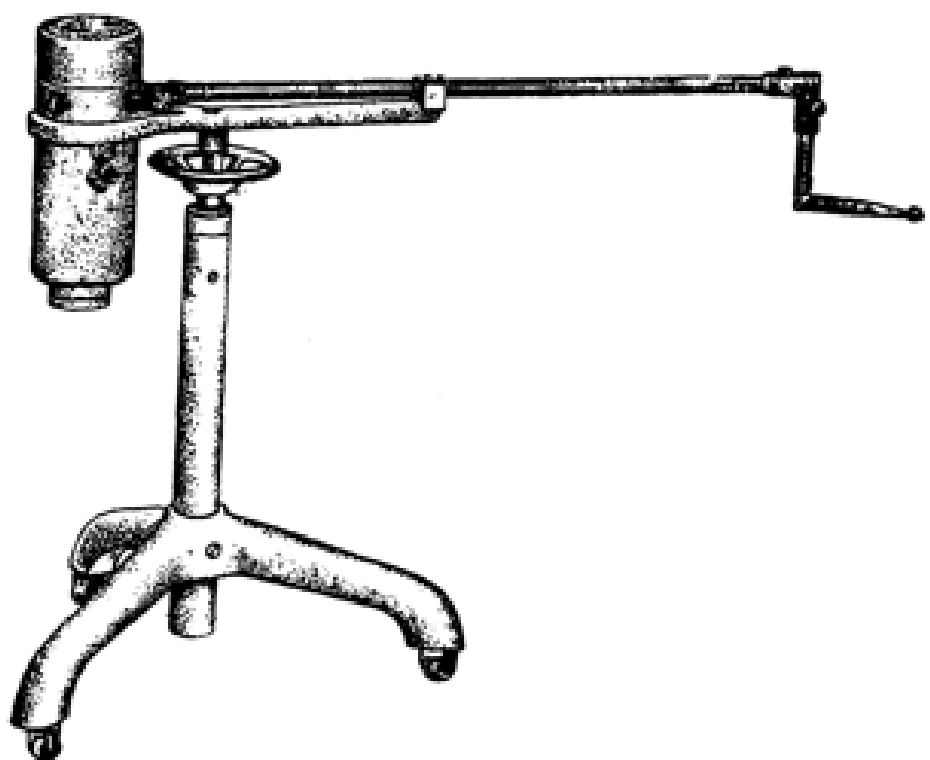


Рис. 19. Общий вид интегрального рентгенометра Сименса.

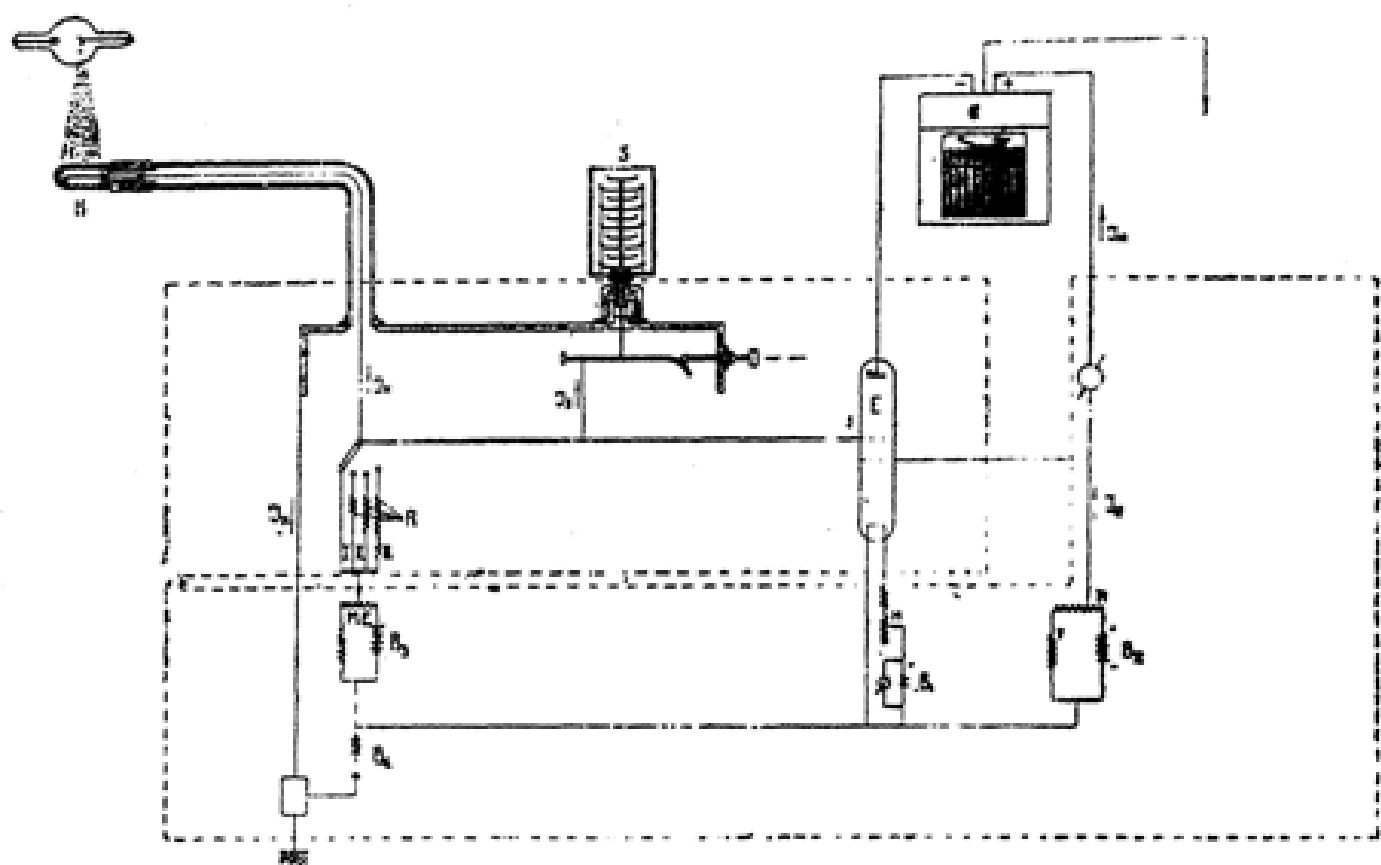


Рис. 20. Принципиальная схема действия рентгенометрии Сименса (доэндомессера).

Рентгенметр Сименса (Dosismesser).

Принцип действия показан на рис. 20.

Измерение ионизационного тока производится по схеме Бронсона, в которой электрометр заменен двухстворчатой усиливательной лампой с высокой изоляцией управляющей сетки. Питание прибора производится от аккумуляторных батарей. Соединительная часть выполнена в виде гибкого шланга высокой изоляции. Нормально прибор снабжается наперстковой камерой. Возможно применение регистрирующего устройства.

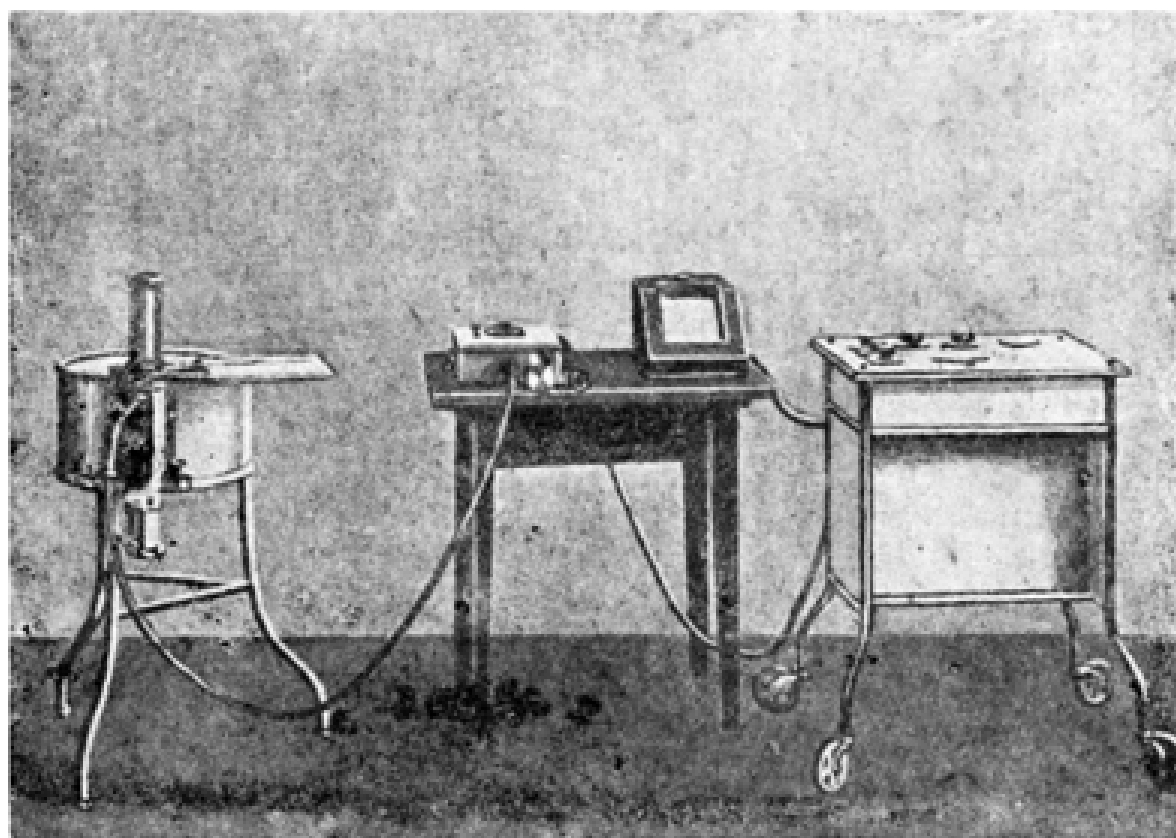


Рис. 21. Общий вид рентгенметра Сименса (дозисмесера).

Рентгенметр по Гаммеру.

Схема действия прибора показана на рис. 22.

Питание прибора производится от сети переменного тока. Проводящий графитовый слой 2 в бакелитовой камере A поддерживается при потенциале 1200 вольт от выпрямительного устройства D.

Всякий раз, когда при ионизации воздуха камеры лучами измерительная система 3—8—9 заряжается до потенциала 600 вольт, подвижное заземленное крыло 11—12 притягивается к анодам 9 и замыкает контакт 13. При действии реле 14 и 15 происходит работа сигнальных и счетных механизмов C, а также заземление измерительного электрода 16—9.

На том же принципе работает модель прибора Ионогном.

Чувствительность прибора 5 γ на этап действия.

Рентгенметр по Штраусу (Мекарион).

На проводящий слой камеры D (из карболита) рис. 14 подается потенциал 90 V от выпрямительного устройства (на схеме показана батарея). Измерительный электрод L₁ соединен с сеткой G триода, в анодной цепи которого включена обмотка чувствительного электромагнитного реле R₁.

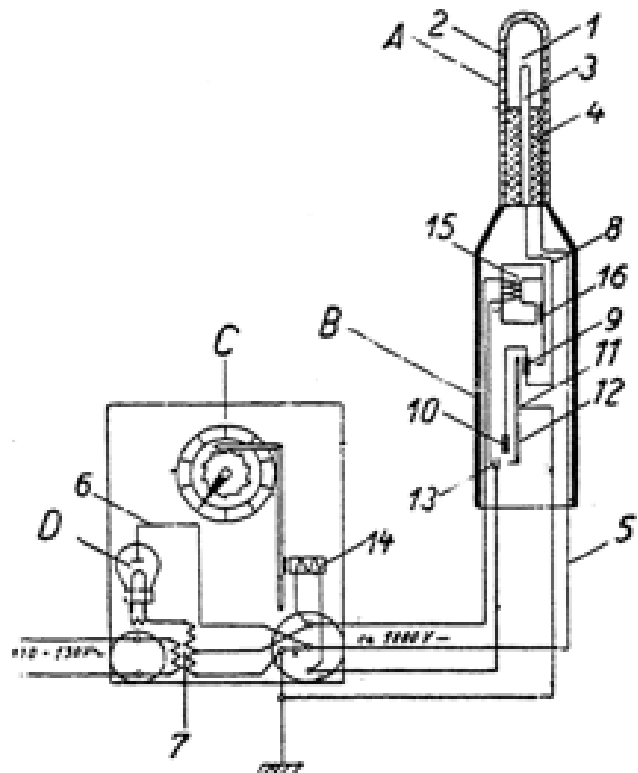


Рис. 22. Принципиальная схема действия рентгенометра Гаммера.

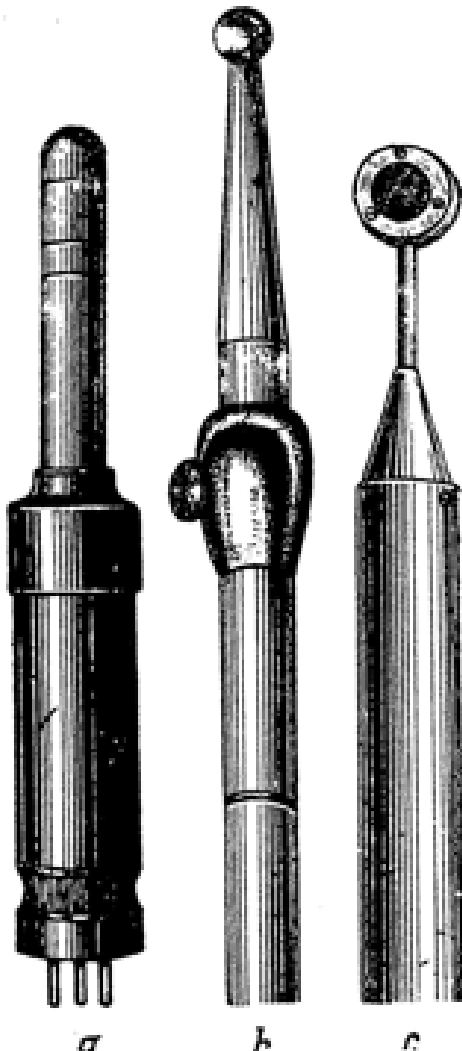


Рис. 23. Камеры рентгенометров:
а) матрица, содержащая реле и камера рентгенометра Гаммера, б) шаровая камера интегрального рентгенометра Сименса, в) специальная камера для мягких рентгеновских лучей рентгенометра Штрауса (Мекаплон).

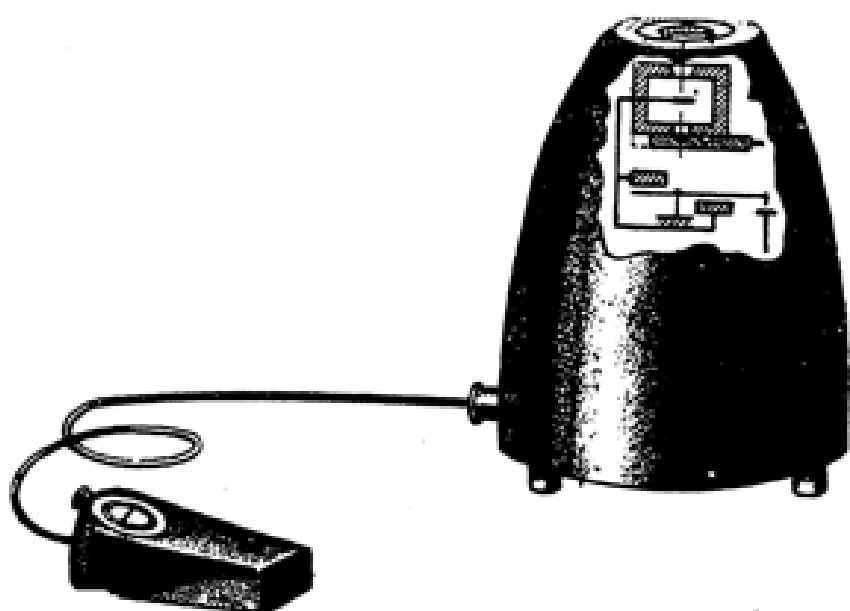


Рис. 24. Общий вид упрощенной модели рентгенометра Гаммера (Ионогном).

Измерительный электрод, а следовательно и сетка лампы, при действии реле по индукции заряжается до -150 В, так что сетка полностью экранирует анод, и ток в анодной цепи отсутствует.

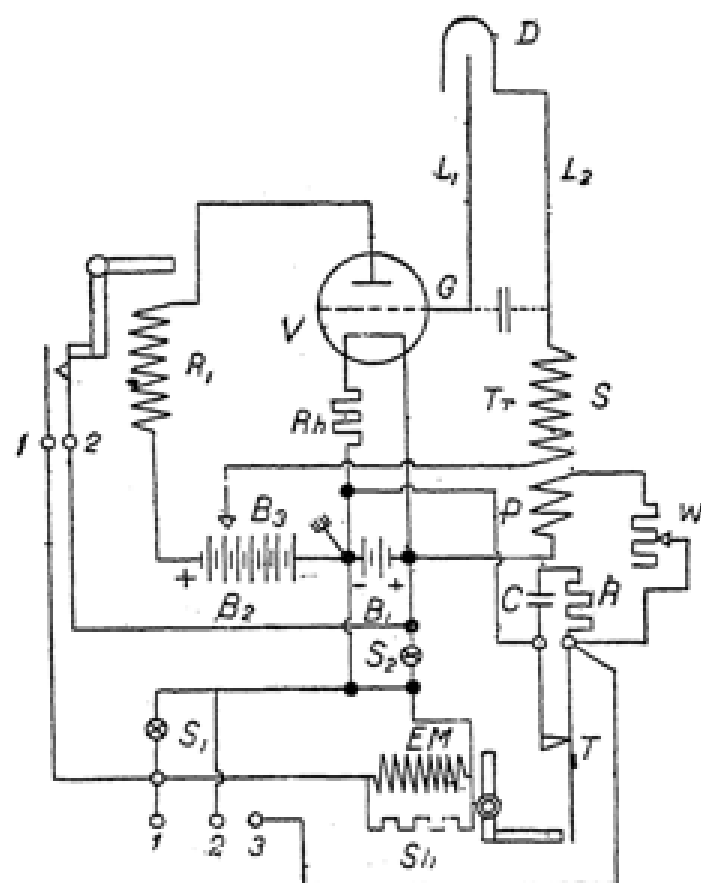


Рис. 25. Принципиальная схема действия
рентгениметра Штрауса (Мекапион).

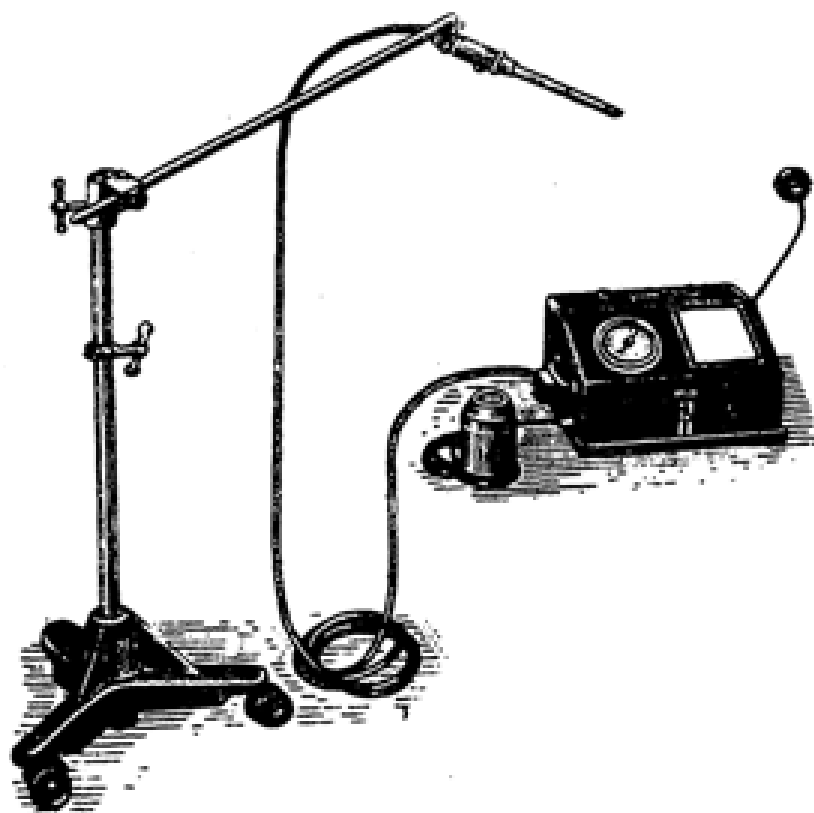


Рис. 26. Общий вид рентгениметра Штрауса
(новая модель Мекапион).

При ионизации воздуха камеры лучами, потенциал сетки возрастает и при — 90 вольт ток в анодной цепи достигает значения 1 мА, достаточного для действия основного реле. Контрольный ионизатор выполнен в виде уранового ионизатора.

Новые модели прибора снабжены питанием от сети переменного тока. Прибор снабжен набором камер для различных измерительных целей.

Моментан-рентгенметр Сименса.

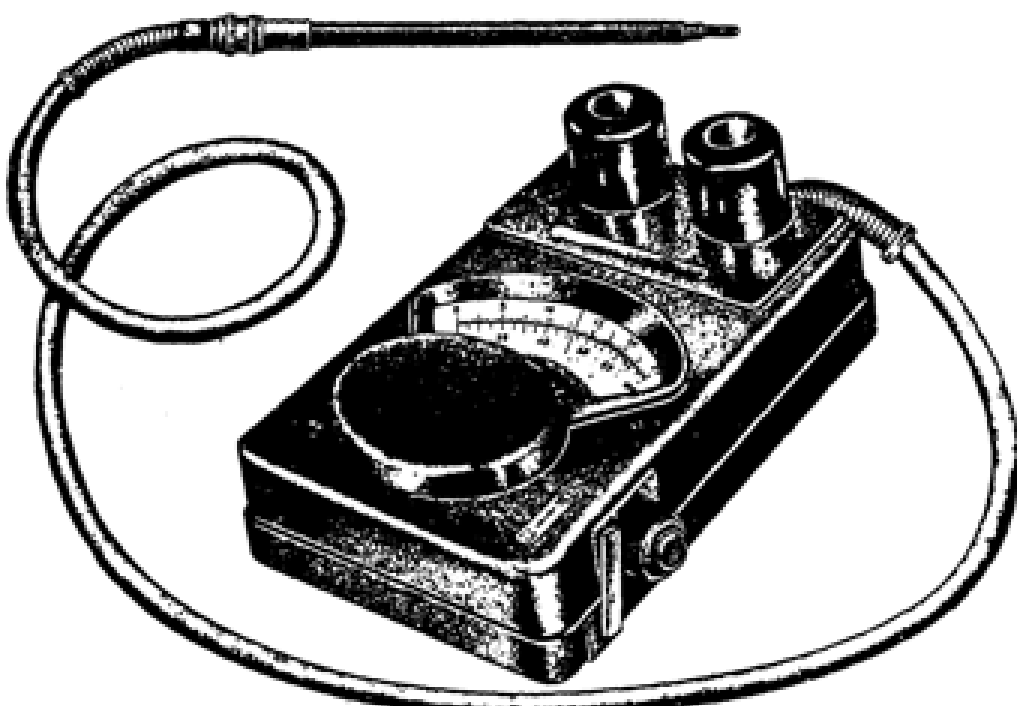


Рис. 27. Общий вид „Моментан-рентгенметра“ Сименса.

Прибор работает непосредственно по схеме Бронсона. Снабжен квадратным электрометром на подвесе специальной конструкции и приспособлением с синхронным хронометром для наблюдения за величиной поданной дозы.

ЛИТЕРАТУРНЫЙ УКАЗАТЕЛЬ

Физические константы. 1930.

С. Э. Т., т. I и IV, 1929.

А. П. Афанасьев. Таблицы математ. и физических величин, 1933 г.

А. Ф. Вальтер. Физика диэлектриков, 1933.

В. А. Витка. Рентгеновские аппараты, 1931.

И. В. Поройков. Физические основы дозиметрии, 1934 г.

M. Siegbahn. Spektroskopie der Röntgenstrahlen, 1931.

H. Holthusen. Grundlagen und Praxis Dosierung, 1933

Zeitschrift für technische Physik.

Fortschritte a. d. Gebiete der Röntgenstrahlen.

British Journal of Radiology.

Elektrotechnische Zeitschrift.

Elektrotechnik und Maschinenbau.

Достижения в области рентгенотехники.

ОТДЕЛ III

ОСНОВНЫЕ ПОНЯТИЯ, ТЕРМИНЫ И ОБОЗНАЧЕНИЯ В РЕНТГЕНОМЕТРИИ (СТАНДАРТЫ)

О ВЩЕСОЮЗНЫЙ СТАНДАРТ

Основные понятия, термины и обозначения в области рентгеновских лучей

**ОСТ
ВИС
6350**

Т е р м и н	Обозначение	О п р е л е н и я	Размерности
Частота колебаний	γ γ_0	Число колебаний в секунду Пределная наибольшая частота колебаний в непрерывном спектре рентгеновских лучей	$[T^{-1}]$ $[T^{-1}]$
Уровни энергии атома	$K, L_I, L_{II}, L_{III} \dots$ $M_I, M_{II} \dots$	Уровни энергии атома, определяющие излучение и поглощение рентгеновских лучей атомом — обозначения по Зигбану	—
Серия K , серия L , серия M	$K_{\alpha_1}, K_{\alpha_2}, \dots, K_{\beta_1}, \dots$ $L_{\alpha_1}, \dots, L_{\beta_1}, \dots$	Серия характеристического спектра рентгеновских лучей Отдельные линии характеристического спектра рентгеновских лучей — обозначения по Зигбану	$[L]$
Длина волны	λ	Длина волны рентгеновских лучей в пустоте:	$[L]$
		$\lambda = \frac{c}{\gamma},$ где c — скорость распространения электромагнитных колебаний в пустоте	
		Пределная наименьшая длина волны в непрерывном спектре рентгеновских лучей в пустоте	$[L]$
		Длина волны, соответствующая границе полосы поглощения рентгеновских лучей	$[L]$
		Длины волн отдельных линий характеристического спектра рентгеновских лучей серии K, L, \dots	$[L]$

Энергия излучения

$$W_0$$

Энергия рентгеновских лучей, проходящих сквозь поверхность, поглощенных освещаемой средой

$$W_a$$

Энергия рентгеновских лучей, падающих на данную поверхность, освещаемой средой

Мощность излучения

$$P$$

Энергия рентгеновских лучей, относенная к единице времени

$$P_0$$

Мощность рентгеновских лучей, поглощенных освещаемой средой

$$P_\lambda$$

Мощность рентгеновских лучей, поглощенных освещаемой средой

Интенсивность излучения в спектре

$$I$$

Мощность рентгеновских лучей, относенная к единице поверхности:

$$I = \frac{dP}{ds},$$

$$I_0$$

Интенсивность рентгеновских лучей на поверхности облучаемой среды

$$Y_1$$

Отношение мощности рентгеновских лучей длины волны λ к объему:

$$Y_1 = \frac{dI}{d\lambda} = \frac{dP}{dv},$$

где $d\lambda$ — элемент длины волны, dv — элемент объема.

$$[L^2MT^{-2}]$$

$$[L^2MT^{-2}]$$

$$[L^2MT^{-2}]$$

$$[L^2MT^{-2}]$$

$$[L^2MT^{-2}]$$

$$[L^2MT^{-2}]$$

$$[MT^{-2}]$$

$$[MT^{-2}]$$

$$[MT^{-2}]$$

$$[L^{-1}MT^{-2}]$$

Справочник

14

глобальная упаковка
Однородные квадратные
шары
Отношение коэффициентов
упаковки

где ρ — плотность вещества

$$\frac{\rho}{\rho_0} = \frac{1}{\pi} \cdot \frac{1}{\sqrt{1 - \frac{1}{\pi^2}}}$$

сравнения обозначения:

$$\sigma_s = \sigma - \sigma_0$$

Признаки, определяющие их соотношения:

$$\sigma_s = \sigma - \sigma_0$$

Коэффициент, определяющий
относительное значение коэффициента, определяемое в электронной

[L-1] $\sigma = \rho - \tau$

коэффициент, определяющий, определение, определяемое в соот-
ветствии с формулой:

$$\sigma = \rho - \tau$$

[L-1] $\tau = \frac{1}{\pi} e^{-\frac{\rho}{\rho_0}}$

Часть коэффициента, определяемая в соот-
ветствии с формулой:

$$\tau = \frac{1}{\pi} e^{-\frac{\rho}{\rho_0}}$$

[L-1] Коэффициент в формуле:

$$\sigma = \rho - \tau$$

[L-1] Коэффициент в формуле:

$$\tau = \frac{1}{\pi} e^{-\frac{\rho}{\rho_0}}$$

[L-1] Коэффициент в формуле:

$$\sigma = \rho - \tau$$

[L-1] Коэффициент в формуле:

$$\tau = \frac{1}{\pi} e^{-\frac{\rho}{\rho_0}}$$

[L-1] Коэффициент в формуле:

$$\sigma = \rho - \tau$$

[L-1] Коэффициент в формуле:

$$\tau = \frac{1}{\pi} e^{-\frac{\rho}{\rho_0}}$$

[L-1] Коэффициент в формуле:

$$\sigma = \rho - \tau$$

[L-1] Коэффициент в формуле:

$$\tau = \frac{1}{\pi} e^{-\frac{\rho}{\rho_0}}$$

[L-1] Коэффициент в формуле:

$$\sigma = \rho - \tau$$

[L-1] Коэффициент в формуле:

$$\tau = \frac{1}{\pi} e^{-\frac{\rho}{\rho_0}}$$

[L-1] Коэффициент в формуле:

$$\sigma = \rho - \tau$$

[L-1] Коэффициент в формуле:

$$\tau = \frac{1}{\pi} e^{-\frac{\rho}{\rho_0}}$$

[L-1] Коэффициент в формуле:

$$\sigma = \rho - \tau$$

[L-1] Коэффициент в формуле:

$$\tau = \frac{1}{\pi} e^{-\frac{\rho}{\rho_0}}$$

[L-1] Коэффициент в формуле:

$$\sigma = \rho - \tau$$

[L-1] Коэффициент в формуле:

$$\tau = \frac{1}{\pi} e^{-\frac{\rho}{\rho_0}}$$

Продолжение

Равенство

Определение

Обозначения

Таблицы

Продолжение

Определение

Обозначения

Таблицы

Доза (Физическая)	D	Поглощенная энергия рентгеновских лучей, отнесенная к единице объема освещаемой среды:	$D = \frac{dW_a}{dv},$ где dv — элемент объема.
	D_0	Физическая доза рентгеновских лучей на поверхности освещаемой среды	$[L^{-1}MT^{-2}]$
Мощность физической дозы	P_{D_0}	Физическая доза рентгеновских лучей, относенная к единице времени:	$P = \frac{dD}{dt},$ где dt — элемент времени
		Мощность физической дозы рентгеновских лучей на поверхности освещаемой среды	$[L^{-1}\bar{M}T^{-3}]$
		Причина. В случаях, не возбуждающих сомнения, индекс D у обозначения P_D и P_{D_0} опускается	
Слой поливинного ослабления	Δ	Толщина слоя освещаемой среды, ослабляющая интенсивность рентгеновских лучей в два раза.	$[L]$
		Причина. Обозначение Δ сопровождается подстрочным индексом, указывающим ослабляющее вещество	
		Угол, составленный направлением отраженных рентгеновских лучей с сечкой плоскостью кристалла	
		Порядковый номер дифракционного максимума при отражении рентгеновских лучей	
		Угол дифракционного отражения рентгеновских лучей n -го дифракционного максимума	
		Угол дифракционного отражения n -го порядка	

При одновременном рассмотрении нескольких однотипных величин соответствующие обозначения, указанные в настоящем стандарте, сопровождаются подстрочными индексами 1, 2, 3 . . .

ОБЩЕСОЮЗНЫЙ СТАНДАРТ

ОСТ
ВКС 7623

Единицы рентгеновского излучения

Наменование	Сокращен- ные обоз- значения	Определения	Отношение к основной единице	Размер- ность
Единица физической дозы излучения				
1. Рентген	г	<p>Физическая доза рентгеновских лучей, при которой, в результате полного ионизационного действия в воздухе при 0° С и нормальном атмосферном давлении,¹ образуются заряды каждый в один электростатическую единицу на один куб. сантиметр освещаемого объема.</p> <p>Справка Вторым международным конгрессом радиологов в 1928 г. в Стокгольме определение этой же единицы "рентген" принято в следующей редакции</p> <p>"Международная единица рентгеновского излучения представляет собой количество рентгеновских лучей, которое в ионизационной камере в кубическом сантиметре атмосферного воздуха, находящегося при 0° С и под давлением ртутного столба в 760 мм высотой, при полном использовании вторичных электронов и при устранении действия стенки, создает такую проводимость, что измеренный при токе насыщения заряд равен одной электростатической единице"</p> <p>Примечание. Под полной ионизацией понимается полное использование лучистой энергии для ионизации</p>	1 $L^{-1}MT^{-2}$	

¹ По ОСТ 5859.

Наименование	Сокращен- ные об- значения	Определения	Отношени- е к основной единице	Размер- ность
2. Миллирентген	мг	Одна тысячная рентгена (0,001 г)	10^{-3}	$L^{-1}MT^{-2}$
3. Микрорентген	μг	Одна миллионная рентгена (0,000001 г)	10^{-6}	
Единица энергии излучения				
4. Рентген-кубический сантиметр	г·см ³	Энергия рентгеновских лучей, которая, будучи поглощена в одном кубическом сантиметре, создает в любом элементе этого объема физическую дозу, равную одному рейтгену	1	L^3MT^{-2}
5. Миллирентген-кубический сантиметр	мг × × см ³	Одна тысячная рентген-кубического сантиметра (0,001 г·см ³)	10^{-3}	
6. Микрорентген-кубический сантиметр	μг см ³	Одна миллионная рентген-куб. см. (0,000001 г·см ³)	10^{-6}	
Единица интенсивности излучения				
7. Рентген-сантиметр в секунду	г·см сек	Интенсивность рентгеновых лучей, при которой через один квадратный сантиметр поверхности нормально к ней в одну секунду проходит равномерно распределенная энергия излучения в один рентген-кубический сантиметр	1	
8. Миллирентген-сантиметр в секунду	мг·см сек	Одна тысячная рентген-сантиметра в секунду $(0,001 \frac{\text{г}\cdot\text{см}}{\text{сек}})$.	10^{-3}	
9. Микрорентген-сантиметр в секунду	μг·см сек	Одна миллионная рентген-сантиметра в секунду $(0,000001 \frac{\text{г}\cdot\text{см}}{\text{сек}})$	10^{-6}	

Наименование	Сокращенное обозначение единицы	Определения	Отношение к основной единице	Размерность
Единица мощности физической дозы, равно как и единица плотности интенсивности в спектре				
10. Рентген в секунду	$\frac{г}{сек}$	Мощность физической дозы рентгеновских лучей, при которой в течение одной секунды физическая доза равномерно нарастает на один рентген	1	$L^{-1}MT^{-3}$
11. Миллирентген в секунду	$\frac{мг}{сек}$	Одна тысячная рентгена в секунду $(0,001 \cdot \frac{г}{сек})$	10^{-3}	—
12. Микрорентген в секунду	$\frac{\mu г}{сек}$	Одна миллионная рентгена в секунду $(0,000001 \cdot \frac{г}{сек})$	10^{-6}	—

Условия вещественного осуществления единицы рентген устанавливаются Всесоюзным научно-исследовательским институтом метрологии (ВНИИМ).

Механический эквивалент рентгеновского излучения 1 ч = $0,11 \pm 0,01 \frac{эрг}{см^3}$

Рентгенометрия

Термины и определения

ОСТ
ВКС 7770

	Термины	Определения
1	Характеристический спектр	Спектр рентгеновского излучения, возникающего в результате перехода электронов в атоме с одного уровня энергии на другой и состоящего из колебаний нескольких различных частот
2	Непрерывный спектр	Спектр рентгеновского излучения, возникающего в результате торможения катодного пучка в какой-либо среде и состоящего из колебаний непрерывного ряда различных частот
3	Однородное излучение	Излучение, в состав которого входят рентгеновские лучи, длины волн которых лежат в произвольно выбранном узком интервале $\Delta\lambda$
4	Границная длина волны	Наименьшая длина волны в непрерывном спектре рентгеновских лучей
5	Длина волны максимальной интенсивности в непрерывном спектре	Длина волны, соответствующая наибольшей плотности интенсивности в непрерывном спектре
6	Коротковолновый участок спектра	Часть непрерывного спектра, примыкающая к границной длине волны
7	Участок наибольшей интенсивности спектра	Часть непрерывного спектра, примыкающая к длине волны максимальной интенсивности
8	Длинноволновый участок спектра	Часть непрерывного спектра, содержащая длины волн большие, чем длина волны максимальной интенсивности
9	Первичное излучение	Рентгеновское излучение, возникающее при попадании катодного пучка на вещество
10	Вторичное излучение	Рентгеновское излучение, возникающее в результате воздействия первичного излучения

№	Т е р м и н ы	О п р е д е л е н и я
11	Напряжение генерирования	Напряжение на электродах рентгеновской трубы во время генерирования рентгеновских лучей
12	Анодный ток	Ток, протекающий через анод рентгеновской трубы
13	Потенциал возбуждения атома	Наименьшее напряжение генерирования, при котором происходит возбуждение ряда линий характеристического спектра рентгеновских лучей
14	Ионная рентгеновская трубка	Вакуумный прибор для генерирования рентгеновских лучей, катодный пучок в котором образуется вследствие наличия газовых ионов
15	Электронная рентгеновская трубка	Вакуумный прибор для генерирования рентгеновских лучей, катодный пучок в котором образуется вследствие эмиссии электронов горячим катодом
16	Фокусное пятно (фокус)	Часть поверхности анода, которая является местом преимущественного попадания катодного пучка и преимущественного выхода первичных рентгеновских лучей
17	Зеркало анода	Поверхность среза анода, содержащая фокус рентгеновской трубы
18	Афокальное излучение	Рентгеновское излучение, возникающее вне фокусного пятна
19	Поглощение энергии рентгеновского излучения	Преобразование энергии падающих рентгеновских лучей в энергию другого вида при распространении их через какую-либо среду
20	Рассеяние энергии рентгеновского излучения	Преобразование энергии падающих рентгеновских лучей в энергию рентгеновских же лучей, но распространяющихся в различных направлениях
21	Ослабление рентгеновского излучения	Уменьшение мощности рентгеновских лучей при распространении через какую-либо среду, вследствие поглощения и рассеяния
22	Линейный коэффициент поглощения	Отношение поглощенной при фотоэффекте элементарным слоем среды энергии рентгеновских лучей к падающей, рассчитанное на единицу длины

	Термины	Определения
23	Линейный коэффициент рассеяния	Отношение рассеянной элементарным слоем среды энергии рентгеновских лучей к падающей, рассчитанное на единицу длины
24	Линейный коэффициент ослабления	Сумма линейных коэффициентов поглощения и рассеяния
25	Массовые коэффициенты поглощения, рассеяния, ослабления	Отношение линейных коэффициентов к плотности освещаемой среды
26	Ионизационное действие	Образование ионов, обусловленное освещением рентгеновскими лучами
27	Химическое действие	Протекание химической реакции, обусловленное освещением рентгеновскими лучами
28	Световоизлучающее действие	Свечение флуоресцирующего вещества, обусловленное освещением рентгеновскими лучами
29	Тепловое действие	Нагревание, обусловленное освещением рентгеновскими лучами
30	Жесткость рентгеновских лучей (проникающая способность)	Большая или меньшая проникающая способность (относительная) данного излучения, по сравнению с другим рентгеновским же излучением, при распространении через какую-либо среду
31	Степень неоднородности излучения	Ширина спектрального интервала рентгеновских лучей, определяемая числом октав колебаний, практически присутствующих в непрерывном спектре
32	Фильтрация излучения	Уменьшение степени неоднородности излучения при распространении рентгеновских лучей через какую-либо среду
33	Эквивалент по ослаблению	Толщина слоя какой-либо среды, которая ослабляет рентгеновское излучение во столько же раз, как и данный слой другой среды. Например, медный эквивалент 2 мм алюминия по ослаблению
34	Эквивалент по однородности	Толщина слоя ослабляющей среды, которая отфильтровывает спектр из стольких же октав, как и данный слой другой среды

Т е р м и н ы	О п р е д е л е н и я
35 Рабочий пучок	Пучок рентгеновских лучей, направленных в освещаемую среду
36 Окно трубки	Часть трубы, служащая для выпуска рабочего пучка
37 Диафрагма	Приспособление, предназначенное для ограничения поперечного сечения рабочего пучка
38 Осевой луч	Луч, являющийся осью симметрии рабочего пучка
39 Центральный луч	Луч, перпендикулярный к направлению: „середина катода — центр фокуса” — и лежащий в плоскости, содержащей ось трубы и нормаль к поверхности зеркала анода
40 Фокусное расстояние	Расстояние от середины фокуса рентгеновской трубы до рассматриваемой точки
41 Поле освещения	Площадь поперечного сечения рабочего пучка в месте его проникновения в освещаемую среду
42 Ионизационный объем	Объем газа, в котором фактически происходит образование ионов
43 Измерительный ионизационный объем	Объем газа, пронизываемый рентгеновскими лучами, к которому относят измеряемый ионизационный эффект
44 Процентная глубинная доза	Помноженное на 100 отношение физической дозы на глубине к дозе на поверхности в месте прохождения осевого луча
45 Изодоза	Кривая на плоскости, соединяющая точки, в которых значение мощности физической дозы рентгеновских лучей одинаково
46 Изодозная поверхность	Поверхность, во всех точках которой значение мощности физической дозы одинаково
47 Индикатор рентгеновских лучей	Прибор, предназначенный для обнаружения действия рентгеновских лучей
48 Дозиметр	Всякий прибор, предназначенный для измерения дозы или мощности дозы рентгеновских лучей

Н/п №	Термины	Определения
49	Рентгенметр	Прибор для измерения физической дозы в рентгенах или мощности физической дозы в рентгенах в секунду
50	Камера рентгенметра (дозиметра)	Часть рентгенметра (дозиметра), подвергаемая воздействию рентгеновских лучей, в которой происходит преобразование их энергии, измеряемое каким-либо методом
51	Контрольный ионизатор	Часть прибора, содержащая препарат радиоактивного элемента, предназначенный для контроля над сохранением постоянной реатгенметра
52	Фантом	Искусственное сооружение, заменяющее освещаемый объект и предназначенное для измерения физической дозы на глубине
53	Условно-безвредная доза	Физическая доза рентгеновских лучей в воздухе, при которой не проявляется вредное действие их на организм, подвергнутый освещению этими лучами
54	Защитное устройство	Устройство, предназначенное для защиты от вредного действия рентгеновских лучей
55	Свинцовый эквивалент образца	Выраженная в миллиметрах толщина свинца, ослабляющая мощность физической дозы в воздухе в той же мере, как и данный образец защитного устройства
56	Свинцовый коэффициент образца	Выраженное в процентах отношение свинцового эквивалента к толщине материала
57	Защитный материал	Материал, предназначенный для изготовления защитных устройств, свинцовый эквивалент которого определен согласно нормам и правилам защиты
58	Самозащитная рентгеновская трубка	Рентгеновская трубка, излучение которой при максимальном напряжении, допустимом трубкой, ослаблено в любом расстоянии от трубы, в пределах ее габарита, так же, как рабочий пучок ослаблен в тех же расстояниях от оси трубы слоем свинца толщиной, соответствующей нормам защиты

ОТДЕЛ IV

РЕНТГЕНОВСКИЕ ЛУЧИ

§ 1. Рентгеновские спектры

Физически строгое определение границ спектра рентгеновского излучения указать затруднительно. Наиболее важный в практическом отношении участок заключен в интервале от $\lambda = 0,05 \text{ \AA}$ до $\lambda = 2 \text{ \AA}$.

Между длиной волны λ , частотой колебаний v и скоростью света в пустоте c имеет место соотношение

$$v \cdot \lambda = c = 3 \cdot 10^{10} \frac{\text{см}}{\text{сек.}}$$

Величина кванта энергии e связана с потенциалом возбуждения U соотношением Планка

$$e = h\nu = eU,$$

где e — заряд электрона.

$$\text{Отсюда } \lambda = \frac{12,34}{U} \text{ для } \lambda \text{ в } \text{\AA} \text{ и } U \text{ в kV (Дуан-Хант).}$$

Таблица 20

Длина волн, потенциалы возбуждения, частоты и кванты энергии рентгеновских лучей

(для сравнения в конце таблицы приведены кванты энергии лучей длин волн, охватывающих видимый спектр)

λ A	U kV	v Hz	e эрги	e электрон- вольты
0,03	410	$1,00 \cdot 10^{20}$	$6,55 \cdot 10^{-7}$	$4,12 \cdot 10^5$
0,04	308	$7,50 \cdot 10^{19}$	$4,90 \cdot 10^{-7}$	$3,08 \cdot 10^5$
0,05	247	$6,00 \cdot 10^{19}$	$3,92 \cdot 10^{-7}$	$2,46 \cdot 10^5$
0,06	206	$5,00 \cdot 10^{19}$	$3,27 \cdot 10^{-7}$	$2,05 \cdot 10^5$
0,07	177	$4,30 \cdot 10^{19}$	$2,81 \cdot 10^{-7}$	$1,77 \cdot 10^5$
0,08	154	$3,75 \cdot 10^{19}$	$2,45 \cdot 10^{-7}$	$1,54 \cdot 10^5$
0,09	137	$3,33 \cdot 10^{19}$	$2,18 \cdot 10^{-7}$	$1,37 \cdot 10^5$
0,10	123	$3,00 \cdot 10^{19}$	$1,96 \cdot 10^{-7}$	$1,26 \cdot 10^5$
0,11	112	$2,72 \cdot 10^{19}$	$1,77 \cdot 10^{-7}$	$1,11 \cdot 10^5$
0,12	103	$2,50 \cdot 10^{19}$	$1,63 \cdot 10^{-7}$	$1,01 \cdot 10^5$
0,13	95,0	$2,30 \cdot 10^{19}$	$1,50 \cdot 10^{-7}$	$9,55 \cdot 10^4$
0,14	88,2	$2,14 \cdot 10^{19}$	$1,40 \cdot 10^{-7}$	$8,88 \cdot 10^4$

λ Å	U kV	v Hz	ϵ Эрги	ϵ электрон- вольты
0,15	82,3	$2,00 \cdot 10^{19}$	$1,31 \cdot 10^{-7}$	$8,24 \cdot 10^4$
0,16	77,1	$1,87 \cdot 10^{19}$	$1,22 \cdot 10^{-7}$	$7,79 \cdot 10^4$
0,17	72,7	$1,76 \cdot 10^{19}$	$1,15 \cdot 10^{-7}$	$7,25 \cdot 10^4$
0,18	68,5	$1,66 \cdot 10^{19}$	$1,08 \cdot 10^{-7}$	$6,80 \cdot 10^4$
0,19	65,0	$1,58 \cdot 10^{19}$	$1,03 \cdot 10^{-7}$	$6,47 \cdot 10^4$
0,20	61,7	$1,50 \cdot 10^{19}$	$9,30 \cdot 10^{-8}$	$5,84 \cdot 10^4$
0,22	56,1	$1,36 \cdot 10^{19}$	$8,90 \cdot 10^{-8}$	$5,59 \cdot 10^4$
0,24	51,5	$1,25 \cdot 10^{19}$	$8,15 \cdot 10^{-8}$	$5,12 \cdot 10^4$
0,26	47,5	$1,15 \cdot 10^{19}$	$7,51 \cdot 10^{-8}$	$4,72 \cdot 10^4$
0,28	44,0	$1,07 \cdot 10^{19}$	$7,00 \cdot 10^{-8}$	$4,40 \cdot 10^4$
0,30	41,2	$1,00 \cdot 10^{19}$	$6,55 \cdot 10^{-8}$	$4,11 \cdot 10^4$
0,32	38,6	$9,40 \cdot 10^{18}$	$6,14 \cdot 10^{-8}$	$3,85 \cdot 10^4$
0,34	36,3	$8,81 \cdot 10^{18}$	$5,76 \cdot 10^{-8}$	$3,62 \cdot 10^4$
0,36	34,4	$8,34 \cdot 10^{18}$	$5,45 \cdot 10^{-8}$	$3,42 \cdot 10^4$
0,38	32,4	$7,90 \cdot 10^{18}$	$5,16 \cdot 10^{-8}$	$3,25 \cdot 10^4$
0,40	30,8	$7,50 \cdot 10^{18}$	$4,90 \cdot 10^{-8}$	$3,08 \cdot 10^4$
0,45	27,4	$6,67 \cdot 10^{18}$	$4,35 \cdot 10^{-8}$	$2,74 \cdot 10^4$
0,50	24,7	$6,00 \cdot 10^{18}$	$3,92 \cdot 10^{-8}$	$2,46 \cdot 10^4$
0,55	22,4	$5,45 \cdot 10^{18}$	$3,56 \cdot 10^{-8}$	$2,24 \cdot 10^4$
0,60	20,6	$5,00 \cdot 10^{18}$	$3,26 \cdot 10^{-8}$	$2,05 \cdot 10^4$
0,70	17,6	$4,30 \cdot 10^{18}$	$2,82 \cdot 10^{-8}$	$1,77 \cdot 10^4$
0,80	15,4	$3,75 \cdot 10^{18}$	$2,45 \cdot 10^{-8}$	$1,54 \cdot 10^4$
0,90	13,7	$3,34 \cdot 10^{18}$	$2,18 \cdot 10^{-8}$	$1,37 \cdot 10^4$
1,0	12,4	$3,00 \cdot 10^{18}$	$1,96 \cdot 10^{-8}$	$1,23 \cdot 10^4$
1,2	10,3	$2,50 \cdot 10^{18}$	$1,63 \cdot 10^{-8}$	$1,02 \cdot 10^4$
1,4	8,80	$2,14 \cdot 10^{18}$	$1,40 \cdot 10^{-8}$	$8,80 \cdot 10^3$
1,6	7,70	$1,88 \cdot 10^{18}$	$1,23 \cdot 10^{-8}$	$7,75 \cdot 10^3$
1,8	6,86	$1,67 \cdot 10^{18}$	$1,09 \cdot 10^{-8}$	$6,90 \cdot 10^3$
2,0	6,17	$1,50 \cdot 10^{18}$	$9,80 \cdot 10^{-9}$	$6,15 \cdot 10^3$
2,5	4,95	$1,20 \cdot 10^{18}$	$7,84 \cdot 10^{-9}$	$4,92 \cdot 10^3$
3,0	4,10	$1,00 \cdot 10^{18}$	$6,55 \cdot 10^{-9}$	$4,12 \cdot 10^3$
3,5	3,53	$8,56 \cdot 10^{17}$	$5,60 \cdot 10^{-9}$	$3,52 \cdot 10^3$
4,0	3,04	$7,5 \cdot 10^{17}$	$4,90 \cdot 10^{-9}$	$3,08 \cdot 10^3$
3 000 Å	$4,10 \cdot 10^{-3}$	$1,00 \cdot 10^{15}$	$6,55 \cdot 10^{-12}$	— 4,12 —
6 000 Å	$2,06 \cdot 10^{-3}$	$5,00 \cdot 10^{14}$	$3,27 \cdot 10^{-12}$	— 2,05 —
10 000 Å	$1,24 \cdot 10^{-3}$	$3,00 \cdot 10^{14}$	$1,96 \cdot 10^{-12}$	— 1,23 —

Непрерывным спектром рентгеновских лучей называется спектр, возникающий в результате торможения электронов катодного пучка в любой среде и состоящий из непрерывного ряда частот колебаний.

Основные соотношения в непрерывном спектре

Границная длина волны определяется соотношением Дуан-Хэнга

$$\lambda_0 = \frac{12,34}{U_{\max}}.$$

Таблица 20-а

λ в \AA	U_{\max} в кВ						
0,01	1235	0,26	47,5	0,51	24,2	0,80	15,4
0,02	618	0,27	45,7	0,52	23,8	0,85	14,5
0,03	412	0,28	44,1	0,53	23,3	0,90	13,7
0,04	309	0,29	42,6	0,54	22,9	0,95	13,0
0,05	247	0,30	41,2	0,55	22,5	1,00	12,4
0,06	206	0,31	39,8	0,56	22,1	1,05	11,8
0,07	176	0,32	38,6	0,57	21,7	1,10	11,2
0,08	154	0,33	37,4	0,58	21,2	1,15	10,7
0,09	137	0,34	36,3	0,59	20,9	1,20	10,3
0,10	124	0,35	35,3	0,60	20,6	1,25	9,9
0,11	112	0,36	34,4	0,61	20,2	1,30	9,5
0,12	103	0,37	33,4	0,62	19,9	1,35	9,1
0,13	95	0,38	32,5	0,63	19,6	1,40	8,8
0,14	88	0,39	31,7	0,64	19,3	1,45	8,5
0,15	82	0,40	30,9	0,65	19,0	1,50	8,2
0,16	77	0,41	30,1	0,66	18,7	1,55	7,9
0,17	73	0,42	29,4	0,67	18,4	1,60	7,7
0,18	69	0,43	28,7	0,68	18,2	1,65	7,5
0,19	65	0,44	28,1	0,69	17,9	1,70	7,3
0,20	62	0,45	27,4	0,70	17,6	1,75	7,1
0,21	59	0,46	26,8	0,71	17,4	1,80	6,9
0,22	56	0,47	26,3	0,72	17,2	1,85	6,7
0,23	54	0,48	25,7	0,73	16,9	1,90	6,5
0,24	52	0,49	25,2	0,74	16,7	1,95	6,3
0,25	49	0,50	24,7	0,75	16,5	2,00	6,2

Функция, определяющая распределение интенсивности по спектру или плотность интенсивности в спектре

$$Y_\lambda = \frac{dI}{d\lambda},$$

где I — интенсивность лучей или количество лучистой энергии, отнесенное к единице поверхности и единице времени.

По Кулленкампфу, для постоянного напряжения и массивного анода

$$Y_\lambda = A \cdot J \cdot [Z(v_0 - v) + aZ^2],$$

где Z — атомный номер элемента анода,

J — сила анодного тока, в трубке,

A и a — постоянные, зависящие от выбора единиц.

Так как

$$Y_\lambda dv = - Y_\lambda d\lambda$$

$$d\nu = -\frac{c}{\lambda^2} d\lambda,$$

то

$$Y_\lambda = \frac{c}{\lambda^2} Y_\nu.$$

Пренебрегая членом aZ^2 ввиду его малости, допустимо считать

$$\begin{aligned} Y_\lambda &= \frac{A \cdot c^2}{12,34} \cdot J \cdot Z \cdot \frac{1}{\lambda^2} (U_0 - U_\lambda) = A_1 \cdot J \cdot Z \cdot \frac{c^2}{\lambda_0} \cdot \frac{\lambda - \lambda_0}{\lambda^3} = \\ &= k \cdot \frac{\lambda - \lambda_0}{\lambda^3}. \end{aligned}$$

Таким образом, плотность интенсивности в спектре, отвечающая какой-либо длине волны, прямо пропорциональна силе анодного тока J , атомному номеру элемента Z и напряжению генерирования U_0 .

Для построения кривых распределения интенсивности по спектру при различных напряжениях последнему выражению удобно придать иной вид, положив

$$\begin{aligned} \frac{\lambda}{\lambda_0} &= m; \\ Y_\lambda &= k_1 \cdot U^3 \cdot \frac{m - 1}{m^3}. \end{aligned}$$

Таблица 21

Значения $\varphi(m) = \frac{m-1}{m^3}$ для различных $m = \frac{\lambda}{\lambda_0}$ от 1 до 10

m	φm	m	φm
1	0	2,5	0,096
1,1	0,075	3,0	0,074
1,2	0,116	3,5	0,058
1,3	0,137	4,0	0,047
1,4	0,146	4,5	0,038
1,5	0,148	5,0	0,032
1,6	0,147	6,0	0,023
1,7	0,142	7,0	0,018
1,8	0,137	8,0	0,014
1,9	0,131	9,0	0,011
2,0	0,125	10,0	0,009

Вид кривых показан на рис. 28.

Максимальная плотность интенсивности в спектре приходится на длину волн $\lambda_{\max} \approx 1,5\lambda_0$, что вытекает из условия экстремума функции Y_λ .

$$\left(\frac{dY_\lambda}{d\lambda} = 0 \right).$$

Интенсивность смешанного излучения (всего спектра) прямо пропорциональна квадрату напряжения генерирования:

$$I = \int_{\lambda_0}^{\infty} Y_{\lambda} d\lambda = C \cdot J \cdot Z \cdot U^2.$$

Коэффициент полезного действия генератора рентгеновских лучей (трубки), прямо пропорционален атомному номеру элемента анода Z и напряжению генерирования U :

$$\eta = \frac{P_A}{P_s} = C \cdot Z \cdot U,$$

где $C \approx 10^{-6}$ при U , выраженным в киловольтах.

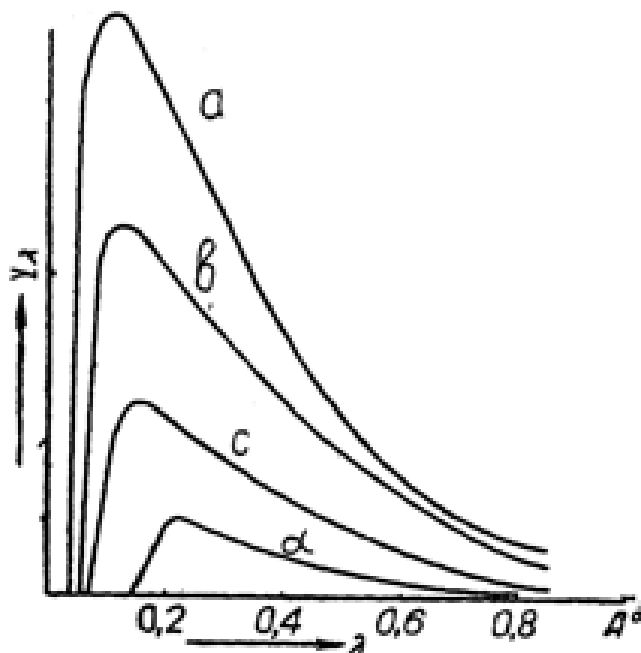


Рис. 28. Распределение плотности интенсивности в непрерывном спектре рентгеновских лучей для постоянного напряжения: а) 300 кВ, б) 275 кВ, в) 150 кВ, г) 75 кВ.

Если напряжение не остается постоянным, то для построения кривой распределения плотности интенсивности по действующему спектру необходимо знать формы кривых напряжения генерирования и анодного тока.

При пульсации напряжения пульсирует также и спектр излучения, так что для действующего значения плотности интенсивности имеем:

$$Y_{\lambda} = \frac{1}{T} \int_{\tau}^{T+\tau} Y_{\lambda}(t) dt,$$

где T — период пульсации и τ время генерирования (в частях периода) излучения длины волны λ или частоты $v = \frac{c}{\lambda}$.

Отсюда

$$\bar{Y}_\lambda = \frac{c}{T\lambda^2} \int_{\tau} Y_\nu(t) dt = \frac{A}{T\lambda^2} \left[\frac{e}{h} \int_{\tau} J(t) U(t) dt - \frac{c}{\lambda} \int_{\tau} J(t) dt \right].$$

Если заданы кривые $U(t)$ и $J(t)$, то из первой легко найти τ , поскольку $v_0(t) = \frac{e}{h} U(t)$; для этого достаточно провести на графике $U(t)$ прямую, параллельную оси времен на уровне значения

$$U = \frac{h}{e} v = \frac{h \cdot c}{e \cdot \lambda}.$$

Точки пересечения с кривой $U(t)$ определяют границы времени τ для заданной v .

Дополнительно строится кривая $f(t) = J(t) U(t)$, и тогда по площадям участков кривых за время τ находятся значения

$$\int_{\tau} J(t) U(t)$$

и

$$\int_{\tau} J(t) dt,$$

а значит и \bar{Y}_λ .

Для $U(t)$ в кВ, $J(t)$ в мА и λ в \AA имеем

$$\begin{aligned} \bar{Y}_\lambda &= B \frac{1}{\lambda^2} \cdot \frac{1}{T} \left[\frac{10}{3} \int_{\tau} J(t) U(t) dt - \frac{ch \cdot 10^8}{e \cdot \lambda} \int_{\tau} J(t) dt \right] = \\ &= B \frac{1}{\lambda^2} \frac{1}{T} \left[\frac{10}{3} \int_{\tau} J(t) U(t) dt - \frac{41,3}{\lambda} \int_{\tau} J(t) dt \right]. \end{aligned}$$

Характеристическим спектром рентгеновских лучей называется спектр, возникающий в результате перехода атома данного вещества от одного энергетического уровня к другому и состоящий из дискретного ряда частот колебаний.

Характеристические лучи возникают только тогда, когда энергия движущего электрона или квант-энергии возбуждающего колебания больше или достигает значения кванта-энергии характеристического излучения:

$$e \cdot U \geq h\nu_x$$

или

$$h\nu_0 \geq h\nu_x$$

Потенциал возбуждения наиболее жестких групп линий серий

 K и L различных элементов $\lambda_K = \frac{12,34}{U_K}$ и $\lambda_L = \frac{12,34}{U_L}$

Z	K		L		Z	K		L	
	U_K	λ_K	U_L	λ_L		U_K	λ_K	U_L	λ_L
92 U	115	0,073	21,7	0,570	47 Ag	25,5	0,484	3,79	3,260
90 Tn	109	0,113	20,5	0,615	46 Pd	24,4	0,515	3,64	3,400
83 Bi	90,1	0,137	16,4	0,754	45 Rh	23,2	0,532	3,43	3,600
82 Pb	87,6	0,141	15,8	0,780	44 Rn	22,1	0,560	3,24	3,820
81 Tl	85,2	0,145	15,3	0,807	42 Mo	20,0	0,618	2,87	4,300
80 Hg	82,9	0,149	14,8	0,835	41 Nb	19,0	0,650	2,68	4,610
79 Au	80,5	0,153	14,4	0,860	40 Zr	18,0	0,685	2,51	4,920
78 Pt	78,1	0,158	13,9	0,890	39 V	17,0	0,725	2,36	5,230
77 Ir	76,0	0,162	13,4	0,920	38 Sr	16,1	0,770	2,19	5,640
76 Os	73,8	0,167	13,0	0,950	37 Rb	15,2	0,820	2,05	6,150
74 W	69,3	0,178	12,1	1,020	35 Br	13,5	0,915	1,77	7,000
73 Ta	67,4	0,183	11,7	1,055	34 Se	12,7	0,975	1,64	7,520
72 Hf	65,4	0,189	11,3	1,094	33 As	11,9	1,037	1,52	8,150
71 Cp	63,4	0,195	10,9	1,135	32 Ge	11,1	1,111	1,41	8,750
70 Ad	61,4	0,201	10,5	1,175	31 Ga	10,4	1,185	1,31	9,430
69 Tu	59,5	0,207	10,1	1,225	30 Zn	9,65	1,260	1,20	10,30
68 Er	57,3	0,215	9,73	1,270	29 Cu	8,86	1,383		
67 Ho	55,8	0,221	9,38	1,320	28 Ni	8,29	1,490		
66 Dy	53,8	0,230	9,03	1,370	27 Co	7,71	1,600		
65 Tb	52,0	0,237	8,70	1,420	26 Fe	7,10	1,740		
64 Gd	50,8	0,246	8,37	1,470	25 Mn	6,54	1,890		
63 Eu	48,6	0,254	8,04	1,540	24 Cr	5,98	2,030		
62 Sm	46,8	0,264	7,73	1,600	23 Va	5,45	2,270		
60 Nd	43,6	0,283	7,12	1,735	22 Ti	4,95	2,490		
59 Pr	41,9	0,295	6,83	1,810	21 Sc	4,49	2,750		
58 Ce	40,3	0,306	7,54	1,890	20 Ca	4,03	3,060		
57 La	38,7	0,319	6,26	1,970	19 K	3,59	3,440		
56 Ba	37,4	0,330	5,99	2,060	17 Cl	2,82	4,375		
55 Cs	35,9	0,344	5,71	2,160	16 S	2,46	5,050		
53 J	33,2	0,371	5,18	2,380	15 P	2,14	5,780		
52 Te	31,8	0,389	4,93	2,500	14 Si	1,83	6,750		
51 Sb	30,4	0,405	4,69	2,640	13 Al	1,55	7,790		
50 Sn	29,1	0,425	4,49	2,760	12 Mg	1,30	9,500		
49 In	27,9	0,442	4,28	2,890	11 Na	1,30	11,500		
48 Cd	26,7	0,462	4,07	3,041	9 F	0,68	18,300		

Частоты колебаний линий характеристического спектра атома есть аддитивное свойство его.

По Мезели, для наиболее интенсивной линии серии K ,

$$\nu_K = \frac{3}{4} R(Z-1)^2,$$

где R — постоянная Ридберга.

Таблица 23

Длина волны $K = \text{серии в } X - \text{единицах}$. $\text{IX} = 0,001 \text{ A} = 10^{-11} \text{ см}$ (+ обозначает, что к числу нужно прибавить 0,5 X , напр. $11883 + 0,5 = 11883,5$)¹

Интенсивность		очень сильная	сильная	очень слабая	средн.	слабая	очень слабая
Z	элемент	α_1	α_2	α_3	β_1	β_2	β_3
9	F	18300	—	—	—	—	—
11	Na	11883+	11802+	11591	—	—	—
12	Mg	9868	9799+	9534+	—	—	9647
13	Al	8319+	8264+	7940+	—	—	8025
14	Si	7109	7064	6739	—	—	6744
15	P	6142	6102	5786	—	—	5820+
16	S	5361	5364	5329+	5021	—	5045
17	Cl	4718	4721+	4688	4394	—	—
19	K	3734	3737	3711	3447	—	—
20	Ca	3352	3355	3322	3083+	3067+	—
21	Sc	3025	3028+	3006	2774	2755+	—
22	Ti	2743	2747	2727	2509	2494	2515
23	V	2498	2502	2484+	2280	2264+	2285
24	Cr	2285	2289	2273	2080+	2067	2086
25	Mn	2097	2101+	2088	1906	1893	1910+
26	Fe	1932	1936+	1923	1753	1740+	1756
27	Co	1785	1789+	1777+	1617	1605+	1620
28	Ni	1654+	1658+	1647+	1497	1485+	1499
29	Cu	1537	1541	1531	1389	1378	—
30	Zn	1432	1436	1429	1292+	1281	—
32	Se	1251	1255	—	1126+	1114+	—
33	As	1173+	1177+	—	1055	1043	—
34	Se	1102+	1106+	—	990	978	—
35	Br	1037+	1041+	—	931	918	—
37	Rb	923+	928	—	827	815	—
38	Sr	873+	877+	—	781+	769	—
39	Y	827	831	—	739	727	—
40	Zr	784	788+	—	700+	688	—

¹ Относительно положения некоторых очень слабых линий элементов от F до Ca см. Зигбан, „Спектроскопия рентгеновских лучей“, стр. 103, и Ландольт-Бернштейн, Физико-химические таблицы, 5 Aufl., Ergänzungsband, 1927, S. 324/325.

Интенсивность		очень сильная	сильная	очень слабая	средн.	слабая	очень слабая
Z	элемент	α_1	α_2	α_3	β_1	β_2	β_3
41	Nb	744+	749	—	664+	652+	—
43	Mo	708	712	—	631	620	—
43	Ma	672	675	—	601	—	—
44	Ru	642	646	—	571+	560+	—
45	Rh	612	616+	—	545	534	—
46	Pd	584	588+	—	520	509+	—
47	Ag	558	562+	—	496	486	—
48	Cd	534	538	—	474	464+	—
49	In	511	515+	—	454	444	—
50	Sn	489+	494	—	434+	425	—
51	Sb	469+	474	—	416	407	—
52	Te	450+	455	—	399	390+	—
53	J	432+	437	—	389+	375	—
55	Cs	399+	404	—	353+	345	—
56	Ba	384+	389	—	340+	332	—
57	La	370	375	—	328	320	—
58	Ce	356+	361	—	315+	308	—
59	Pr	348	343+	—	304	296	—
60	Nd	331	336	—	293	286	—
61	Eu	320	324	—	281+	—	—
62	Sm	308+	313	—	273	266	—
63	Eu	298	303	—	263+	256+	—
64	Gd	288	292+	—	254	247+	—
65	Tb	278	283	—	246	239	—
66	Dy	269	274	—	237+	231	—
67	Ho	260	265	—	—	—	—
68	Er	252	257	—	222+	217	—
69	Tu	244	248+	—	215	—	—
70	Yb	236	241	—	209	203	—
71	Lu	229	233+	—	202	196+	—
72	Hf	222	226+	—	195+	190+	—

Интенсивность		очень сильная	сильная	очень слабая	средн.	слабая	очень слабая
Z	элемент	α_1	α_2	α_3	β_1	β_2	β_3
73	Ta	215	220	—	190	184+	—
74	W	209	213+	—	184	179	—
76	Os	196+	201	—	173+	169	—
77	Ir	191	195+	—	168	164	—
78	Pt	185	190	—	163+	159	—
79	Au	180	185	—	159	154	—
80	Hg	—	—	—	—	—	Граница поглощения K. 148
81	Tl	170	175	—	150	145+	—
82	Pb	165	170	—	146	141	—
83	Bi	160+	165	—	142	—	—
90	Th	—	—	—	—	—	Граница поглощения K. 113
92	U	126+	131	—	112	108+	—

Граница K полосы поглощения отвечает длине волны меньшей чем λ_{β} , серии K на 1–2 X.

Таблица 24

Длина волн линий $L =$ серии в X — единицах, начинная с $\lambda = 10000 \text{ Å}$, $I = X = 0,001 \text{ A} = 10^{-11} \text{ см}^3$
(+ означает, что к числу нужно прибавить 0,5 X , например $8970 + = 8970,5 \text{ Å}$)

Ли- ния	Натен- сив- ность	83 $A_{\text{в}}$	84 $S_{\text{е}}$	35 B_{r}	37 R_{b}	38 S_{r}	39 Y	40 Z_{r}	41 N_{b}	42 M_{o}	44 R_{n}	45 B_{h}	46 P_{d}	47 A_{g}	48 C_{d}	49 J_{n}	50 S_{n}
α_1	с.	9650	8970 +	8356	7303	6848	6436	6056	5711	5394	4836	4588	4358 +	4145 +	3948	3764	3592
α_2	ср.	9617	8938 +	8126	7273	6818	6406 +	6027	5688 +	5372	4818	4572	4344 +	4154	3956	3772 +	3601
α_3	ср.	11047	10271	9563	8029	7821	7505	6898	6309	5486 +	5207	4697	4471	4259	4070	3878	4063
γ_1	ср.	11710	9939	9234	8029	7505	7030	6593	6195	5835	4911	4650	4410	4187 +	3976		
δ_1	с.	9394	8717	8107 +	7060 +	6603	6203	5823	5479 +	5168	4811	4385	4187	3926	3730	3548	3371
δ_2	ср.								5573 +	5225	4909	4562	4122	3901	3684	3503	3168
δ_3	ср.								5973	5618	5296 +	5004	4476 +	4026	3824 +	3686 +	3299
δ_4	ср.								6007	5651	5380	5040	4512 +	4280	4062	3861	3336
δ_5	ср.								6085	5692	5346 +	5040	4476 +	4007	3708 +	3605 +	3262
δ_6	ср.													3620	3630	3260	3108
δ_7	ср.													3663	3477 +	3266	3114 +
δ_8	о.ср.													3654	3468 +	3296	3135
δ_9	о.ср.																
δ_{10}	о.ср.																
δ_{11}	о.ср.																
δ_{12}	о.ср.																
γ_2	ср.																
γ_3	ср.																
γ_4	ср.																
γ_5	ср.																
γ_6	ср.																
γ_7	ср.																
L_{III}																	
L_{II}																	
L_1																	

Граница полосы поглощения (индексы в порядке возрастания длины волн)

Продолжение таблицы 24

Ли- ни и	Инген- ер- ств- ность	70	71	72	73	74	75	76	77	78	79	80	81	82	83	84	85	86	87	88	89	90	91	92	
	Yb	Cp	W	Ta	W	Re	O ₃	T _r	P _t	A _u	Hg	T _l	Pb	Bi ³	Th ⁴	Pd	N								
σ_1	с.	1668	1615+	1566	1518	1473+	1430	1388	1348+	1310	1274	1238+	1205	1172+	1141	954	931	909	718+	753	708+	745+	720		
σ_2	ср.	1679	1626+	1577	1529+	1484+	1441	1398	1360	1321+	1265	1250	1216	1183+	1153	965	943	909	718+	753	708+	745+	720		
σ_3	ср.	1890	1832	1777+	1724	1675	1627	1540	1497	1456+	1418	1385	1346+	1313	1112+	1088+	1065	1043	928	828	803	828	803		
η	с.	1631	1574	1520	1485	1418	1371																		
θ_1	с.	1477+	1431	1371	1323+	1279	1235	1194+	1155+	1117+	1081	1046+	1013	950	763+	741	773	753	708+	745+	724+	786+	736+		
θ_2	ср.	1413	1367	1323+	1281	1242	1205	1168+	1133	1100	1068	1038	1008	981	953	762	752	752	708+	745+	724+	786+	736+		
θ_3	ср.	1449+	1398	1350	1303	1260	1216	1177	1138	1099+	1068+	1030	998	966	936	905	975+	975+	975+	708+	745+	724+	786+	736+	
θ_4	ср.	1485	1437	1389	1342	1299	1256	1215	1176+	1140	1104+	1068+	1037	1005	975+	975+	975+	975+	975+	708+	745+	724+	786+	736+	
θ_5	о. ср.	1437	1297	1250+	1212+	1175	1140	1103	1070	1038	1008	978	949+	922	901+	891+	891+	891+	891+	891+	708+	745+	724+	786+	736+
θ_6	о. ср.	1463	1414	1371	1327	1287	1248	1205	1172	1140	1110+	1077	1048	1019	988	959	959	959	959	959	959	959	959	959	
θ_7	о. ср.	1346	1302+	1260	1221	1183	1148	1108	1078+	1046+	1016	988	959+	933+	922	922	922	922	922	922	922	922	922	922	
θ_8	о. ср.	1393	1287	1243	1202	1162	1124	1087+	1052	1019	1005	1057	1026	1001	1001	1001	1001	1001	1001	1001	1001	1001	1001		
θ_9	о. ср.	1340	1297	1250	1209+	1170	1135	1104	1072	1034	1005	1005	1005	1005	1005	1005	1005	1005	1005	1005	1005	1005	1005		
θ_{10}	о. ср.																								
θ_{11}	о. ср.																								
γ_1	ср.	1265	1220	1176+	1135	1096	1059	1022+	989	956	924+	894+	866	838	811+	652	652	652	613	604+	604+	597	592		
γ_2	ср.	1225+	1183	1141	1102	1066	1030	993+	963	932	901	869+	845	818	793	793	793	793	793	793	793	793	793		
γ_3	ср.	1220	1177+	1135+	1096	1060	1024	956+	925+	897	869+	838	814	787+	787+	787+	787+	787+	787+	787+	787+	787+	787+		
γ_4	о. ср.	1182	1141	1100	1062+	1026	991	917	885	866	835	810	783+	761	761	761	761	761	761	761	761	761	761		
γ_5	о. ср.	1303	1256	1212	1170	1129	1091	1054	1020	985+	954	914+	884	864	838	838	838	838	838	838	838	838	838		
γ_6	о. ср.									963+	932	901	842	814	787	787	787	787	787	787	787	787	787		
γ_{11}																									
Граница полосы поглощения (индексы в порядке возрастания длии волн)																									
L_{II^3}		1386	1338	1293	1252	1211+	1174	1138	1093+	1058	1007	977+	950	921+	759+	759+	759+	759+	759+	759+	759+	759+	759+		
L_{II^4}		1239	1194+	1191+	1150	1071	1034	998+	965	933	901	870	841+	813	787+	787+	787+	787+	787+	787+	787+	787+	787+		
L_{II^5}		1171	1136	1055	1057	1020+	987	951+	919+	892	861	833+	805+	780	756+	728+	728+	728+	728+	728+	728+	728+	728+		

1. a_3 1514, γ_7 1102+; 2. γ_8 1079; 3. $P_0/84/\alpha$, 1101, β_1 922; 4. $Ra/88/\alpha$, 1010, L_{II} 802, L_{II} 668

Таблица №6

Длина волн линий серии M в единицах $\lambda = 10^{-11} \text{ см}$ (от 10 000 λ и меньше)

Элемент	Сильные линии			Слабые линии									
	α	β	γ	8 919	7 870	8 090	7 803	8 411	6 952	6 233	6 459	6 012	6 882
66 Dy	—	9 323											
67 Ho	9 150	8 943											
68 Er	8 783	8 573											
70 Yb	8 125	7 891											
71 Lu	7 820	7 582											
73 Ta	7 238	7 001											
74 W	6 973	6 745											
76 Os	6 481	6 256											
77 Ir	6 250	6 030											
78 Pt	6 041	5 820											
79 Au	5 831	5 619											
81 Tl	5 443	5 233											
82 Pb	5 273	5 065											
83 Bi	5 107	4 894											
90 Th	4 129	3 931											
92 U	3 901	3 709											

Прецзионные измерения стандартных линий (*K*-серия)

Z_1	Элемент	α_1	α_2	β_1	β_2	Наблюдатель
29	Cu	1537,29	1541,02	1389,29	1377,98	Лейде
42	Mo	707,80	712,08	631,24	619,69	Лейде
47	Ag	558,21	562,64	496,33	486,10	Лейде
74	W	208,85	213,52	184,36	179,40	Зигбан
78	Pt	185,23	190,04	163,70	158,87	Корк — Стефенсон
Граница полосы поглощения						
35	Bг			918,09		Лейле
47	Ag			484,80		Лейде

Интенсивность линий характеристического спектра излучения по Вобстеру и Кларку

$$I_k = c \cdot J \cdot (U - U_k)^n,$$

где $n = 1,5$ для серии *K*,

и $n = 2,0$ для серии *L*.

§ 2. Энергетические величины и соотношения

Суждение о рентгеновском излучении возможно лишь по тому действию, которое оно производит в среде, поглощающей энергию лучей.

В области рентгеновских лучей основным количественным понятием является энергия излучения W .

Энергия, отнесенная к единице поверхности, представляет собой поверхностную плотность излучения:

$$E = \frac{dW}{dS}.$$

Энергия, отнесенная к единице времени, дает мощность излучения (или поток лучистой энергии):

$$N = \frac{dW}{dt}.$$

Мощность излучения, отнесенная к единице поверхности, дает интенсивность излучения

$$I = \frac{dN}{dS}.$$

Очевидно

$$W = \int \int I \cdot ds \cdot dt.$$

При рассмотрении практически однородного излучения длины волны λ под интенсивностью I_λ подразумевается

$$I_\lambda = Y_\lambda \Delta\lambda,$$

где $\Delta\lambda$ некоторый достаточно узкий интервал спектра.

Объемная плотность излучения M есть энергия излучения, отнесенная к единице объема.

Очевидно,

$$M = \frac{dW}{dv} = \frac{I}{c},$$

где c — скорость света.

Объемная плотность поглощенной (преобразованной в другой вид) энергии излучения называется физической дозой:

$$D = \frac{dW_a}{dv}.$$

Эта величина получается непосредственно из измерений.

Физическая доза, отнесенная к единице времени, дает мощность дозы (мощность поглощения)

$$P = \frac{dD}{dt} = \frac{dN_a}{dv}.$$

Между интенсивностью излучения и мощностью физической дозы в какой-либо поглащающей среде имеет место соотношение

$$P = I\gamma,$$

где γ — коэффициент электронного преобразования, зависящий от качества излучения и свойств среды.

Таким образом для нахождения I по измеренному P необходимо знать γ .

§ 3. Поглощение и рассеяние рентгеновских лучей

Ослабление интенсивности рентгеновских лучей по мере проникновения их в какую-либо среду происходит не только вследствие геометрии пучка (закон квадратов расстояний), но также вследствие поглощения и рассеяния.

Закон ослабления интенсивности для однородного излучения имеет вид

$$I = I_0 \left(\frac{a}{a+x} \right)^2 e^{-\mu x},$$

где x — толщина ослабляющего слоя, a — расстояние от источника до поверхности, на которой $I = I_0$ и μ — линейный коэффициент ослабления лучей в среде слоя x . Коэффициент ослабления представляет собой сумму двух коэффициентов: фотоэлектрического поглощения τ и рассеяния σ :

$$\mu = \tau + \sigma.$$

Так как μ , τ и σ прямопропорциональны плотности среды, то для любой среды характерным являются соответствующие массовые коэффициенты

$$\frac{\mu}{\rho} = \frac{\tau}{\rho} + \frac{\sigma}{\rho},$$

где ρ — плотность среды.

Таблица 27

Значения массовых коэффициентов ослабления $\rho = \frac{\mu}{\rho} + \frac{\sigma}{\rho}$ по измерениям различных авторов

		с однородными рентгеновскими лучами												
$\lambda =$		0,081	0,030	0,100	0,150	0,200	0,300	0,400	0,500	0,600	0,631	0,700	0,709	0,800
$C Z = 6$	Хевлетт	—	0,144	0,163	0,173	0,202	0,241	0,304	0,395	0,429	0,528	0,543	0,706	—
Γ рафит	Аллен 1924	—	0,146	0,151	0,162	0,190	0,245	0,326	—	0,550	—	0,68	—	—
$\rho = 2,3 \frac{e}{cm^3}$	Аллен 1926	0,143	0,148	0,150	0,153	0,165	—	—	—	—	—	0,63	0,900	—
$A_1 Z = 13$	Хевлетт	—	—	—	0,200	0,270	0,560	0,980	1,85	3,05	3,50	4,95	5,06	7,24
$\rho = 2,7 \frac{e}{cm^3}$	Рихтмайер	—	—	0,160	0,200	0,270	0,560	1,08	1,86	3,25	3,71	5,07	5,26	7,48
$\rho = 7,7 \frac{e}{cm^3}$	Аллен 1924	—	—	0,160	0,205	0,275	0,545	1,11	1,94	—	3,78	—	5,35	—
$\rho = 7,7 - 7,9 \frac{e}{cm^3}$	Аллен 1926	0,145	0,160	0,168	0,203	0,273	—	—	1,94	—	—	—	—	—
$\rho = 7,7 - 7,9 \frac{e}{cm^3}$	Ионссон 1928	—	—	—	—	—	—	—	—	—	—	—	5,41	—
$\rho = 7,7 - 7,9 \frac{e}{cm^3}$	Бекхерст 1929	—	—	—	—	—	—	—	—	—	5,0	—	7,4	—
$P_V Z = 26$	Хевлетт	—	—	—	0,62	1,06	3,09	7,02	13,8	22,6	26,1	35,3	36,5	50,7
$\rho = 7,7 - 7,9 \frac{e}{cm^3}$	Рихтмайер	—	—	0,55	1,06	3,15	7,25	—	—	—	—	—	—	—
$\rho = 7,7 - 7,9 \frac{e}{cm^3}$	Аллен 1924	—	—	0,58	1,07	3,30	—	—	—	—	—	—	—	—
$\rho = 7,7 - 7,9 \frac{e}{cm^3}$	Аллен 1926	0,235	0,250	0,270	0,59	—	—	—	—	—	—	—	—	—
$C u Z = 29$	Рихтмайер 1921	—	—	0,650	1,00	1,63	4,46	9,92	18,9	32,3	—	—	—	—
$\rho = 8,9 \frac{e}{cm^3}$	Рихтмайер 1926	—	—	0,350	0,720	1,41	4,31	—	—	—	—	—	—	—
$\rho = 8,9 \frac{e}{cm^3}$	Аллен 1924	—	—	—	0,780	1,55	4,50	10,2	19,0	—	37,8	—	53,7	—
$\rho = 8,9 \frac{e}{cm^3}$	Аллен 1926	0,270	0,295	0,330	0,770	1,55	—	—	19,3	33,0	—	—	—	72,0
$M o Z = 42$	Ионссон 1928	—	—	—	—	—	—	—	—	—	—	—	—	—
$\rho = 10,2 \frac{e}{cm^3}$	Бекхерст 1929	—	—	—	—	—	—	—	—	—	—	49	—	70,8
$M o Z = 42$	Рихтмайер 1921	—	—	0,850	1,92	4,00	12,6	—	—	K	—	—	—	—
$\rho = 10,2 \frac{e}{cm^3}$	Рихтмайер 1926	—	—	1,38	2,26	4,00	11,1	25,0	48,0	82,0	13,8	18,7	19,4	27,5
$M o Z = 42$	Ионссон 1928	—	—	—	—	—	—	—	—	13,4	18,1	18,9	26,7	—

		$\lambda =$	0,081	0,090	0,100	0,150	0,200	0,300	0,400	0,500	0,600	0,631	0,700	0,709	0,800
$A g$	$Z = 47$	Рихтмайер 1921 . . .	—	—	1,30	2,75	5,53	17,0	39,3	K 11,4	19,2	23,0	—	—	—
		Рихтмайер 1926 . . .	—	—	1,55	2,84	5,36	15,8	35,9	9,75	16,1	18,4	25,0	26,0	—
	$\rho = 10,5 \frac{g}{cm^3}$	Аллен 1924	—	—	1,04	2,63	5,50	17,9	38,2	10,5	—	20,5	—	28,5	—
		Аллен 1926	0,740	0,900	1,13	2,63	5,60	—	—	10,0	—	—	25,0	26,8	41,0
		Ионссон 1928	—	—	—	—	—	—	—	—	—	—	25,5	—	—
		Бекхерст 1929	—	—	—	—	—	—	—	—	—	—	—	—	37,6
Zn	$Z = 50$	Рихтмайер 1926 . . .	—	—	1,53	2,94	6,60	16,5	37,7	K 12,2	20,4	22,4	31,8	33,2	—
		Рихтмайер 1927 . . .	—	—	—	—	6,80	18,0	40,0	—	—	—	—	—	—
	$\rho = 7,3 \frac{g}{cm^3}$	Аллен 1924	—	—	—	6,00	6,30	—	—	—	—	—	—	—	—
		Аллен 1926	0,800	0,950	1,14	3,10	6,20	—	—	12,0	—	—	—	32,5	47,0
W	$Z = 74$	Рихтмайер 1924 . . .	—	—	2,67	7,10	K 3,44	9,72	—	—	—	—	—	—	—
		Аллен 1924	—	—	3,80	8,10	3,29	8,60	19,8	38,0	—	—	—	—	—
	$\rho = 19,1 \frac{g}{cm^3}$	Аллен 1926	2,40	2,80	3,40	7,90	3,50	—	—	—	75,0	—	—	—	—
Pt	$Z = 78$	Аллен 1924	—	—	3,40	—	K 4,16	11,5	24,5	45,5	—	87,0	—	119,0	$- L_1$
		Аллен 1926	2,50	2,95	3,70	7,80	4,20	—	—	—	75,2	—	87,0	—	119
	$\rho = 21,4 \frac{g}{cm^3}$	Ионссон	—	—	—	—	—	—	—	—	—	—	—	—	150
		Бекхерст	—	—	—	—	—	—	—	—	—	—	—	—	—
Au	$Z = 79$	Рихтмайер	—	—	3,07	8,67	K 4,01	11,5	—	—	—	—	—	—	$- L_1$
		Аллен 1924	—	—	3,00	—	4,28	—	—	—	—	—	—	—	—
	$\rho = 19,3 \frac{g}{cm^3}$	Аллен 1926	2,44	2,85	3,60	7,98	4,35	—	—	—	—	—	—	—	—
		Бекхерст	—	—	—	—	—	—	—	—	—	—	—	—	—
Pb	$Z = 82$	Рихтмайер 1921 . . .	—	—	—	—	K 2,47	4,83	14,5	33,7	—	—	—	—	$- L_1 - L_0$
		Рихтмайер 1926 . . .	—	—	—	—	3,27	2,31	4,51	18,6	—	—	—	—	—
	$\rho = 11,3 \frac{g}{cm^3}$	Аллен 1924	—	—	—	3,40	—	4,64	13,6	31,8	58	—	102	—	—
		Аллен 1926	2,53	3,00	—	—	—	—	—	—	—	—	—	—	140
U	$Z = 92$	$\lambda =$	—	0,095	K 0,113	0,126	0,14	0,151	0,164	A ⁰	—	—	—	—	—
		Аллен 1926	—	3,53	1,78	1,90	2,56	3,78	5,24	—	—	—	—	—	—

Продолжение таблицы 27

$\lambda =$		0,900	0,925	1,000	1,090	1,100	1,175	1,293	1,348	1,390	1,433	1,540	1,655	1,752
C Z = 6 Графит $\rho = 2,3 \frac{g}{cm^3}$	Хевлетт... Аллен 1924... Аллен 1926... Аллен 1929...	0,934 — — 1,20	— — — —	1,287 — — 1,50	— — — 2,0	— — — 2,4	— — — 3,2	— — — —	— — — 3,8	— — — 4,3	— — — 4,9	— — — 6,4	— — — 7,3	
Al Z = 13 $\rho = 2,7 \frac{g}{cm^3}$	Хевлетт... Рихтмейер 1924... Аллен 1926... Ионссон 1928... Венхерст 1929...	10,1 — — — —	— — — — —	13,8 — — — —	— — — — —									
Fe Z = 26 $\rho = 7,7 - 7,9 \frac{g}{cm^3}$	Хевлетт... Рихтмейер 1924... Аллен 1926... Аллен 1929...	68,3 — — —	— — — —	90,2 — — —	— — — —									
Cu Z = 29 $\rho = 8,9 \frac{g}{cm^3}$	Рихтмейер 1921... Рихтмейер 1926... Аллен 1924... Аллен 1926... Ионссон 1928... Венхерст 1929...	— — — — — —												
Mo Z = 42 $\rho = 10,2 \frac{g}{cm^3}$	Рихтмейер 1921... Рихтмейер 1926...	38,5 37,5	— —	52,5 51,0	— —	— —								

$\lambda =$		0,900	0,925	1,000	1,090	1,100	1,175	1,293	1,348	1,390	1,433	1,540	1,655	1,752
$Ag \ Z = 47$ $\rho = 10,5 \frac{g}{cm^3}$	Рихтмейер 1921 . . .	—	—	—	—	—	—	—	—	—	—	—	—	—
	Рихтмейер 1926 . . .	—	—	—	—	—	—	—	—	—	—	—	—	—
	Аллен 1924	—	—	—	—	—	—	—	—	—	—	—	—	—
	Аллен 1926	55,0	—	—	—	—	—	95	146	—	—	225	280	325
	Аллен 1928	—	—	—	—	—	—	111	140	—	—	212	285	—
	Ионсон 1929	—	—	—	—	—	—	97	107	143	—	227	276	327
$Zn \ Z = 50$ $\rho = 7,3 \frac{g}{cm^3}$	Рихтмейер 1926 . . .	—	—	—	—	—	—	—	—	—	—	—	—	—
	Рихтмейер 1927 . . .	—	—	—	—	—	—	—	—	—	—	—	—	—
	Аллен 1924	—	—	—	—	—	—	—	—	—	—	—	—	—
	Аллен 1926	—	—	—	—	—	—	—	—	—	—	—	—	—
	Аллен 1928	64,0	—	—	—	—	—	67,0	110	—	—	205	235	—
	Беккерст 1929	—	—	—	—	—	—	—	—	—	—	—	—	385
$W \ Z = 74$ $\rho = 19,1 \frac{g}{cm^3}$	Рихтмейер 1924 . . .	—	—	—	—	—	—	—	—	—	—	—	—	—
	Аллен 1924	—	—	—	—	—	—	—	—	—	—	—	—	—
	Аллен 1926	—	—	—	—	—	—	—	—	—	—	—	—	—
	Аллен 1928	—	—	—	—	—	—	—	—	—	—	—	—	—
	Беккерст	—	—	—	—	—	—	—	—	—	—	—	—	—
	Беккерст 1929	—	—	—	—	—	—	—	—	—	—	—	—	—
$Pt \ Z = 78$ $\rho = 21,4 \frac{g}{cm^3}$	Аллен 1924	—	—	—	—	—	—	—	—	—	—	—	—	—
	Аллен 1926	—	—	—	—	—	—	—	—	—	—	—	—	—
	Ионсон	—	—	—	—	—	—	—	—	—	—	—	—	—
	Беккерст	—	—	—	—	—	—	—	—	—	—	—	—	—
	Беккерст 1928	169	—	—	—	—	—	—	—	—	—	—	—	—
	Беккерст 1929	—	—	—	—	—	—	—	—	—	—	—	—	—
$Au \ Z = 79$ $\rho = 19,8 \frac{g}{cm^3}$	Рихтмейер	—	—	—	—	—	—	—	—	—	—	—	—	—
	Аллен 1924	—	—	—	—	—	—	—	—	—	—	—	—	—
	Аллен 1926	—	—	—	—	—	—	—	—	—	—	—	—	—
	Беккерст	—	—	—	—	—	—	—	—	—	—	—	—	—
	Беккерст 1928	—	—	—	—	—	—	—	—	—	—	—	—	—
	Беккерст 1929	—	—	—	—	—	—	—	—	—	—	—	—	—
$Pb \ Z = 82$ $\rho = 11,3 \frac{g}{cm^3}$	Рихтмейер 1921 . . .	—	—	—	—	—	—	—	—	—	—	—	—	—
	Рихтмейер 1926 . . .	—	—	—	—	—	—	—	—	—	—	—	—	—
	Аллен 1924	—	—	—	—	—	—	—	—	—	—	—	—	—
	Аллен 1926	—	—	—	—	—	—	—	—	—	—	—	—	—
	Аллен 1928	—	—	—	—	—	—	—	—	—	—	—	—	—
	Аллен 1929	—	—	—	—	—	—	—	—	—	—	—	—	—

$\lambda =$	1,787	1,933	2,000	2,500	2,744	3,026	3,353	4,146	4,360	5,394	6,973	8,320	9,868	9,881°
$C Z = 9$ $\Gamma_{\text{прав}} \frac{s}{cm^2}$ $\rho = 2,3 \frac{g}{cm^3}$	Хевлетт. Аллен 1924 Аллен 1926	— — —	— — 9,2	— — —	— — —									
$Al Z = 13$ $\rho = 2,7 \frac{g}{cm^3}$	Хевлетт. Рихтмайер Аллен 1924 Аллен 1926 Ионссон 1928 Векхерст 1929	— — — — — —												
$Fe Z = 26$ $\rho = 7,7 - 7,9 \frac{g}{cm^3}$	Хевлетт. Рихтмайер Аллен 1924 Аллен 1926	— — — —												
$Cu Z = 29$ $\rho = 8,9 \frac{g}{cm^3}$	Рихтмайер 1921 Рихтмайер 1926 Аллен 1924 Аллен 1926 Ионссон 1928 Векхерст 1929	— — — — — —												
$Mo Z = 42$ $\rho = 10,2 \frac{g}{cm^3}$	Рихтмайер 1921 Рихтмайер 1926	— —	— —											

$\lambda =$	1,787	1,933	2,000	2,500	2,744	3,026	3,353	4,146	4,360	5,394	6,973	8,320	9,868	11,841*
$Ag\ Z = 47$ $\rho = 10,5 \frac{g}{cm^3}$	Рихтмайер 1921	—	—	—	—	—	—	—	—	—	—	—	—	—
	Рихтмайер 1926	—	—	—	—	—	—	—	—	—	—	—	—	—
	Аллен 1924	—	—	—	—	—	—	—	—	—	—	—	—	—
	Аллен 1926	—	—	—	—	—	—	—	—	—	—	—	—	—
	Ионссон 1928	—	—	—	—	—	—	—	—	—	—	—	—	—
$Zn\ Z = 50$ $\rho = 7,3 \frac{g}{cm^3}$	Беккерст 1929	—	—	—	—	—	—	—	—	—	—	—	—	—
	Рихтмайер 1926	—	—	—	—	—	—	—	—	—	—	—	—	—
	Рихтмайер 1927	—	—	—	—	—	—	—	—	—	—	—	—	—
	Аллен 1924	—	—	—	—	—	—	—	—	—	—	—	—	—
	Аллен 1926	—	—	—	—	—	—	—	—	—	—	—	—	—
$W\ Z = 74$ $\rho = 19,1 \frac{g}{cm^3}$	Рихтмайер 1924	—	—	—	—	—	—	—	—	—	—	—	—	—
	Аллен 1924	—	—	—	—	—	—	—	—	—	—	—	—	—
	Аллен 1926	—	—	—	—	—	—	—	—	—	—	—	—	—
	Аллен 1928	—	—	—	—	—	—	—	—	—	—	—	—	—
	Аллен 1930	—	—	—	—	—	—	—	—	—	—	—	—	—
$Pt\ Z = 78$ $\rho = 21,4 \frac{g}{cm^3}$	Аллен 1924	—	—	—	—	—	—	—	—	—	—	—	—	—
	Аллен 1926	—	—	—	—	—	—	—	—	—	—	—	—	—
	Ио ссон	—	—	—	—	—	—	—	—	—	—	—	—	—
	Беккерст	—	—	—	—	—	—	—	—	—	—	—	—	—
	Беккерст	—	—	—	—	—	—	—	—	—	—	—	—	—
$Au\ Z = 79$ $\rho = 19,8 \frac{g}{cm^3}$	Рихтмайер	—	—	—	—	—	—	—	—	—	—	—	—	—
	Аллен 1924	—	—	—	—	—	—	—	—	—	—	—	—	—
	Аллен 1926	—	—	—	—	—	—	—	—	—	—	—	—	—
	Беккерст	—	—	—	—	—	—	—	—	—	—	—	—	—
	Беккерст	—	—	—	—	—	—	—	—	—	—	—	—	—
$Pb\ Z = 82$ $\rho = 11,3 \frac{g}{cm^3}$	Рихтмайер 1921	—	—	—	—	—	—	—	—	—	—	—	—	—
	Рихтмайер 1926	—	—	—	—	—	—	—	—	—	—	—	—	—
	Аллен 1924	—	—	—	—	—	—	—	—	—	—	—	—	—
	Аллен 1926	—	—	—	—	—	—	—	—	—	—	—	—	—
	Аллен 1928	—	—	—	—	—	—	—	—	—	—	—	—	—

Соответственно уровням энергии атома, поглощение рентгеновских лучей происходит полосами — K , L , M и так далее полосы поглощения.

По мере увеличения длины волн излучения, а значит уменьшения частоты колебаний, коэффициент поглощения возрастает, однако вблизи частот колебаний, отвечающих собственному характеристическому излучению атома, вследствие прекращения эмиссии фотоэлектронов с соответствующего уровня энергии происходит резкое изменение его от большего значения к меньшему. Значение длины волны, при которой имеет место скачок в изменении коэффициента поглощения, называется границей поглощения.

Величина скачка

$$\delta_K = \left(\frac{\tau_K}{\tau_L} \right)_{\lambda_K} \approx \frac{\nu_K}{\nu_{L_1}}$$

или

$$\delta_L = \left(\frac{\tau_L}{\tau_M} \right)_{\lambda_L} \approx \frac{\nu_{L_1}}{\nu_{M_1}}$$

зависит от рода вещества, убывая с увеличением атомного номера, причем скачок на границе K полосы всегда меньше, чем на границе L полосы поглощения, поскольку различно изменяется относительное влияние эмиссируемых электронов, отвечающих различным уровням энергии атома, по отношению к общему числу эмиссируемых фотоэлектронов.

Коэффициент поглощения $\frac{\tau}{\rho}$ в сильной мере зависит от длины волны излучения λ и атомного номера вещества Z :

$$\frac{\tau}{\rho} = c \cdot \frac{Z^m}{A} \cdot \lambda^n,$$

где A — атомный вес вещества, причем

$$m = 4 \text{ для } \lambda < \lambda_K$$

и

$$m = 4,4 \text{ для } \lambda > \lambda_K.$$

Для K полосы поглощения

по Аллену

$$n = 2,92$$

и

$$c = 1,32 \cdot 10^{-2}.$$

Таблица 28

Значения постоянных *c* и *n* в формуле фотоэлектрического поглощения

$$\frac{\tau}{\rho} = c \cdot \lambda^n \text{ по Аллену}$$

Элемент	<i>Z</i>	Область применения формулы в \AA	Полоса поглоще- ния	<i>c</i>	<i>n</i>
C	6	0,08 — 2,6	<i>K</i>	1,38	2,92
Al	13	0,08 — 3,93	<i>K</i>	13,95—14,00	2,92
Fe	26	0,08 — 0,6 0,6 — <i>K</i> — граница	<i>K</i>	104—109	2,92
		<i>K</i> — граница — 3,74	<i>K</i>	102	2,87
Ni	28	0,08 — 0,8 0,8 — <i>K</i> — граница	<i>L</i>	10,7	2,92
		<i>K</i> — граница — 3,37	<i>K</i>	128—132	2,92
Cu	29	0,08 — 0,85 0,85 — <i>K</i> — граница	<i>L</i>	116—118	2,75
		<i>K</i> — граница — 3,74	<i>K</i>	13,3	2,92
Zn	30	0,08 — 0,9 0,9 — <i>K</i> — граница	<i>L</i>	142—144	2,92
		<i>K</i> — граница — 3,24	<i>K</i>	132	2,70
Ag	47	0,08 — <i>K</i> — граница	<i>L</i>	14,5	2,92
		<i>K</i> — граница — 1,10	<i>K</i>	162—165	2,92
		1,10 — 2,50	<i>L</i>	152	2,6?
Sn	50	<i>L</i> — граница — ?	<i>M</i>	17,25	2,92
		0,08 — <i>K</i> — граница	<i>K</i>	540—580	2,92
		<i>K</i> — граница — 1,20	<i>L</i>	78	2,92
		1,20 — 2,50	<i>L</i>	76—78	2,6
W	74	<i>L</i> — граница — ?	<i>M</i>	10,0	2,92
		0,08 — <i>K</i> — граница	<i>K</i>	650—670	2,92
		<i>K</i> — граница — <i>L</i> — граница	<i>L</i>	86—87	2,92
		<i>L</i> — граница — 1,0	<i>L</i>	89—90	2,6
Pt	78	1,0 — <i>M</i> — граница	<i>M</i>	12—13	2,92
		0,08 — <i>K</i> — граница	<i>K</i>	1,840	2,92
		<i>K</i> — граница — <i>L</i> — граница	<i>L</i>	285	2,92
		<i>L</i> — граница — 1,1	<i>M</i>	52	2,92
Au	79	1,0 — <i>M</i> — граница	<i>M</i>	52	2,6
		0,08 — <i>K</i> — граница	<i>K</i>	2 000—2 300	2,92
		<i>K</i> — граница — <i>L</i> _{III} — граница	<i>L</i>	345	2,92
		<i>L</i> _I — граница — 1,1	<i>M</i>	65	2,92
		1,1 — <i>M</i> — граница	<i>M</i>	66	2,6
Pb	82	0,08 — <i>K</i> — граница	<i>K</i>	2 000—2 300	2,92
		<i>K</i> — граница — <i>L</i> _{III} — граница	<i>L</i>	360	2,92
		<i>L</i> _I — граница — 1,1	<i>M</i>	69	2,92
		1,1 — <i>M</i> — граница	<i>M</i>	70	2,6
		0,08 — <i>K</i> — граница	<i>K</i>	2 000—2 400	2,92
		<i>K</i> — граница — <i>L</i> _{III} — граница	<i>L</i>	440	2,92
		<i>L</i> _I — граница — 1,15	<i>M</i>	77	2,92
U	92	1,15 — <i>M</i> — граница	<i>M</i>	76—78	2,6
		1,0 — <i>M</i> _V — граница	<i>M</i>	110—120	2,6
		<i>M</i> _I — ?	<i>N</i>	9—10	2,92

Приближенные формулы и значения массового коэффициента ослабления

$$\frac{\mu}{\rho} = \alpha \lambda^3 + \beta$$

для различных материалов

Материал	<i>Z</i>	Область приме- нения в Å	$\frac{\mu}{\rho}$	Автор
C	6	—	$1,025\lambda^3 + 0,175$	Кюстнер
Воздух	7,69	$0,36 - 0,85 \text{ } \text{\AA}$	$2,62\lambda^3 + 0,17$	"
Вода	7,43	$> 0,85 \text{ } \text{\AA}$	$2,56\lambda^3 + 0,17$	"
Целлон	6,1	—	$2,55\lambda^3 + 0,17$	"
Al	13	$0,1 - 0,4 \text{ } \text{\AA}$	$14,45\lambda^3 + 0,15$	Рихтмайер
		$0,4 - 0,7$	$14,30\lambda^3 + 0,16$	Дуане-Мацум-
		$0,095 - 0,165$	$15,5\lambda^3 + 0,147$	дер
		$0,15 - 0,25$	$15,8\lambda^3 + \frac{\sigma}{\rho}$	Вингард
Fe	26	$0,1 - 0,3$	$110\lambda^3 + 0,18$	Рихтмайер
Co	27	$0,15 - 0,35$	$124\lambda^3 + 0,18$	"
		$0,15 - 0,25$	$136\lambda^3 + \frac{\sigma}{\rho}$	Вингард
Ni	28	$0,1 - 0,3$	$145\lambda^3 + 0,20$	Рихтмайер
		$0,15 - 0,25$	$169\lambda^3 + \frac{\sigma}{\rho}$	Вингард
Cu	29	$0,1 - 0,3$	$153\lambda^3 + 0,20$	Рихтмайер
		$0,1 - 0,6$	$147\lambda^3 + 0,5$	"
		$0,095 - 0,165$	$193\lambda^3 + 0,13$	Дуане-Мацум-
Zn	30	$0,15 - 0,25$	$200\lambda^3 + \frac{\sigma}{\rho}$	Вингард
Mo	42	$0,1 - 0,35$	$450\lambda^3 + 0,4$	Рихтмайер
			$51\lambda^3 + 1$	"
Ag	47	$0,15 - 0,25$	$660\lambda^3 + \frac{\sigma}{\rho}$	"
		$0,1 - 0,4$	$603\lambda^3 + 0,7$	"
			$86\lambda^3 + 0,6$	"
Sn	50	$0,15 - 0,25$	$780\lambda^3 + \frac{\sigma}{\rho}$	Вингард
Pb	82	$> \lambda_K$	$510\lambda^3 + 0,75$	Рихтмайер
В пределах 5—7% от среднего значения из измерений для всех элементов	0,1 — 1,0		$1,6 \cdot 10^{-2} \frac{Z^{3,94}}{A} \cdot \lambda^3 + \frac{\sigma}{\rho}$ <p style="text-align: center;">для $\lambda < \lambda_K$</p> $0,053 \cdot 10^{-2} \frac{Z^{4,30}}{A} \cdot \lambda^3 + \frac{\sigma}{\rho}$ <p style="text-align: center;">для $\lambda > \lambda_K$</p>	
Кровь	—	—	$2,5\lambda^3 + 0,18$	Гроссман
Мускулы	—	—	$2,2\lambda^3 + 0,18$	"
Кость	—	—	$11,0\lambda^3 + 0,18$	"
Жир	—	—	$1,6\lambda^3 + 0,18$	"

$\lambda =$	0,1	0,2	0,3	0,4	0,5	0,6	0,7	0,8	0,9	1,0	1,5	2,0
Воздух	0,14	0,17	0,23	0,31	0,46	0,74	1,00	1,53	2,11	2,75	7,76	16,4
Вода	0,17	0,20	0,26	0,36	0,50	0,71	1,00	1,43	2,01	2,71	8,63	19,9
$\lambda =$	2,5	3,0	3,5	4,0	4,5	5,0	6,0	7,0	8,0	9,0	10,0	
Воздух	29,9	47,9	71,5	101	138	182	291	466	616	851	1120	
Вода	39,1	66,4	104	152	214	295	501	794	1170	1660	2260	

10 см воздуха ослабляют излучение, так же как 0,1 мм целлона.

Таблица 30

Значения коэффицика поглощения δ_K и отношения числа эмиссионных K -электронов n_K к общему числу фотоэлектронов

Элемент	Приходящий 1921		Приходящий 1924, 1926		Приходящий 1925		Ноунсон 1928 (Герман.)		Рихтмайер 1927		Айтеп 1926		$\frac{n_K}{n_K + n_L + \dots} =$	
	$\frac{\sigma}{P} = 0$	$\frac{\sigma}{P} = 0,2$	$\frac{\sigma}{P} = 0$	$\frac{\sigma}{P} = 0,2$	$\frac{\sigma}{P} = 1,0$	$\frac{\sigma}{P} = 0$	$\frac{\sigma}{P} = 0,2$	$\frac{\sigma}{P} = 1,0$	$\frac{\sigma}{P} = 0$	$\frac{\sigma}{P} = 0,2$	$\frac{\sigma}{P} = 1,0$	$\frac{n_K}{n_K + n_L + \dots}$	$\frac{n_K}{n_K + n_L + \dots} =$	
13 AL.....	—	—	—	—	—	—	—	—	—	—	—	—	13,3	0,92
26 Fe.....	—	—	—	—	—	—	—	—	—	—	—	—	8,5	0,89
28 Ni.....	—	—	—	—	—	—	—	—	—	—	—	—	8,3	0,88
29 Cu.....	—	—	—	—	—	—	—	—	—	—	—	—	8,2	0,88
30 Zn.....	—	—	—	—	—	—	—	—	—	—	—	—	8,2	0,88
36 Kr.....	—	—	—	—	—	—	—	—	—	—	—	—	6,1	0,87
42 Mo.....	—	—	—	—	—	—	—	—	—	—	—	—	7,6	0,87
46 Pd.....	—	—	—	—	—	—	—	—	—	—	—	—	6,9	0,86
47 Ag.....	—	—	—	—	—	—	—	—	—	—	—	—	6,8	0,85
50 Sn.....	—	—	—	—	—	—	—	—	—	—	—	—	6,7	0,85
54 X.....	—	—	—	—	—	—	—	—	—	—	—	—	6,5	0,85
74 W.....	—	—	—	—	—	—	—	—	—	—	—	—	6,3	0,84
78 Pt.....	—	—	—	—	—	—	—	—	—	—	—	—	5,7	0,82
79 Au.....	—	—	—	—	—	—	—	—	—	—	—	—	5,6	0,82
82 Pb.....	—	—	—	—	—	—	—	—	—	—	—	—	5,5	0,82

Таблица 31

Значений скачка поглощения δ_L и отношения числа эмиссируемых L электронов n_L к общему числу фотозелектронов

Эле- мент	Де- Бройль	Дови- лье	Стонер и Мар- тин	Аллен	Келль- стрем	Нонссон	Аугер	$\frac{n_L}{n_L + n_M + \dots}$	$\frac{\delta_L - 1}{\delta_L + n_M + \dots}$
	1922	1924	1925	1926	1927.	1928	1926	$\frac{n_L}{n_L + n_M + \dots}$	$\frac{\delta_L - 1}{\delta_L + n_M + \dots}$
47 Ag	—	—	—	—	5,8	5,3	—	5,24	0,81
54 X	—	—	—	—	—	—	6,3	—	—
74 W	—	—	—	5,5	—	—	—	4,29	0,77
78 Pt	7,1	—	—	5,3	—	—	—	4,22	0,76
79 Au	—	4,2	—	5,2	—	—	—	4,19	0,76
82 Pb	—	—	—	5,6	—	—	—	4,12	0,76
92 U	—	—	4	—	—	—	—	3,92	0,75

Таблица 32

Значений частичных скачков поглощения δ_{L_I} , $\delta_{L_{II}}$, $\delta_{L_{III}}$ и отношений числа соответствующих эмиссируемых электронов

Эле- мент	Автор	δ_{L_I}	$\delta_{L_{II}}$	$\delta_{L_{III}}$	$\delta_L = \delta_{L_I} \cdot \delta_{L_{II}} \cdot \delta_{L_{III}}$	$\frac{\delta_{L_I} - 1}{n_L + n_M + \dots} = \frac{1}{\delta_{L_I} - 1}$	$\frac{\delta_{L_{II}} - 1}{n_L + n_M + \dots} = \frac{1}{\delta_{L_{II}} - 1}$	$\frac{\delta_{L_{III}} - 1}{n_L + n_M + \dots} = \frac{1}{\delta_{L_{III}} - 1}$
		δ_{L_I}	$\delta_{L_{II}}$	$\delta_{L_{III}}$	δ_L	$n_L + n_M + \dots$	$n_L + n_M + \dots$	$n_L + n_M + \dots$
47 Ag	Келлстрем .	1,25	1,47	3,17	5,8	0,20	0,26	0,37
78 Pt	Де-Бройль .	1,4	1,8	2,8 .	7,1	0,29	0,31	0,26
79 Au	Довилье .	1,2	1,4	2,5	4,2	0,17	0,23	0,36

Поглощение рентгеновских лучей есть аддитивное свойство атомов, почему для молекул или механических смесей возможно введение эффективного атомного номера:

$$Z_{eff} = \sqrt[3]{\frac{a_1 Z_1^4 + a_2 Z_2^4 + \dots}{a_1 Z_1 + a_2 Z_2 + \dots}},$$

где a_1, a_2 — весовые количества отдельных элементов в единице объема вещества.

Очевидно также, что

$$\left(\frac{\tau}{\rho}\right)_x = a_1 \left(\frac{\tau}{\rho}\right)_1 + a_2 \left(\frac{\tau}{\rho}\right)_2 + \dots$$

По Ионссону для K полосы поглощения всех элементов имеет место универсальное соотношение

$$\tau_e = \frac{\tau_A}{Z} = \frac{\tau}{\rho} \cdot \frac{A}{Z} \cdot \frac{1}{N} = C \cdot (Z\lambda)^{f(Z\lambda)}$$

где $f(Z\lambda)$ монотонно убывает от значения 3 при $Z \cdot \lambda = 8$ до 2,3 при $Z \cdot \lambda = 770$. (N — число Авогадро).

Отсюда вытекает, что

$$\lg(\tau_e \cdot N) = f(Z\lambda) \cdot \lg(Z\lambda) + \lg C$$

приблизительно выражается прямой линией.

Для нахождения значения массового коэффициента поглощения $\frac{\tau}{\rho}$ необходимо найденное по графику рис. 29 значение $(\tau_e \cdot N)$ умножить на $\frac{Z}{A}$ для данного элемента.

Если длина волны излучения λ находится между краями полос поглощения λ_K и λ_{L_J} или λ_L и λ_{M_I} , то полученное

умножить еще соответственно на $\frac{\nu_{L_J}}{\nu_K}$ или $\frac{\nu_{M_I}}{\nu_L}$.

Указанный способ дает лишь приблизительные значения массовых коэффициентов поглощения.

Для получения массового коэффициента ослабления необходимо к $\frac{\tau}{\rho}$ прибавить $\frac{\sigma}{\rho}$.

Массовый коэффициент рассеяния $\frac{\sigma_0}{\rho}$ согласно классической теории определяется соотношением

$$\frac{\sigma_0}{\rho} = \frac{8\pi}{3} \cdot \frac{N}{\rho} \cdot \frac{e^4}{m^2 c^4} = 0,402 \frac{Z}{A} \approx 0,2,$$

т. е. не должен зависеть от длины волны излучения.

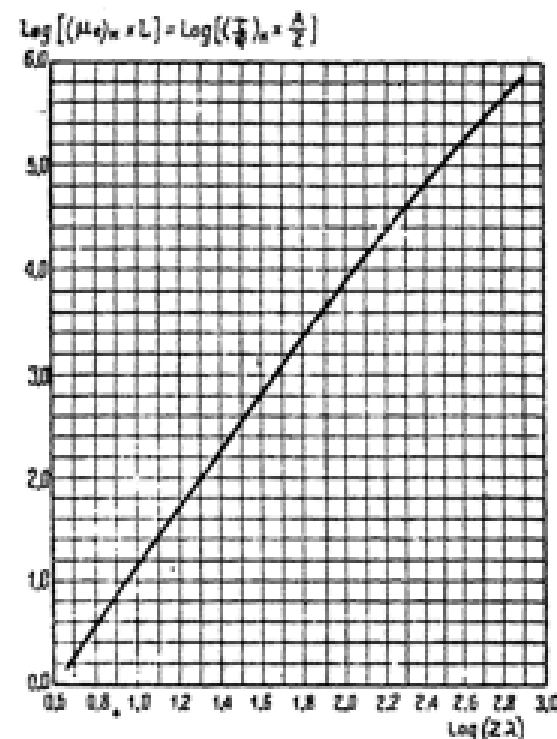


Рис. 29. Кривая Ионссона для нахождения коэффициента поглощения.
($\mu_e = \tau_e$ и $L = N$)

значение для $\frac{\tau}{\rho}$ необходимо

умножить еще соответственно на $\frac{\nu_{L_J}}{\nu_K}$ или $\frac{\nu_{M_I}}{\nu_L}$.

Указанный способ дает лишь приблизительные значения массовых коэффициентов поглощения.

Для получения массового коэффициента ослабления необходимо к $\frac{\tau}{\rho}$ прибавить $\frac{\sigma}{\rho}$.

Массовый коэффициент рассеяния $\frac{\sigma_0}{\rho}$ согласно классической теории определяется соотношением

$$\frac{\sigma_0}{\rho} = \frac{8\pi}{3} \cdot \frac{N}{\rho} \cdot \frac{e^4}{m^2 c^4} = 0,402 \frac{Z}{A} \approx 0,2,$$

Однако это значение более или менее сохраняется лишь для элементов со сравнительно небольшим атомным номером ($Z = 30$) и длин волн, отвечающих лучам средней жесткости ($0,2 - 0,7 \text{ \AA}$).

Таблица 33

Значения массовых коэффициентов рассеяния $\frac{\sigma}{\rho}$ для различных элементов по Кюстнеру

Z	$\frac{\sigma}{\rho}$	Z	$\frac{\sigma}{\rho}$
2+15	0,180	35	0,40
16	0,181	36	0,43
17	0,182	37	0,46
18	0,183	38	0,48
19	0,105	39	0,50
20	0,190	40	0,53
21	0,195	41	0,55
22	0,20	42	0,57
23	0,21	43	0,59
24	0,22	44	0,61
25	0,23	45	0,63
26	0,25	46	0,64
27	0,26	47	0,65
28	0,27	48	0,66
29	0,29	49	0,67
30	0,30	50	0,68
31	0,32	51	0,68
32	0,34	52	0,69
33	0,36	53	0,69
34	0,38	54	0,70
35	0,40	55—92	0,70

Вопрос о зависимости коэффициента рассеяния от длины волны приобретает особенное значение в области коротких длин волн, так как ослабление излучения в легких элементах происходит главным образом за счет рассеяния.

Согласно теории Комптона

$$\frac{\sigma}{\rho} = \frac{\sigma_0}{\rho} \cdot \frac{1}{1 + 2\alpha},$$

где

$$\alpha = \frac{h\nu}{m_0 c^2} = \frac{\lambda_e}{\lambda} = \frac{0,0242}{\lambda}$$

для λ в \AA

$(\lambda_e = \frac{h}{m_0 c} = 0,0242 \text{ \AA})$ — длина фазовой волны, отвечающей кванту энергии, эквивалентному массе покоящегося электрона).

Коэффициент рассеяния $\frac{\sigma}{\rho}$ следует рассматривать как сумму двух коэффициентов: коэффициента отдачи $\frac{\sigma_r}{\rho} = \frac{\sigma_0}{\rho} \cdot \frac{\alpha}{(1+2\alpha)^2}$, определяющего энергию электронов отдачи Комpton-эффекта, и коэффициента истинного рассеяния

$$\frac{\sigma_s}{\rho} = \frac{\sigma_0}{\rho} \cdot \frac{1+\alpha}{(1+2\alpha)^2},$$

так что

$$\frac{\sigma}{\rho} = \frac{\sigma_r}{\rho} + \frac{\sigma_s}{\rho}.$$

Все перечисленные формулы справедливы лишь для $\alpha \ll 1$, т. е. практически для длин волн $\lambda > 0,08\text{ \AA}$.

Таблица 34

Значения $\frac{1+\alpha}{(1+2\alpha)^2}$ и $\frac{\alpha}{(1+2\alpha)^2}$ для различных длин волн

λ	α	$\frac{1}{1+2\alpha}$	$\frac{1}{(1+2\alpha)^2}$	$\frac{\alpha}{(1+2\alpha)^2}$	$\frac{1+\alpha}{(1+2\alpha)^2}$
0,08	0,302	0,622	0,388	0,117	0,505
0,10	0,242	0,675	0,454	0,110	0,564
0,12	0,202	0,712	0,501	0,105	0,606
0,14	0,173	0,742	0,551	0,095	0,646
0,16	0,151	0,768	0,590	0,089	0,679
0,18	0,134	0,790	0,623	0,084	0,707
0,20	0,121	0,803	0,646	0,078	0,724
0,24	0,101	0,833	0,690	0,071	0,761
0,30	0,081	0,860	0,740	0,060	0,800
0,40	0,060	0,894	0,800	0,047	0,847
0,50	0,048	0,913	0,880	0,041	0,871
0,60	0,040	0,925	0,855	0,035	0,890
0,70	0,035	0,935	0,872	0,031	0,903
0,8	0,030	0,944	0,890	0,027	0,917
0,9	0,027	0,950	0,900	0,025	0,925
1,0	0,024	0,954	0,910	0,022	0,932
1,5	0,016	0,965	0,932	0,016	0,948
2,0	0,012	0,974	0,950	0,012	0,962

Для лучей более коротких длин волн следует пользоваться более точной для этой области формулой Клейн-Нишина:

$$\frac{\sigma}{\rho} = \frac{3}{4} \frac{\sigma_0}{\rho} \left\{ \frac{1+\alpha}{\alpha^2} \left[\frac{2\alpha(1+\alpha)}{1+2\alpha} - \ln(1+2\alpha) \right] + \right.$$

$$\left. + \frac{1}{2\alpha} \ln(1+2\alpha) - \frac{1+3\alpha}{(1+2\alpha)^2} \right\}.$$

§ 4. Качество излучения

Качество однородного излучения характеризуется длиной волны.

Однородное излучение может быть выделено из смешанного путем отражения от кристалла.

Согласно Брэггов

$$n\lambda = 2d \sin \theta,$$

где $n = 1, 2, 3$ — порядок отражения и

d — постоянная решетки кристалла (см. спектрографы).

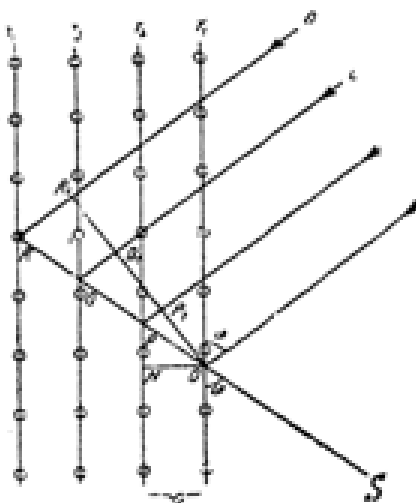


Рис. 30. Схема отражения рентгеновских лучей от сетчатой плоскости кристалла

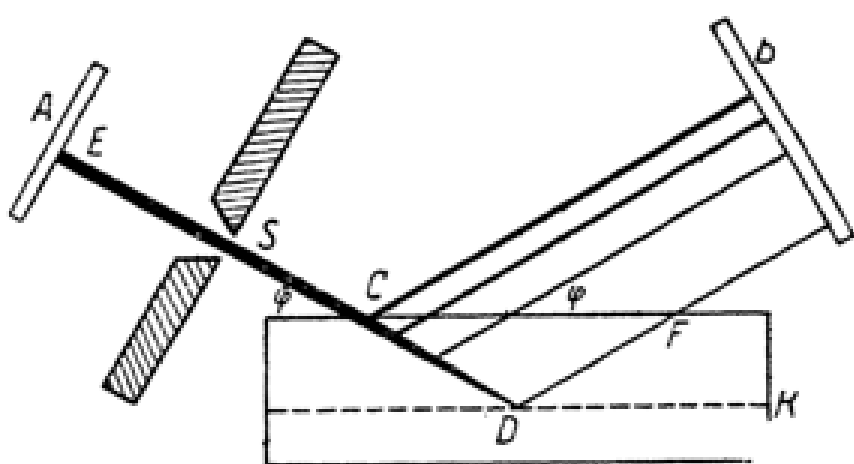


Рис. 31. Схема действия спектрографа.

Этим же путем смешанное излучение может быть разложено в спектр.

Длина волн однородного излучения может быть найдена путем определения коэффициента ослабления узкого пучка лучей в какой-либо известной среде (Cu, Al, zellon, H₂O). (Рис. 33).

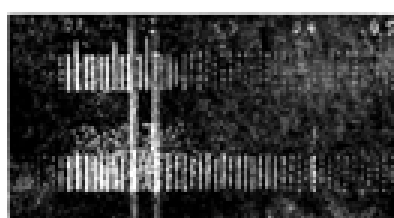


Рис. 32 Общий вид спектограммы.
Сверху — фильтрованное излучение.

Анализ качества неоднородного излучения может быть произведен также путем фильтрации лучей какой-либо средой.

Вследствие значительного поглощения мягких компонентов спектра, качество смешанного излучения непрерывно изменяется по мере проникновения лучей в среду (фильтрация излучения).

В этом случае вводится понятие „эффективной длины волны“, под которым подразумевается длина волны такого однородного излучения, которое в данном слое среды претерпевает такое же ослабление, как и действительное неоднородное излучение:

$$e^{-\mu_{eff} \cdot x} \cdot \int_{\lambda_0}^{\infty} Y_{\lambda} \cdot d\lambda = \int_{\lambda_0}^{\infty} Y_{\lambda} \cdot e^{-\mu_{\lambda} \cdot x} \cdot d\lambda.$$

Определение μ_{eff} производится путем измерения слоя половинного ослабления Δ , (HWS) под которым подразумевается толщина слоя поглощающей среды, ослабляющая интенсивность излучения в два раза.

Так как $I = I_0 e^{-\mu_{eff} \lambda}$, то по определению

$$\ln \frac{I_0}{I} \approx \ln \frac{P_0}{P} = \ln 2 = \mu_{eff} \Delta$$

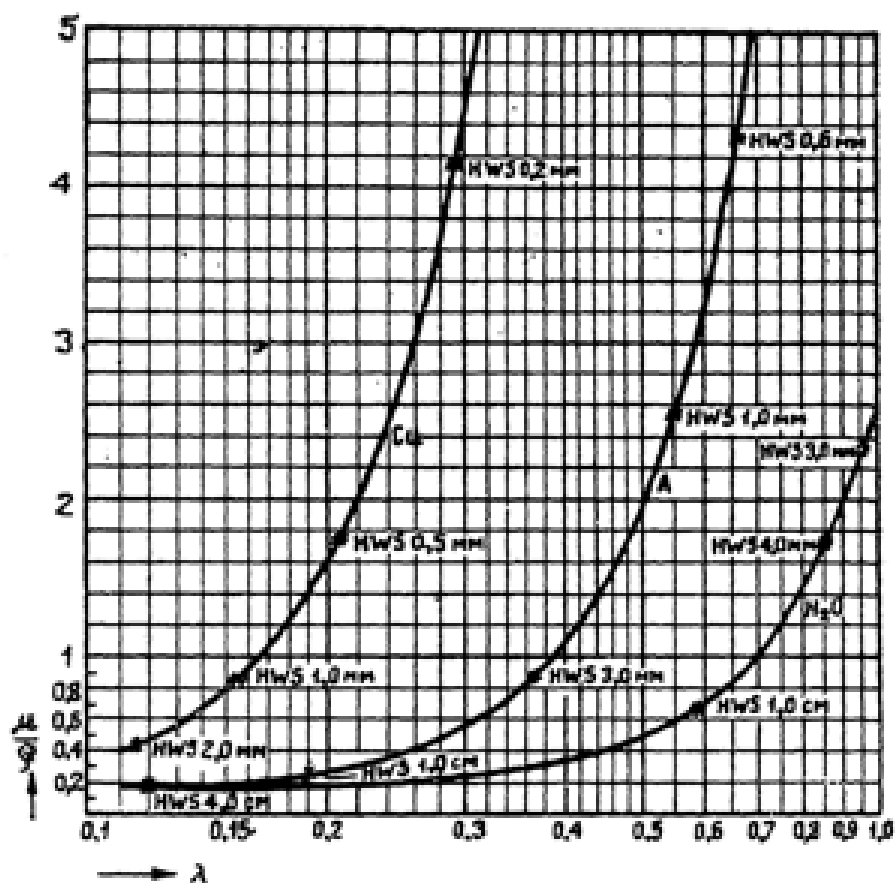


Рис. 33. Значение массового коэффициента ослабления в зависимости от длины волн для ^{65}Cu , Al , H_2O .
с указанием HWS

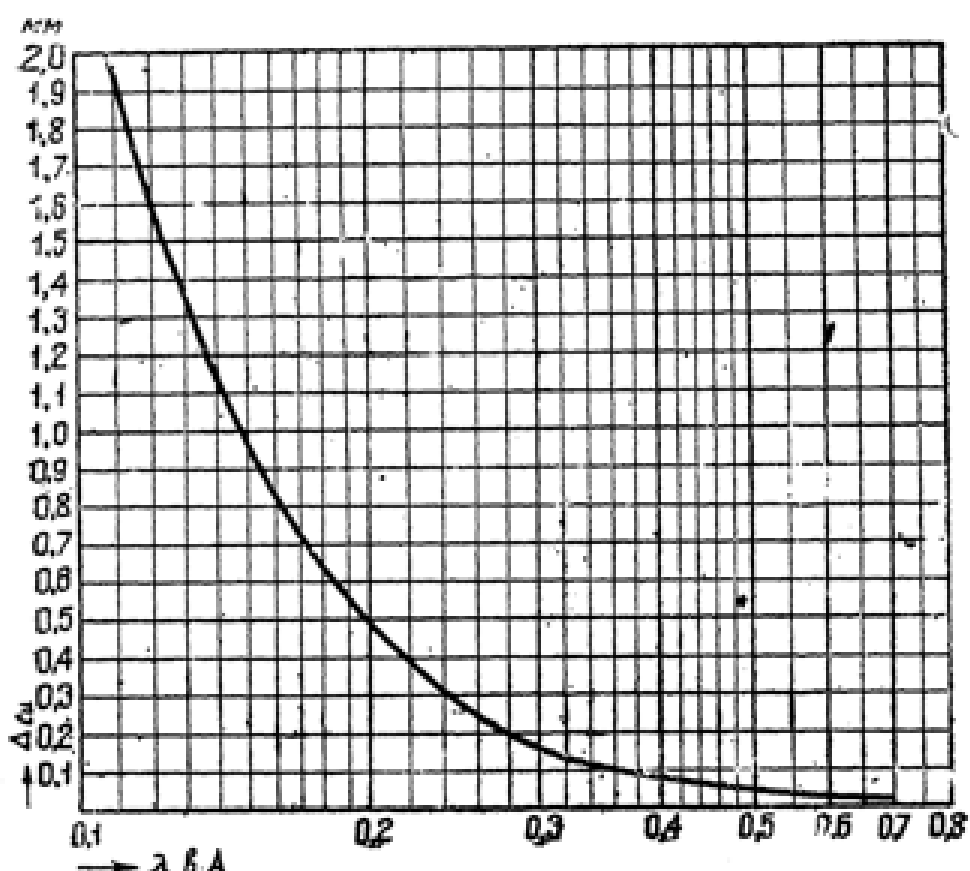


Рис. 34. Зависимость слоя половинного ослабления в меди от эффективной длины смешанного излучения.

$$\mu_{eff} = \frac{0,693}{\Delta} (\Delta — в см.)$$

Здесь μ_{eff} и Δ относятся к одному и тому же материалу фильтра.

Таблица 35

Значения слоя половинного ослабления Δ для различных материалов, по Энгбану, в мм

λ в Å	0,1	0,2	0,4	0,6	0,8	1,0	1,5	2,0
Воздух (760 мм)	—	—	—	7230	3500	1950	690	327
Вода	40	33	19,2	9,6	4,8	2,5	0,79	0,34
Графит	21	17,5	12,5	7,6	4,3	2,4	0,82	0,36
Алюминий	15	9,8	2,4	0,79	0,35	0,18	0,056	0,024
Медь	—	0,51	0,078	0,025	0,011	0,0055	—	—
Серебро	0,66	0,11	0,017	0,034	0,015	0,0081	0,0026	0,0011
Свинец	0,37	0,15	0,018	0,005	—	—	—	—

λ в Å	2,5	3,0	4	5	6	8	10
Воздух (760 мм)	180	112	53,0	29,0	18,4	8,7	4,3
Вода	0,175	0,10	0,045	0,023	0,014	0,0056	0,0018
Графит	0,19	0,11	0,051	0,027	0,017	0,0074	0,0040
Алюминий	0,012	0,0072	0,0031	0,0016	0,0093	—	—
Медь	—	—	—	—	—	—	—
Серебро	0,0059	0,0035	—	—	—	—	—
Свинец	—	—	—	—	—	—	—

Лучи в данной среде называются практически однородными, если $\mu_{eff} = const$.

Степень неоднородности (т. е. число октав, присутствующих в спектре) и распределение плотности интенсивности по спектру зависят от формы крипвой напряжения генерирования и фильтра.

Слой половинного ослабления Δ однозначно характеризует смешанное излучение лишь в тех случаях, когда степень неоднородности сравниваемых излучений одинакова.

Отношения толщин фильтров из различных материалов, ослабляющих в одинаковой мере интенсивность излучения, могут быть найдены из соотношения

$$\mu_1 \delta_1 = \mu_2 \delta_2,$$

откуда

$$\frac{\delta_1}{\delta_2} = \frac{P_2}{P_1} \cdot \frac{\frac{\mu_2}{\rho_2}}{\frac{\mu_1}{\rho_1}},$$

где $\frac{\mu_2}{\rho_2}$ и $\frac{\mu_1}{\rho_1}$ массовые эффективные коэффициенты ослабления,

Качество смешанного излучения для практических целей вполне определяется напряжением U , фильтром δ и слоем половинного ослабления Δ .

За меру неоднородности принимают число октав n колебаний, присутствующих в спектре

$$\frac{\lambda_n}{\lambda_0} = 2^n.$$

Для неизменной формы кривой напряжения это соотношение равносильно заданию

$$\frac{\lambda_{eff}}{\lambda_0} = \omega.$$

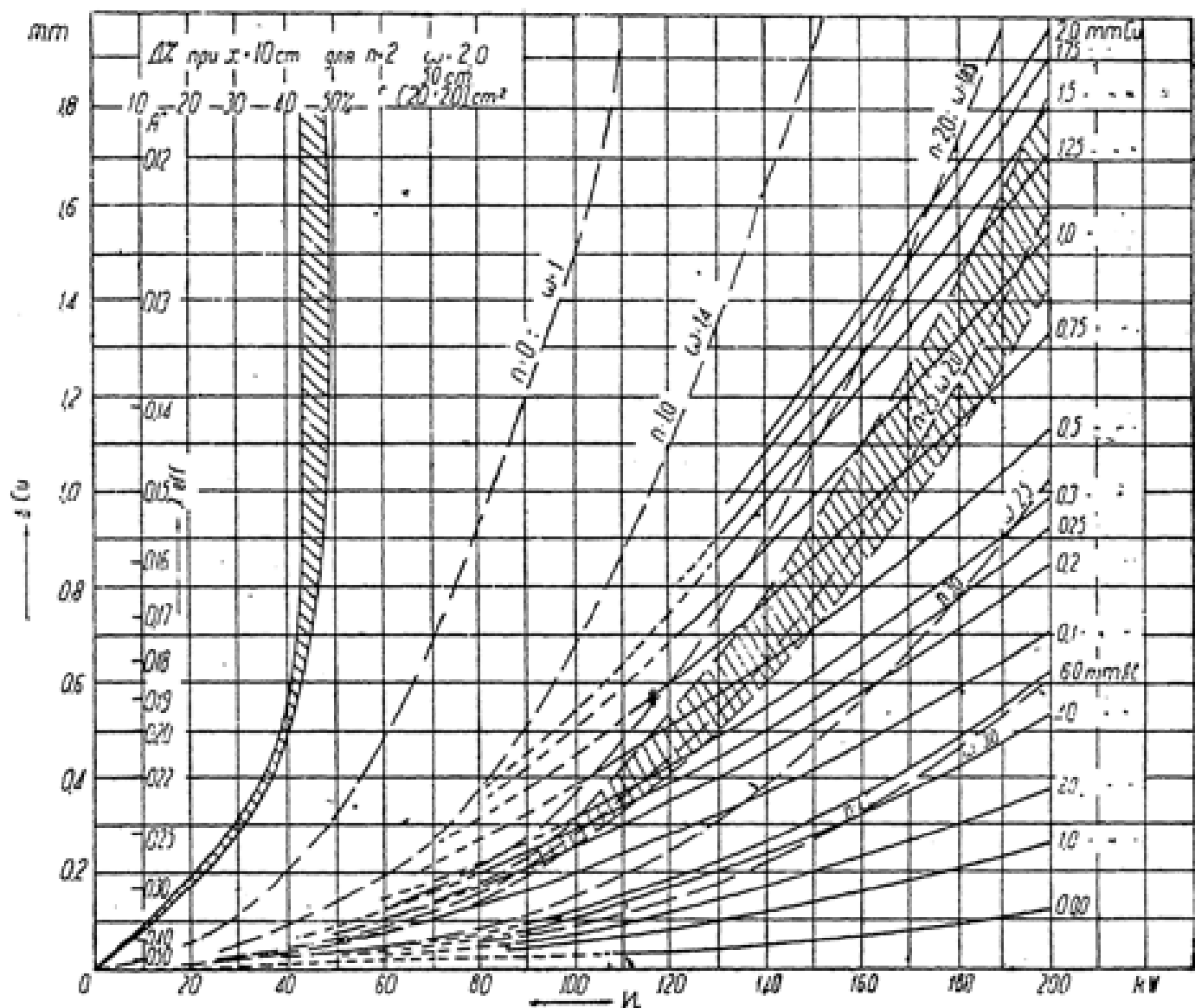


Рис. 35. Качественная диаграмма излучений для различных фильтраций Си при постоянном напряжении генерирования, n — число присутствующих в спектре октав: $\omega = \frac{\lambda_{eff}}{\lambda_0}$. Заштрихованная часть отвечает фильтрации необходимой для получения достаточной степени однородности излучения в биологической среде. Слева приведен ход изменения процентной дозы в воде на глубине $x = 10$ м.м для такого рода излучения при фокусном расстоянии $f = 50$ см и поле освещения $s = (20 \times 20)$ см².

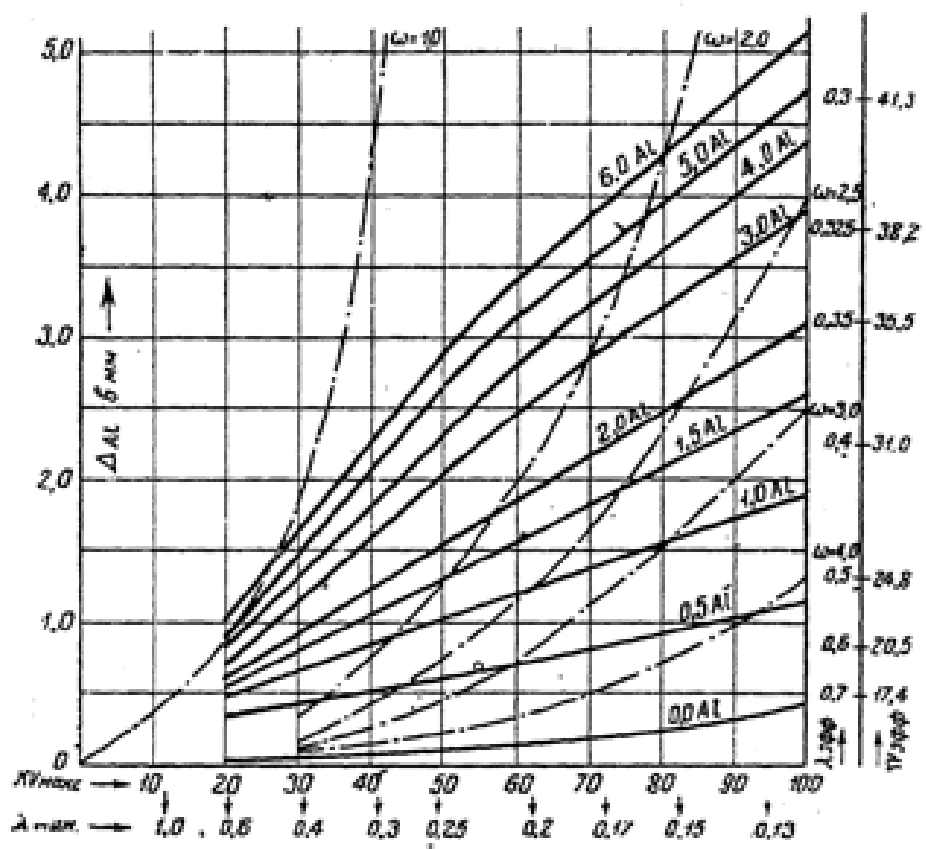


Рис. 36. Качественная диаграмма излучений для различных фильтраций Al (эквивалентная толщина стенки трубы 1,0 мм Al).

Таблица 35а

$\lambda = 0.01 - 0.25$

Слон половинного ослабления

λ в Å	H_2O мм	Al мм	Cu мм	Pb мм
0,01	—	—	5,92	0,546
0,02	—	—	5,69	0,501
0,03	—	—	5,45	0,460
0,04	—	—	5,02	0,419
0,05	—	—	4,70	0,377
0,06	—	—	4,32	0,335
0,07	—	—	3,88	0,290
0,08	—	18,0	3,25	0,246
0,09	45,4	16,8	2,78	0,205
0,10	43,1	15,6	2,35	0,171
0,11	41,6	15,1	2,01	0,141
0,12	40,3	14,6	1,73	0,117
0,13	39,2	14,0	1,47	0,097
0,14	38,3	13,7	1,26	0,081
0,15	37,4	13,0	1,09	0,067
0,16	36,6	12,3	0,94	0,052
0,17	35,9	11,6	0,80	0,041
0,18	35,2	11,0	0,70	0,031
0,19	34,5	10,3	0,61	0,023
0,20	34,0	9,71	0,53	0,017
0,21	33,4	9,13	0,47	0,012
0,22	32,8	8,57	0,41	0,007
0,23	32,3	8,00	0,36	0,004
0,24	31,6	7,46	0,32	0,002
0,25	30,9	6,96	0,29	0,001

λ в \AA	H_2O м.м	Al м.м	Cu м.м	Pb м.м
0,26	30,2	6,45	0,26	0,067
0,27	29,5	5,94	0,23	0,060
0,28	28,8	5,50	0,21	0,054
0,29	28,1	5,09	0,19	0,048
0,30	27,3	4,72	0,17	0,044
0,31	26,5	4,40	0,16	0,040
0,32	25,8	4,11	0,14	0,036
0,33	25,0	3,83	0,13	0,033
0,34	24,2	3,57	0,12	0,030
0,35	23,4	3,32	0,11	0,028
0,36	22,7	3,10	0,10	0,026
0,37	21,9	2,90	0,0951	0,024
0,38	21,2	2,72	0,0881	0,022
0,39	20,5	2,54	0,0818	0,021
0,40	19,7	2,39	0,0760	0,019
0,41	19,0	2,24	0,0709	0,018
0,42	18,4	2,10	0,0663	0,016
0,43	17,7	1,98	0,0622	0,012
0,44	17,1	1,86	0,0585	0,014
0,45	16,5	1,76	0,0552	0,013
0,46	15,9	1,66	0,0521	0,0125
0,47	15,3	1,57	0,0492	0,0117
0,48	14,8	1,49	0,0468	0,0111
0,49	14,3	1,41	0,0441	0,0105
0,50	13,8	1,33	0,0415	0,00997
0,51	13,4	1,25	0,0392	0,0095
0,52	12,9	1,19	0,0370	0,0090
0,53	12,5	1,13	0,0351	0,0086
0,54	12,1	1,07	0,0332	0,0082
0,55	11,7	1,02	0,0315	0,0079
0,56	11,3	0,97	0,0299	0,0076
0,57	10,9	0,92	0,0284	0,0073
0,58	10,6	0,88	0,0270	0,0070
0,59	10,2	0,84	0,0257	0,0067
0,60	9,85	0,80	0,0244	0,0065
0,61	9,48	0,76	0,0232	0,0063
0,62	9,12	0,73	0,0222	0,0061
0,63	8,76	0,69	0,0211	0,0059
0,64	8,41	0,66	0,0202	0,0057
0,65	8,06	0,64	0,0193	0,0055
0,66	7,77	0,61	0,0184	0,0053
0,67	7,48	0,58	0,0176	0,0051
0,68	7,20	0,56	0,0169	0,0049
0,69	6,94	0,54	0,0162	0,0047
0,70	6,70	0,51	0,0155	0,0045
0,71	6,46	0,49	0,0148	0,0044
0,72	6,23	0,47	0,0142	0,0042
0,73	6,00	0,46	0,0136	0,0041
0,74	5,79	0,44	0,0131	0,0039
0,75	5,58	0,42	0,0126	0,0038

Таблица 555

Слой половинного ослабления в меди как функция постоянного напряжения и фильтра при аноде в W

Толщина фильтра C_{in} в мкм	KV	KV						KV				KV				KV			
		100	110	120	130	140	150	160	170	180	190	200	210	220	230	240	250	260	
0,1	0,23	0,26	0,30	0,34	0,39	0,44	0,49	0,55	0,61	0,68	0,75	0,82	0,89						
0,2	0,27	0,31	0,36	0,41	0,46	0,51	0,57	0,63	0,70	0,77	0,85	0,92	1,00						
0,3	0,32	0,37	0,43	0,47	0,52	0,58	0,64	0,71	0,78	0,86	0,94	1,02	1,11						
0,4	0,37	0,42	0,47	0,52	0,58	0,65	0,71	0,79	0,86	0,95	1,03	1,12	1,22						
0,5	0,41	0,46	0,51	0,57	0,64	0,72	0,78	0,87	0,94	1,04	1,13	1,23	1,33						
0,6	0,44	0,50	0,56	0,63	0,70	0,78	0,85	0,95	1,02	1,13	1,22	1,32	1,43						
0,7	0,48	0,54	0,60	0,68	0,75	0,84	0,92	1,02	1,10	1,22	1,31	1,42	1,53						
0,8	0,51	0,58	0,64	0,73	0,80	0,88	0,96	1,04	1,13	1,23	1,30	1,40	1,51	1,62					
0,9	0,54	0,61	0,68	0,77	0,85	0,95	1,05	1,16	1,25	1,38	1,48	1,60	1,71						
1,0	0,56	0,64	0,72	0,81	0,89	1,00	1,10	1,21	1,32	1,45	1,56	1,68	1,80						
1,1	0,59	0,67	0,76	0,84	0,93	1,05	1,15	1,26	1,38	1,50	1,62	1,75	1,87						
1,2	0,62	0,70	0,78	0,87	0,97	1,07	1,19	1,31	1,43	1,55	1,67	1,81	1,93						
1,3	0,68	0,72	0,81	0,90	1,00	1,11	1,23	1,35	1,47	1,60	1,73	1,86	1,99						
1,4	0,64	0,74	0,83	0,93	1,03	1,14	1,26	1,39	1,51	1,64	1,77	1,90	2,03						
1,5	0,65	0,75	0,85	0,95	1,06	1,17	1,29	1,42	1,53	1,67	1,80	1,93	2,06						
1,6	0,66	0,76	0,86	0,97	1,08	1,19	1,31	1,44	1,55	1,69	1,83	1,96	2,09						
1,7	0,67	0,77	0,87	0,98	1,09	1,20	1,33	1,46	1,57	1,71	1,85	1,98	2,12						
1,8	0,68	0,78	0,88	0,99	1,10	1,22	1,35	1,48	1,59	1,73	1,87	2,01	2,15						
1,9	0,69	0,79	0,89	1,00	1,11	1,23	1,36	1,49	1,61	1,75	1,89	2,03	2,17						
2,0	0,70	0,80	0,90	1,01	1,12	1,24	1,37	1,50	1,63	1,77	1,91	2,05	2,19						

Таблица №5с

**Ослабление смешанного пучка рентгеновских лучей в целлоне (а) и воде (б)
по Кюстнеру в %**

U в кВ	Толщина слоя в мм									
	0		1		2		3		4	
	а	б	а	б	а	б	а	б	а	б
11	100	100	31	38	12	17	6	8	5	6
10	100	100	27	36	9	14	4	6	3	4
9	100	100	22	30	6	10	3	4	2	3
8	100	100	17	23	3	6	—	2	0,5	1
7	100	100	10	16	1	2	—	—	—	—

§ 5. Действие рентгеновских лучей

Первичным действием при поглощении рентгеновских лучей является преобразование квант лучистой энергии в энергию электронов (фотоэлектронов и электронов отдачи).

Это преобразование энергии определяется массовым коэффициентом электронного преобразования

$$\frac{1}{\rho} = k \frac{\tau}{\rho} + \frac{a_r}{\rho},$$

где $k = 1$ вдали от границ поглощения и

$k < 1$ вблизи края полосы поглощения со стороны коротких длин волн вследствие возникновения при фотоэлектрическом акте лучей флюоресценции

$$k = 1 - u_s \frac{v_s}{v} = 1 - u_s \frac{\lambda}{\lambda_s}$$

Здесь λ — длина волн возбуждающих (падающих) лучей, λ_s — длина волн возбуждаемого характеристического излучения атома. Очевидно, $\lambda < \lambda_s$, u_s — квантовый выход характеристического излучения, представляющий собой отношение числа возбужденных атомов, возвращающих энергию возбуждения в формы характеристического излучения N_s к общему числу возбужденных падающим излучением атомов среды N :

$$u_s = \frac{N_s}{N}.$$

Аналогично квантовый выход характеристических фотоэлектронов

$$u_e = \frac{N_e}{N}.$$

Так как

$$N_s + N_e = N,$$

то

$$u_s + u_e = 1.$$

Энергетический выход характеристического излучения

$$F_s = \frac{N_s}{N} \cdot \frac{h v_s}{h v} = u_s \frac{v_s}{v}.$$

Часть поглощенной энергии, перешедшая в форму кинетической энергии электронов, будет очевидно

$$N \cdot h\nu (1 - r_s) = I\tau \left(1 - u_s \frac{\lambda}{\lambda_s} \right).$$

По Смекалю для элементов

$$\text{с. } Z \geq 18 \quad u_e = 1 - u_s = \frac{16,2}{Z-1}.$$

По Мертигу для элементов с $Z > 21$

$$u_e = \left(\frac{21}{Z} \right)^2.$$

По Вентцелю и Фусу

$$\frac{u_e}{u_s} = 10^6 \cdot Z^{-4}.$$

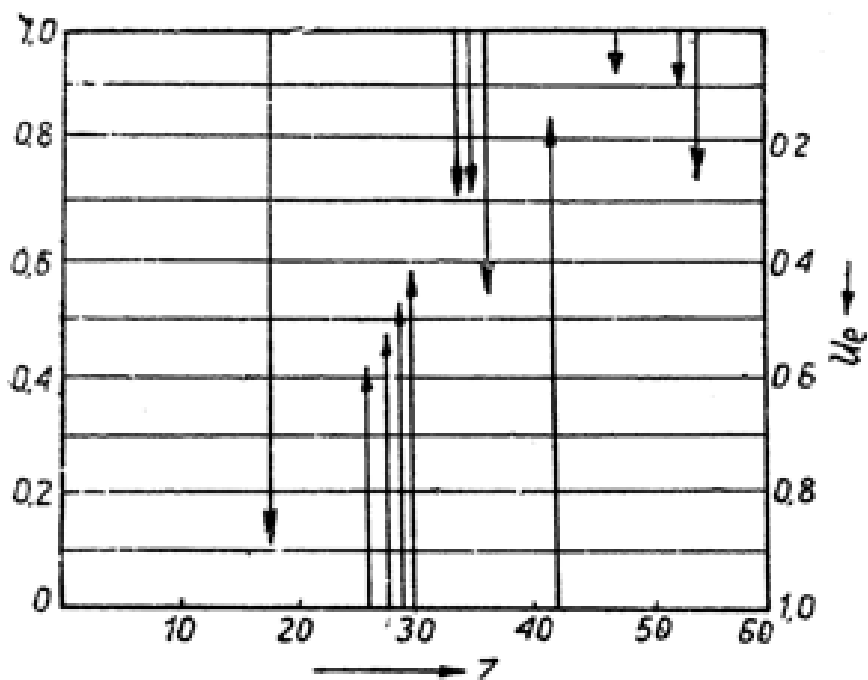


Рис. 37. Квантовый выход характеристического излучения (U_s) и характеристической эмиссии электронов (U_e) в зависимости от атомного номера элемента.

Многообразие вторичных проявлений рентгеновского излучения можно объединить в пять видов действия: тепловое, ионизационное, световозбуждающее, фотохимическое и биологическое.

Вообще говоря, в поглощающей среде одновременно протекает ряд вторичных процессов.

Наиболее чистую картину дает ионизационное действие в легких газах, почему оно и положено в основу энергетических измерений рентгеновских лучей.

Единица физической дозы рентгеновских лучей „рентген“ представляет собой объемную плотность поглощенной энергии рентгеновских лучей, при которой в результате полного ионизационного действия лучей в воздухе при 0° и 760 мм Hg отделяются заряды в одну абсолютную электрическую единицу каждый на один кубический сантиметр освещаемого объема

$$1r \approx 0,11 \frac{\text{эрг}}{\text{с.м}^3}.$$

Ионизационное действие рентгеновских лучей различных длин волн, приведенное к однаковой интенсивности падающего излучения и однаковому числу молекул в освещаемом объеме по отношению к воздуху

Длина волн	Воздух	N ₂	O ₂	CO ₂	N ₂ O	H ₂ S	SO ₂	H ₂ Se	C ₂ H ₅ Br	CH ₃ I
2,29	1	—	—	1,40	—	—	—	—	—	—
1,93	1	—	1,37	1,41	1,32	14,7	—	30,3	41,2	—
1,66	1	—	1,85	1,39	1,33	14,9	11,5	—	—	162
1,54	1	0,71	1,38	1,40	1,80	14,7	11,7	29,2	42	—
1,43	1	—	1,42	1,36	1,30	14,3	11,1	—	41,6	—
1,17	1	0,71	1,27	1,38	1,33	14,8	11,2	—	42,2	158
1,11	1	—	1,31	1,35	1,37	15,0	11,7	30,6	41,7	—
0,87	1	—	1,28	1,40	1,31	15,3	11,7	122	153	—
0,71	1	—	1,28	1,43	1,38	15,2	12,2	190	213	188
0,61	1	—	—	1,41	—	15,3	12,3	—	—	—
0,59	1	—	—	1,39	—	15,4	12,7	—	—	—
0,56	1	0,72	1,32	1,39	1,34	15,4	12,6	231	272	198
0,49	1	—	1,29	1,41	1,31	15,7	—	250	335	205
0,47	1	—	1,28	1,43	1,32	—	—	—	—	—
0,44	1	0,73	—	—	—	—	—	286	—	211
0,39	1	—	—	—	—	—	—	—	—	251

Таблица 37

Значения работы образования пары ионов в воздухе по данным различных авторов

Год	Автор	Область длии воли	Ход изменения	Численная величина V
1926	Кулленкампфер	0,56—2,0	постоянная	35±5
1926	Кирхнер и Шмитц (исправлена)	0,5—1,5	—	31
1927	Румп	0,18—0,5	—	33±2
1928	Штееенбек	1,54—2,29	—	28±6
1928	Бухман	0,85—3,0	—	31±0,3
1928	Краузер	0,6—0,75	—	42,5±0,3
1929	Кертнер	1,54	—	36,4
1929	Эйзль	—	—	32,2
1930	Гертзен	—	—	36,0
1933	Аглинцев	0,10—0,47	—	37,3±1,5

Таблица 38

Расход энергии при ионизации различных газов по отношению к работе образования пары ионов в воздухе

Воздух	1	Воздух	1
H ₂	0,98	CH ₃ I	0,70
N ₂	1,07	N ₂ O	0,98
O ₂	0,91	NH ₃	0,82
CO ₂	0,98	CS ₂	0,80
SO ₂	1,08	CHCl ₃	0,99
H ₂ S	0,77	HCl	0,86
C ₂ H ₅ Br	0,65	CCl ₄	0,93

Таблица 39

Относительное число фотоэлектронов и электронов отдачи для лучей различных длин волн по Комptonу и Симону

λ в Å	Число		Число фотоэлектро- нов при одинаковой интенсивности па- дающего излучения
	фотоэлектронов	электронов отдачи	
0,13	1	72	0,11
0,17	4	68	0,35
0,20	8	74	0,55
0,29	12	33	1,2
0,44	11	10	2,5
0,71	49	5	13,8

Таблица 40

Относительное число эмиссируемых фотоэлектронов на атом n_{At} по Муру $\lambda=1,54 \text{ \AA}$
(К — серия Cu)

Элемент	Атомный вес A	Относительное число n_{At} (для воздуха $n_{At} = 1$)	$A^4 \cdot 10^{-4}$	$\frac{A^4}{n_{At}} \cdot 10^{-4}$
C	12	0,2	2,07	10,3
N	14	0,34	3,84	11,3
O	16	0,62	6,65	10,4
S	32	10,9	104,8	9,6
Cl	35,5	14,7	158,8	10,8

Из постоянства значений последнего столбца следует:

$$n_{At} \approx kA^4 \approx k_1 Z^4$$

Таблица 41

Фотоэмиссия массивных металлических пластин по Шереру

Освещаемый элемент	A.	Fe	Ni	Cu	Ag	Sn	Au	Pb	Bi
Относительное число n^1 эмиссируемых электронов Z	11	47	53	56	94	100	184	189	194
.....	13	26	28	29	47	50	79	82	83

Из данных таблицы следует, что для $Z > 10$ $n^1 \approx k(Z - 10)$

Таблица 42

Максимальные значения начальной энергии электронов отдачи по Комptonу и Симону

Напряжение генерирования в кВ	Толщина фильтра Си в мм	t_{eff} в \AA	Цаблюдаемая максимальная длина-пробега в воздухе в мм	Наблюд. максим. начальн. энергия в $e\text{-eV}$	Подсчитанная начальная энергия $W_{max} = m \cdot c^2 \frac{2\alpha}{1+2\alpha}$
21	0	0,71	0	0	0,93
34	0,15	0,44	0	0	2,8
52	0,5	0,29	2,5	10,5	6,1
74	1,2	0,20	6	16	12
88	1,5	0,17	9	20	16
111	3,4	0,13	24	32	26

Таблица 43

Длина пробега и начальная энергия электронов отдачи в воздухе под различными углами к первичному пучку по Комptonу и Симону $\lambda = 0,13 \text{ \AA}$

Угол эмиссии Θ	Средняя длина пробега в м.м.		Начальная энергия, подсчитанная из данных наблюдений
	Наблюдение	Подсчет	
0—30°	9	11	20
30—60°	4	4	13
60—90°	0,9	0,3	6

Таблица 44

Пространственное распределение электронов отдачи в воздухе по отношению направления первичного пучка по Комptonу и Симону $\lambda = 0,13 \text{ \AA}$

Угол эмиссии Θ	Число наблюденных начальных направлений	Число вычисленных начальных направлений	Вероятность	
			Наблюдение	Вычисление
0—30	34	28	0,29	0,29
30—60°	39	50	0,30	0,30
60—90°	27	32	0,28	0,28

Таблица 45

Распределение длин пробегов электронов отдачи в воздухе по Комptonу и Симону

Длина пробега в частях от максимального значения	Относительное число электронов отдачи, имеющих указанную длину пробега в % при длинах волн излучения в \AA				Среднее	Вычисления по кванто- вой теории
	0,29	0,20	0,17	0,13		
0—0,2	44	66	60	54	56	53
0,2—0,4	34	20	26	32	28	22
0,4—0,6	19	8	4	8	10	14
0,6—0,8	0	3	5	3	3	8
0,8—1,0	3	3	5	3	3	3

Таблица 46

Относительное число электронов отдачи N_r и фотозелектронов N_p в воздухе для различных длин волн излучения по Комптону и Симону

λ_{eff} в Å	Число электронов отдачи N_r	Число фотозелектронов N_p	$\frac{N_r}{N_p}$	$\frac{\sigma}{\tau}$
0,71	5	49	0,1	0,27
0,44	10	11	0,9	1,2
0,29	33	12	2,7	3,8
0,20	74	8	9	10
0,17	68	4	17	17
0,13	(72)	(1)	(72)	32

Таблица 47

Относительное число электронов отдачи фотозелектронов в различных газах по Наттелю и Вильямсу

Рассеивающий газ	λ в Å	Число электронов отдачи N_r	Число фотозелектронов N_p	$\frac{N_r}{N_p}$	$\frac{\sigma}{\tau}$
Кислород	0,709	26	205	0,127	0,174
-	0,614	129	608	0,212	0,268
-	0,545	109	358	0,305	0,383
-	0,614	223	722	0,309	0,400
-	0,545	109	202	0,540	0,572
Аргон	0,614	7	209	0,033	0,030
-	0,545	4	139	0,029	0,043
Воздух	0,57	153	454	0,337	0,372
-	0,35	139	83	1,67	1,57
-	0,2	—	—	11,0	
Водород + кислород (200 : 2,3)	0,614	28	11	2,5	2,9
Водород + кислород (200 : 1,47)	0,614	73	21	3,5	4,4

Таблица 48

Число и энергия электронов при общем поглощении 1 $r = 0,11$ эвс/см³ в воздухе

λ нм	$\frac{r}{\rho}$	$\frac{\sigma_s}{\rho}$	$\frac{\sigma}{\rho}$	$\frac{\mu}{\rho}$	$\frac{T}{\rho}$	Распределение энергии			Число электронов			Энергия на единицу времени			
						Фото- электр. W_p в эргах	Электр. отдачи W_e в эргах	отдачи W_r в эргах	отдач. от	Всего N_p	M_r	N	в эргах в секунду $\times 10^6$	Фото отдач. $\times 10^6$	Отдач. $\times 10^6$
0,1	0,0051	0,022	0,113	0,135	0,140	0,027	0,024	0,0096	0,104 · 10 ⁶	2,81 · 10 ⁶	2,91 · 10 ⁶	19,7	3,19		
0,15	0,0121	0,020	0,132	0,152	0,164	0,032	0,0419	0,068	0,920 · 10 ⁶	4,06 · 10 ⁶	4,38 · 10 ⁶	13,05	1,66		
0,2	0,0201	0,016	0,145	0,161	0,164	0,036	0,0625	0,0476	0,935 · 10 ⁶	4,89 · 10 ⁶	5,52 · 10 ⁶	9,8	0,973		
0,25	0,0371	0,014	0,154	0,168	0,205	0,051	0,0800	0,030	1,02 · 10 ⁶	4,64 · 10 ⁶	5,66 · 10 ⁶	7,84	0,647		
0,3	0,0581	0,012	0,162	0,173	0,231	0,070	0,0924	0,0176	1,41 · 10 ⁶	4,20 · 10 ⁶	5,61 · 10 ⁶	6,53	0,419		
0,4	0,1451	0,009	0,171	0,180	0,325	0,154	0,1035	0,0065	2,11 · 10 ⁶	2,61 · 10 ⁶	4,72 · 10 ⁶	4,9	0,249		
0,5	0,30	0,008	0,175	0,183	0,49	0,308	0,1072	0,0028	2,72 · 10 ⁶	1,66 · 10 ⁶	4,38 · 10 ⁶	3,94	0,169		
0,6	0,56	0,0069	0,179	0,186	0,75	0,567	0,1086	0,00143	3,31 · 10 ⁶	1,09 · 10 ⁶	4,40 · 10 ⁶	3,28	0,131		
0,7	1,01	0,006	0,182	0,188	1,20	1,016	0,1091	0,0006	3,90 · 10 ⁶	0,725 · 10 ⁶	4,625 · 10 ⁶	2,80	0,083		
0,8	1,41	0,0046	0,186	0,191	1,60	1,415	0,1098	0,0004	4,47 · 10 ⁶	0,607 · 10 ⁶	5,08 · 10 ⁶	2,46	0,072		
0,9	1,91	0,0042	0,189	0,193	2,1	1,914	0,1098	0,0002	5,04 · 10 ⁶	0,51 · 10 ⁶	5,55 · 10 ⁶	2,18	0,051		
1,0	2,4	0,004	0,192	0,196	2,6	2,404	0,1099	0,0001	5,6 · 10 ⁶	0,46 · 10 ⁶	6,06 · 10 ⁶	1,96	0,038		
1,5	8,5	0,003	0,197	0,200	8,7	8,508	0,1099	0,0001	8,4 · 10 ⁶	0,2 · 10 ⁶	8,6 · 10 ⁶	1,3	0,022		
2,0	20,8	0,0023	0,198	0,200	21	20,802	0,1099	0,00001	11,2 · 10 ⁶	0,1 · 10 ⁶	11,3 · 1 · 10 ⁶	0,98	0,011		

1. Показатель затенения $\frac{1}{r} = \frac{1}{R} \ln \frac{I_0}{I}$ при О и С по Ольсону. Olson N., Dersham E., Storch H., Phys. Rev. 21, 1929. Landolt-Bornstein, Erg.-Bd., 1927.

Скорости электронов в kV и практическая длина свободного пробега электронов в сантиметрах для воздуха R_L и воды R_w

kV	$\beta = \frac{v}{c}$	R_L	R_w
10	0,198	0,193	0,00025
12	0,214	0,26	0,000336
15	0,230	0,29	0,000375
20	0,265	0,51	0,000664
25	0,298	0,90	0,00117
30	0,326	1,3	0,00169
35	0,347	1,8	0,00232
40	0,380	2,6	0,00341
70	0,475	5,4	0,0070
85	0,512	7,3	0,0095
90	0,524	8,4	0,0098
150	0,632	14	0,018
270	0,752	49	0,064
400	0,831	96	0,124

Следующим технически важным действием рентгеновских лучей является фотохимический процесс в форме почернения фотографической пленки.

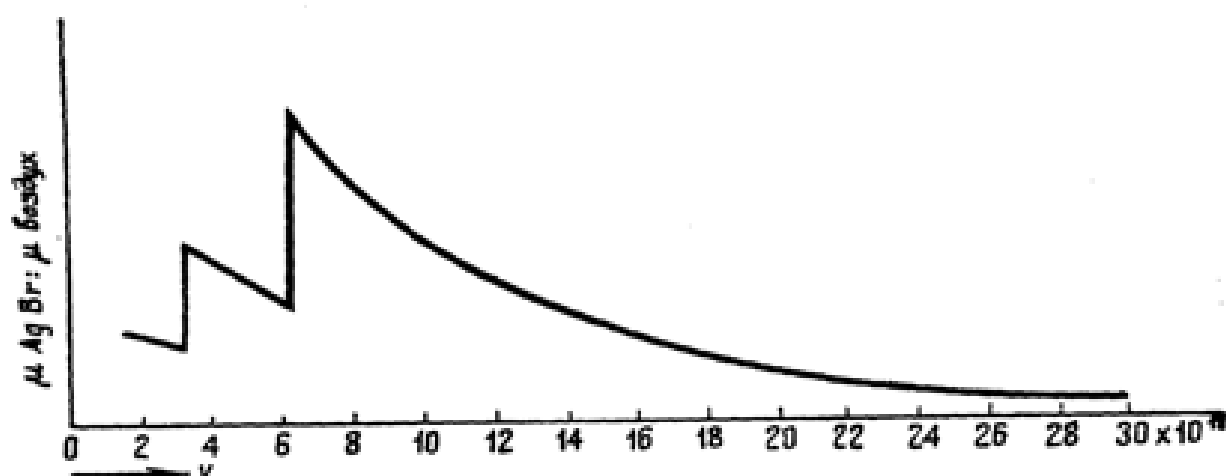


Рис. 38. Ход изменения отношения коэффициента ослабления фотографии к коэффициенту ослабления воздуха, в зависимости от частоты колебаний.

Для измерительных целей это действие представляет затруднения в виду наличия границы полосы поглощения в рабочем участке спектра

$$Br \lambda_k = 0,915 \text{\AA} \quad \text{и} \quad \lambda_l = 7,000 \text{\AA},$$

$$Ag \lambda_k = 0,484 \text{\AA} \quad \text{и} \quad \lambda_L = 3,260 \text{\AA}.$$

Плотность почернения фотопленок, представляющая собой десятичный логарифм отношения интенсивности падающих на фотопленку видимых лучей к интенсивности прошедших через нее лучей, $S = \lg \frac{I_0}{I}$, зависит от ряда

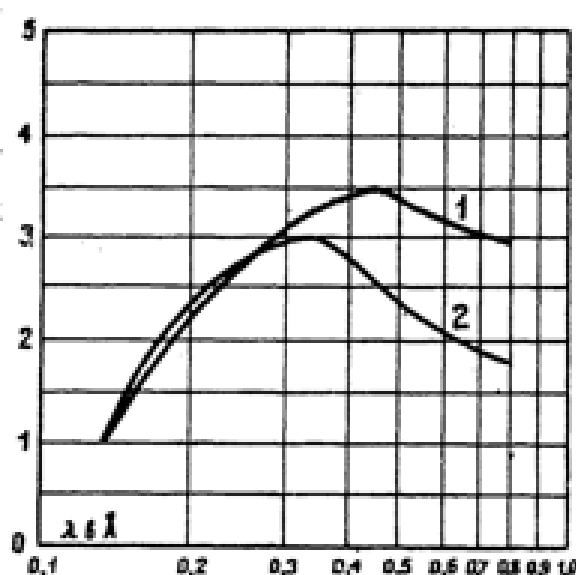


Рис. 38а. Отношение коэффициентов ослабления фотопленки к целлюлу (1) и почернение фотопленки к ионизационному току в воздухе (2) в зависимости от эффективной длины излучения.

факторов: от качества излучения, от экспозиции (энергии излучения, упавшей на фотопленку), от рода фотопленки и фактора проявления

При прочих одинаковых условиях плотность почернения пропорциональна энергии излучения лишь для плотностей почернений: $S < 1,5$.

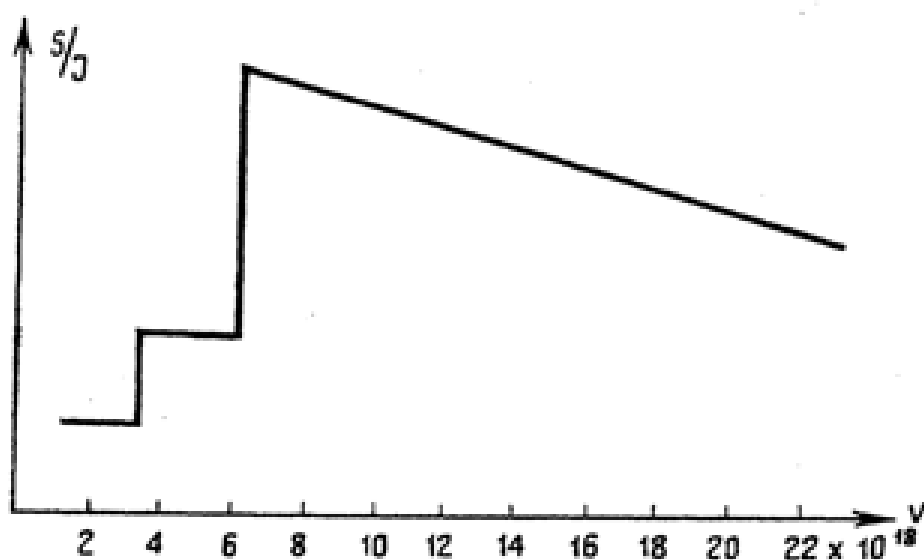


Рис. 39. Отношение плотности почернения к ионизационному току в зависимости от частоты колебаний.

По причинам зависимости плотности почернения от качества фотопленок все нижеприводимые данные могут иметь лишь ориентировочный характер.

Таблица 50

Число рентгенов в воздухе, необходимое для почернения фотопленки до $S = 0,5$ побоузару и Тууку

Постоянное напряжение в кВ	Ф и л ь т р		
	1 mm Pb + 1 mm Cu + 1 mm Al	1 mm Cu + 1 mm Al	1 mm Al
(1927) Агфа Ляуэ фильм			
190	0,120	0,052	0,026
180	0,100	0,048	0,024
160	0,080	0,040	0,020
140	0,065	0,030	0,018
120	0,050	0,026	0,018
100	0,040	0,021	0,017
80	0,030	0,018	0,016
65	—	—	0,025
50	—	—	0,021
35	—	—	0,021
(1929) Агфа-фильм двойная			
180	0,090	0,060	0,030
160	—	0,050	—
140	0,055	0,040	0,025
120	—	0,030	—
100	0,035	0,025	0,022
65	—	—	0,030
50	—	—	0,025
35	—	—	0,025

Таблица 51

Число рентгенов в воздухе, необходимое для почернения фотопластинки до $S = 1,0$ при выполнении снимков с усиливающими экранами, по Аглинцеву

Постоянное напряжение в кВ	Ф и л ь т р ы mm Pb						
	—	0,7	1,4	2,0	2,2	2,5	2,7
75	0,10	0,15	0,17	—	—	—	—
85	—	—	0,16	—	0,13	—	0,15
100	—	—	0,10	0,08	—	0,09	—
125	—	—	—	0,10	—	0,13	—

В среднем для обычных рентгеновских фотопластин при работе с двумя усиливающими экранами в широких границах качества излучения мощностей физических доз от $P = 10^{-6}$ r/sec до $P = 6 \cdot 10^{-3}$ r/sec можно считать, что

что плотности почернения $S = 1$ отвечает физическая доза в воздухе $D = 0,12 \text{ г}$ с колебаниями в ту и другую сторону на $\pm 50\%$, вследствие индивидуальных отличий пленок и различий факторов проявления.

Таблица 51а

Сводные данные зависимости плотности почернения фотопленки от числа рентгенов в воздухе по различным источникам

Плотность почернения S	Число рентгенов (г.)			
	Боуэрс Туук	Нефф	Франке	Жегалкин
0,5	0,016—0,120	0,25—0,75	0,005—1,0	0,05—0,12
1,0	—	1—2	1,25	0,10—0,30
1,5	—	2—3	—	0,25—0,60

Несмотря на трудности и невысокую точность количественной оценки излучения по почернению фотопленки, фотографический метод нашел широкое применение в спектральном и структурном анализе по следующим причинам:

1) возможность применения к пучкам весьма малого поперечного сечения и слабых интенсивностей,

2) документальность полученных результатов,

3) практическая необходимость лишь в относительных суждениях о почернениях.

При фотографических снимках в медицине и технике каких-либо объектов иногда бывает выгодно применение усилительных экранов из вольфрамокислого кальция ($\text{Ca} \cdot \text{W} \cdot \text{O}_4$).

Коэффициентом усиления называется отношение времени экспозиции t_0 без усиливающих экранов к времени экспозиции t с экранами, при неизменном излучении и одинаковом почернении.

Рис. 39а. Соотношение между плотностью почернения и физической дозой в воздухе в рентгенах.

При очень слабых интенсивностях лучей и обычных фотосмulsionиях применение экранов становится бесполезным.

Для визуальных наблюдений применяются флюоресцирующие экраны из платиносинеродистого бария



Спектральный состав видимых лучей флюресценции не зависит от качества падающих на экран рентгеновских лучей.

Изменение окраски барий-платино-цианура, использовавшееся ранее для измерительных целей (таблетки Сабуро-Нуаре, радиометр Гольцкенхта), в сильной мере зависит от качества рентгеновского излучения.

Заметное свечение флюоресцирующих экранов начинается при мощности физической дозы в воздухе от 3 до $25 \frac{\mu r}{sec}$ в зависимости от качества излучения и рода экрана

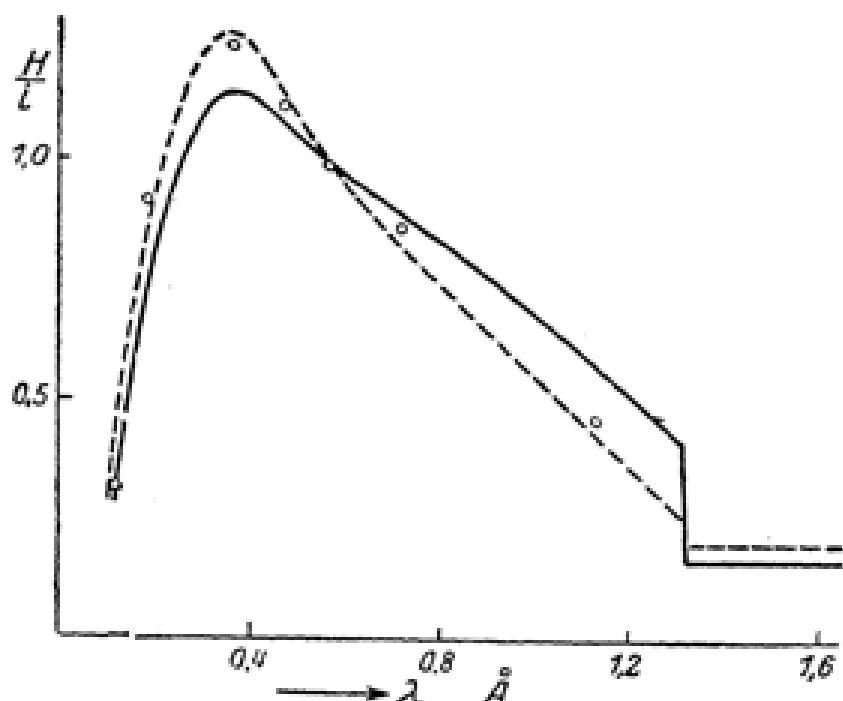


Рис. 40. Отношение яркости флюоресцирующего экрана к силе ионизационного тока в зависимости от длины волны излучения.

Аналогичный ход изменения чувствительности показывает также и селеновый приемник (изменение проводимости селена под действием лучей).

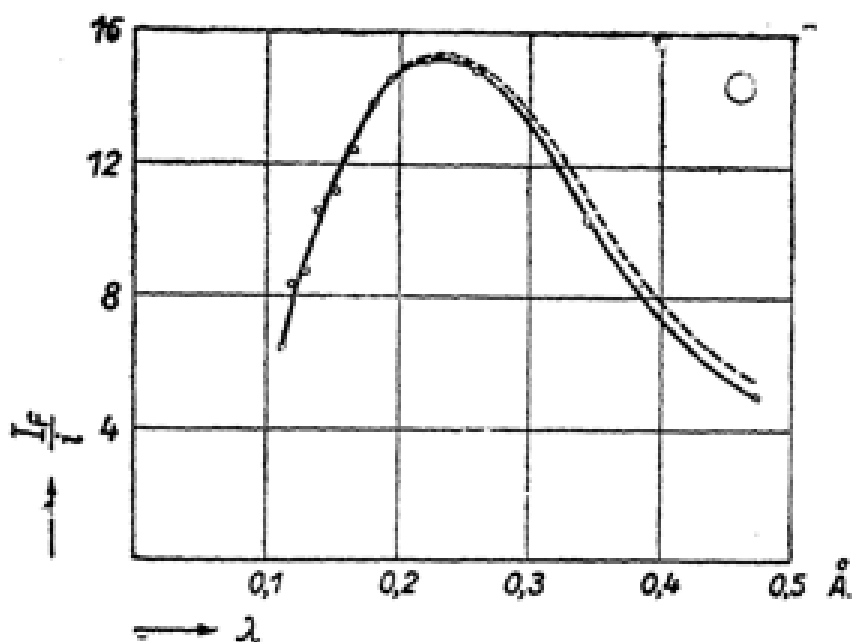


Рис. 41. Отношение показаний прибора с селеновой камерой к силе ионизационного тока в зависимости от длины волны излучения.

Зависимость показаний счетчиков Гейгер-Мюллера с различными материалами стенок от качества излучения показана на рис. 42.

Зависимость показаний ионизационных камер при освещении через стеклу для различных случаев показана на рис. 13 (см. рентгенметры).

§ 6. Физическая доза и биологическое действие рентгеновских лучей

Количество поглощенной энергии излучения, отнесенное к единице освещаемого объема среды, называется физической дозой рентгеновских лучей.

Для измерительных целей в качестве среды принят атмосферный воздух, в качестве реакции — ионизационное действие лучей.

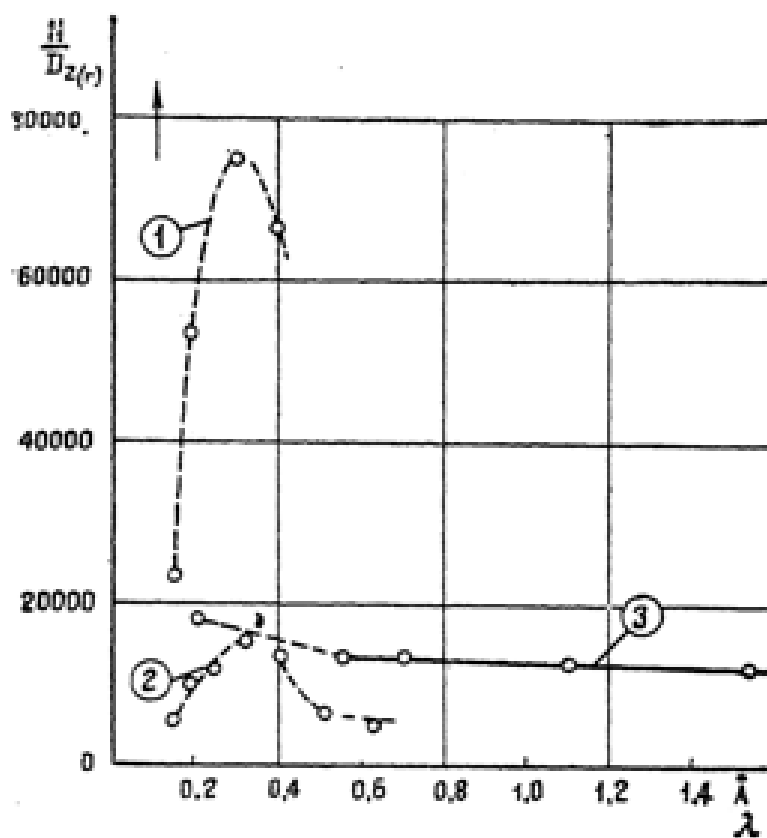


Рис. 42. Отношение числа импульсов в счетной трубке Гейгер-Мюллера к физической дозе в воздухе: 1) стенка — железо, 2) стенка — алюминий, 3) стенка из материала, эквивалентного воздуху.

нормальной плотности рентгеновские лучи того же качества и интенсивности при одинаковом времени освещения.¹

При этом говорят, что некоторому числу рентгенов (в воздухе) соответствует тот или иной эффект в среде, например почернение фотопленки, изменение окраски кристалла, выпадение осадка из коллоидной смеси, эпилляция или эритема кожи и так далее.

Процентной глубинной дозой $D\%$ называют выраженное в процентах отношение физической дозы в воздухе на какой-либо глубине в среде к значению ее на поверхности освещаемой среды в направлении лучей.

Так как физическая доза зависит от времени освещения, то для количественной оценки излучения необходимо введение понятия мощности физической дозы.

Мощность физической дозы в воздухе прямо пропорциональна силе анодного тока и для фокусных расстояний $f > 50$ см при распространении

При известном качестве лучей всегда возможно от физической дозы в воздухе D перейти к поверхностной плотности энергии E лучей, попадающих в ионизационную камеру

$$E = \frac{D}{\gamma},$$

где γ — коэффициент электронного преобразования лучей в воздухе.

Чтобы найти физическую дозу D_x в какой-либо среде, достаточно разность поверхностных плотностей энергий излучения до и после слоя среды разделить на толщину этого слоя x :

$$D_x = \frac{E_0 - E_1}{x} = \left(\frac{D_0}{\gamma_0} - \frac{D_1}{\gamma_1} \right) \cdot \frac{1}{x}.$$

Однако, в практике обычно не подсчитывают D_x , а оценивают то или другое действие лучей в какой-либо среде тем ионизационным эффектом, которое создают в воздухе нормального качества и интенсивности

¹ В немецкой литературе иногда дозу в воздухе называют Einfallsdosis.

О П Е Ч А Т К И

<i>Страница</i>	<i>Строка</i>	<i>Напечатано</i>	<i>Должно быть</i>
133	16 снизу	$\delta = \delta \cdot n$	$\delta = \delta_1 \cdot n$

Справочн. по рентгеном.

лучей в слабо поглощающей среде приблизительно обратно пропорциональна квадрату расстояния.

Кроме того, мощность физической дозы зависит от величины и формы кривой напряжения, а также материала и толщины применяемого фильтра.

Таблица 52

Приблизительные значения мощности физической дозы в воздухе в r/min
для постоянного напряжения, $f = 50 \text{ см}$ и $J = 1 \text{ mA}$

Напряжение в kV	Толщина фильтра в м.м											
	0 ¹		1		2		3		5		6	
			Al									
20	1,5	0,3	—	—	—	—	—	—	—	—	—	—
40	5,0	1,2	0,4	0,2	—	—	—	—	—	—	—	—
60	8,5	2,8	1,5	1,1	0,6	0,4	—	—	—	—	—	—
80	13,0	5,0	2,8	2,4	1,3	1,0	1,8	—	—	—	—	—
100	29,0	8,0	4,5	3,6	2,1	1,7	2,5	1,3	0,9	0,5	0,3	0,2
120	—	12,0	6,7	5,4	3,1	2,5	3,6	2,1	1,6	1,1	0,7	0,4
140	—	16,5	9,3	6,8	4,1	3,3	4,6	3,0	2,2	1,6	1,1	0,7
160	—	22,0	14,0	9,0	5,4	4,3	5,7	3,8	3,0	2,0	1,4	1,0
180	—	28,0	18,0	12,0	6,7	5,5	6,6	4,8	3,6	2,7	1,9	1,5
200	—	35,0	22,5	17,0	9,0	6,6	8,0	6,0	4,5	3,5	2,5	2,0
												1,6

Чтобы найти приблизительное значение мощности физической дозы в воздухе при работе трубки от аппарата с пульсирующим напряжением позади фильтра толщиной δ_1 , необходимо в приведенной выше таблице 52 взять значение, отвечающее фильтру из того же материала, но толщиной $\delta = \delta_1 \cdot n$.

где $n = \frac{U_{\max}}{U_{eff}}$ — коэффициент амплитуды кривой напряжения, таблица 176.

Физическая доза на поверхности освещаемого тела при его наличии всегда больше, чем в воздухе на том же расстоянии и при тех же условиях освещения, так как само тело рассеивает лучи.

Влияние рассеянного излучения возрастает с увеличением поля освещения и жесткости излучения (последнее лишь до $\Delta_{Cu} = 1,7$ при степени неоднородности $n = 2,5$, после чего вследствие уменьшения коэффициента рассеяния это влияние снова убывает).

В качестве рассеивающего тела обычно берется вода.

Процентная глубинная доза также зависит от расстояния поля освещения и качества лучей. В качестве экспериментальной среды берется вода.

¹ Эквивалент стенки трубки зависит от типа ее и колебается от 1 мм до 3 мм Cu. Первый столбец отвечает воображаемому случаю отсутствия стенки, что отвечает толщине фильтра, равной нулю.

Таблица 53

Значение множителя, на который следует умножать время достижения 100 μ в воздухе на расстоянии 50 см, чтобы получить время освещения при том же излучении для получения действующей на поверхности воды дозы в 100 г (по Гольтуэну)

Δ_{Cu} в м.м.	Размер поля			10 см ²			50 см ²			100 см ²		
	0,1	0,3	1,0	0,1	0,3	1,0	0,1	0,3	1,0	0,1	0,3	1,0
Расстояние в см	30	0,342	0,335	0,326	0,322	0,324	0,303	0,290	0,287	0,302	0,280	0,266
	40	0,608	0,595	0,585	0,572	0,576	0,539	0,510	0,511	0,536	0,498	0,476
	50	0,95	0,930	0,906	0,894	0,894	0,842	0,806	0,798	0,838	0,779	0,743
	60	1,37	1,34	1,31	1,29	1,29	1,30	1,21	1,16	1,15	1,21	1,07
	75	2,14	2,00	2,04	2,01	2,03	1,89	1,81	1,80	1,89	1,75	1,67
	100	3,00	2,80	2,70	2,60	2,60	2,40	2,30	2,20	2,20	2,10	1,66
Размер поля			150 см ²			200 см ²			400 см ²			
Δ_{Cu} в см	0,1	0,3	1,0	1,7	0,1	0,3	1,0	1,0	1,7	0,1	0,3	1,0
	30	0,288	0,267	0,258	0,255	0,281	0,262	0,252	0,249	0,277	0,257	0,247
	40	0,512	0,475	0,458	0,453	0,499	0,465	0,449	0,443	0,493	0,457	0,435
	50	0,800	0,742	0,716	0,703	0,780	0,726	0,701	0,693	0,770	0,713	0,687
	60	1,15	1,07	1,07	1,02	1,02	1,05	1,01	1,00	1,11	1,03	0,99
	75	1,80	1,67	1,61	1,59	1,75	1,63	1,58	1,56	1,73	1,60	1,55
Размер поля			100 см ²			250 см ²			500 см ²			
Δ_{Cu} в см	0,1	0,3	1,0	1,7	0,1	0,3	1,0	1,0	1,7	0,1	0,3	1,0
	30	0,288	0,267	0,258	0,255	0,281	0,262	0,252	0,249	0,277	0,257	0,245
	40	0,512	0,475	0,458	0,453	0,499	0,465	0,449	0,443	0,493	0,457	0,435
	50	0,800	0,742	0,716	0,703	0,780	0,726	0,701	0,693	0,770	0,713	0,687
	60	1,15	1,07	1,07	1,02	1,02	1,05	1,01	1,00	1,11	1,03	0,99
	75	1,80	1,67	1,61	1,59	1,75	1,63	1,58	1,56	1,73	1,60	1,55

Таблица 54

Процентная глубинная доза в воде на глубине 10 см в зависимости от частоты фокус-поверхности, величины поля и качества излучения (по Гольтузену)

Измер поля в М.М.	50 см ²				100 см ²				150 см ²				200 см ²				400 см ²				
	0,3	0,5	0,7	1,0	0,3	0,5	0,7	1,0	0,3	0,5	0,7	1,0	0,3	0,5	0,7	1,0	0,3	0,5	0,7	1,0	1,7
30	16	21	24	26	27	21	25	28	31	32	24	29	31	33	35	25	30	33	35	37	33
40	18	23	26	28	28	22	27	30	33	34	25	31	34	36	38	26	33	36	38	38	39
50	20	25	28	30	31	23	29	32	35	36	26	33	35	38	39	28	35	33	40	42	43
60	21	26	29	31	32	24	30	33	36	37	27	34	37	39	41	29	37	39	42	43	44
75	22	27	30	32	33	26	31	34	37	39	29	35	38	40	42	31	38	41	43	45	49

Таблица 55

Значение множителя, на который следует умножать время достижения 100 г в воздухе на расстоянии 50 см, чтобы получить при том же излучении время освещения для достижения дозы в 100 г на глубине 10 см в воде (по Гольтузену)

Измер поля в М.М.	50 см ²				100 см ²				150 см ²				200 см ²				400 см ²				
	0,3	0,5	0,7	1,0	0,3	0,5	0,7	1,0	0,3	0,5	0,7	1,0	0,3	0,5	0,7	1,0	0,3	0,5	0,7	1,0	1,7
30	1,87	1,40	1,21	1,20	1,11	1,31	1,09	0,96	0,87	0,83	1,10	0,91	0,84	0,78	0,73	1,01	0,83	0,78	0,72	0,68	0,93
40	2,94	2,28	1,84	1,83	1,75	2,21	1,80	1,60	1,44	1,38	1,88	1,50	1,35	1,27	1,19	1,16	1,38	1,27	1,16	1,11	1,49
50	4,15	3,28	2,89	2,68	2,57	3,33	2,52	2,34	2,14	2,04	2,83	2,21	2,06	1,88	1,82	2,57	2,04	1,87	1,72	1,65	2,13
60	5,67	4,53	4,02	3,73	3,57	4,57	3,64	3,27	2,97	2,85	3,91	3,09	2,80	2,64	2,49	3,56	2,78	2,52	2,42	2,32	2,03
75	8,48	6,83	6,06	5,64	5,43	6,62	5,51	4,96	4,52	4,23	5,70	4,69	4,26	4,01	3,81	5,22	4,23	3,90	3,69	3,54	4,25

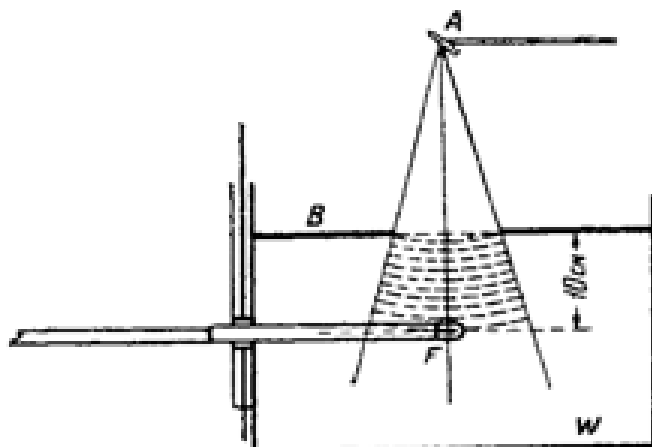


Рис. 43. Схема измерений с водяным фантомом.

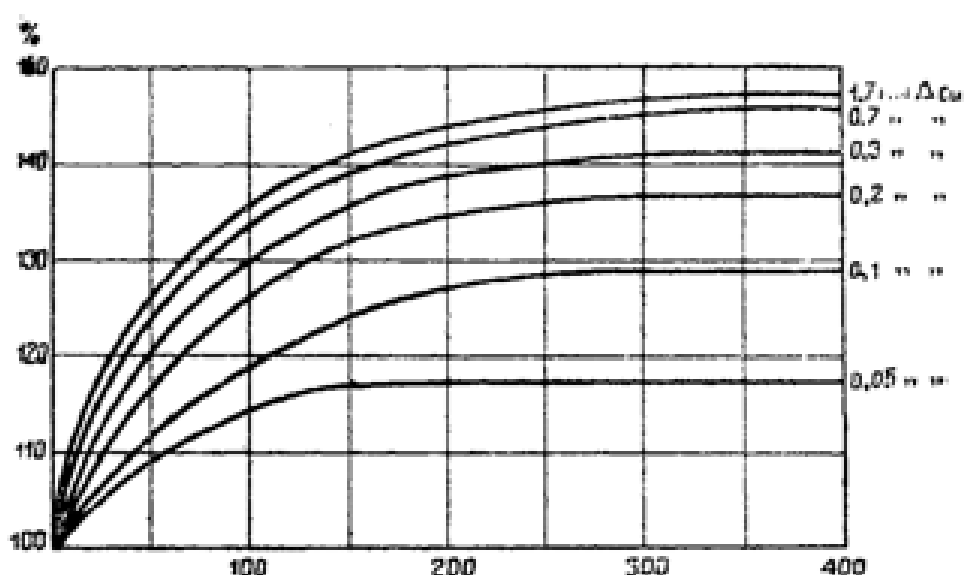


Рис. 43а. Влияние обратного рассеяния поверхности в зависимости от величины поля освещения: $\Delta \text{Си}$, от 0,05 мм до 1,7 мм.

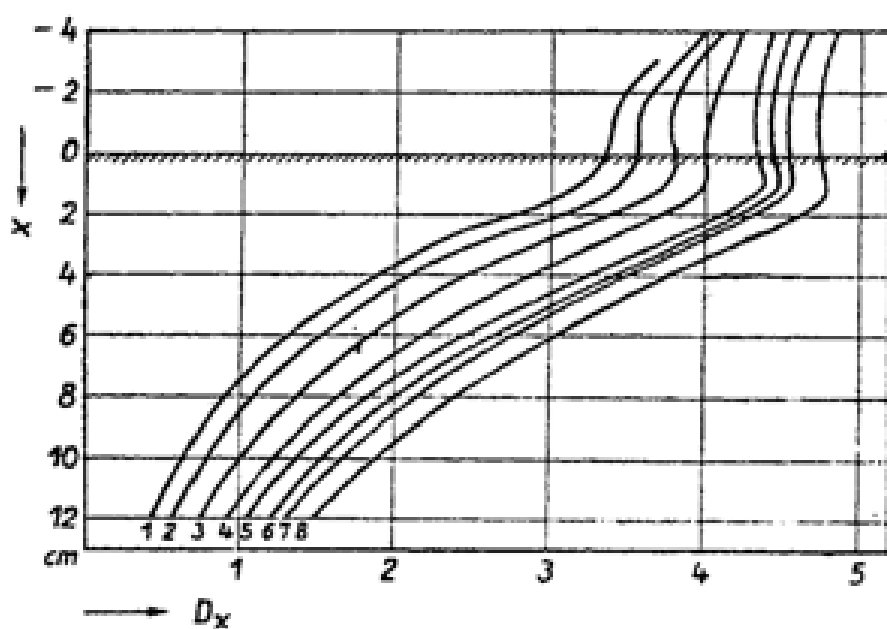


Рис. 43б. Распределение физической дозы по глубине в водяном фантоме для $u = 175 \text{ кВ}$, $\delta = 0,5 \text{ м.м.}$, $Z_p = 2,5 \text{ м.м.}$, $\Lambda_{\text{тн}} = 40 \text{ см}$: 1) поле $(2 \times 2) \text{ см}^2$, 2) поле $(17 \times 17) \text{ см}^2$.

В границах поперечного сечения конуса первичных лучей значение процентной глубинной дозы приблизительно остается постоянным.

Вследствие фильтрации и влияния рассеянного излучения качество действующего излучения изменяется по глубине.

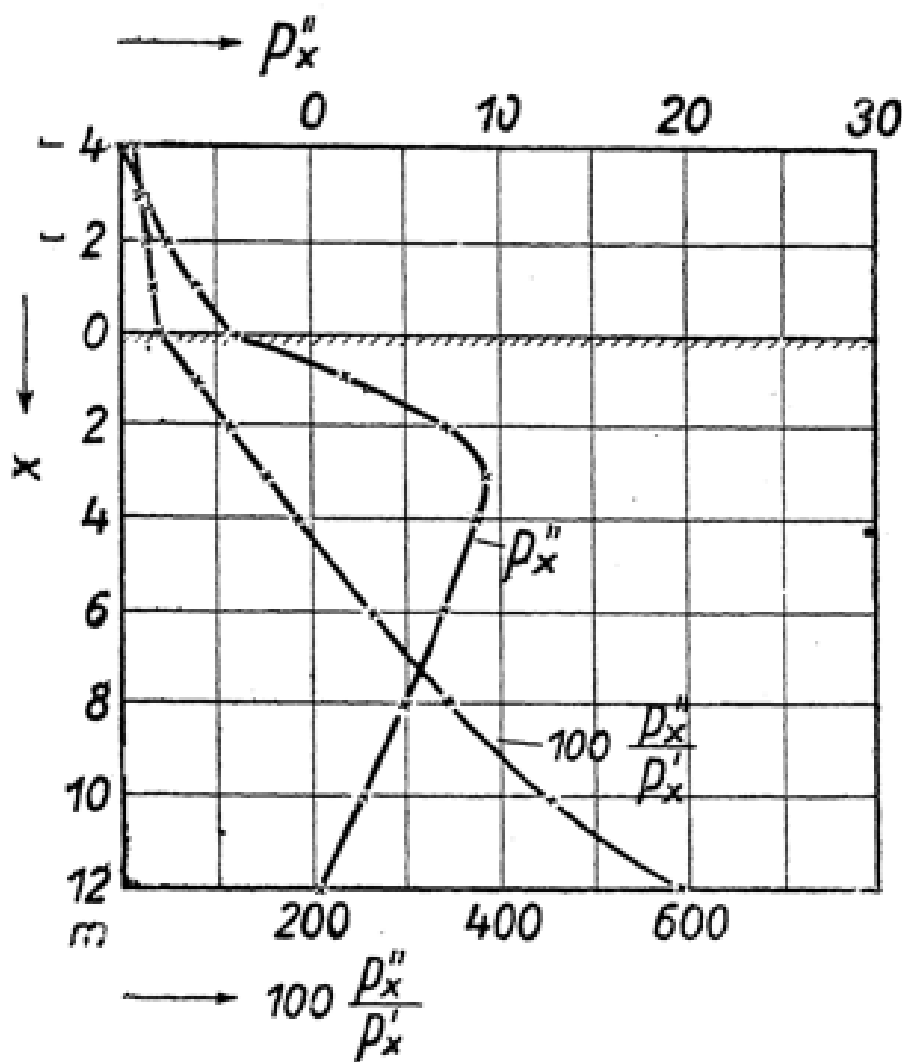


Рис. 44. Мощность физической дозы от рассеянного излучения P''_x в водяном фантоме и относительное влияние ее $100 \cdot \frac{P''_x}{P'_x}$ в зависимости от глубины x для тех же условий освещения и поля освещения (10×17) см 2 .

Таблица 56

Качество Δ_{Cu} действующего излучения на поверхности воды и на глубине 10 см при различных значениях слоя половинного ослабления первичного излучения

Δ_{Cu} в м.м.	Размер поля освещения см 2	Качество действующего излучения	
		на поверхности	на глубине 10 см
1,23	10×10	0,95 м.м Cu	0,73 м.м Cu
1,14	10×10	0,9 " "	0,7 " "
0,76	10×15	0,69 " "	0,54 " "
0,36	10×15	0,33 " "	0,30 " "
0,12	10×15	0,11 " "	0,118 " "
0,16	10×15	0,057 " "	0,076 " "

При проникновении лучей в живой организм имеет место то или иное биологическое действие их, причем реакция организма проявляется лишь через некоторое время.

На характер и величину этой реакции влияют как условия освещения объекта лучами, так и индивидуальные особенности организма.

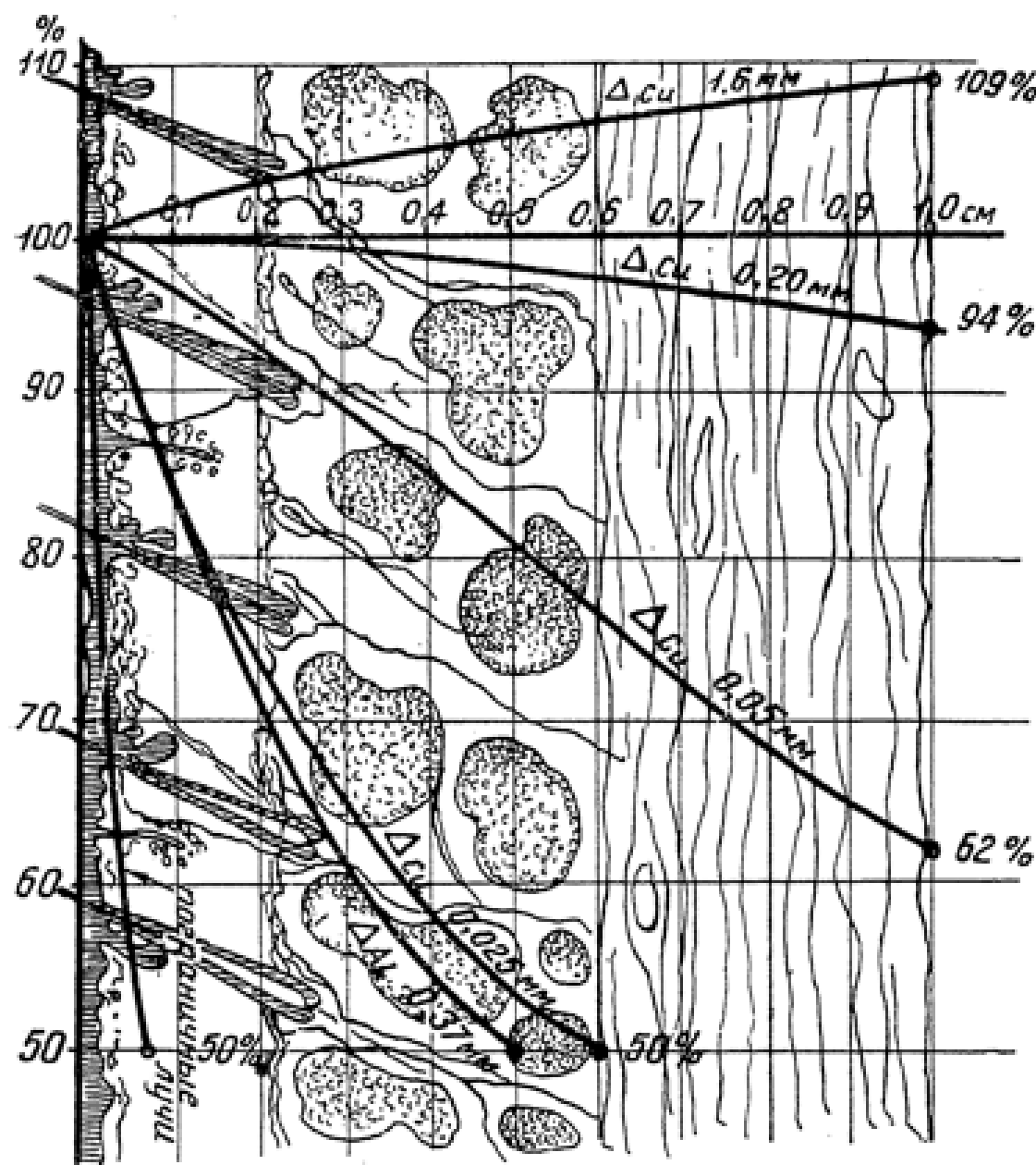


Рис. 45. Распределение процентной глубинной дозы лучей различного качества в ткани кожи: 1 (сверху) — 180 кВ, 1,5 мм Cu 2 — 120 кВ, 3,0 мм Al, 3 — 80 кВ, 1,0 мм Al, 4 — 60 кВ, без фильтра, 5 — 30 кВ, без фильтра, 6 — 8 кВ, без фильтра (линденмановское стекло).

Из физических факторов, влияющих на биологический эффект, можно указать на: качество применяемого излучения, интенсивность его, распределение дозы во времени и в пространстве.

В качестве наиболее отчетливых реакций организма, изученных на большом числе разнообразных объектов, являются так называемые эритемная доза (НED) и эпилационная доза (ЕD). Следует заметить, что критериями этих доз служит внешнее проявление на коже, вследствие чего одному и тому же наименованию в зависимости от условий освещения могут отвечать различные биологические процессы в организме.

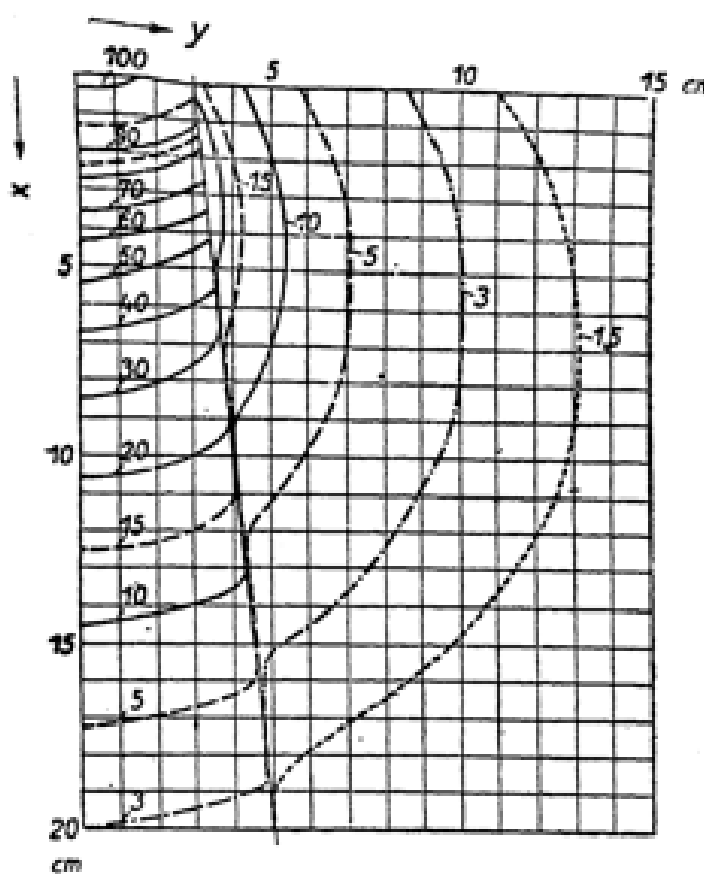


Рис. 46. Распределение процентной глубинной дозы в водяном фантоме для плоскости, содержащей центральный луч, при $U = 140$ кВ, 0,5 мм Сц, для круглого поля освещения $d = 6$ см и фокусного расстояния 30 см.

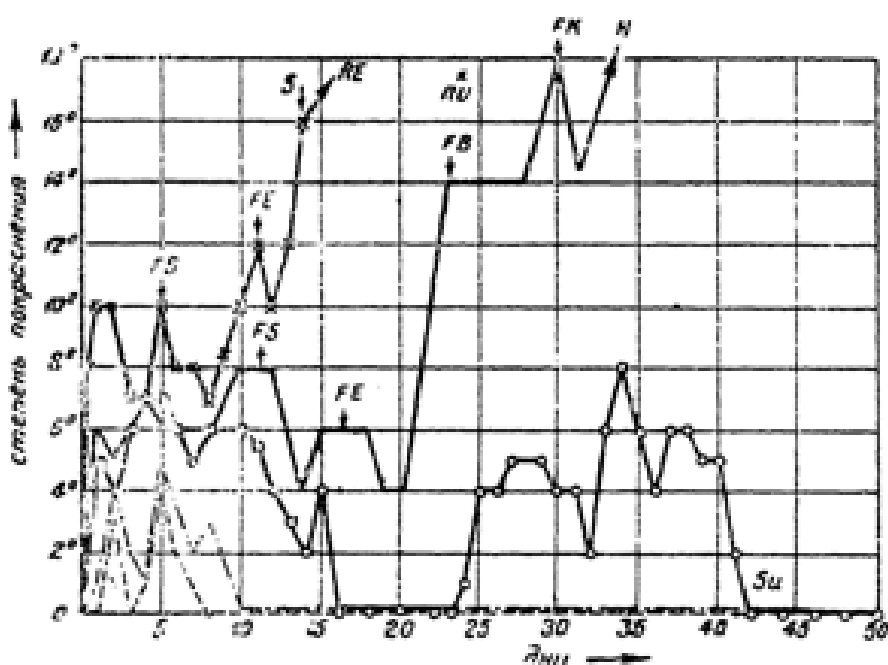


Рис. 47. Кривая эритемы при возрастании физической дозы для мягких лучей (75 кВ, без фильтра $\Delta Al = 0,42$ мм) по Рейснеру, 150 р.,
---,---,--- 300 р. о—о—о 600 р., ———— 900 р.,
х—х—х—х—х— 1200 р.

Физические измерения объемной плотности энергии лучей производятся путем определения физической дозы в воздухе и выражаются в рентгенах.

Аналогично вместо интенсивности лучей обычно задается мощность физической дозы в воздухе, выраженная в r/min . Протекание биологической реакции во времени для различных значений физической дозы лучей показано на рис. 47.

Влияние качества применяемого излучения сказывается на биологическом эффекте и количественно и качественно.

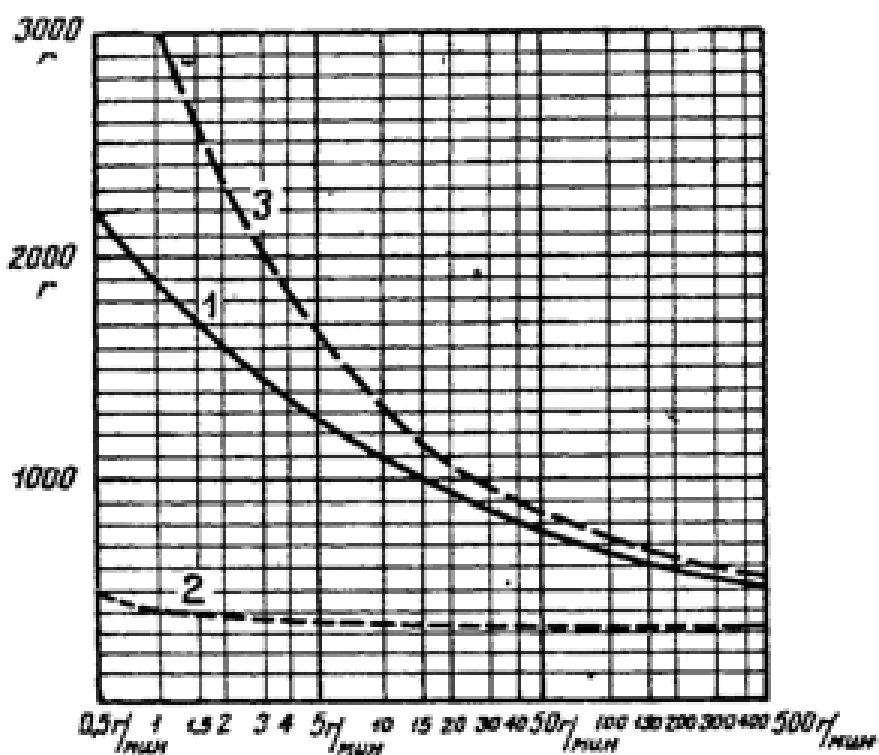


Рис. 48. Изменение эритемной (1), эпилляционной (2) и толерантной (3) дозы, в зависимости от величины мощности физической дозы в воздухе.

Из совокупности экспериментального материала вытекает, что:

- 1) Химические изменения, происходящие в какой-либо среде, пропорциональны энергии лучей, преобразованной в этой среде в энергию электронов.
- 2) Вредное действие длинноволновой части спектра до $1,5\text{\AA}$ не зависит от длины волн.
- 3) В области излучений, применяемых для поверхностной терапии, действие не зависит от качества лучей. 1 НЕД соответствует 590 r .
- 4) В области очень мягких лучей эритемное действие носит качественно другой характер, вследствие чего для достижения эритемы указываются значения от 300 до 5 000 r .
- 5) Допустимо указать приблизительное значение мощности физической дозы в воздухе, при которой в условиях длительного освещения лучами реакция человеческого организма явно не проявляется (толерантная доза) по Митшеллеру $5 000 \text{ r}$ за 15,9 лет или $0,04 \text{ r}$ в час. Как среднее из многих данных, обычно принимается $10 \mu\text{r}$ в секунду.

Влияние объема освещения (величина поля освещения и толщина объекта) сказывается на величине физической дозы, отвечающей кожной толерантной

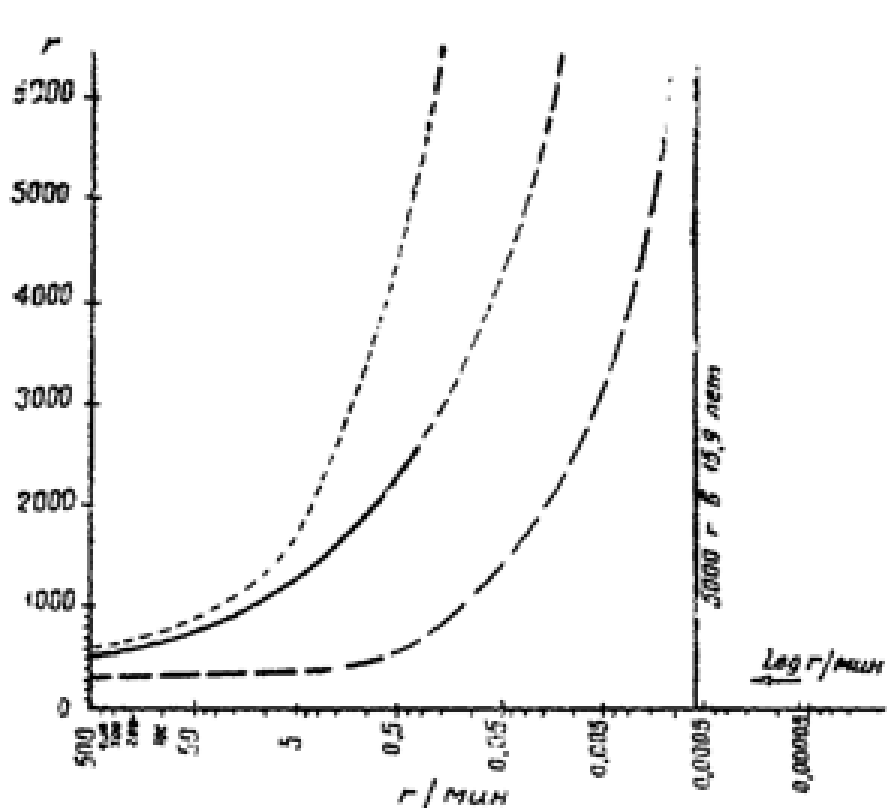


Рис. 49. Эритемная (1), эпилляционная (2) и толерантная (3) физическая доза, в зависимости от мощности физической дозы в воздухе. Справа показано значение средней мощности толерантной дозы по Мутшеллеру (приблизительно 10 $\mu\text{r/sec}$).

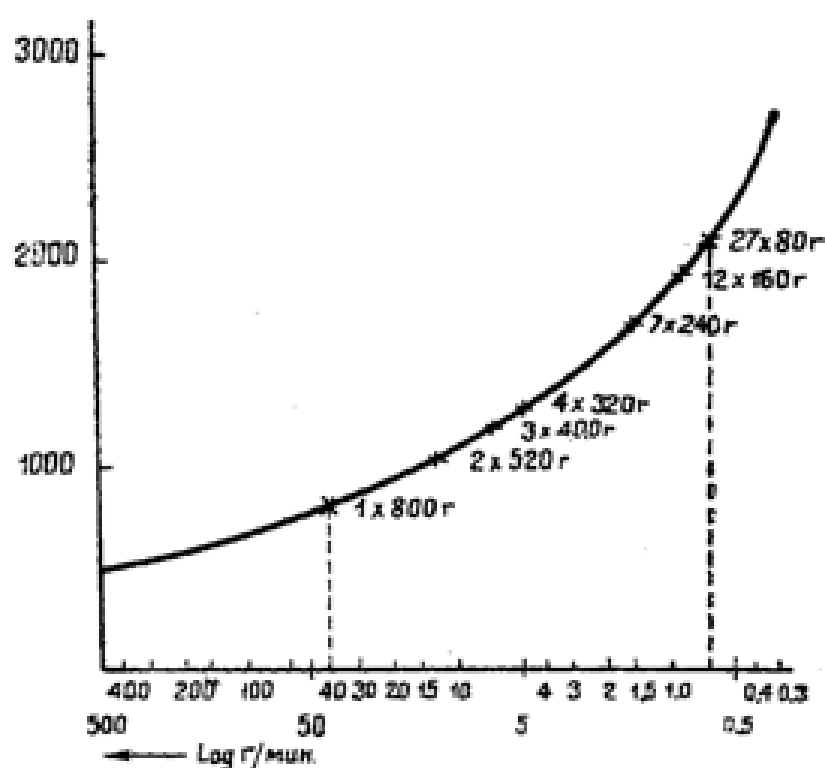


Рис. 50. Сравнение физических доз в воздухе, отвечающих эритемному действию при длительном и фракционном освещении, в зависимости от мощности физической дозы в воздухе.

дозе. Чем больше поле освещения, тем меньше следует принимать значение условно безвредной мощности физической дозы.

Распределение дозы во времени влияет на качество и величину реакции. При фракционном освещении:

Таблица 57

Доза при ежедневном освещении и различном фракционировании, отвечающая одноковому эритемному действию

10%	27	дней	= 270%	в	27	дней
20%	12	"	= 240%	"	12	"
30%	7	"	= 210%	"	7	"
40%	4	"	= 160%	"	4	"
50%	3	"	= 150%	"	3	"
65%	2	"	= 130%	"	2	"
100%	1	"	= 100%	"	1	"

§ 7. Защита от рентгеновских лучей

Условно безвредная мощность физической дозы при длительных освещениях обычно принимается

$$P_T = 10 \text{ } \mu\text{r/sec.}$$

Защита должна быть предпринята не только от первичного, но и от вторичного (рассеянного) излучения.

Выполнение правил работы с рентгеновскими лучами составляет неотъемлемую часть всех мероприятий по защите.

Самым распространенным материалом для защиты от рентгеновских лучей служит свинец, почему нормы толщин защитных слоев указываются именно для этого материала, и защитные свойства всех прочих материалов оцениваются по сравнению со свинцом. Край K полосы поглощения Рв приходится в рабочей части спектра, почему при подсчетах поглощения свинцом следует пользоваться либо экспериментальными данными о поглощении, либо проследить фильтрацию по кривой распределения плотности интенсивности по спектру. Расчеты по λ_{eff} или λ_0 повлекут за собой ошибки в определении необходимых толщин свинца.

Коэффициент ослабления рентгеновских лучей в свинце при высоких напряжениях генерирования ($U > 250$ кВ) по Егеру.

$$\mu_\infty = \frac{64.5 \cdot 10^4}{U^2 (\text{kV})} = 0.424 \cdot 10^4 \lambda^2 \text{ для } \lambda \text{ в } \text{\AA}.$$

Линейный коэффициент ослабления рентгеновских лучей позади значительных слоев свинца по данным:

1) Намнаса:

kV	123	153	210	300	400
$\mu (\text{см}^{-1})$	43	27,5	22,1	6,6	3,74

2) Алиханьяна и Кошмана

kV	206	229	308	338	368	378	382	400	454	460	495
$\mu (\text{см}^{-1})$	8,8	5,8	4,3	3,5	3,0	3,5	3,4	2,7	2,2	2,4	1,9

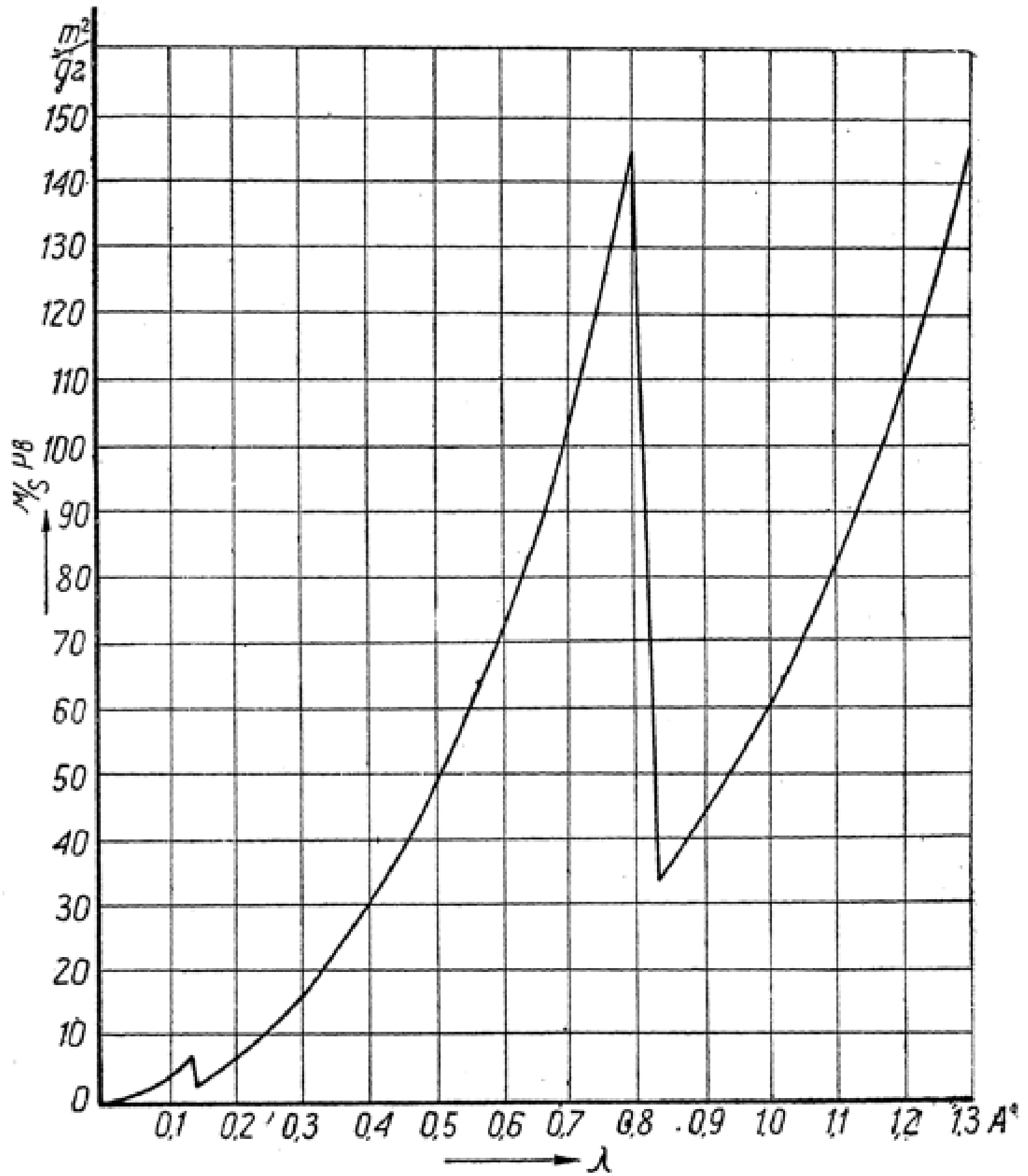


Рис. 51 Массовый коэффициент ослабления лучей в свинце, в зависимости от длины волны излучения.

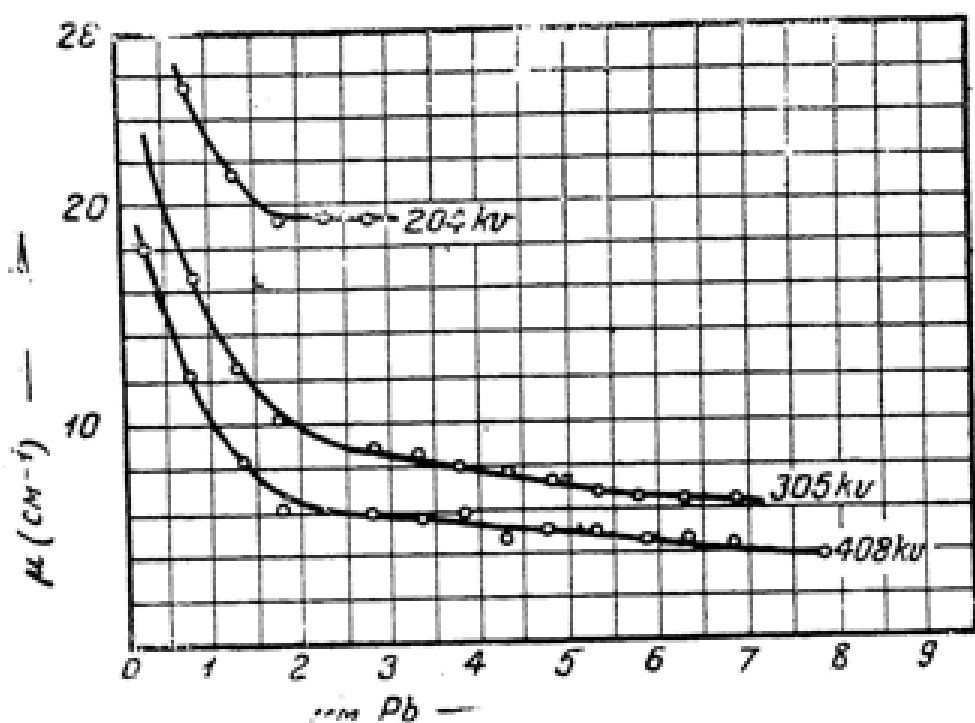


Рис. 52. Линейный коэффициент ослабления рентгеновских лучей, в зависимости от толщины свинцового фильтра по Герману и Егеру, для различных напряжений генерирования.

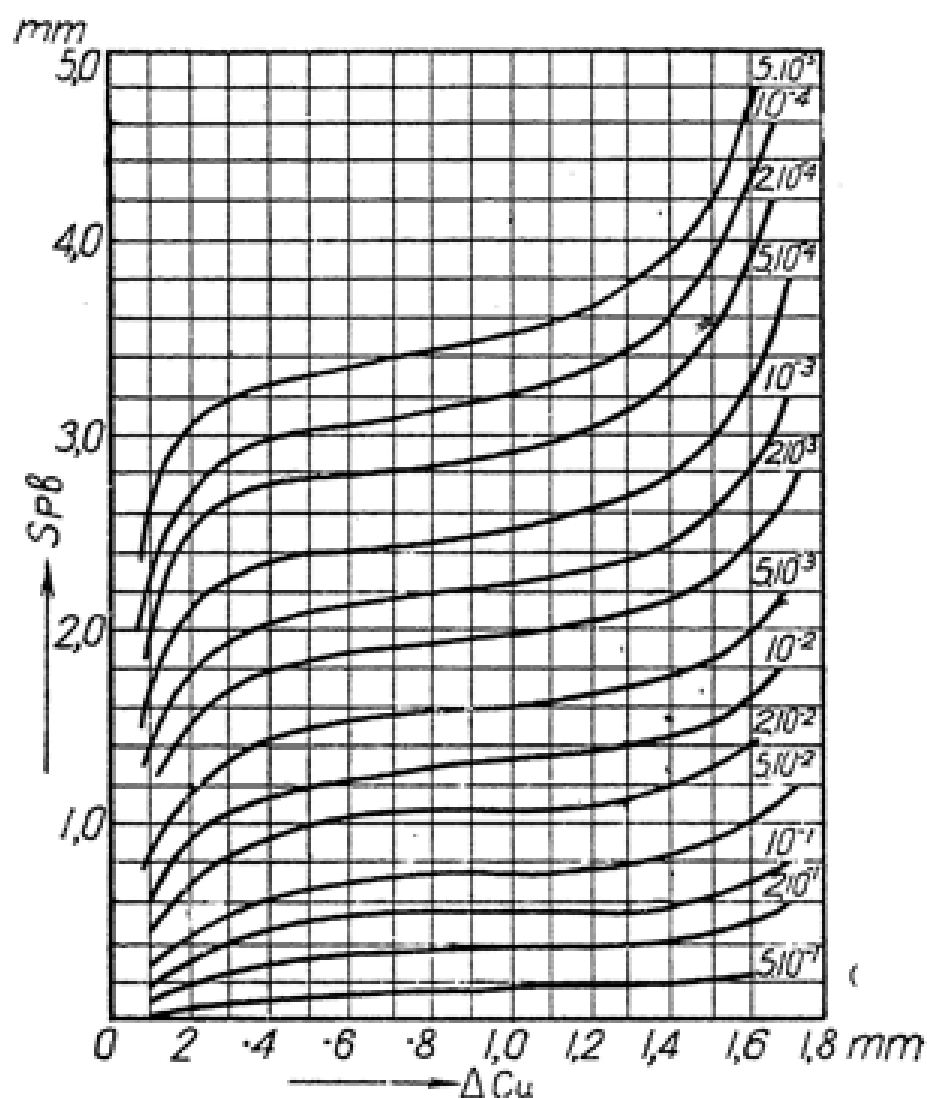


Рис. 53. Толщина слоя металлического свинца, ослабляющего излучение в заданное число раз, в зависимости от качества сме-шанного излучения.

Таблица 58

Значения отношения интенсивности рентгеновских лучей после прохождения свинцового слоя к интенсивности падающих лучей для нефильтрованного излучения при различных напряжениях генерирования (по Кейю)

Толщина слоя Pb в мм	70 kV	100 kV	200 kV
0,0	1	1	1
0,2	$1,8 \cdot 10^{-2}$	$5,0 \cdot 10^{-2}$	$1,2 \cdot 10^{-1}$
0,4	$3,2 \cdot 10^{-3}$	$1,7 \cdot 10^{-2}$	$5,3 \cdot 10^{-2}$
0,6	$8,0 \cdot 10^{-4}$	$7,4 \cdot 10^{-3}$	$2,6 \cdot 10^{-2}$
0,8	$2,6 \cdot 10^{-4}$	$3,4 \cdot 10^{-3}$	$1,4 \cdot 10^{-2}$
1,0	$9,4 \cdot 10^{-5}$	$1,7 \cdot 10^{-3}$	$7,4 \cdot 10^{-3}$
1,2	$3,9 \cdot 10^{-5}$	$6,4 \cdot 10^{-4}$	$4,7 \cdot 10^{-3}$
1,4	$1,8 \cdot 10^{-5}$	$4,9 \cdot 10^{-4}$	$2,9 \cdot 10^{-3}$
1,6	$8,5 \cdot 10^{-6}$	$2,8 \cdot 10^{-4}$	$1,8 \cdot 10^{-3}$
1,8	$4,3 \cdot 10^{-6}$	$1,7 \cdot 10^{-4}$	$1,1 \cdot 10^{-3}$
2,0	$2,3 \cdot 10^{-6}$	$1,0 \cdot 10^{-4}$	$7,3 \cdot 10^{-4}$
2,5		$3,4 \cdot 10^{-5}$	$2,5 \cdot 10^{-4}$
3,0		$1,2 \cdot 10^{-5}$	$9,6 \cdot 10^{-5}$
3,5			$4,0 \cdot 10^{-5}$
4,0			$2,0 \cdot 10^{-5}$
4,5			$1,1 \cdot 10^{-5}$
5,0			$6,8 \cdot 10^{-6}$
5,5			$3,9 \cdot 10^{-6}$

**Международные нормы защиты от вредного действия рентгеновских лучей
(в СССР юридической силы не имеют).**

Напряжение в кВ	Толщина свинца в мм	Напряжение в кВ	Толщина свинца в мм
75	1	200	4
100	1,5	250	6
125	2	300	9
150	2,5	350	12
175	3	400	15

Под свинцовым эквивалентом A_{Pb} какого-либо образца материала подразумевается толщина слоя металлического свинца (обычно в *мм*), которая ослабляет рентгеновское излучение в той же мере, как и материал образца данной толщины. Это число должно быть помечено на любом защитном устройстве.

В тех случаях, когда основной частью защитного материала является свинец (свинцовые стекла и резина), удобно пользоваться так называемым свинзовым коэффициентом. Свинзовый коэффициент есть отношение

$$K_{Pb} = \frac{d_{Pb}}{d_x} \leqslant 1,$$

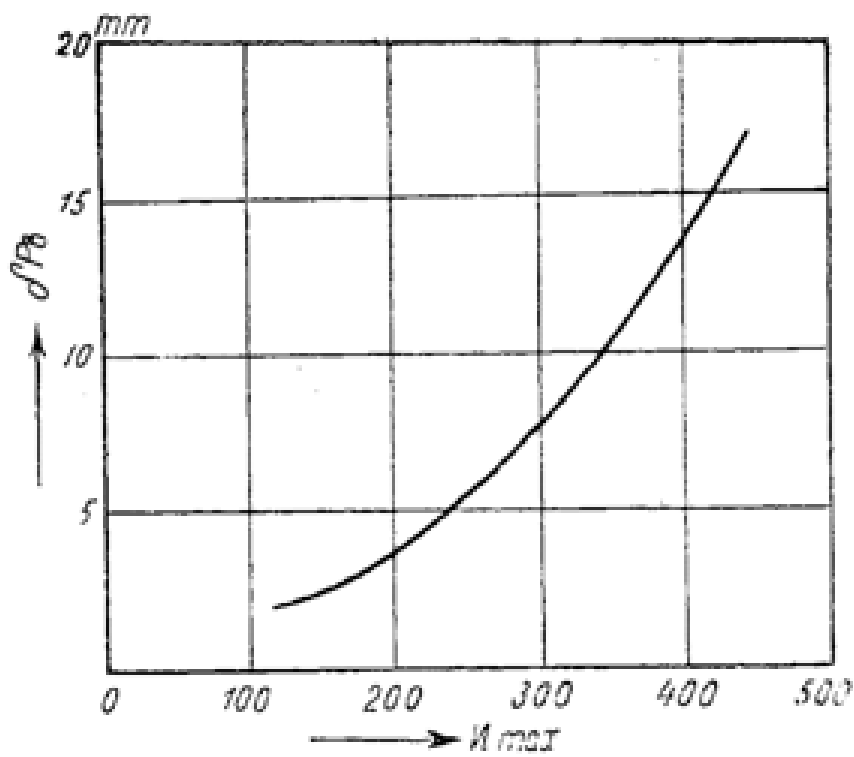


Рис. 54. Толщина свинцового слоя, ослабляющего излучение для того же значения мощности физической дозы, как и 3,5 мм Рв при $U = 100$ кВ, в зависимости от напряжения генерирования.

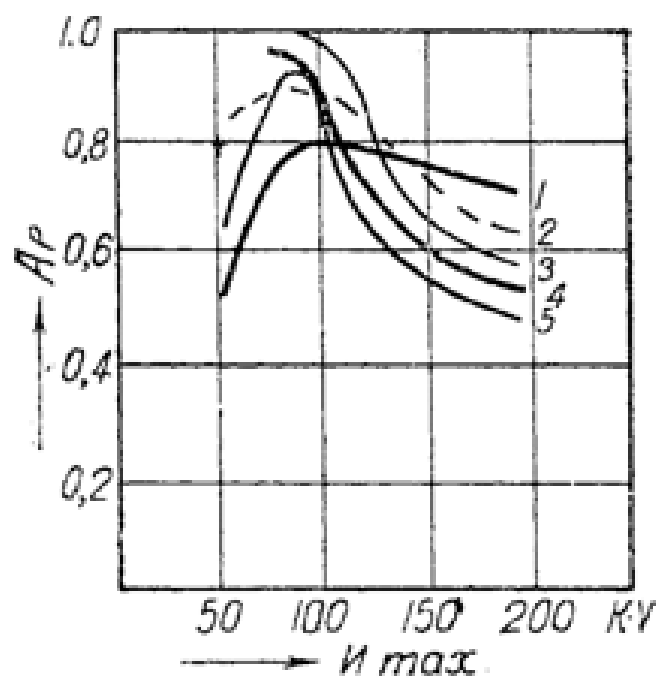


Рис. 55. Свинцовый эквивалент ряда материалов, в зависимости от напряжения генерирования излучения U : 1) Аl 50 м.м., 2) Латунь 4 м.м., 3) сталь 6 м.м., 3) Цn 4 м.м., 5) Sn 1 м.м.

О П Е Ч А Т К И

<i>Страница</i>	<i>Строка</i>	<i>Напечатано</i>	<i>Должно быть</i>
146	Рис. 54	$U = 100 \text{ kV}$	$U = 200 \text{ kV}$

Справочн. по рентгеном.

т. е. то число, на которое следует умножить толщину слоя материала, чтобы получить эквивалентную толщину свинца.

Для стекол $K_{Pb} \% = 10\rho - 20$

« резины $K_{Pb} \% = 10\rho - 13$

где ρ — плотность защитного материала.

Иногда задается эквивалент данного материала по свинцу, т. е. толщина материала, эквивалентная по ослаблению излучения одному миллиметру свинца.

Свинцовый эквивалент данного образца несвинцового материала зависит от напряжения генерирования излучения и имеет максимум в области

$$(U_K)_{Pb} = 90 - 110 \text{ kV.}$$

Эквивалент несвинцового материала по свинцу зависит как от напряжения, так и от толщины материала (влияние фильтрации), а также поля освещения (влияние рассеянных лучей).

Таблица 58а

Значения толщин материалов в миллиметрах, ослабляющих рентгеновское излучение в той же мере, как и один миллиметр металлического свинца

Материал	Плот- ность в g/cm^3	Напряжение в kV				
		50	80	100	150	200
Свинец	11,3	1	1	1	1	1
Барневый цемент	3,5	10	—	4	7,5	9,0
Барневый кирпич, малое поле / большое поле . . .	—	—	—	—	—	13,3/14,6
Пластины Кемпе-Лорей . .	—	—	—	—	—	16
Кирпич, малое поле / большое поле	2	—	—	—	—	80/110
Бетон, малое поле / большое поле	—	—	—	—	—	47/60
Состав: камень, песок, цемент	2,1	100	—	70	75	—
Клинкер-цемент	1,5	135	—	100	105	80
Гранит-цемент	2,1	110	—	70	80	—
Дерево	—	—	—	1000	—	—
Сталь	7,8	11,5	—	6,5	9,5	11,5

Если известна необходимая для защиты толщина материала при малом поле освещения, то при больших полях допустимо необходимую толщину считать на 20% больше.

Защита от вторичного (рассеянного) излучения тем лучше, чем дальше защищаемый объект от рассеивающих тел, если защитный слой расположен вблизи трубки, и чем ближе объект к рассеивающим поверхностям, если защитный слой вблизи этого объекта.

В большинстве случаев практических условий работы для защиты от вторичных лучей достаточно иметь слой, свинцовый эквивалент которого равен 1 мм Рб. Защитный слой всегда лучше делать охватывающим трубку или объект.

ЛИТЕРАТУРНЫЙ УКАЗАТЕЛЬ

F. Kirchner, Handbuch der Experimental-Physik, B. XXIV, T. I.

L. Giebe, K. Nitze, Tabellen zur Dosierung der Röntgenstrahlen, 1930.

M. Siegbahn, Spektroskopie der Röntgenstrahlen, 1931.

H. Holthusen, Grundlagen u. Praxis der Röntgenstrahlen-Dosierung, 1933.

И. В. Поройков. Физические основы дозиметрии рентгеновских лучей, 1934.

М. И. Неменов, Рентгенология, 1933.

Zentralblatt für Radiologie.

Zeitschrift für Physik.

Physikalische Zeitschrift.

Zeitschrift für techn. Physik.

Fortschr. im Gebiete der Röntgenstrahlen.

Strahlentherapie.

Annalen der Physik.

British Journal of Radiology.

American Journal of Radiology.

Bureau of Standards Journal of Research.

Physikal Review.

Journal de Physique Appliquée.

Журнал экспериментальной и теоретической физики.

Достижения в области рентгенотехники.

Вестник рентгенологии.

ОТДЕЛ V

РЕНТГЕНОВСКИЙ АНАЛИЗ

О П Е Ч А Т К И

<i>Страница</i>	<i>Строка</i>	<i>Напечатано</i>	<i>Должно быть</i>
151	9 сверху	однородное	инородное
152	Заголовок табл. 59	—	$I = 4 \text{ mA}$, $f = 50 \text{ см}$ с усил. экраном

Справочн. по рентгеном.

§ 1. Анализ поглощением

Метод поглощения применяется для обнаружения неоднородностей в испытуемом образце без его разрушения.

В медицине этот метод нашел широкое распространение при диагностике; в технике при просвечивании металлов и готовых изделий.

Реагентом на рентгеновские лучи, в зависимости от рода исследуемого образца, обычно служит либо флюоресцирующий экран, либо фотографическая пластиника.

Если образец имеет толщину d и в нем имеется однородное включение, линейные размеры которого в направлении лучей x , то для однородных рентгеновских лучей и небольших полей освещения имеет место соотношение

$$I_1 = I_0 e^{-\mu d}.$$

Интенсивность лучей позади места включения порока x

$$I_2 = I_0 e^{-[\mu(d-x) + \mu_1 x]},$$

откуда

$$\frac{I_1}{I_2} = e^{(\mu_1 - \mu)x}.$$

Обнаружение небольших инородных включений зависит от: применяемого качества рентгеновского излучения, влияния вторичного излучения, возникающего в образце и окружающей среде, размеров фокусного пятна трубы и техники выполнения снимка.

Из приведенного выше соотношения вытекает, что при заданном x контрастность наблюдаемого позади образца эффекта от лучей тем больше, чем больше длина волны лучей, так как пренебрегая рассеянием имеем

$$\mu_1 - \mu = (\alpha_1 \rho_1 - \alpha \rho) \lambda^3,$$

где ρ_1 и ρ — плотности разнородных веществ, α_1 и α — множители при λ^3 в формуле для массового коэффициента ослабления веществ

$$\frac{\mu}{\rho} = \alpha \lambda^3 + \beta.$$

Однако длительность экспозиций, для получения тех же почернений на снимках, с увеличением длины волн сильно возрастает, вследствие чего для каждого рода образца имеются оптимальные условия для анализа поглощением.

Таблица 59

**Влияние напряжения на обнаруживаемость
порока в алюминиевой отливке толщиной
в 4 см**

Напряжение в кВ	Наименьшая величина порока в мм, хорошо видимая глазом	Время экспозиции в секундах
50	0,5	730
80	0,6	210
100	0,7	60
130	0,9	30
170	1,2	10

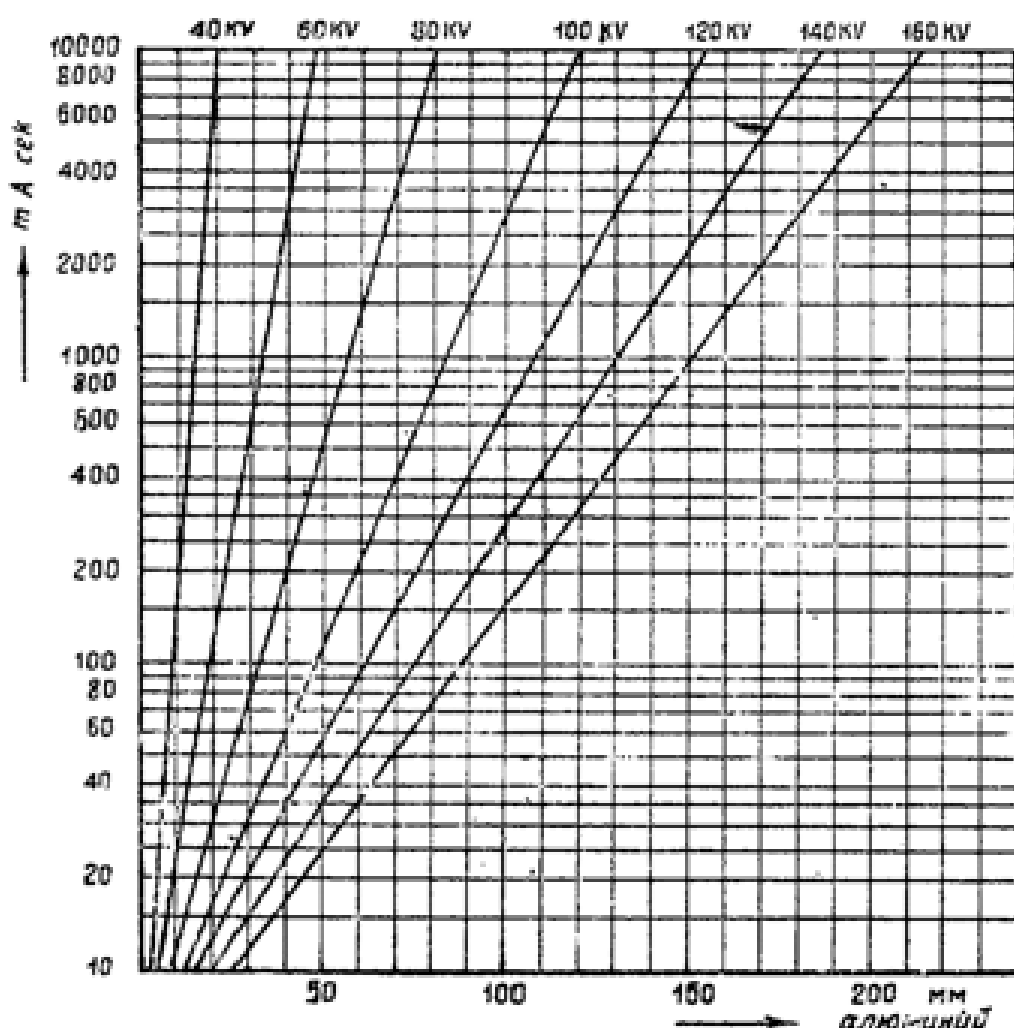


Рис. 56. Диаграмма нагрузки трубы для алюминия (расстояние фокус-пластинка 40 см; абсолютная плотность покрытия 0,5, без усилительных экранов).

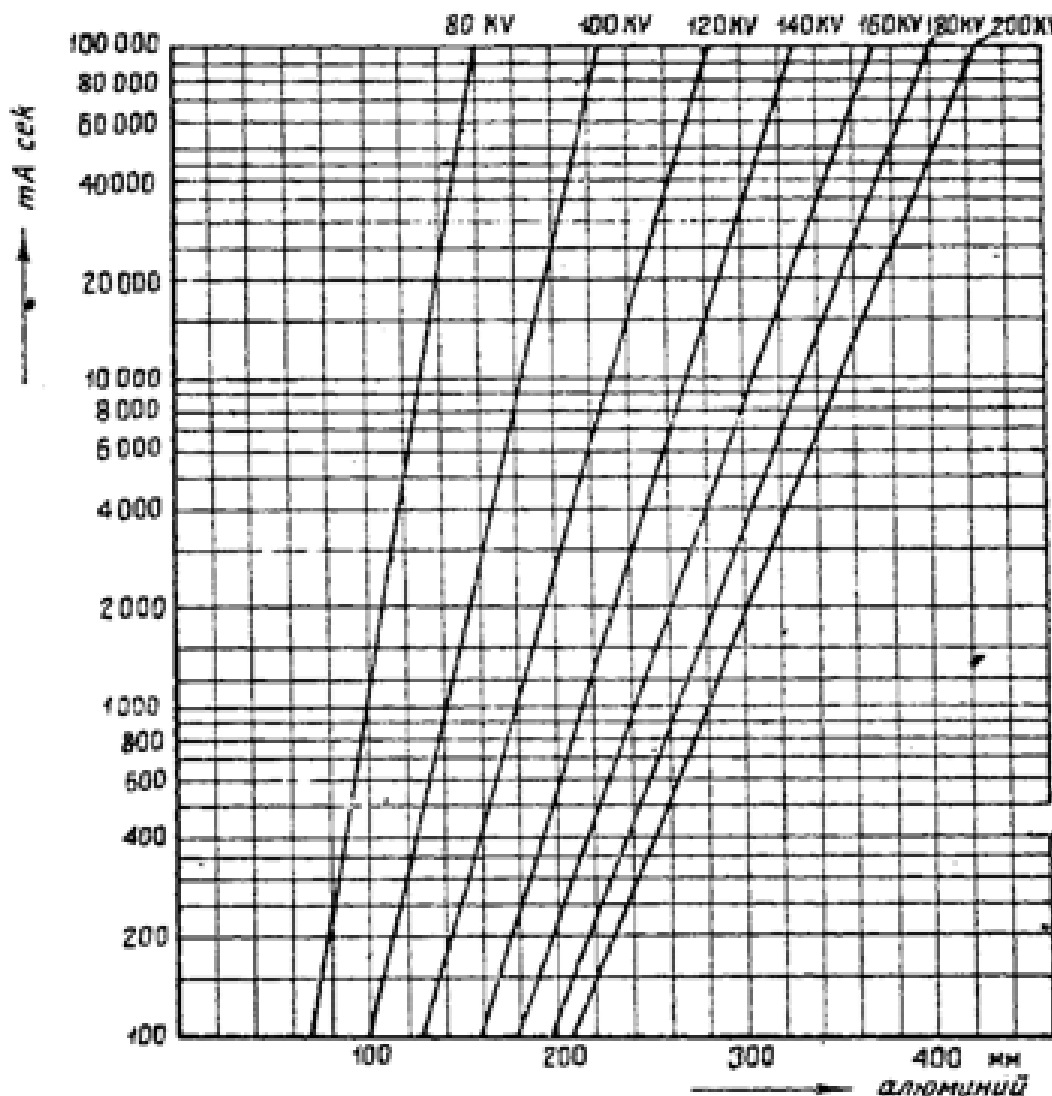


Рис. 57. То же, что и рис. 56 с двумя усилительными экранами.

Таблица 60

Влияние толщины куска литого железа на время экспозиции

Почернение пластиинки во всех случаях одинаково.

$$S \approx 0,7.$$

Снимок без усиливающего экрана — $FD = 50$ см;
напряжение — 205 кВ

Сила тока — 8 мА . . .							
Толщина	1	2	3	4	5	см	
Время экспозиции . . .	1/2	4	10	30	70	мин	

Таблица 61

Предельные толщины материалов, позволяющие получить плотность покрытия $S = 0,5$ на пленке при заданной экспозиции

Алюминий

Нагрузка Ватт. мин.	kW_S	kV							
		80	100	120	140	160	180	200	220

1. Без усилительных экранов

500	10	300	71	100	126	150	168			м.м Al
1400	10	840	82	115	147	176	197			м.м Al
5000	10	3000	96	136	173	203	230			м.м Al

2. С двумя усилительными экранами

500	10	300	114	162	202	232	260	280	294	м.м Al
1400	10	840	130	182	224	258	288	310	326	м.м Al
5000	10	3000	148	205	252	290	324	350	365	м.м Al

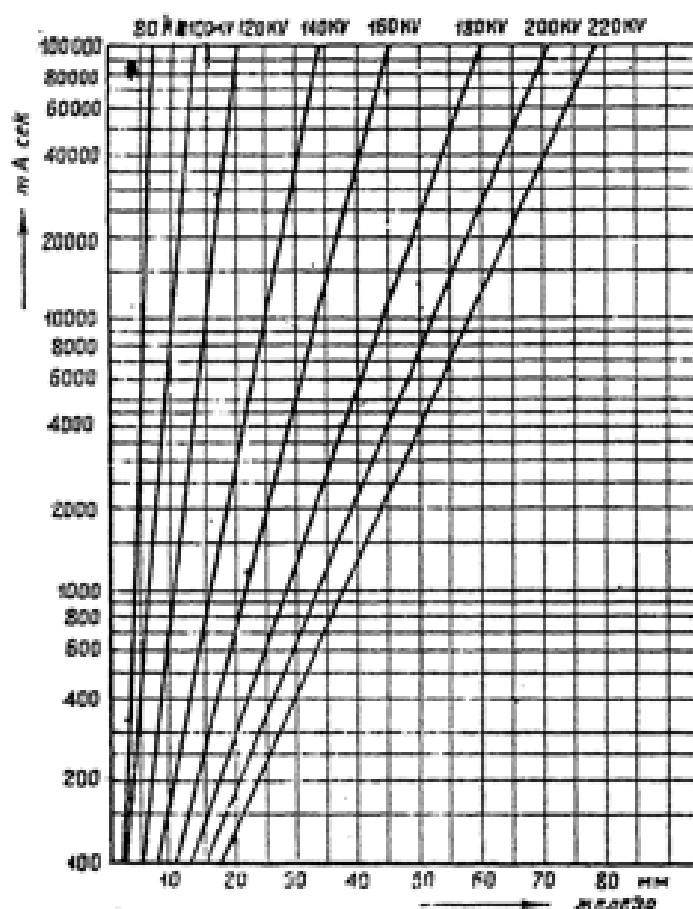


Рис. 58. То же, что и рис. 56, для железа.

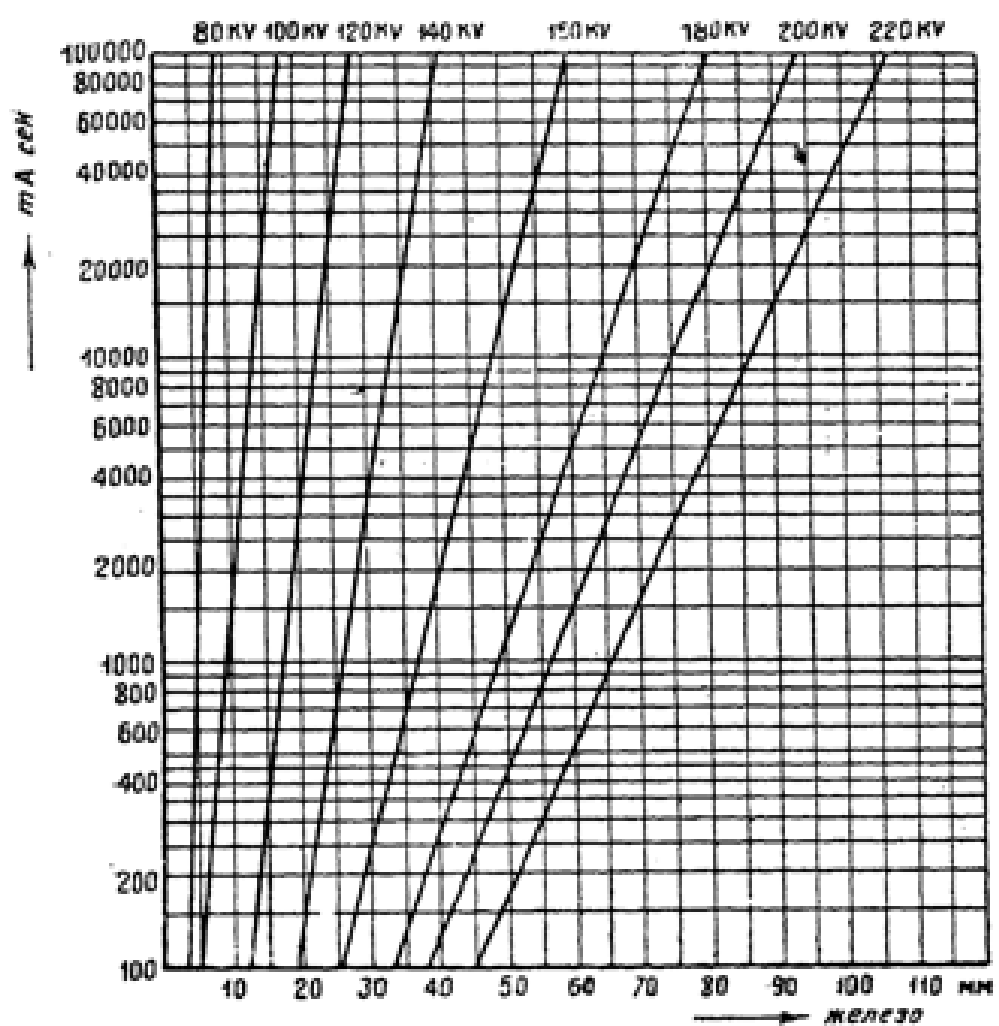


Рис. 59. То же, что и рис. 57, для железа.

Железо

Нагрузка Батт. мин.	kW_S	kV								220 kV
		80	100	120	140	160	180	220		
500	10	300	5	7	12	19	25	32	37	40 мм Fe
1400	10	840	6	10	15	23	31	39	46	50 мм Fe
5000	10	3000	7	12	17	26	37	48	56	61 мм Fe

1. Без усилительных экранов

500	10	300	5	7	12	19	25	32	37	40 мм Fe
1400	10	840	6	10	15	23	31	39	46	50 мм Fe
5000	10	3000	7	12	17	26	37	48	56	61 мм Fe

2. С двумя усилительными экранами

500	10	300	6	12	20	30	41	53	61	69 мм Fe
1400	10	840	7	14	22	32	46	60	70	79 мм Fe
5000	10	3000	8	16	26	37	52	69	80	90 мм Fe

Таблица 62

Предельные толщины материалов, поддающиеся просвечиванию

Нагрузка ватт	kV								
	60	80	100	120	140	160	180	200	220
Алюминий									
500	20	38	57	75	94	107	121	130	мм Al
1400	28	51	76	98	119	137	152	161	" Al
5000	38	68	99	127	151	173	192	203	" Al
Железо									
500	—	2	4	7	11	15	19,5	23	27 мм Fe
1400	—	3,5	5,5	9,5	15	20,5	27	31,5	36,5 " Fe
5000	—	5,5	7,5	12,5	20	27	35,5	41,5	48 " Fe

Вторичное излучение, возникающее в образце и распространяющееся во всевозможных направлениях, оказывается в размытии контуров инородного включения (вплоть до их исчезновения).

Влияние этого рассеянного излучения тем больше, чем большие просвечиваемый объем образца (поле освещения и толщина) и чем слабее защищена пластина.

Для ослабления указанного эффекта применяется:

- 1) сокращение поля освещения до $1-2 \text{ см}^2$ при малых образцах;
- 2) подвижные диафрагмы для ослабления влияния вторичного излучения (в медицине называются Буки-блэнды), что позволяет повысить разрешающую способность метода для толстых образцов, но увеличивает время экспозиции;
- 3) защитные устройства для кассеты из слоя, непроницаемого для вторичного излучения, исходящего от окружающих предметов.

Величина фокусного пятна трубки имеет существенное влияние на резкость наблюдаемой картины (снимки), а значит и разрешающую способность.

Необходимо держать трубку на возможно далеком расстоянии от образца ($f > 50 \text{ см}$), а пластиину возможно плотно к нему прижатой (или возможно близко расположенной).

Что касается техники выполнения снимка, то необходимо иметь в виду, что наилучшие условия для наблюдения контрастности лежат в области плотности почернений $S = 0,7 - 1,0$.

Выбор проявительных средств определяется сортом пластиинки и характером снимка.

Для уменьшения времени экспозиции можно применять усилительные экраны, однако при этом неизбежно размытие контуров наблюдаемых очертаний.

Время экспозиции вообще говоря зависит от рода испытуемого образца, техники снимка, качества и мощности излучения, генерируемого трубкой.

Определение глубины залегания пороха может быть сделано путем просвечивания изделия в различных направлениях; например методом послойных снимков.

§ 2. Качественный анализ

Для обнаружения какого-либо элемента в веществе пользуются главным образом спектром испускания. При этом требуется меньшее время экспозиции и меньшее количество исследуемого вещества.

Характеристический спектр рентгеновского излучения не зависит от условий возбуждения. Положение линий и отношение их интенсивностей являются в первом приближении свойством атома, а не молекулы, поэтому практически не зависят от того, входит атом в какое-либо химическое соединение или нет. (Например, линии одинаковы у железа, окиси железа, перлита, цементита, маргантита и аустенита)¹. Практическая граница качественного рентгеновского анализа лежит около калия $Z = 19$. Обнаружение элементов с более низким атомным номером затрудняется сильным поглощением характеристического излучения легких элементов и отсутствием кристаллов с соответственно большими постоянными решеток, необходимых для разложения излучения в спектр.

Серия K , вследствие простоты структуры, вообще говоря, обеспечивает более надежное решение.

Границей надежного обнаружения элемента является приблизительно 0,1 весового процента.

Для ослабления вуали от непрерывного спектра напряжение генерирования излучения выбирается лишь немногим выше потенциала возбуждения серии.

Для ослабления рассеянного излучения применяется щелебразная подвижная диафрагма у кристалла, пропускающая лишь правильно отраженные лучи, и кроме того снимается лишь узкий участок спектра, включающий ожидаемые линии.

Основные трудности метода заключаются в следующем:

1) *Испарение в вакууме более летучих веществ.* Для ослабления этого эффекта исследуемое вещество либо погружается в другое тугоплавкое, но слабо поглощающее лучи вещество (например графит), либо переводится в тугоплавкое соединение (например окись).

Весьма выгодным является предварительное химико-аналитическое разделение главных составных частей препарата.

2) *Возможность совпадений линий различных элементов*, особенно существенно тогда, когда наряду с элементами очень большой концентрации имеются элементы в очень малых концентрациях.

Рекомендуется вначале получить возможно более широкий спектр данного вещества, для того чтобы установить главные его составные части.

Качественный анализ по спектру испускания применим лишь для твердых веществ. Препараты в виде порошка втираются на исцарапанную, при помощи напильника, поверхность анода. Металлы припаиваются или привариваются к аноду в форме пластинки толщиной в 1 мм.

Материалом анода служат обычно медь или серебро, которое может быть получено в более чистом виде.

¹ Изучение края полосы поглощения показывает, что тонкая структура его зависит от того, в каком химическом соединении находится атом.

Совпадение линий. Обработано Хаддингом. Серия K

Приведенные во втором и третьем ряду спектральные линии имеют длины волн, одинаковые или сходные с дублетом $K\alpha$ или $K\beta$ элемента, указанного в первом столбце. Случай особенно хорошего совпадения ($\pm 5\text{\AA}$) отмечены жирным шрифтом. Цифрами обозначен порядок отражения. Стоящее под каждым элементом в первом столбце число представляет собой длину волны наиболее интенсивной линии α_1 в X

Элемент	$\leq \alpha_1 \alpha_2$		$\geq \beta_1$	
	\leq	\geq	\leq	\geq
16 S	Mo $L\alpha_2$	Co $K 3\alpha_1$	Ge $K 4\alpha_2$	Tl $K 2\beta_1$,
5361	Cs $L 2\beta_1$		Cs $L 2\beta_2$	Va $K 2\beta_1$
17 Cl	Pb $L 4\alpha_2$	Nd $L 2\alpha_1$	Sm $L 2\alpha_1$	
4718	Mo $L\gamma_1$	As $K 4\alpha_2$		
	Ce $L\beta_1$			
19 K	Cd $L\beta_1$	W $L 3\beta_2$	Sm $L 2\gamma_1$	Sb $L\alpha_2$
3734	Nb $K 5\alpha_1$			
20 Ca	Tb $L 2\beta_2$	Pt $L 3\beta_1$	CuK $2\alpha_2$	Te $L\beta_1$
3352	J $K 4\alpha_1$	Yb $L 2\alpha_1$		
21 Sc	Te $L\beta_4$	Tl $L 3\beta_1$	Sb $L\gamma_2$	Cu $K 2\beta_1$,
3025	Ta $L 2\alpha_1$		Ba $L\alpha_2$	Rb $K 3\alpha_2$
			Os $L 2\alpha_1$	Rb $K 3\alpha_1$
			Ba $L\alpha_1$	
22 Ti	J $L\beta_2$	Hf $L 2\beta_1$	Ba $L\beta_3$	Ge $K 2\alpha_2$
2743	Cp $L 2\beta_2$	U $L 3\alpha_1$	Cs $L\beta_2$	Va $K\alpha_1, \alpha_2$
23 Va	Ba $L\beta_3$	Ti $K\beta_1$	La $L\beta_2$	Th $L 3\beta_1$
2498	Cs $L\gamma_2$	Ge $K 2\alpha_1$	Cr $K\alpha_1, \alpha_2$	Bi $L 2\alpha_1$
	Ti $K\beta_2$		Ce $L\beta_6$	Ta $L 2\gamma_1$
			Jr $L 2\beta_2$	
24 Cr	La $L\beta_2$	Th $L 2\beta_1$	Br $K 2\alpha_2$	As $K 2\beta_2$
2285	Bi $L 2\alpha_1$	Va $K\beta_1$	Hg $L 2\beta_2$	
25 Mn	Eu $L\alpha_1$	Pr $L\beta_2$	Eu $L\beta_1$	Pt $L 2\gamma_1$
2097	As $K 2\beta_1$	Nd $L\beta_5$	Th $L 2\alpha_1$	Bi $L 2\beta_2$
	Ce $L\beta_9$		Dy $L\gamma_2$	
26 Fe	Ru $K 3\alpha_1$	Pr $L\gamma_8$	Sr $K 2\alpha_2$	Pd $K 3\alpha_1$
1932	Th $L 2\alpha_2$	Eu $L\beta_4$	J $K 4\alpha_1$	Tb $L\beta_3$
			Gd $L\beta_2$	
27 Co	Er $L\alpha_2$	Hg $L\gamma_2$	Bi $L 2\gamma_1$	Dy $L\beta_2$
1785	Tb $L\beta_4$	Er $L\gamma_1$	Ho $L\beta_3$	Cp $L\alpha_1$
	Tb $L\beta_1$		Cd $K 3\alpha_2$	Cs $K 4\alpha_2$
28 Ni	Yb $L\alpha_1$	Eu $L\gamma_1$	UL $2\beta_2$	Nb $K 2\alpha_2$
1655	YK $2\alpha_1$	Ho $L\beta_4$	Pt Li	Y $K 2\beta_1$
	Rb $K 2\beta_1$		La $K 4\alpha_1$	
29 Cu	Ba $K 4\alpha_1$	In $K 3\alpha_1$	Cp $L\beta_3$	Os $L\alpha_1$
1537	Ta $L\gamma_2$	Tb $L\gamma_1$	Pr $K 4\alpha_2$	
	Th $L 2\beta_1$			
30 Zn	Yb $L\beta_3$	U $L 2\beta_1$	Th $L 2\gamma_1$	W $L\beta_4$
1432	Tb $L\gamma_4$	Cp $L\beta_4$	Ru $K 2\beta_1$	Au $L\alpha_2$
32 Ge	Yb $L\gamma_1$	W $L\beta_3$	Ta $L\gamma_1$	W $L\gamma_5$
1251	Ta $L\beta_5$	Hg $L\alpha_2$	La $K 3\alpha_2$	Ir $L\beta_8$
			Tl $L\gamma_1$	Ag $K 2\alpha_2$
			Pt $L\beta_1$	
33 As	Cp $L\gamma_3$	Ba $K 3\alpha_2$	Ce $K 3\alpha_1$	ULI
1173	Os $L\gamma_2$	Hf $L\gamma_1$	Ta $L\gamma_4$	W $L\gamma_3$
	Ir $L\beta_4$	Pb $L\alpha_1$	Bi $L\gamma_1$	Au $L\beta_7$
	Ta $L\gamma_5$	Pd $K 2\alpha_1$	Ti $L\gamma_6$	

Элемент	$\leq_{\alpha_1 \alpha_2}$		\leq_{β_1}	
	$<$	$>$	\leq	\geq
34 Se 1102	Ag $K 2\alpha_1$ Au $L\beta_4$ Ta $L\gamma_2$ W $L\gamma_1$	La $K 3\alpha_1$ Ir $L\beta_3$ Pt $L\beta_2$	Ti $L\beta_3$ Ir $L\gamma_1$ Pb $L\beta_1$	Bi $L\beta_6$ Sn $K 2\alpha_2$
35 Br 1038	Pr $K 3\alpha_2$ Au $L\beta_5$ W $L\gamma_4$	As $K\beta_1$ Tl $L\beta_4$ In $K 2\alpha_1$	Sb $K 2\alpha_1$ Pt $L\gamma_2$ Bi $L\beta_5$	Bi $L\beta_3$ Au $L\gamma_1$ U $L\alpha_2$
37 Rb 924	Sb $K 2\alpha_1$ Bi $L\beta_3$ Br $K\beta_2$	Br $K\beta_1$ UL α_2	Pb $L\beta_4$ Sb $K 2\beta_1$	Hg $L\gamma_4$ Th $L\beta_6$
38 Sr 873	J $K 2\alpha_1$ Au $L\gamma_4$ Pb $L\gamma_5$	Hg $L\gamma_2$ Tl $L\gamma_1$ Sn $K 2\beta_1$	Th $L\beta_3$ Ba $K 2\alpha_2$	U $L\beta$ Ba $K 2\alpha_1$
39 V 827	Bi $L\gamma_5$ Pb $L\gamma_1$ Sb $K 2\alpha_4$	Tl $L\gamma_3$ Hg $L\gamma_4$ Rb $K\beta_1$	Th $L\beta_3$ La $K 2\alpha_1$	U $L\beta_4$
40 Zr 784	Th $L\beta_1$ Ba $K 2\alpha_2$ J $K 2\beta_1$	U $L\beta_4$ Sr $K\beta_1$	Ce $K 2\alpha_1$ Cs $K 2\beta_1$	U $L\beta_3$ Pr $K 2\alpha_1$
41 Nb 745	Sr $K\beta_2$ U $L\beta_2$ La $K 2\alpha_2$	Bi $L\gamma_4$ Th $L\beta_3$	Nd $K 2\alpha_2$	Th $L\gamma_1$
42 Mo 708	U $L\beta_1$ Yb $K 3\alpha_1$ Cs $K 2\beta_1$	Ce $K 2\alpha_1$ UL β_3 Zr $K\beta_1$	Th $L\gamma_4$ W $K 3\alpha_1$	Ce $K 2\beta_1$ Sm $K 2\alpha_1$
43 Ma 672	Ba $K 2\beta_1$ Th $L\gamma_5$ Nd $K 2\alpha_2$	Pr $K 2\alpha_1$ Ir $K 4\beta_1$	Eu $K 2\alpha_2$ Pr $K 2\beta_1$	U $L\gamma_2$
44 Ru 642	Th $L\gamma_1$	W $K 3\alpha_2$	Gd $K 2\alpha_1$ Tb $K 2\alpha_2$	Pt $K 3\alpha_2$ Ag $K\alpha_2$
45 Rh 612	Mo $K\beta_2$ U $L\gamma_1$	Sm $K 2\alpha_1$ Eu $K 2\alpha_2$	Tb $K 2\alpha_1$ Dy $K 2\alpha_2$	W $K 3\beta_2$
46 Pd 584	Ir $K 3\alpha_2$ U $L\gamma_5$ Nd $K 2\beta_1$	Eu $K 2\alpha_1$ Gd $K 2\alpha_2$	Ho $K 2\alpha_1$	Er $K 2\alpha_2$
47 Ag 558	Ru $K\beta_1$ Tb $K 2\alpha_1$	Ru $K\beta_2$ Pt $K 3\alpha_1$	Er $K 2\alpha_1$	Pt $K 3\beta_1$
48 Cd 534	Rh $K\beta_1$ Rh $K\beta_2$	Dy $K 2\alpha_1$ Ho $K 2\alpha_2$	Yb $K 2\alpha_1$	
49 In 511	Pd $K\beta_1$ Pd $K\beta_2$	Er $K 2\alpha_2$ Ir $K 3\beta_1$		
50 Sn 490	Ag $K\beta_1$ Ag $K\beta_2$	Pt $K 3\beta_1$ Yb $K 2\alpha_2$	In $K\beta_2$	W $K 2\alpha_2$
51 Sb 469	Cd $K\beta_1$	Yb $K 2\alpha_1$	Sn $K\beta_2$	W $K 2\alpha_1$
52 Te 451	Cd $K\beta_2$	In $K\beta_1$	Sb $K\beta_2$ Ir $K 2\alpha_2$	Cs $K\alpha_1$ Ba $K\alpha_2$
53 J 433	In $K\beta_2$ W $K 2\alpha_2$	Sn $K\beta_1$	La $K\alpha_2$ Pt $K 2\alpha_2$ Ir $K 2\alpha_1$ Ba $K\gamma_1$ Te $K\beta_2$	U $K 3\alpha_1$ Ta $K 2\beta_1$ Hf $K 2\beta_2$ Ba $K\alpha_2$
55 Ca	Sb $K\beta_2$	Te $K\beta_1$	Os $K 2\beta_1$	Pr $K\gamma_1$

Элемент	$\sum \alpha \alpha_2$		$\sum \beta_1$	
400	Ir $K 2\alpha_2$		W $K 2\beta_2$	Tl $K 2\alpha_2$
			Ce $K\alpha_1$	Au $K 2\alpha_1$
			Ce $K\alpha_2$	
56 Ba	Sb $K\beta_2$	Ir $K 2\alpha_2$	Nd $K\alpha_1$	U $K 3\beta_1$
384	Te $K\beta_2$	JK β_1	Ir $K 2\beta_1$	Os $K 2\beta_2$
	Pt $K 2\alpha_2$		Te $K 2\alpha_1$	Pb $K 2\alpha_2$
			Pr $K\alpha_2$	Cs $K\beta_2$
57 La	IK β_2	Pt $K 2\alpha_1$	Pr $K\alpha_1$	Os $K 2\beta_1$
370	W $K 2\beta_1$		II $K\alpha_2$	U $K 3\beta_2$
			Pt $K 2\beta_1$	Ir $K 2\beta_2$
58 Ce	Tl $K 2\alpha_2$	Cs $K\beta_1$	Bi $K 2\alpha_2$	Pb $K 2\alpha_1$
357	W $K 2\beta_2$	Au $K 2\alpha_1$	Nd $K\alpha_1$	Ba $K\beta_1$
			Sn $K\alpha_1$	Ce $K\beta_2$
			Au $K 2\beta_2$	Sa $K\alpha_2$
			Au $K 2\beta_1$	II $K\alpha_1$
			La $K\beta_2$	Bi $K 2\alpha_1$
			II $K\alpha_2$	
59 Pr	Ir $K 2\beta_1$	Os $K 2\beta_2$	Eu $K\alpha_1$	Tl $K 2\beta_1$
348	Ba $K\beta_1$	Tl $K 2\alpha_1$	Eu $K\alpha_2$	Sa $K\alpha_1$
	Pb $K 2\alpha_2$	Cs $K\beta_2$	Ce $K\beta_2$	Au $K 2\beta_2$
	Os $K 2\beta_1$	Tl $K\alpha_2$	Sa $K\alpha_2$	
	Cs $K\beta_1$			
60 Nd	La $K\beta_1$	Pt $K 2\beta_1$	Gd $K\alpha_1$	Tl $K 2\beta_2$
331	Ir $K 2\beta_2$	Pb $K 2\alpha_1$	Gd $K\alpha_2$	Pb $K 2\beta_1$
	Bi $K 2\alpha_2$	Ba $K\beta_2$	Pr $K\beta_2$	Eu $K\alpha_1$
	U $K 3\beta_1$	Ir $K 2\beta_1$	Tl $K 2\beta_1$	
	Os $K 2\beta_2$	Ba $K\beta_1$		
	Tl $K 2\alpha_1$	Pb $K 2\alpha_2$		
	Pr $K\alpha_2$			
61 Hf	Sa $K\alpha_2$	Cl $K\beta_1$	Dy $K\alpha_2$	Tb $K\alpha_1$
320	Au $K 2\beta_1$	Pt $K 2\beta_2$	Pb $K 2\beta_2$	Tb $K\alpha_2$
	U $K 3\beta_2$	Bi $K 2\alpha_1$	Bi $K 2\beta_1$	Nd $K\beta_2$
	La $K\beta_2$	Pt $K 2\beta_1$		
	La $K\beta_1$	Pb $K 2\alpha_1$		
	Ir $K 2\beta_2$			
	Bi $K 2\alpha_2$			
62 Sa	Pr $K\beta_1$	Ce $K\beta_1$	Dy $K\alpha_1$	Dy $K\alpha_2$
308	Ce $K 2\beta_2$	Au $K 2\beta_1$	Tb $K\alpha_1$	Il $K\beta_1$
	Au $K 2\beta_1$	Pt $K 2\beta_2$		
63 Eu	Gd $K\alpha_2$	Nd $K\beta_1$	Ho $K\alpha_1$	U $K 2\alpha_2$
298	Pr $K\beta_2$	Tl $K 2\beta_1$	Ho $K\alpha$	Sa $K\beta_2$
	Pr $K\beta_1$	Sa $K\alpha_1$	Dy $K\alpha$	Sa $K\beta_1$
	Ce $K\beta_2$	Au $K 2\beta_2$		
64 Gd	Tb $K\alpha_2$	Bi $K 2\beta_1$	Tu $K\alpha_2$	Er $K\alpha_1$
288	Nd $K\beta_2$	Tl $K 2\beta_2$	U $K 2\alpha_1$	Er $K\alpha_2$
	Nd $K\beta_1$	Pb $K 2\beta_1$	Eu $K\beta_2$	Ho $K\alpha_1$
	Pr $K\beta_2$		U $K 2\alpha_2$	
65 Tb	Dy $K\alpha_2$	Sa $K\beta_1$	Yb $K\alpha_2$	Tu $K\alpha_1$
278	Il $K\beta_1$	Pb $K 2\beta_2$	Gd $K\beta_2$	Tu $K\alpha_2$
	Bi $K 2\beta_1$	Nd $K\beta_2$	Er $K\alpha_1$	U $K 2\alpha_1$
	Gd $K\alpha_1$		Gd $K\beta_1$	
66 Dy	U $K 2\alpha_1$	Eu $K\beta_1$	Lu $K\alpha_2$	Yb $K\alpha_1$
269	Ho $K\alpha_2$	Sa $K\beta_2$	Tb $K\beta_2$	Yb $K\alpha_2$
	Sa $K\beta_1$	Tb $K\alpha_1$	Tu $K\alpha_1$	

Элемент	$\sum \alpha_1 \alpha_2$	$\sum \beta_1$	
68 Er 252	Tb $K\beta_1$ Tb $K\alpha_2$ U $K2\alpha_1$ Ho $K\alpha_1$ Dy $K\beta_1$ Yb $K\alpha_2$ Gd $K\beta_2$ U $K2\alpha_1$	Gd $K\beta_2$ Gd $K\beta_1$ Eu $K\beta_2$ U $K2\alpha_2$ Tb $K\beta_2$ Tb $K\beta_1$ Er $K\alpha_1$ Gd $K\beta_1$	U $K2\beta_2$ Hf $K\alpha_1$ Hf $K\beta_2$ W $K\alpha_1$ W $K\alpha_2$ Er $K\beta_2$ Ta $K\alpha_2$ Er $K\beta_1$ W $K\alpha_1$ Ta $K\alpha_1$ Ta $K\beta_2$ Er $K\beta_1$ Os $K\alpha_1$ Lu $K\beta_2$ Pt $K\alpha_1$ Pt $K\beta_2$ Ir $K\alpha_1$ Ir $K\alpha_2$ Au $K\alpha_2$ Hf $K\beta_2$ Au $K\alpha_1$ Au $K\alpha_2$ Ta $K\beta_2$ Pt $K\alpha_2$ Ir $K\alpha_1$ Ir $K\alpha_2$ Pt $K\alpha_1$ Pb $K\alpha_1$ Tl $K\alpha_1$ Tl $K\alpha_2$ Pt $K\beta_1$ Bi $K\alpha_2$ Tl $K\alpha_1$ Tl $K\alpha_2$ Pb $K\alpha_1$ Os $K\beta_2$ Pt $K\beta_2$ Pt $K\beta_1$ Bi $K\alpha_2$ Pb $K\beta_1$ Pb $K\alpha_2$ Bi $K\beta_2$ Tl $K\beta_2$ Bi $K\beta_1$ Tl $K\beta_1$ Pb $K\beta_2$ Pb $K\beta_1$ Bi $K\beta_1$ Tl $K\beta_2$ Pb $K\beta_1$ Pb $K\beta_2$
69 Tm 244			
70 Yb 236	Dy $K\beta_2$ Dy $K\beta_1$ Tb $K\alpha_1$ Tu $K\alpha_2$ Ta $K\alpha_1$ Ta $K\alpha_2$ Lu $K\alpha_1$ Dy $K\beta_2$ W $K\alpha_1$ W $K\alpha_2$ Tb $K\beta_2$ Tb $K\beta_1$ Gb $K\beta_2$ Ta $K\beta_1$ Er $K\beta_2$ Ta $K\alpha_2$ Lu $K\beta_1$ W $K\alpha_1$	Lu $K\alpha_2$ Tb $K\beta_2$ Tb $K\beta_1$ Er $K\beta_1$ U $K2\beta_2$ Er $K\beta_2$ Er $K\beta_1$ U $K2\beta_1$ Yb $K\beta_1$ Tu $K\beta_1$ Er $K\beta_2$ U $K2\beta_2$ Lu $K\beta_2$ U $K2\beta_1$ Yb $K\beta_2$ Yb $K\beta_1$ Ta $K\beta_2$ U $K2\beta_2$ Ir $K\alpha_1$ Ir $K\alpha_2$ Hf $K\beta_1$ U $K2\beta_1$ Os $K\alpha_2$ Pt $K\alpha_2$ Pt $K\beta_2$ Ir $K\alpha_1$ Ir $K\alpha_2$ Hf $K\beta_2$ Au $K\alpha_1$ Au $K\alpha_2$ Ta $K\beta_2$ Pt $K\alpha_2$ Hf $K\beta_2$ Ir $K\alpha_1$ Ir $K\alpha_2$ Pb $K\alpha_1$ Tl $K\alpha_1$ Tl $K\alpha_2$ W $K\beta_2$ Pt $K\beta_1$ Bi $K\alpha_2$ Tl $K\alpha_1$ Tl $K\alpha_2$ Pb $K\alpha_1$ Au $K\beta_2$ Bi $K\alpha_2$ Pb $K\alpha_2$ Bi $K\beta_2$ Tl $K\beta_2$ Pb $K\beta_1$ Pb $K\alpha_1$ Bi $K\beta_1$ Tl $K\beta_1$ Pb $K\beta_2$ Pb $K\beta_1$ Bi $K\beta_1$ Tl $K\beta_2$ Pb $K\beta_1$ Pb $K\beta_2$	
72 Hf 222			
73 Ta 215	W $K\alpha_1$ W $K\alpha_2$ U $K2\beta_2$ Hf $K\alpha_1$ U $K2\beta_1$ Os $K\alpha_2$ Yb $K\beta_2$ Ta $K\alpha_1$ Er $K\beta_2$ Ir $K\alpha_1$ Hf $K\beta_1$ U $K2\beta_1$	Yb $K\beta_1$ Tu $K\beta_1$ Er $K\beta_2$ Er $K\beta_1$ Lu $K\beta_2$ Lu $K\beta_1$ Yb $K\beta_2$ Lu $K\beta_1$ Ta $K\beta_2$ U $K2\beta_2$ Ir $K\alpha_2$ Hf $K\beta_2$ U $K2\beta_1$ Pt $K\alpha_1$ Pt $K\beta_2$ Ir $K\alpha_1$ Hf $K\beta_1$ Lu $K\beta_2$ Lu $K\beta_1$ Pt $K\alpha_2$ Pt $K\beta_2$ Ir $K\alpha_1$ Ir $K\alpha_2$ Pb $K\alpha_1$ Tl $K\alpha_1$ Tl $K\alpha_2$ W $K\beta_2$ Pt $K\beta_1$ Bi $K\alpha_2$ Tl $K\alpha_1$ Tl $K\alpha_2$ Pb $K\alpha_1$ Os $K\beta_2$ Pt $K\beta_2$ Pt $K\beta_1$ Bi $K\alpha_2$ Pb $K\beta_1$ Pb $K\alpha_2$ Bi $K\beta_2$ Tl $K\beta_2$ Pb $K\beta_1$ Pb $K\alpha_1$ Bi $K\beta_1$ Tl $K\beta_1$ Pb $K\beta_2$ Pb $K\beta_1$ Bi $K\beta_1$ Tl $K\beta_2$ Pb $K\beta_1$ Pb $K\beta_2$	
74 W 209			
76 Os 197	Er $K\beta_2$ Ir $K\alpha_1$ Hf $K\beta_1$ Lu $K\beta_1$	U $K2\beta_2$ Ir $K\alpha_2$ Lu $K\beta_2$ Yb $K\beta_2$	Hf $K\beta_2$ Hf $K\beta_1$ Ir $K\alpha_1$ Ir $K\alpha_2$ Pb $K\alpha_1$ Tl $K\alpha_1$ Tl $K\alpha_2$ W $K\beta_2$ Pt $K\beta_1$ Bi $K\alpha_2$ Tl $K\alpha_1$ Tl $K\alpha_2$ Pb $K\alpha_1$ Ir $K\beta_2$ Os $K\beta_2$ Pb $K\beta_2$ Bi $K\alpha_2$ Pb $K\alpha_2$ Bi $K\beta_2$ Tl $K\beta_2$ Pb $K\beta_1$ Pb $K\alpha_1$ Bi $K\beta_1$ Tl $K\beta_1$ Pb $K\beta_2$ Pb $K\beta_1$ Bi $K\beta_1$ Tl $K\beta_2$ Pb $K\beta_1$ Pb $K\beta_2$
77 Ir 191	Pt $K\alpha_2$ Hf $K\beta_2$ Os $K\alpha_1$	Ta $K\beta_1$ Hf $K\beta_1$ Lu $K\beta_2$	Pt $K\beta_1$ Bi $K\alpha_2$ Tl $K\alpha_1$ Tl $K\alpha_2$ Pb $K\alpha_1$ Au $K\beta_2$ Bi $K\alpha_2$ Pb $K\alpha_2$ Bi $K\beta_2$ Tl $K\beta_2$ Pb $K\beta_1$ Pb $K\alpha_1$ Bi $K\beta_1$ Tl $K\beta_1$ Pb $K\beta_2$ Pb $K\beta_1$ Bi $K\beta_1$ Tl $K\beta_2$ Pb $K\beta_1$ Pb $K\beta_2$
78 Pt 185	W $K\beta_1$ Ta $K\beta_2$ Ir $K\alpha_1$	Au $K\alpha_2$ Ta $K\beta_1$ Hf $K\beta_2$	Au $K\beta_2$ Pb $K\alpha_1$ Ir $K\beta_2$ Os $K\beta_2$ Pb $K\alpha_2$ Bi $K\alpha_2$ Bi $K\beta_2$ Tl $K\alpha_1$ Tl $K\alpha_2$ Pb $K\alpha_1$ Pt $K\beta_2$ Pt $K\beta_1$ Bi $K\alpha_2$ Pb $K\beta_1$ Pb $K\alpha_1$ Bi $K\beta_1$ Tl $K\beta_1$ Pb $K\beta_2$ Pb $K\beta_1$ Bi $K\beta_1$ Tl $K\beta_2$ Pb $K\beta_1$ Pb $K\beta_2$
79 Au 180	W $K\beta_2$ Pt $K\alpha_1$	W $K\beta_1$ Ta $K\beta_2$	Pt $K\beta_2$ Pt $K\beta_1$ Bi $K\alpha_2$ Pb $K\alpha_1$ Pb $K\alpha_2$ Bi $K\beta_2$ Pb $K\beta_1$ Bi $K\beta_1$ Tl $K\beta_2$ Pb $K\beta_1$ Pb $K\alpha_1$ Bi $K\beta_1$ Tl $K\beta_1$ Pb $K\beta_2$ Pb $K\beta_1$ Bi $K\beta_1$ Tl $K\beta_2$ Pb $K\beta_1$ Pb $K\beta_2$
81 Ti 170	Ir $K\beta_1$ Pb $K\alpha_2$ W $K\beta_2$	Os $K\beta_2$ Os $K\beta_1$	Pb $K\beta_1$ Au $K\beta_2$ Au $K\beta_1$ Bi $K\alpha_2$ Pb $K\alpha_1$ Pb $K\alpha_2$ Bi $K\beta_2$ Pb $K\beta_1$ Bi $K\beta_1$ Tl $K\beta_2$ Pb $K\beta_1$ Pb $K\alpha_1$ Bi $K\beta_1$ Tl $K\beta_1$ Pb $K\beta_2$ Pb $K\beta_1$ Bi $K\beta_1$ Tl $K\beta_2$ Pb $K\beta_1$ Pb $K\beta_2$
82 Pb 165	Bi $K\alpha_1$ Ir $K\beta_2$ Ir $K\beta_1$ Tl $K\alpha_1$ Tl $K\alpha_2$	Pt $K\beta_1$ Bi $K\alpha_2$ Os $K\beta_2$ Os $K\beta_1$ Tl $K\alpha_1$	Bi $K\beta_1$ Tl $K\beta_1$
83 Bi 160	Au $K\beta_1$ Pt $K\beta_1$ Pb $K\alpha_1$ Pb $K\alpha_2$	Pt $K\beta_2$ Ir $K\beta_2$ Ir $K\beta_1$	Pb $K\beta_1$ Pb $K\beta_2$

Серия L

Приведенные в $\begin{pmatrix} 2 \\ 3 \\ 4 \\ 5 \end{pmatrix}$ столбцах спектральные линии имеют те же самые или близкие длины волн, как и линии $\begin{pmatrix} L_{\alpha_1} \\ L_{\beta_1} \\ L_{\beta_2} \\ L_{\gamma_1} \end{pmatrix}$ элементов первого столбца

Случаи особенно хорошего совпадения длины волн ($\pm 5\%$) отмечены жирным шрифтом. Совпадения с линиями серии M не принимаются во внимание. Цифрами обозначен порядок отражения.

Элемент	$\geq \alpha_1$	$\geq \beta_1$	$\geq \beta_2$	$\geq \gamma_1$		
42 Mo 5394	Ir L $4\alpha_1$	J L $2\gamma_1$	Pr L $2\gamma_1$ La L $2\beta_1$	Rh L η Pb L $5\beta_1$	Cl K α_1 Ce L $2\beta_1$ Hf L $3\alpha_1$	As K $4\alpha_2$ Ag L 1
44 Ru 4836	Co K $3\beta_1$ Cp $3\alpha_1$	Ir L $4\beta_1$ Cu K $3\alpha_1$	Sr K $5\alpha_1$ Mo L γ_2 La L $3\beta_2$	Rh L β_1 Pd L $2\alpha_1$	Cd L η Cu K $3\beta_1$ Os L $3\alpha_1$	Hg L $4\beta_1$ Br K $4\alpha_2$ Cr K $2\beta_1$
45 Rh 4588	La L $2\beta_2$ Cr K $2\alpha_1$	Pd L $2\alpha_2$ Pd L $2\gamma_1$	Yk $5\alpha_1$ Hf L $3\beta_1$	Ag L α_3	Tb L $2\alpha_1$ Tu L $3\gamma_1$	Zr K $5\alpha_2$ Cd L α_3
46 Pd 4359	Rh L β_1 Sr K $5\alpha_1$	Ag L α_1 Ag L α_3	Pr L $2\gamma_1$ Ru L γ_2	Rh L γ_7	Pt L $3\gamma_1$ Cd L β_1 Nb K $5\alpha_1$	Ag L β_1 W L $3\beta_2$ Hg L $3\gamma_1$
47 Ag 4146	Os L $3\alpha_1$ Cr K $2\beta_1$ Br K $4\alpha_1$ Bd L β_1 Th Ma	Tb L $2\alpha_2$ Rh L γ_1 Th M β Cd L α_3 Pt L $3\alpha_1$ Pb L $4\beta_1$ Pr L $2\gamma_1$	Te L ℓ Gn L $2\beta_1$ Rh L γ_2	Rb K $4\alpha_2$ Ho L $2\alpha_1$ Pd L 1γ	Hf L $3\gamma_1$ Pb L $3\alpha_1$ Cd L β_1 Fe K $2\beta_1$	As L $3\alpha_1$ Sr K $4\alpha_2$ Os L $3\beta_1$
48 Cd 3948	Tb L $2\alpha_1$ Rh L γ_1	KK α_1 W L $3\beta_2$ P. L γ_1	As K $3\alpha_1$ Ag L γ_1 Os L $3\beta_2$ In L β_4	Pb I $3\gamma_1$ Sr K $4\alpha_2$ Fe K $2\beta_1$	Sn L β_2 In L β_1 Se K $3\alpha_2$	Yb L $2\alpha_1$ Y K $4\alpha_2$ Ni K $2\alpha_2$
49 In 3764	Ge K $3\alpha_1$ Sm L $2\beta_2$ Nd L $2\gamma_1$	Er L $2\alpha_1$ Tb L $2\beta_1$ As K $3\alpha_2$	Sn L β_4 Cd L γ_1 Se K $3\alpha_2$	Yb L $2\alpha_1$ Y K $4\alpha_2$ Ni K $2\alpha_2$	Er L $2\beta_1$ Th L $4\beta_2$ Jl α_2	As K $3\beta_1$ Zr K $4\alpha_2$ Sb L β_2
50 Sn 3592	U L $5\beta_1$ Os L $3\beta_1$ Co K $2\alpha_2$	Tb L $2\beta_2$	Sn L β_4 As K $3\beta_1$ In L γ_1	Er L $2\beta_1$ Th L $4\beta_2$ Zr K $4\alpha_2$	Te L β_1 Nb K $4\alpha_2$ Sb L β_{11}	La L ℓ Ni K $2\beta_1$ Cs L η
51 Sb 3432	K K β_1 Sm L $2\gamma_1$ Bi L $3\alpha_1$	Co K $2\beta_1$ Cp L $2\alpha_1$ Au L $3\beta_2$	Sc K α_1 Er L $2\beta_2$ Te L β_3	Tl L $3\beta_2$ UL $4\beta_2$	Th L $3\alpha_1$ Bi L $3\beta_1$ Cp L $2\beta_1$	Ba L γ Mo K $4\alpha_2$
52 Te 3282	Pt L $3\beta_2$ Sn L β_1 Ho L $2\beta_1$ W L $3\gamma_1$	Ca K β_1 Cu K $2\alpha_1$ Tb L $2\gamma_1$	Cs L α_1 Jl β_3	Zn K $2\alpha_2$	Ma K $4\alpha_2$ Cd K $5\alpha_2$	Ir L $2\gamma_1$
53 J 3142	In L γ_1 Sb L β_3 Hg L $2\beta_1$ Zr K $4\alpha_1$ Hf L $2\alpha_1$	W L $2\alpha_1$ Yb L $2\beta_1$ U M δ Pb L $3\beta_1$ Dy L $2\gamma_1$	Jl K α_3 La L η	Hf L $2\beta_1$ Cp L $2\beta_1$	Cs L β_2 In K $5\alpha_2$ Te L γ_2 Ta L $2\beta_1$	Ru K $4\alpha_2$ Ce L α_2 Ba L β_1
55 Ca 2886	Te L β_2 Zn K $2\alpha_2$	Ga K $2\alpha_1$ La L α_2	Ba L β_1 Ti K β_1	Pb L $3\gamma_1$ Pr L η	Ilf L $2\gamma_1$ As K $2\alpha_1$	Zr K $3\alpha_2$ Sb K $5\alpha_1$

Элемент	$\leq \alpha_1$	$\leq \beta_1$	$\leq \beta_2$	$\leq \gamma_1$		
	UL 4 β_1		Te L γ_4 Va K α_2	Ge K 2 α_1 Y K 3 α_2	Sr K 3 β_1 Pb L 2 α_1 Pd K 4 α_1	Ce L β_4 Os L 2 β_2
56 Ba 2770	Cu K 2 β_1 Os L 2 α_1 Sc K β_1 Rb K 3 α_1	JL γ_1 Ce L α_2 Ta L 2 β_2 W L 2 β_1 Ce L 2 α_1 Au L 2 α_1	Cs L γ_5 La L β_3 Eu L 1	Tl L 2 α_1 Nd L η Os L 2 β_1	Te K 5 α_1 Cs L γ_{10} Nb K 3 α_1 Th L 1	Pr L β_4 Pt L 2 β_1 Ag K 4 α_1
57 La 2660	Ga K 2 α_1 Cd K 5 α_1 Cs L β_4 Hf L 2 β_2 Ta L 2 β_1	Pr L α_1	Ir L 2 β_1 Ce L β_3 Cr L α_2	Gd L 1 Ba L γ_1 Th L 3 β_1	Au L 3 β_1 Cd K 4 α_1 Eu L α_2 Pr L β_{14}	Mo K 3 α_2 Ba L γ_2 Nd L β_1
58 Ce 2556	Ba L β_1 Ta L 2 β_2 In L 2 β_1 W K 2 α_2 Zn K 5 α_1 Ba L β_4 Au L 2 α_1	Zr K 3 α_1 As K 2 α_3 Hf L 2 γ_1 As K 2 α_1 Pb L 2 α_1 Cr L γ_1 Os L 2 β_2	Ba L γ_7 Pr L β_3 Se K 2 α_1 Pt L 2 β_2	Y K 3 β_1 Sm L α_2 La L γ_5 WL 2 γ_1	Os L 2 γ_1 Gd L α_1 Nd L β_{14}	In K 4 α_1 La L γ_2 Ma K 3 α_2
59 Pr 2458	r n K 5 α_2 La L β_1 Rh K 4 α_1 Sn K 5 α_1	Ir L 2 β_3 Va K β_2 Ul 1 β_2 Ge K 2 β_1 Te K 5 α_1 Nb K 3 α_2	Ba L γ_3 Nd L β_3 As K 2 β_1 Zr K 3 β_1	Mo K 3 α_1 Eu L α_1 Ce L γ_5	Tb L α_1 Sm L β_3 Ce L γ_2 Tu L γ_1	Pb L 2 β_1 Sn K 4 α_1 Th L 3 γ_1 Ba K 5 α_2
60 Nd 2365	Th L 3 β_2 Pb L 2 α_1 Zr K 3 α_2 As K 2 α_2 Hf L 2 γ_1 Pd K 4 γ_2 Ce L β_1	Au L 2 β_1 Ul 3 β_1	Os L 2 γ_1 Gd L α_1 Ma K 3 α_2 Tl L 2 β_1	In K 4 α_1 La L γ_3 Ce L γ_7 Cs K 5 α_2	Sm L β_2 Pr L γ_2 Eu L β_6	Sb K 4 α_1 La R 5 α_2 Br K 2 β_1
61 Hf	Th L 3 β_1 Cr K γ_1 Bi L 2 α_1 Va K β_1 Cs L β_4 Ta L 2 γ_1 Ir L 2 β_2	Br K 2 α_2 Cr K β_1 Hg L 2 β_2	Pb L 2 β_1 Sn K 4 α_1 Th L 3 γ_1 Ce L γ_3 Ru K 3 α^2	Sm L β_3 Pr L γ_1 Tm L γ Ba K 5 α_2 Fe K α_2	Ce K 5 α_2 Gd L β_6 Nd L γ_2 Er L α_2 Hg L 2 γ_1	Te K 4 α_1 Ma K 3 β_1 Eu L β_{10} Co K α_2 Tb L β_4
62 Sm 2195	Se K 2 α_1 Ce L β_2 Pt L 2 β_3 Ce L β_{10} WL 2 γ_1 JK 5 α_1	Ce L γ_2 Tb L α_2 Se K 2 β_1	Dy L γ_1 Eu L β_1 Nd L γ_9 La K 5 α_2	Yb L γ Pr L γ_{10} Sb K 4 α_1	Ti L 2 γ_1 Ta L γ Gd L β_7 Ru K 3 β_1	J K 4 α_1 Tu L α_1 Dy L β_4
63 Eu 2116	Mo K 3 α_1 Nd L 3 β_3 Pr L β_2 As K 2 β_1	Fe K α_2 Dy L α_2 Pt 2 γ_1 Th L 2 α_1 Bi L 2 β_2 Mn K β_1	Ho L η U L 2 α_1 Gd L β_3 Ma K 3 β_1	Te K 4 α_2 Pr L γ_4 Ce K 5 α_2 Nd L γ_2	Ad L α_1 Sm L γ_3 Ho L β_4 Y K 2 α_1 Gd L γ_5	Tb L β_7 Nd K 5 α_2 Ni K α_1 Rb K 2 β_1 Rh K β_1

Элемент	$\leq \alpha_1$	$\leq \beta_1$	$\leq \beta_2$	$\leq \gamma_1$		
64 Gd 2042	Os $L 2\gamma_1$ Ce $L \gamma_1$ In $K 4\alpha_1$ Nd $L \beta_2$	Ho $L \alpha_2$ Rh $K 3\alpha_2$ Au $L 2\gamma_1$ Rb $K 2\alpha_1$ Ho $L \alpha_1$ Rh $K 3\alpha_1$	Er $L \eta$ Sr $K 2\alpha_1$ Fe $K \beta_2$ Tu $L \alpha_2$ J $K 4\alpha_1$	Pd $K 3\alpha_1$ Nd $L \gamma_4$ Tb $L \beta_5$ Tl $L 2\gamma_1$ Sm $L \gamma_9$	Sm $L \gamma_4$ Cs $K 4\alpha_1$ Dy $L \beta_7$ Eu $L \gamma_3$ Hf $L \alpha_2$	Cd $K 8\alpha_1$ Er $L \beta_4$ Gd $L \gamma_9$ Th $L 2\beta_2$ Zr $K 2\alpha_2$
65 Tb 1972	Se $K 2\beta_1$ Ir $L 2\gamma_1$ Pb $L 2\beta_1$ Sm $L \beta_3$ Sn $K 4\alpha_1$ Pr $L \gamma_1$	Hg $L 2\gamma_1$ Co $K \alpha_1$ Er $L \alpha_1$ Co $K \alpha_3$ Pd $K 3\alpha_2$	Tu $L \eta$ Yb $L \alpha_2$ W $L l$ Pb $L 2\gamma_1$	Nd $K 5\alpha_2$ Dy $L \beta_6$ Ag $K 3\alpha_1$	Ba $K 4\alpha_1$ In $K 3\alpha_1$ Tu $L \beta_1$ Th $L 2\beta_1$ Dy $L \gamma_1$	Cu $K \alpha_1$ Ta $L \alpha_2$ Gd $L \alpha_3$ Hf $L \eta$
66 Dy 1905	Eu $L \beta_1$ Pt $L 2\gamma_1$ Th $L 2\alpha_1$ Bi $L 2\beta_2$ Mn $K \beta_1$	Sm $L \gamma_1$	Rh $K 3\beta_1$ Eu $L \gamma_8$ Ho $L \beta_6$ Cp $L \alpha_1$ Cd $K 3\alpha_2$	Yb $L \eta$ Bi $L 2\gamma_1$ Co $K \beta_1$ Cs $K 4\alpha_2$	Er $L \beta_9$ La $K 4\alpha_1$ Tb $L \gamma_2$ Yb $L \beta_1$ Ta $L \eta$	Gd $L \gamma_4$ Y $K 2\beta_1$ W $L \alpha_1$ Sn $K 3\alpha_1$ Gd $K 5\alpha_2$ Ho $L \gamma_5$
67 Ho 1841	Au $L 2\gamma_1$ Rb $K 2\alpha_1$ Gd $L \beta_1$ U $L 2\alpha_2$ Rh $K 3\alpha_1$	Sm $L \gamma_2$ Tb $L \beta_3$ NI $K \alpha$ Rb $K 2\beta_1$ Ni $K \alpha_3$	Cp $L \eta$ Hf $L \alpha_1$ Er $L \beta_8$ Gd $L \gamma_1$ Tb $L \beta_7$	Zr $K 2\alpha_1$ Sm $K 5\alpha_2$ Sr $K 2\beta_1$ Pd $K 3\beta_1$ Ba $K 4\alpha_2$	Ce $K 4\alpha_1$ Cd $K 3\beta_1$ W $L \eta$ Gp $L \beta_8$ Tb $K 5\alpha_2$	Nd $L \gamma_4$ Hg $L l$ Mo $K 2\alpha_1$ Dy $L \gamma_3$ Yb $L \beta_2$ Er $L \beta_5$
68 Er 1780	Hg $L 2\gamma_1$ Co $K \alpha_1$ Tb $L \beta_4$ Tb $L \beta_1$ Nd $L \gamma_3$	Gd $L \gamma_1$ Eu $L \gamma_3$ Th $L 2\beta_2$ Zr $K 2\alpha_2$ Hf $L \alpha_2$	Hf $L \eta$ Dy $L \gamma_5$ Tu $L \beta_6$ Nb $K 2\alpha_2$	Ta $L \alpha_1$ Eu $K 5\alpha_2$ U $L 2\beta_2$ La $K 4\alpha_2$	Hf $L \beta_6$ Dy $K 5\alpha_2$ Te $K 3\alpha_2$ In $K 3\beta_1$ Gp $L \beta_{11}$	Dy $L \gamma_4$ Ta $L \eta$ Ho $L \gamma_4$ Ir $L \alpha_2$ Zr $K 2\beta_1$
69 Tu	Tl $L 2\gamma_1$ Ta $L l$ Sm $L \gamma_1$ Dy $L \beta_4$	Cu $K \alpha_1$ In $K 3\alpha_1$ Cu $K \alpha_3$ Ta $L \alpha_2$ Tb $L \gamma_1$ Th $L 2\beta_1$ Ta $L \alpha_1$	W $L \alpha_1$ In $K 3\alpha_1$ Ta $L \eta$ Gd $K 5\alpha_2$ Tb $L \gamma_1$ Au $L l$	Dy $L \gamma_1$ Sn $K 3\alpha_1$ Yb $L \beta_6$ Ho $L \gamma_5$ Au $L l$	Nd $K 4\alpha_1$ Bi $L l$ J $K 3\alpha_2$ Hf $L \beta_7$ Yb $L \beta_5$ Th $L 2\gamma_1$	Ho $L \gamma_4$ Er $L \gamma_3$ Pt $L \alpha_1$ Ta $L \beta_3$ Sn $K 3\beta_1$ H $K 5\alpha_1$
70 Yb 1668	Dy $L \beta_2$ Tb $L \beta_2$ W $L l$ Pb $L 2\gamma_1$ Y $K 2\alpha_2$ Eu $L \gamma_1$ Ni $K \alpha_2$ Sm $L \gamma_2$ Tb $L \beta_5$	Ni $K \beta_2$ Y $K 2\beta_1$ Tb $L \gamma_3$ W $L \alpha_1$ Sn $K 3\alpha_1$ Tb $L \gamma_3$ Dy $L \gamma_1$	Ce $K 4\alpha_1$ Cd $K 3\beta_1$ W $L \eta$ U $2\beta_3$ Ho $L \gamma_1$ Tb $K 5\alpha_2$ Er $L \gamma_5$	Tb $L \gamma_4$ Hg $L l$ Mo $K 2\alpha_1$ Cp $L \beta_6$ Dy $L \gamma_3$ Sb $K 3\alpha_1$ Zr $K 2\beta_1$	Au $L \alpha_1$ Ta $L \beta_3$ Mo $K 2\beta_1$ Er $K 5\alpha_1$ Sm $L 4\alpha_2$	Er $L \gamma_4$ Tu $L \gamma_3$ W $L \beta_3$ Sm $L 4\alpha_2$
71 Cp 1616	Bi $L 2\gamma_1$	Zn $K \alpha_1$	Cu $K \beta_2$	Hf $L \beta_1$	Tu $L \gamma_4$	Sm $K 4\alpha_1$
	Dy $L \beta_2$ Ho $L \beta_3$ Co $K \beta_1$ Cd $R 3\alpha_2$	Tb $L \gamma_4$ Mo $K 2\alpha_2$ Sb $K 3\alpha_2$ Dy $L \gamma_2$ Hg $L l$	Dy $L \gamma_4$ Ho $L \gamma_2$ Er $L \gamma_1$ Ir $L \alpha_2$	Dy $K 5\alpha_2$ Te $K 3\alpha_2$ In $K 3\beta_1$ Ir $L \alpha_2$	Rh $K 2\alpha_1$ Tl $L \alpha_2$ Hf $L \gamma_5$ Eu $K 4\alpha_2$	Yb $L \gamma_3$ Os $L \beta_1$ Cs $K 3\alpha_1$ WL β_{10}

Элемент	$\leq \alpha_1$	$\leq \beta_1$	$\leq \beta_2$	$\leq \gamma_1$		
72 Hf 1566	Zr $K 2\alpha_1$ Ho $L\beta_2$ Sr $K 2\beta_1$ Er $L\beta_3$	W $L\eta$ Vb $L\beta_2$ Ho $L\gamma_1$ Cu $K\beta_2$ Ho $L\gamma_2$ Cp $L\beta_2$ Te $K 3\alpha_2$ Er $L\gamma_1$ Ir $L\alpha_2$	Cp $L\beta_3$ Nd $K 4\alpha_1$ Ta $L\beta_1$ Ho $L\gamma_4$ Bi Ll	Nb $K 2\beta_1$ Ho $K 5\alpha_2$ Pt $L\alpha_2$ Er $L\gamma_2$ Tu $L\gamma_1$	Yb $L\gamma_4$ Os $L\beta_2$ Pd $K 2\alpha_2$ Ir $K\beta_6$ Gd $K 4\alpha_2$	Cp $L\gamma_3$ As $K\alpha_2$ Pb $L\alpha_1$ Ta $L\gamma_5$ Ba $K 3\alpha_2$
72 Ta 1518	Cu $K\alpha_3$ In $K 3\alpha_1$ Tb $L\gamma_1$ Th $L\beta_1$ Er $L\beta_2$	Nb $K 2\beta_1$ Hf $L\beta_2$ Pt $L\alpha_2$ Er $L\gamma_2$ Bi Ll	W $L\beta_6$ Ru $K 2\alpha_1$ Zn $K\beta_2$ Tu $L\gamma_2$	Au $L\alpha_2$ Er $K 5\alpha_2$ Er $L\gamma_4$	Ru $K 2\beta_1$ Cp $L\gamma_4$ Os $L\beta_3$ Hf $L\gamma_3$ W $L\gamma_5$ Tl $L\eta$	Bi $L\alpha_1$ Pt $L\beta_6$ Ir $L\beta_2$ Tb $K 4\alpha_2$ Ge $K\beta_1$ Ag $K 2\alpha_2$
74 W 1473	Ni $K\beta_2$ Tb $L\gamma_2$ Yb $L\beta_1$ Sn $K 2\alpha_1$ Dy $L\gamma_1$	Au $L\alpha_2$ Ru $K 2\alpha_1$ Ta $L\beta_2$ Zn $K\beta_2$ Au $L\alpha_1$ Yb $L\gamma_1$	Ge $K\alpha_1$ Ta $L\beta_3$ Hg $L\alpha_1$ Sm $K 4\alpha_1$	Sb $K\beta_1$ Pt $L\eta$ Rh $K 2\alpha_2$	Ir $L\beta_3$ Pt $L\beta_2$ Ta $L\gamma_3$ Pb $L\eta$ Ce $K 3\alpha_2$	Se $K\alpha_1$ Hf $K\gamma_4$ Dy $K 4\alpha_2$ Rh $K 2\beta_1$
75 Re 1430	Cp $L\beta_4$ U $L 2\beta_1$ Zn $K\alpha_1$ Ce $K 4\alpha_1$ Mo $K 2\alpha_2$ Sb $K 3\alpha_2$ Dy $L\gamma_2$ Hg Ll W $L\eta$	W $L\beta_3$ Pt $L\eta$ Hg $L\alpha_1$ W $L\beta_8$ Rh $K 2\alpha_2$ Yb $L\gamma_2$ U $L 2\gamma_1$	Hf $L\gamma_5$ Tl $L\alpha_1$ Yb $K 5\alpha_2$ Au $L\eta$ Te $K 3\beta_1$	Eu $K 4\alpha_2$ Os $L\beta_6$ W $L\beta_9$ Cs $K 3\alpha_1$	Hg $L\beta_4$ Au $L\beta_2$ W $K 5\alpha_2$ Ta $L\gamma_4$ Ho $K 4\alpha_2$ Pt $L\beta_{10}$ Tl $L\beta_6$	Ce $K 3\alpha_1$ Cd $K 2\alpha_1$ ULI WL γ_3 BL η As $K\beta_1$
76 Os 1388	Cp $L\beta_3$ Cu $K\beta_1$	Ga $K\beta_1$ Tl $L\alpha_1$ Au $L\eta$ Pb $L\alpha_2$ Gd $K 4\alpha_2$ Cs $K 3\alpha_1$	Cp $L\gamma_3$ As $K\alpha_1$ Ir $L\beta_6$ Gd $K 4\alpha_2$ Ba $K 3\alpha_2$	Hf $L\gamma_1$ Pb $L\alpha_1$ Ta $L\gamma$ Pd $K 2\alpha_1$ Hg $L\eta$	Hg $L\beta_3$ Er $K 4\alpha_2$ In $K 2\alpha_1$ Au $L\beta_9$	Ir $L\beta_8$ WL γ_4 Pb $L\beta_6$ Tl $L\beta_1$
77 Ir 1349	Hf $L\beta_3$ Pb Ll Ta $L\beta_4$ Ga $K\alpha$	Os $L\beta_2$ Pb $K 2\alpha_1$ Ba $K 3\alpha_1$ Hg $L\eta$ Bi $L\alpha_2$ Ru $K 2\beta_3$	Ru $K 2\beta_1$ Cp $L\gamma_4$ Pt $L\beta_4$ Ta $L\gamma_1$ WL γ_2 Tl $L\eta$	Bi $L\alpha_1$ Os $L\beta_5$ Hf $L\gamma_3$ Tb $K 4\alpha_2$ Ge $K\beta_1$ Ag $K 2\alpha_2$	Hg $L\gamma_1$ Ag $K 2\beta_1$ Se $K\beta_1$ Sn $K 2\alpha_2$ Pb $L\beta_1$	Nd $K 3\alpha_1$ Bi $L\beta_6$ Tl $L\beta_1$ Pt $L\gamma_3$
78 Pt 1310	Bl Ll Er $L\gamma_3$ J $K 3\alpha_1$ Ta $L\beta_3$ Th $L 2\gamma_1$ W $L\beta_4$	Ir $L\beta_8$ Ge $K\beta_1$ Tl $L\eta$ Ta $K 3\alpha_1$ Ag $K 2\alpha_1$ Th Ll Au $L\beta_8$ Ta $L\gamma_6$ Se $K\alpha_2$	U Ll Au $L\beta_4$ Ta $L\gamma_2$ Hf $L\gamma_4$ Pb $L\eta$	La $K 3\alpha_1$ Ir $L\beta_5$ Se $K\alpha_1$ Dy $K 4\alpha_2$ Rh $K 2\beta_1$	Yb $K 4\alpha_2$ Ir $L\gamma_3$ Th $L\alpha_1$ Pt $K 5\alpha_2$ Sb $K 2\alpha_2$	Pb $L\beta_7$ Au $L\gamma_5$ Bi $L\beta_2$ Cd $L 2\beta_1$
79 Au 1274	Ru $K 2\alpha_1$ Zn $K\beta_2$	Rb $K 2\beta_1$ Ce $K 3\alpha_2$	Dy $K 4\alpha_1$ Hg $L\beta_4$	Pt $L\beta_5$ Ce $K 3\alpha_1$	Br $K\beta_1$ Sm $K 3\alpha_1$	Pt $L\gamma_3$ Rb $L\alpha_1$

Элемент	$\sum \alpha_1$	$\sum \beta_1$	$\sum \beta_2$	$\sum \gamma_1$	
80 Hg 1239	W $L\beta_1$	Pt $L\beta_1$	Cd $K 2\alpha$	W $K 5\alpha_2$	Bi $L\beta_1$
	Ta $L\beta_3$	Hg $L\beta_6$	W $L\gamma_2$	U L I	W $K 5\beta_1$
	Yb $L\gamma_1$	Cd $K 2\alpha_2$	Ta $L\gamma_4$	Bi $L\eta$	Hg $L\gamma_5$
	Mo $K 2\beta_1$		As $K\beta_1$		
	W $K\beta_2$	As $K\beta_1$	W $K h\alpha_1$	As $K\beta_2$	U $L\alpha_1$
	Pt $L\gamma$	Tl $L\beta_8$	Ho $K 4\alpha_1$	Pd $K 2\beta_1$	In $K 2\beta_1$
	Rh $L 2\alpha_2$	Au $L\beta_7$	Au $L\beta_5$	Br $K\alpha_1$	Au $L\gamma_3$
		Br $K\alpha_2$	Tl $L\beta_1$	In $L 2\alpha_1$	Tl $L\gamma_5$
		Pd $K 2\beta_1$	Er $K 4\alpha_2$	WL γ_4	
	Ga $K\beta_1$	Os $L\gamma_1$	In $K 2\alpha_1$	Au $L\beta_2$	Sr $K\alpha_1$
81 Tl 1205	Cs $K 3\alpha_2$	In $K 2\alpha_1$	Hg $L\beta_5$	Nb $K 3\alpha_2$	Hg $L\gamma_2$
	Os $L\beta_1$	Pb $L\beta_6$	Er $K 4\alpha_1$	Pb $L\beta_4$	Sn $K 2\beta_1$
	W $L\beta_9$	Tl $L\beta_1$			J K 2 α_1
	Au $L\gamma$	Hg $L\beta_7$	d $K 3\alpha_2$		Pb $L\gamma_5$
	Cp $L\gamma_3$	Se $K\beta_1$	Ag $K 2\beta_1$	Ir $L\gamma_1$	W K 4 α_1
82 Pb 1173	Ba $K 3\alpha_2$	Ag $K 2\beta_1$	Pt $L\gamma_5$	Sn $K 2\alpha_2$	Tl $L\gamma_3$
	Os $L\beta_3$	Ir $L\gamma_1$	Ir $K 5\alpha_2$	Tl $L\beta_5$	Hg $L\gamma_4$
	Hf $L\gamma_1$	Pt $L\gamma_5$	Se $K\beta_2$	Bi $L\beta_4$	Sb $K 2\beta_1$
	Ir $L\beta_4$	Sn $K 2\alpha_1$			Rb $K\beta_1$
	As $K\alpha_1$	Tl $L\beta_5$			Th $L\beta_6$
	Ta $L\gamma_5$	Bi $L\beta_4$			
	Pd $K 2\alpha_1$				
83 Bi	Ru $K 2\beta_1$	Ir $L\gamma_3$	Ir $L\gamma_3$	Pt $L\gamma_1$	Rb $K\beta_2$
	Os $L\beta_5$	Pt $L\gamma_1$	Au $L\gamma_5$	Th $L\alpha_1$	Tl $L\gamma_4$
	Pt $L\beta_4$	Au $L\gamma_5$	Pt $K 5\alpha_2$	Pn $L\beta_5$	
	Ir $L\beta_3$	Th $L\alpha_1$	Cd $K 2\beta_1$	Sb $K 2\alpha_2$	
	Ta $L\gamma_1$	Pb $L\beta_5$			
		Cd $K 2\beta_1$			
90 Th 954		Sd $K 2\alpha_2$			
	Ir $L\gamma_3$	Ba $K 2\alpha_1$	Te $K 2\beta_1$	Zr $K\alpha_2$	Nb $K\beta_1$
	Pt $L\gamma_1$	J K 2 β_1	U L β_6	Bi $L\gamma_5$	Nb $K\beta_2$
	Au $L\gamma_5$	Sr $K\beta_1$	Pb $L\gamma_4$	Ir $K 4\alpha_2$	W K 2 α_2
	Bi $L\beta_2$	La $K 2\alpha_2$	Sr $K\beta_1$		
	Pb $L\beta_3$	Nb $K\alpha_2$			
	Cd $K 2\beta_1$				
92 U 909	Sb $K 2\alpha_2$				
	Bi $L\beta$	Ce $K 2\alpha_2$	Th $K\beta_5$	Bi $L\gamma_4$	W K 3 α_2
	Br $K\beta_2$	Mo $K\alpha_2$	Th $L\beta_2$	Nd $K\alpha_2$	Mo $K\beta_2$
	Te $K 2\alpha_2$	Zr $K\beta_1$	Pt $K 4\alpha_1$	YK β_1	Rh $K\alpha_1$
	Au γ_2				

§ 3. Количество́нный анализ

Для определения весовой доли элемента в каком-либо веществе можно пользоваться как спектром испускания, так и спектром поглощения. Спектр поглощения легче приводит к цели, но по техническим причинам применение его ограничивается анализом тяжелых элементов. Особенно благоприятен случай включения тяжелого элемента в состав вещества, содержащего легкие элементы. Анализ с помощью спектра испускания применим к меньшим количествам вещества и при сравнении с соседними элементами приводит к хорошим результатам, особенно при наличии соединений с высокой температурой испарения.

Общее применение этого метода без контрольных определений может привести к значительным ошибкам.

Так называемая интенсивность линий или степень покрытия фотографии в местах проникновения лучей, так же как и интенсивность самих лучей, не пропорциональна процентному содержанию элемента в препарате по следующим причинам.

1) Вследствие различия в испускательной способности различных атомов вовсе несравнимы интенсивности линий различных серий, например L_{α_1} и K_{α_1} , так как условия возбуждения их различны. Отношения интенсивностей линий одной и той же серии разных элементов изменяются в зависимости от напряжения генерирования, поскольку интенсивность характеристического излучения зависит от разности между этим напряжением и потенциалом возбуждения серии. (Необходимо поэтому выбирать напряжение генерирования по возможности большим, по крайней мере в два раза больше, чем наиболее высокий потенциал возбуждения). Для практических целей допустим считать, что при одинаковых условиях возбуждения соседние элементы обладают более или менее одинаковой испускательной способностью.

2) Вследствие различия в ослаблении характеристического излучения атомов внутри препарата.

Весовая доля элемента с более жестким характеристическим излучением легко может быть преувеличена, так как поглощение в слое препарата будет менее сказываться, и электроны катодного пучка больших скоростей глубже проникают в препарат.

Эта ошибка ослабляется (а в некоторых случаях может привести к обратному результату) тем, что характеристическое излучение более тяжелого элемента возбуждает характеристическое излучение более легкого. Таким образом, для интенсивностей линий не безразлично, в какой смеси или в каком химическом соединении входит определяемый элемент.

Для устранения мешающего влияния анода полезно пользоваться серебряным анодом при напряжениях генерирования меньших 25 кВ.

3) Вследствие изменения состава препарата при различной скорости испарения составных частей.

Интенсивность характеристического излучения летучих элементов убывает во времени, что ведет к преуменьшенному суждению о процентном содержании этих элементов.

4) Вследствие различия чувствительности фотографических пленок или пластин к лучам различного качества и различной интенсивности.

Интенсивность линий (почернение) не пропорциональна интенсивности лучей. Лучи с большей длиной волны дают относительно большее почернение (различие в поглощении).

Однако при одинаковом времени освещения почернение фотопленки от лучей одной и той же длины волны, но различной интенсивности, может быть также различно, поскольку нет прямой пропорциональности между плотностью почернения и количеством поглощенной чувствительным слоем энергии лучей (при $S > 1,0$).

Фотографическая пленка не в состоянии правильно передать отношение интенсивностей, если оно больше, чем 10 : 1.

При измерении интенсивности линий ионизационным методом, при известной длине волны, всегда возможен переход от измеренной мощности физической дозы к интенсивности лучей по соотношению

$$I = \frac{P}{\tau}.$$

Изменение силы анодного тока трубки не изменяет отношение интенсивностей спектральных линий характеристического излучения данного химического соединения, во это отношение не пропорционально весовым количествам соответствующих элементов.

Анализ спектром поглощения базируется на определении величины скачка поглощения. Согласно Глокеру и Фроунейеру

$$\frac{I_2}{I_1} = \frac{I_0 e^{-\left(\frac{\mu_2}{\rho}\right) \rho \cdot x}}{I_0 e^{-\left(\frac{\mu_1}{\rho}\right) \rho \cdot x}} = e^{-\rho \cdot x \left(\frac{\mu_2}{\rho} - \frac{\mu_1}{\rho}\right)} = e^{-c \cdot \rho},$$

где I_2 и I_1 — интенсивности участка непрерывного спектра, отвечающего краю полосы поглощения позади слоя x , $\rho = \rho \cdot x$ — масса вещества, пронизываемого пучком лучей сечением в cm^2 , измеряемая в g/cm^2 , и c — разность значения массового коэффициента поглощения до и после границы скачка поглощения.

Таблица 64

Числовые значения констант c

Элемент	Граница полосы поглощения K	Граница полосы поглощения L
42 Mo	69	—
47 Ag	45	—
50 Sn	34	—
51 Sb	31	—
56 Ba	24	—
58 Ce	22,5	—
74 W	8	—
82 Pb	5,7	—
90 Th	3,2	50
92 U	—	45

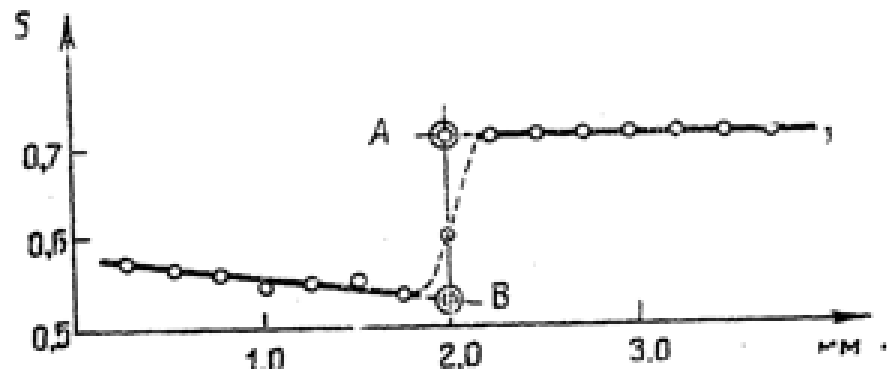


Рис. 60. Метод определения величины скачка поглощения фотометрическим путем (мм — по спектрограмме).

Таблица 65

Минимальное количество вещества (в $\text{мг}/\text{см}^2$), необходимое для получения сколько-нибудь заметного скачка поглощения

(разница интенсивности с обеих сторон границы 5%)

Элемент	Граница полосы поглощения K	Граница полосы поглощения L
Mo	0,7	—
Ag	1,1	—
Sn	1,5	—
Sb	1,6	—
Ba	2,1	—
Ce	2,2	—
W	6,3	—
Pb	9,0	—
U	16,0	1,0
—	—	1,1

Масса вещества p , просвеченная пучком сечением в см^2 , получается путем измерения площади освещения и взвешиванием.

Испытуемое вещество может быть в твердом или жидком состоянии и помещается в месте наименьшего сечения пучка сразу за щелью спектрографа.

Жидкий, а также порошкообразный материал помещается в резиновой кюветке или для получения тонких слоев засасывается фильтровальной бумагой.

Величина скачка поглощения не зависит от напряжения генерирования до значения $U = 2U_K$ или $U = 2U_L$.

Для элементов с $Z < 42$ (Mo) анализ поглощением применять затруднительно, вследствие сильного поглощения лучей в препарате ($\lambda_x > 0,6 \text{ \AA}$).

Измерение интенсивностей производится по ионизационному или фотографическому действию лучей, и путем экстраполяции находятся значения I_2 и I_1 , отвечающие границе поглощения. (Указанные выше пределы применимости анализа поглощением могут быть расширены путем применения счетных трубок Гейгер-Мюллера).

Время экспозиции при фотографическом методе измерений обычно несколько часов.

Применение усилительных экранов нежелательно, так как в этом случае кривая почернения не будет прямолинейной.

Точность рентгеновского анализа поглощением при малых количествах вещества не уступает химическому анализу, особенно в случаях определения химически родственных и, потому трудно отделимых элементов.

Наиболее благоприятным для рентгеновского анализа является случай определения содержания более тяжелого элемента в смеси с легким.

§ 4. Анализ структуры вещества

Методы спектрального анализа позволяют установить род и число атомов, входящих в состав вещества, независимо от характера их химического соединения.

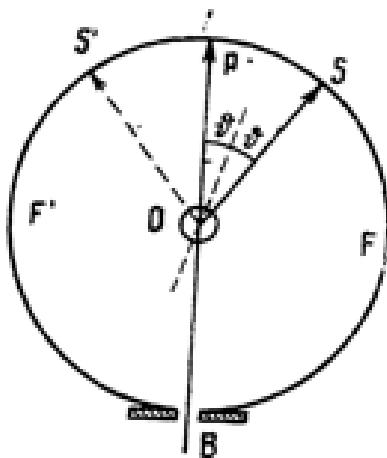
В аморфных веществах атомы и молекулы расположены беспорядочно, в кристаллах — закономерно в некоторой пространственной решетке.

Методы интерференции для кристаллических тел позволяют судить о характере химической связи, так как каждому элементу и каждому химическому соединению соответствуют определенные пространственные решетки.

Все металлы в твердом состоянии имеют кристаллическое строение. Для применения метода интерференций необходимо наличие кристаллов размерами не менее 10^{-7} см.

Исследование структуры поликристаллических тел (большинство технических материалов) включает в себя следующие задачи: а) установление типа кристаллической решетки, б) определение величины отдельных кристаллов, в) установление взаимного расположения кристаллов, г) обнаружение деформаций решетки.

Рис. 61. Принцип метода Дебай-Шерера.



Исследование моноокристаллов ограничивается п. „з“.

а) Метод Дебай - Шеррер для поликристаллических агрегатов

Принципиальная схема метода показана на рис. 61. Вид рентгенограммы дан на рис. 62. Лучи однородные. Используется характеристическое излучение анода серии K . Для выделения отдельной линии и ослабления непрерывного спектра употребляются фильтры.

Таблица 66
Найменований материалов фильтров для выделения K_{α} -линии различных элементов

Элемент	Cr	Mn	Fe	Ni	Cu	Zn	Mo	Rh	Pd	Ag	W	Pt
λ в \AA K_{α} -лінії	2,29	2,10	1,93	1,66	1,54	1,43	0,709	0,614	0,586	0,560	0,211	0,188
Материал-фильтра	V	Cr	Mn	Co	Ni	Cu	Zr,	Ru	Ru Rh	Rh Pd	Yb Hf	W Os

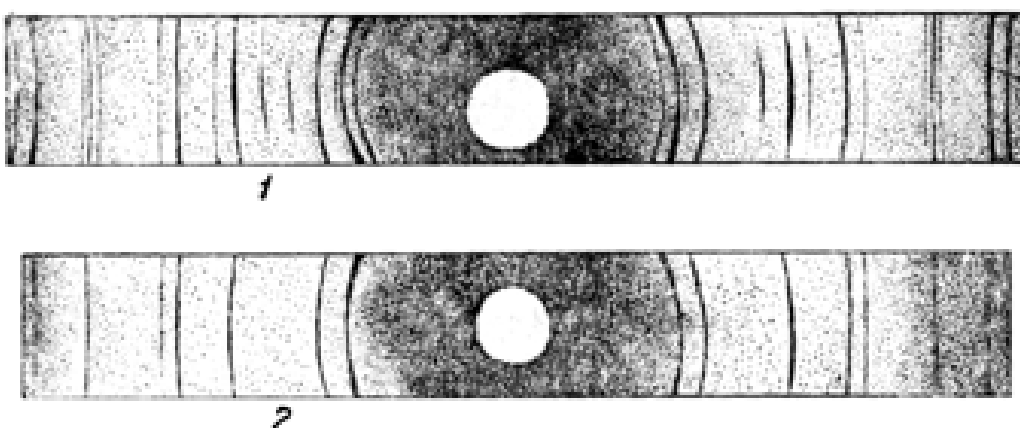


Рис. 62. Рентгенограмма алюминия (анод — медь):
1) без никелевого фильтра, 2) с никелевым фильтром.

Таблица 67

Фильтры для получения однородного излучения

Вещество антикатода	Наименьшее напряжение в кВ	Наиболее интенсивная длина волн характеристики излучения	Вещество фильтра	Толщина фильтра	Колич. вещества на см ²
Хром	6	2,287 Å	Ванадий	—	—
Железо	7	1,985 :	Марганец	0,005 мм	0,004 г
Медь	9	1,539 :	Никель	0,007 "	0,0067 "
Молибден . . .	20	0,710 :	Цирконий	0,03 "	0,020 "
Серебро	25	0,560 :	Палладий	0,03 "	0,036 "

Применяемое излучение, по возможности, не должно возбуждать характеристического излучения исследуемого вещества ($\lambda_{\text{к}} \text{ анода} > \lambda_{\text{к}} \text{ вещества}$) во избежание вуали на пленке (обычно анодом служит Си или Fe). В случае $\lambda_{\text{к}} \text{ — анода} < \lambda_{\text{к}} \text{ — вещества}$ (анод Mo) фотографическую пленку закрывают алюминиевой фольгой толщиной 0,2 мм. Напряжение генерирования выбирается равным (1,5—2,0) U_{k} . Положение колец на рентгенограмме зависит от структуры кристалла и длины волны лучей.

Плотность покрытия зависит от интенсивности лучей, экспозиции (числа миллиамперчасов) и угла отражения θ . Кольца зачернены равномерно, если кристаллики в исследуемом веществе расположены беспорядочно и имеют линейные размеры не более 10^{-3} см, или кристаллики ориентированы, но освещение производится в направлении оси текстуры.

Ось текстуры называется направление, вдоль которого преимущественно расположены определенные кристаллографические направления кристалликов.

Диаметр кольца ($2r$) на рентгенограмме связан с диаметром камеры ($2R$) соотношением:

$$2r = 2R \cdot \text{arc} \theta.$$

Ширина кольца меньше диаметра столбика образца (2ρ) и зависит от поглощения лучей в испытуемом веществе и угла отражения θ .

Поправка на поглощение:

Наружный диаметр $2r_n$; исправленный диаметр $2r$.

$$2r = 2r_n - 2\rho \text{ (Хаддинг).}$$

Средний диаметр $2r_0$

$$2r = 2r_0 - \rho [1 + (\cos 2\theta)] \text{ (Хаддинг).}$$

Внутренний диаметр $2r_i$:

$$2r = 2r_i - 2\varepsilon\rho \cos 2\theta \text{ (Отт),}$$

где $\varepsilon = 0,6 - 0,1$, возрастаю с увеличением поглощения.

Измерения производятся по средней части пленки.

Для повышения точности определения $2r$ к испытуемому веществу применяется другое, с известной решеткой, кольца которого служат образцами.

Разрешающая способность или расстояние между двумя кольцами на пленке при дан-

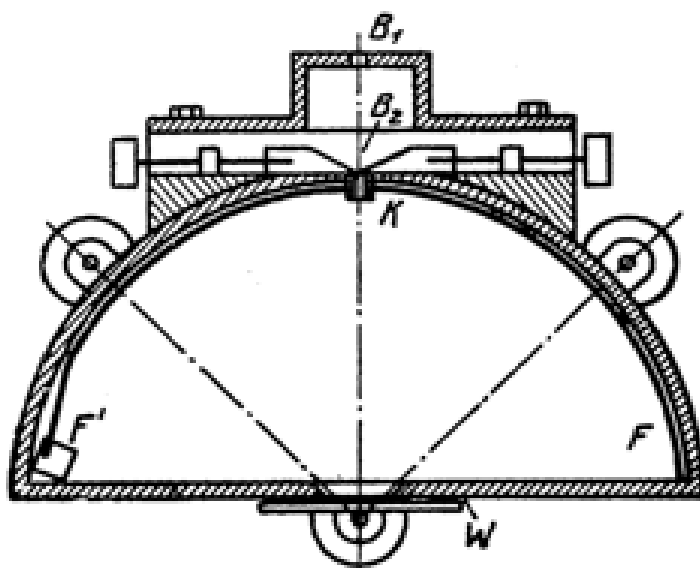


Рис. 63. Камера по Делингеру.

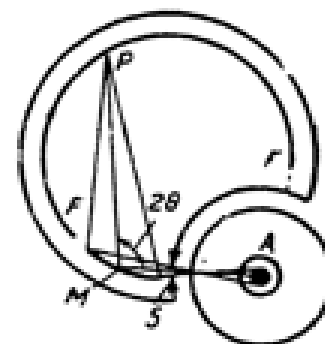


Рис. 64. Камера Зееман-Болин.

ном процентном различии постоянных решетки или длии волн увеличивается с увеличением угла отражения θ :

$$\Delta r = \frac{\Delta\lambda}{\lambda} 2 \cdot R \cdot \operatorname{tg} \theta.$$

Для специальных целей применяются различные видоизменения метода Дебай-Шеррера. Например Делингер (рис. 63): большая разрешающая способность, так как при 2θ , близком к 180° , Δr — особенно велико.

Зееман-Болин (рис. 64): большая интенсивность лучей (препарат ближе к трубке), большая разрешающая способность, отсчет диаметра $2r$ без поправок

$$r = 2 \cdot R \cdot \operatorname{arc} 2\theta, \quad \Delta r = \frac{\Delta\lambda}{\lambda} \cdot 4 \cdot R \cdot \operatorname{tg} \theta.$$

Недостатки: ограниченность углового интервала.

Расшифровка рентгенограмм.

Вещество имеет кристаллическое строение, если на рентгенограмме имеются резко очерченные кольца.

Два вещества имеют одинаковую кристаллическую структуру, если кольца на рентгенограммах, снятых на одном и том же излучении и в одной и той же камере, могут быть приведены к совпадению.

Аморфное тело, твердое или жидкое, дает на рентгенограмме одно или два диффузных размытых кольца, обусловленных правильным расположением атомов в молекулах при беспорядочной ориентировке последних или же образованием молекулярных агрегатов. В последнем случае ширина колец может быть использована для определения степени полимеризации органических веществ.

При одинаковом химическом составе различное расположение колец указывает на явление изомерии.

Появление неискаженной системы колец некоторого вещества указывает на механическое включение его в исследуемый препарат.

После нахождения исправленных значений диаметров колец ($2r$) определяются углы отражения θ и по ним вычисляется $\sin^2 \theta$.

Находится плотность почернения колец. Если излучение не вполне однородно, например, присутствуют лучи длин волн λ_a и λ_b серии K , то в простых случаях исключаются все лишние кольца, так как при неизменном значении d

$$\frac{\lambda_a}{\lambda_b} = \frac{\sin \theta_1}{\sin \theta_2}.$$

Для описания пространственной решетки необходимо определить форму и размеры элементарной ячейки (длины ребер и углы между ними), число атомов в каждой ячейке и найти координаты каждого атома в долях соответствующих ребер ячейки.

Определение элементарной ячейки эквивалентно нахождению кристаллической системы, причем направления ребер ячейки совпадают с направлением кристаллографических осей соответствующих шести кристаллических систем (кубическая, тетрагональная, гексагональная, ромбическая, моноклинная и триклинная).

Расстояние d между соседними кристаллическими плоскостями с индексами (h, k, l) в общем случае триклинной решетки выражается формулой (см. кристаллографические формулы):

$$\frac{1}{d^2} = f_1 \cdot h^2 + f_2 \cdot k^2 + f_3 \cdot l^2 + f_4 \cdot h \cdot k + f_5 \cdot k \cdot l + f_6 \cdot h \cdot l,$$

где $f_1, f_2 \dots$ и т. д. — коэффициенты, зависящие от длины осей и углов между ними (квадратичная форма). Для отражения первого порядка $l = 1$ и значит

$$\lambda = 2 \cdot d \cdot \sin \theta.$$

Отсюда

$$\sin^2 \theta = \frac{\lambda^2}{4} (f_1 \cdot h^2 + f_2 \cdot k^2 + f_3 \cdot l^2 + f_4 \cdot h \cdot k + f_5 \cdot k \cdot l + f_6 \cdot h \cdot l).$$

По известному значению λ и найденному из рентгенограммы $\sin^2 \theta$ необходимо подобрать кристаллическую систему, для которой удовлетворяется написанное соотношение.

Графический метод Гэлла и Девея позволяет непосредственное нахождение кристаллической системы и индексов плоскостей, отвечающих колышкам на рентгенограмме для кубической тетрагональной и гексагональной систем (с ромбоэдрическим подотделом), так как в квадратичную формулу для этих систем входят лишь два коэффициента.

Для этой цели, по данным структурных таблиц, для указанных систем строятся кривые $\frac{f_2}{f_1}$, в зависимости от логарифма расстояния между соседними кристаллическими плоскостями ($\lg d$) (рис. 65, 66, 67, 68, 69). Задача сводится таким образом к тому, чтобы с помощью этих кривых найти горизонтальную прямую, для которой отношение $d_1 : d_2 : d_3 \dots$ совпадало с зна-

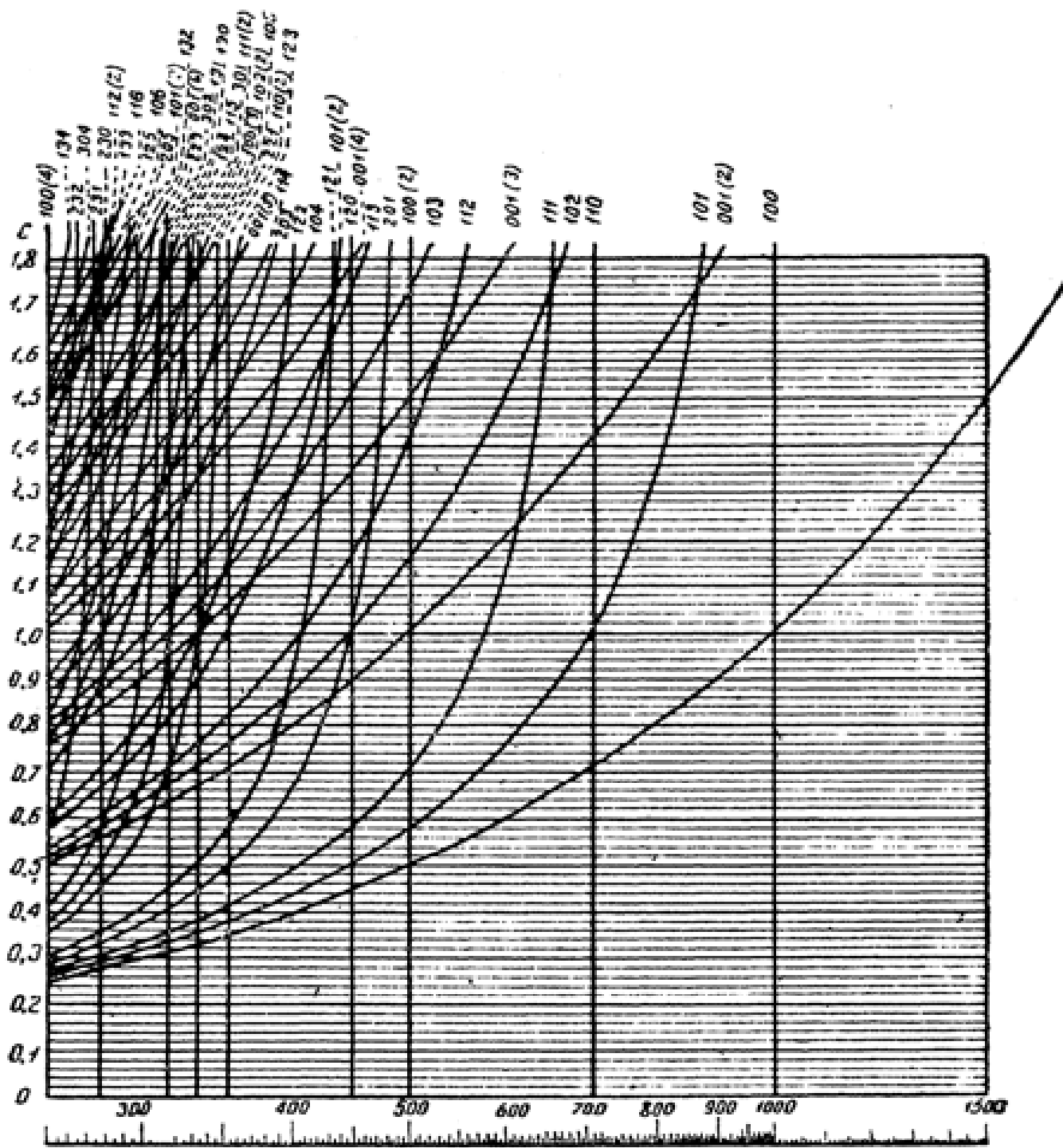


Рис. 65. Кривые Гэлла для тетрагональной системы.

чениями тех же отношений $\frac{d_1}{d_2} = \frac{\sin \theta_2}{\sin \theta_1}$, найденными путем измерения колец рентгенограммы.

По найденному типу решетки, индексам и коэффициентам находятся длины ребер ячейки.

С увеличением индексов плоскостей расстояние между линиями на диаграммах Гэлла настолько сокращается, что точные определения в этой об-

ласти затруднительны, почему решающее значение имеют линии с малыми индексами, соответствующие внутренним кольцам на рентгенограмме.

Определение кристаллической структуры на основании одних только рентгенограмм Дебая возможно лишь для решетки кубической, тетрагональной и гексагональной систем, так как в случае остальных кристаллических

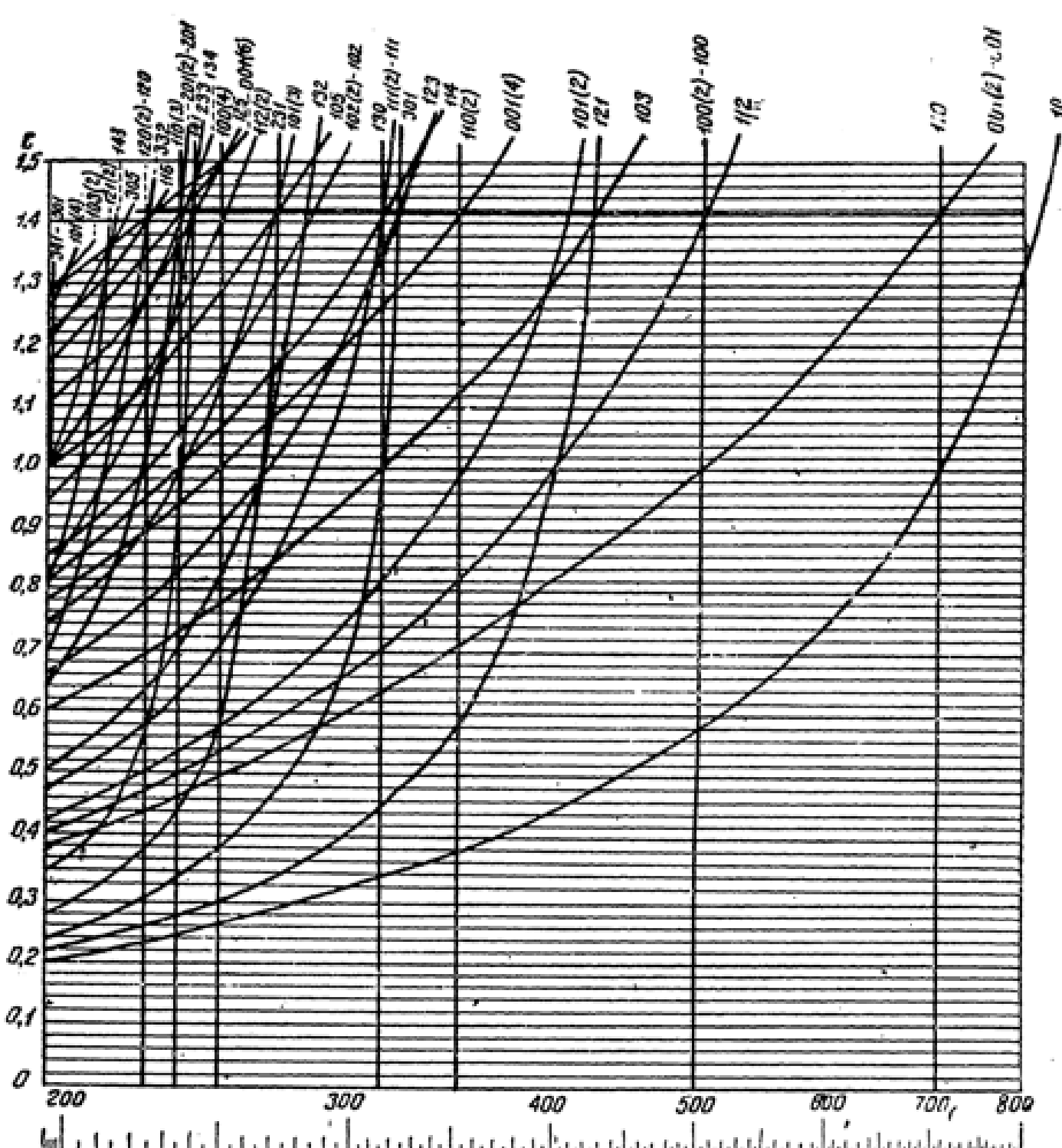


Рис. 66. Кривые Гэлла для пространственно-центрированной тетрагональной системы.

систем большое число колец на рентгенограмме и их частичное совмещение затрудняют надежную расшифровку.

Число атомов N в элементарной ячейке, объем которой v , может быть найдено из соотношения:

$$\rho = \frac{N \cdot A \cdot m_n}{v},$$

где A — средний атомный вес вещества ячейки.

Расположение атомов в ячейке определяется по числу имеющихся на рентгенограмме колец и плотности их почернения. Если число пересечений найденной горизонтальной прямой превышает число имеющихся на пленке колец, то это указывает, что хотя решетка исследуемого вещества и принадлежит к данной системе (например кубической), но является не простой,

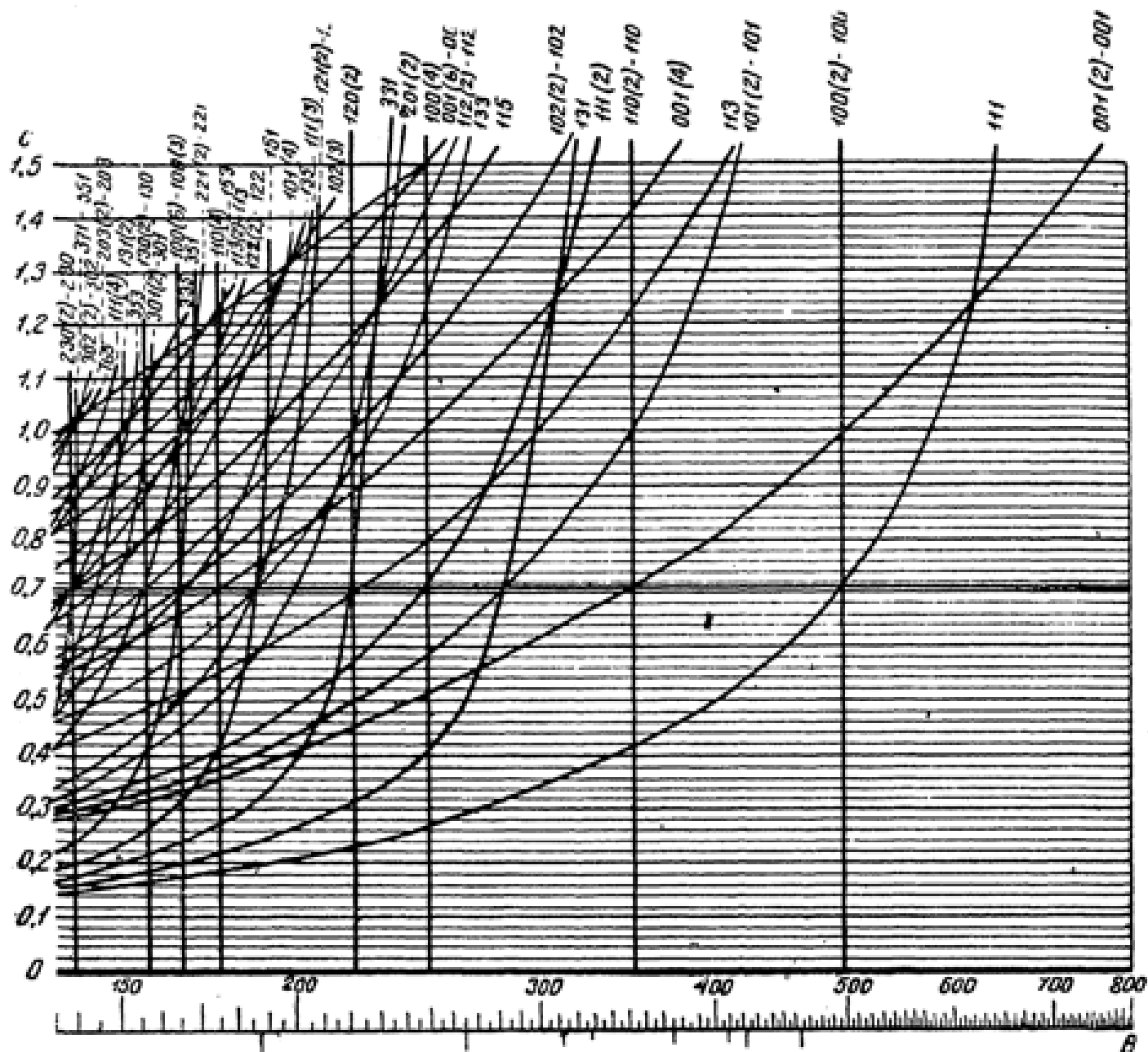


Рис. 67. Кривые Гэлла для гране-центрированной тетрагональной системы.

а сложной (например гране-центрированной). Исчезновение некоторых линий объясняется интерференцией лучей, рассеиваемых отдельными атомами ячейки, и учитывается так называемым структурным множителем \sum .

Если, например, ячейка содержит два одинаковых атома с координатами (m_0, n_0, p_0) и (m_1, n_1, p_1) , то интенсивность интерференционного пучка, отражаемого плоскостями с индексами (h, k, l) , пропорциональна \sum^2 , где

$$\sum = e^{2\pi i \cdot (m_0 h + n_0 k + p_0 l)} + e^{2\pi i (m_1 h + n_1 k + p_1 l)}$$

Для пространственно центрированной решетки любой системы координаты атомов будут: для вершины $(0, 0, 0)$, центра ячейки $(\frac{1}{2}, \frac{1}{2}, \frac{1}{2})$, и значит

$$\sum = 1 + e^{\pi i(h+k+l)}$$

Отсюда следует, что при $(h+k+l)$ четном $\sum = 2$; в противном случае $\sum = 0$.

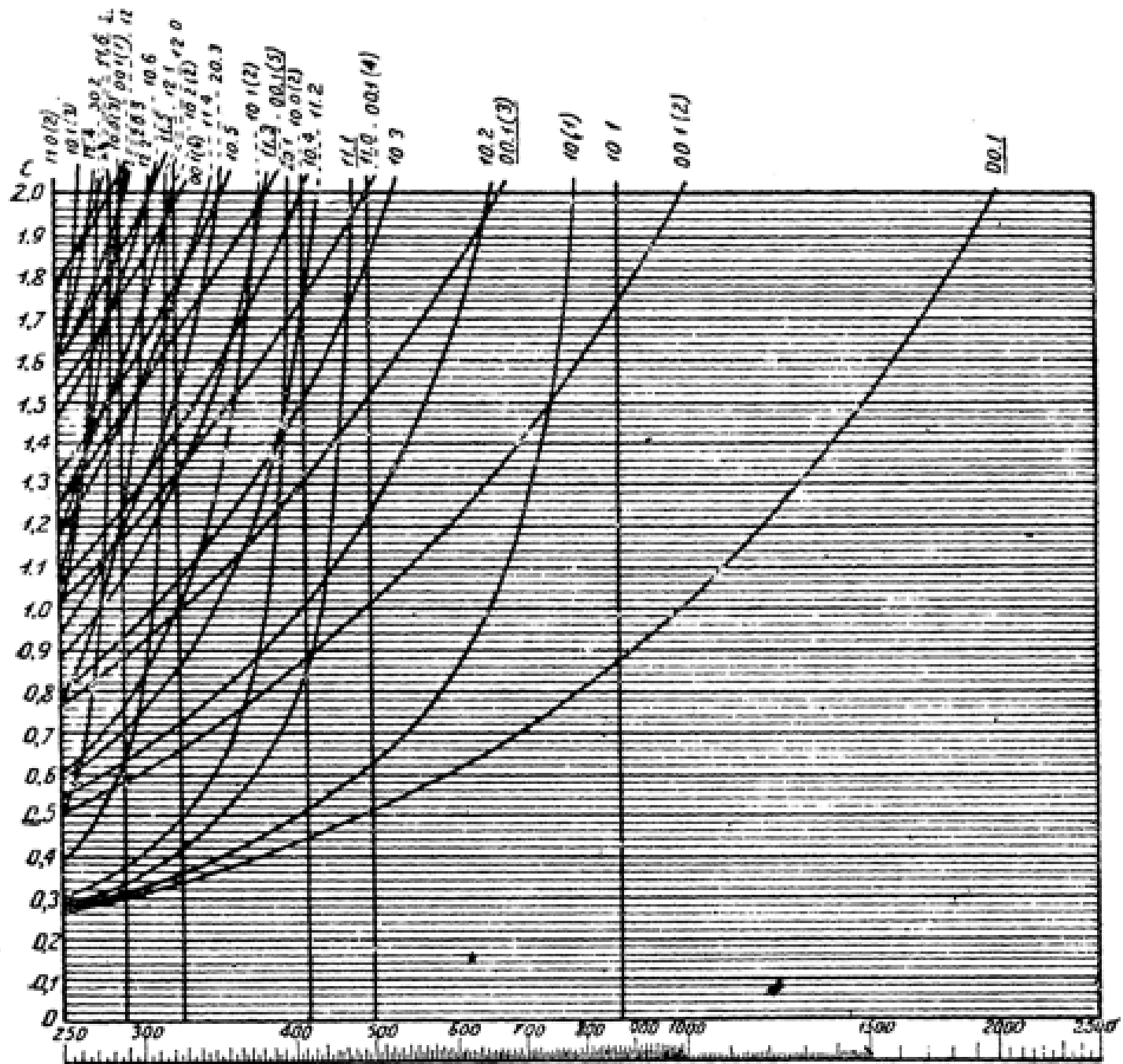


Рис. 68. Кривые Гэлла для гексагональной системы.

Для гране-центрированной решетки координаты атомов будут: для вершины $(0, 0, 0)$, для середины граней $(\frac{1}{2}, \frac{1}{2}, 0)$ $(\frac{1}{2}, 0, \frac{1}{2})$ $(0, \frac{1}{2}, \frac{1}{2})$, т. е.

$$\sum = 1 + e^{\pi i(k+l)} + e^{\pi i(l+h)} + e^{\pi i(h+k)}$$

Если все три индекса какой-либо плоскости четные или нечетные, то $\sum = 4$;
если же индексы смешанные, то $\sum = 0$.

В случае различных атомов в ячейке отдельные члены структурного множителя следует умножить на атомный номер соответствующего атома, так что

$$\sum = Z_0 e^{2\pi i(m_0 h + n_0 k + p_0 l)} + Z_1 e^{2\pi i(m_1 h + n_1 k + p_1 l)}$$

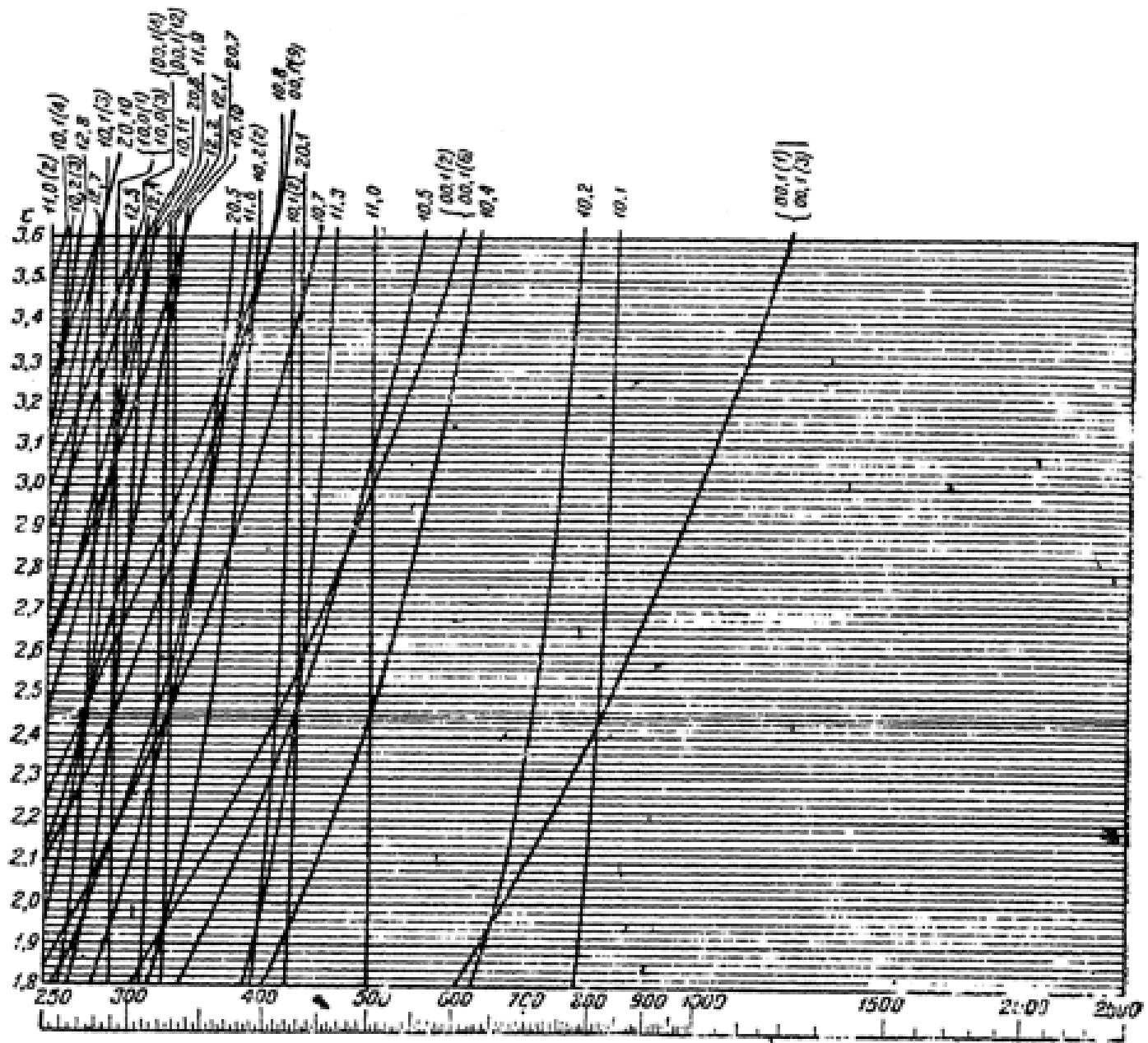


Рис. 69. Кривые Гэлла для ромбоздрической системы.

Интенсивность отраженного пучка лучей зависит также от числа эквивалентных плоскостей кристалла, принадлежащих к данным индексам, или так называемого „фактора повторяемости H^* “ и направления рассеяния, что приближенно учитывается множителем $1 + \cos^2 2\theta$ (поляризационный множитель).

Таблица 68

Фактор повторяемости кристаллических плоскостей в случае Дебаевских рентгенограмм

Число плоскостей (h, k, l) относится ко всем плоскостям, индексы которых не выписаны особо

Кристаллическая система	Кристаллические классы по Ниггли	Индексы	Число эквивалентных плоскостей
Триклинная	C1, Ci	(hkl)	2
Моноклинная	Cs, C2, C2h	(hkl) (hk0) (00l)	4 2 2
Ромбическая	C2v, V, Vh	(hkl) (0k1) (h0l) (hk0) (100) (010) (001)	8 4 2
Гексагональная	C3h, C6, C6h	(hkl) (hk0) (00l)	12 6 2
	D3h, C6v, D6, D6h	(hkl) (hk0) (hh1) (hhl) (110), (110)	24 12 6
Ромбоэдрическая (гексаг. коорд.)	C3, C3i	(001) (hkl)	2 6
	C3v, D3, D3d	(001) (hkl) (110), (hh1) (001)	2 12 6 2
Тетрагональная	S4, C4, C4h	(hkl) (hk0) (001)	8 4 2
	Vd, C4v, D4, D4h	(hkl) (hk0) (0kl) (hh1) (100), (110) (001)	16 8 4 2
Кубическая	T, Th	(hkl) (0kl) (111) (100)	24 12 8 6
	Td, O, Oh	(hkl) (0kl) (hh1) (110) (111) (100)	48 24 12 8 6

Вводя поправки на неточность формулы Бреггов в связи с отражением лучей в некотором угловом интервале $\Delta\theta = \frac{1}{\sin^2 \theta \cdot \cos \theta}$ (множитель Лоренца) и на тепловое колебательное движение атомов в кристалле $e^{-\frac{\pi T}{k^2} \sin^2 \theta}$ (Лебай), получим для плотности почернения пропорциональной энергии лучей, погло-

щенной активным слоем, выражение

$$S = c W_0 \gamma = k \cdot W_0 \cdot H \cdot e^{-\frac{aT}{\lambda^2} \sin^2 \theta} \cdot \frac{1 + \cos^2 2\theta}{\sin^2 \theta \cos \theta} \cdot \gamma \cdot \sum^2,$$

где W_0 — энергия лучей, падающих на кристалл,

W'_0 — энергия лучей, падающих на пленку,

γ — коэффициент электронного преобразования лучей в активном слое.

Отсюда

$$\frac{S}{\gamma} \cdot \frac{\sin^2 \theta \cdot \cos \theta}{H \cdot (1 + \cos^2 2\theta)} \cdot e^{\frac{aT}{\lambda^2} \sin^2 \theta} = k \cdot W_0 \cdot \sum^2.$$

Так как $k \cdot W_0$ для одной и той же рентгенограммы постоянно, то достаточно подобрать такое расположение атомов в кристалле, чтобы удовлетворялось приведенное выше соотношение.

Для полного решения вопроса о пространственной группе в общем случае материал, даваемый рентгенограммой по Дебаю, недостаточен, так как различные системы кристаллических плоскостей с одинаковым расстоянием d дают одно общее кольцо, между тем как они обладают различными структурными множителями (плотность покернения пленки зависит от нескольких структурных множителей).

В этих случаях оказывается необходимым снятие рентгенограмм Лауэ или вращения.

Если линейные размеры частиц мелкокристаллического агрегата заключаются в промежутке между 10^{-3} — 10^{-6} см, то на рентгенограмме кольца резко ограничены и равномерно зачернены. Для более мелких или более крупных кристаллов кольца расширяются, причем в первом случае ширина кольца a , измеренная между точками, в которых плотность покернения равна половине максимального значения, связана по Дебаю со средней длиной ребра отдельных кристалликов l кубической формы соотношением

$$\frac{a}{R} = 2 \cdot \sqrt{\frac{\ln 2}{\pi}} \cdot \frac{\lambda}{l} \cdot \frac{1}{\cos \theta} + b,$$

где b — постоянная, зависящая от размеров стержня кристаллического препарата. Ширина интерференционных пятен зависит также от угла расхождения конуса первичных лучей. Для параллельного пучка лучей и слабо поглощающего материала постоянная

$$b = \frac{2\rho}{R}.$$

В общем случае b находится графически, как отрезок, отсекаемый на оси ординат прямой, выражающей линейную зависимость

$$\frac{a}{R} = f\left(\frac{1}{\cos \theta}\right).$$

Возрастание ширины интерференционных пятен, с увеличением размеров кристаллов, происходит до тех пор, пока сечение кристаллика в направлении, перпендикулярном отраженным лучам, остается меньше, чем сечение первичного пучка лучей.

В пределах от 10^{-3} до 10^{-2} см по исследованиям Басса существует линейное соотношение между шириной пятен и размерами зерен.

Каждое интерференционное пятно представляет собой изображение фокуса трубы, а потому измерение ширины пятен следует производить в одном и том же направлении.

Время экспозиции для снятия рентгенограмм зависит от применяемых величины и формы напряжения, силы анодного тока, фильтра, расстояния от фокуса трубы до кристалла, диаметра камеры, рода кристалла и сорта фотопленки. Чаще всего оно лежит в границах от 6 до 12 часов.

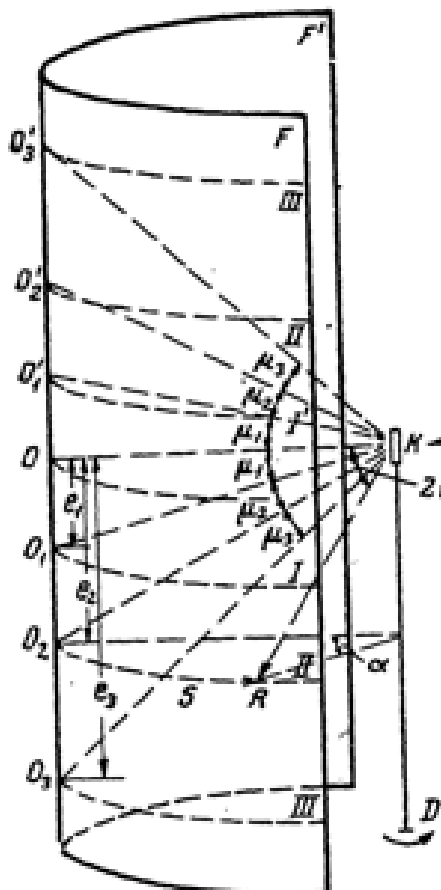


Рис. 70. Принципиальная схема метода вращения.
Образование слоевых линий.

б) Метод вращения кристаллов для монокристаллов

Принципиальная схема метода показана на рис. 70. Вид рентгенограммы дан на рис. 71.

Лучи однородные (железо, медь, молибден).

Направление освещения — перпендикулярно оси вращения.

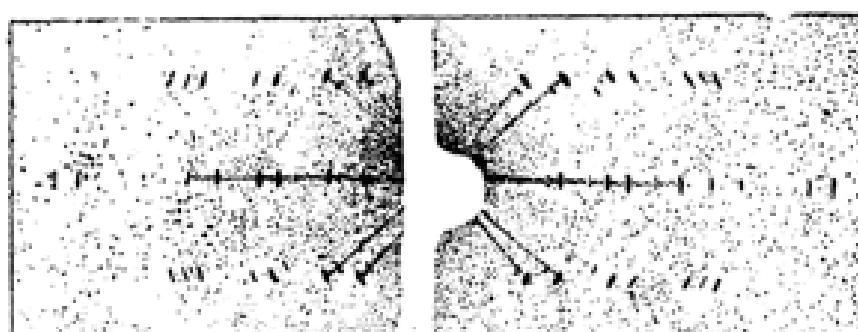


Рис. 71. Диаграмма вращения кристалла мочевины вокруг (001).

Положение пятен зависит от выбранной оси вращения кристалла, структуры решетки и длины волн лучей.

Плотность почернения зависит от интенсивности лучей, времени экспозиции и угла наклона отражающих плоскостей к оси вращения кристалла.

Отчетливые рентгенограммы получаются при вращении вокруг направлений с малыми индексами.

Кристалл не должен иметь каких-либо изъянов или внутренних напряжений.

Расшифровка рентгенограммы.

По измеренным расстояниям e_n слоевых линий от нулевой линии (рис. 70) и радиусу цилиндра, образуемого пленкой R , находится слоевой угол μ_n .

$$\operatorname{tg} \mu_n = \frac{e_n}{R}.$$

По известным μ_n и длине волны применяемого излучения λ находится расстояние эквивалентных узлов решетки в направлении оси вращения (период повторяемости):

$$L = \frac{n\lambda}{\sin \mu_n},$$

где n — порядковый номер слоевой линии.

При счете слоевых линий необходимо иметь в виду, что, с одной стороны, некоторые из них, вследствие тех или иных особенностей решетки и условий снимка могут отсутствовать (например, при слабой экспозиции), с другой — могут появиться лишние из-за нечистоты применяемого излучения.

Вычисляется угол отражения θ из соотношения

$$\cos 2\theta = \cos \mu \cdot \cos \alpha,$$

где $\arg \alpha = \frac{S}{R}$.

В случае применения фотографической пластиинки, перпендикулярной направлению первичного пучка лучей на рентгенограмме, вместо прямых слоевых линий получается семейство гипербол и соответствующие формулы имеют вид.

$$\operatorname{tg} 2\theta = \frac{r}{A},$$

$$L = \frac{n\lambda}{\sin 2\theta \cdot \cos \delta_0},$$

где A — расстояние от кристалла до пластиинки и δ_0 угол под которым видно S из точки D (рис. 70).

Если L велико, т. е. направление, вокруг которого производится вращение, замещено атомами редко, то получаются слоевые линии, чрезвычайно близкие друг к другу, что затрудняет расшифровку.

В общем случае, когда ось вращения составляет с направлением первичного пучка лучей угол β , отличный от $\frac{\pi}{2}$, имеем для пленки

$$L = \frac{n\lambda}{\sin \mu_n + \cos \beta},$$

для пластиинки, перпендикулярной к первичным лучам

$$L = \frac{n\lambda}{\sin 2\theta \cdot \cos \delta \cdot \sin \beta + 2 \cos \beta \sin^2 \gamma}.$$

Направление кристаллографических осей и принадлежность к одной из 6 кристаллических систем могут быть найдены путем снятия рентгенограмм по Лауз.

Из квадратичной формы находятся значения $\sin^2 \theta$ путем подстановки вместо индексов h и k ряда простых небольших чисел и полученные всевозможные значения сравниваются с $\sin^2 \theta$, найденным по рентгенограммам. Размеры элементарной ячейки находятся путем снятия рентгенограмм вращения вокруг трех кристаллографических осей, так как ребра ячейки равны расстоянию между двумя эквивалентными узлами L (периоду повторяемости).

Если этого сделать нельзя (например, игольчатый кристалл), то непосредственно определяется лишь одно ребро ячейки, а остальные находятся, при известной кристаллической системе, по найденным индексам отражающей плоскости.

Этот метод индицирования дает не вполне надежные результаты в том случае, если на пленке имеются лишь пятна, отвечающие плоскостям с высокими индексами, в виду недостаточной точности измерений.

Для определения трансляционной группы необходимо иметь дополнительные рентгенограммы вращения вокруг осей, число и направление которых зависит от кристаллической системы.

Определение числа атомов в элементарной ячейке производится из химической формулы, плотности и известных длин осей кристалла и углов между ними.

Выбор пространственной группы делается путем выделения групп, принадлежащих к данному кристаллическому классу и содержащих заданную трансляционную группу.

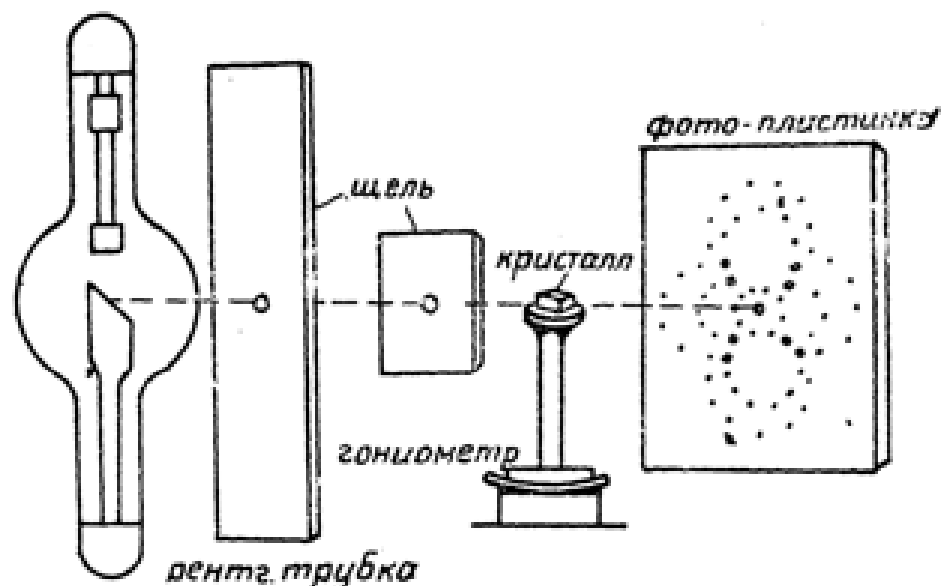


Рис. 72. Принципиальная схема метода Лауз.

Расположение атомов в пространственной группе находится по кратности атомных положений и из выражений для плотности покернения путем вычисления структурного множителя

$$\frac{S}{\gamma} \cdot \frac{\sin^2 \theta \cdot \cos \theta}{H \cdot (1 + \cos^2 \theta)} \cdot \sqrt{1 - \frac{\sin \phi}{\sin^2 \theta}} = k \cdot W_0 \sum z^2.$$

Здесь $\sqrt{1 - \frac{\sin \phi}{\sin^2 \theta}}$ — множитель, учитывающий различное время отражения разных систем плоскостей при равномерном вращении кристалла, в зависимости от наклона их к оси вращения.

в) Метод Лауз для монокристаллов (размером не менее 1,0 мм)

Принципиальная схема метода показана на рис. 72. Вид рентгенограммы дан на рис. 73. Лучи скошанные. Используется непрерывный спектр. Напряжение генерирования меньше потенциала возбуждения серии K анода. Трубка с острым фокусом.

Расположение пятен зависит от структуры кристалла и ориентировки его в пучке лучей. Освещение удобнее производить вдоль кристаллографической оси. Плотность почернения пятен зависит от времени экспозиции, интенсивности отраженных лучей и длины волн их.

Расшифровка рентгенограмм. Симметрия рентгенограммы отображает симметрию кристалла по отношению к направлению первичного пучка лучей.

Системы плоскостей, принадлежащие к одной и той же кристаллографической зоне (см. кристаллографические формулы), дают пятна на одном и том же элipse. (Рис. 73). Все пятна, обусловленные отражением лучей одновременно и той же длины волн, лежат на окружности с центром в пятне от первичного излучения.

По симметрии пятен (в этом случае направление лучей совпадает с кристаллографической осью) находят направление осей симметрии в кристалле, знание которых позволяет установить принадлежность кристалла к той или иной из шести кристаллических систем.

Длина волны отраженных лучей в методе Лауз неизвестна, а потому анализ рентгенограмм позволяет наряду с установлением индексов отражающих поверхностей, найти лишь отношение длины волны λ к постоянной решетки d . Из 32 различных симметрических классов кристаллографии с помощью рентгенограммы Лауз можно различить одиннадцать групп. Все кристаллографические классы, отличающиеся друг от друга лишь центром симметрии, дают одинаковые рентгенограммы, так как плоскости (h, k, l) и $(\bar{h}, \bar{k}, \bar{l})$ отражают одинаковым образом и дают одно общее пятно.

Таблица 69

Симметрия Лаузской диаграммы по Викоффу
Обозначение симметрических классов по Ниггли

Кристаллическая система	Кристаллич. класс	Симметрия Лаузской диаграммы
Триклинная	C_1 C_1	C_1
Моноклинная	C_S C_2 C_{2h}	C_{2h}
Ромбическая	C_{2v} V V_h	V_h
Гексагональная	C_{3h} C_6 C_{6h}	C_{6h}
"	D_{3h} C_{6v} D_6 D_{6h}	D_{6h}
" Ромбоэдрический пол-отдел	C_3 C_{3i}	C_{3i}
" 	C_{3v} D_3 D_{3d}	D_{3d}
Тетрагональная	S_4 C_4 C_{4h}	C_{4h}
"	V_d C_{4v} D_4 D_{4h}	D_{4h}
Кубическая	T T_h	T_h
"	T_d O O_h	O_h

В сомнительных случаях полезно снятие рентгенограмм с различной ориентацией кристалла в пучке.

Определение индексов обычно производится графическим путем с помощью гномонической проекции, так как при этом на чертеже интерферен-

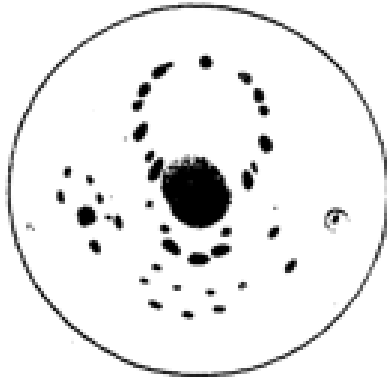


Рис. 73. Рентгенограмма
Лауз каменной соли.

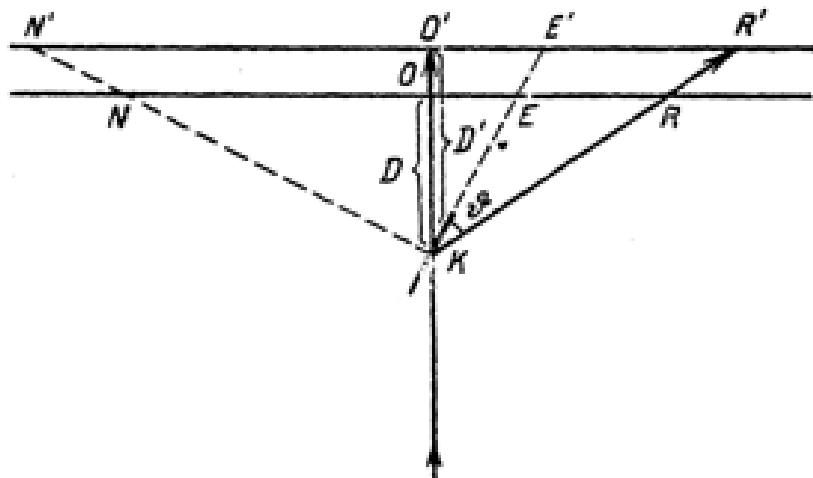


Рис. 74. Гномоническая проекция.

ционные точки, соответствующие кристаллическим плоскостям одной и той же зоны, лежат на прямой линии.

Если плоскость проекции перпендикулярна к одной из кристаллографических осей, то индексы плоских сеток могут быть непосредственно найдены из гномонической проекции.

Гномонической проекцией пятна R на фотопленке называется точка пересечения N нормали к отражающей плоскости с плоскостью фотопленки ($ON=L$) (рис. 74).

При освещении кристалла вдоль кристаллографической оси плоскость гномонической проекции параллельна фотопленке.

Очевидно,

$$\operatorname{tg} 2\theta = \frac{r}{D},$$

где r — расстояние интерференционного пятна на фотопленке от пятна в месте прохождения первичного пучка лучей сквозь фотопленку.

По измеренным r и D находится угол отражения θ .

Так как $O'N=L=D \operatorname{ctg} \theta$, то для выбранного значения D' (обычно полагают $D'=5 \text{ см}$) легко наложить все точки гномонической проекции, при этом внешние точки проекции отвечают внутренним пятнам рентгенограммы.

По точкам гномонической проекции можно построить две или три системы равноотстоящих прямых линий, причем прямым, проходящим через

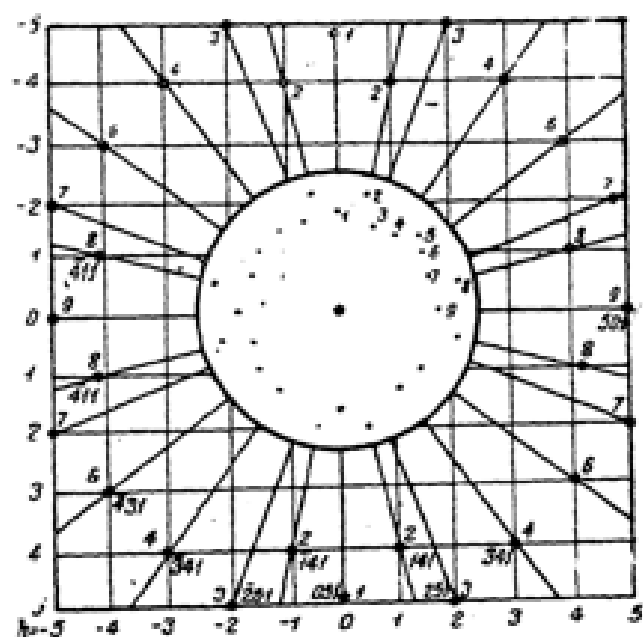


Рис. 75. Гномоническая проекция
рентгенограммы β латуни.

центр проекции, отвечает $h = 0$ и $k = 0$, в то время как третьему индексу l приписывается значение 1 (рис. 75).

В случае, когда линии гномонической сетки не проходят через центр проекции, как, например, на рис. 76, сторонам, наиболее близким к центру, приписываются индексы $h = 0$, $k = 0$ и $l = 0$.

Основные типы гномонических сеток диаграммы Лауз приведены в табл. 70.

Таблица 70

Основные типы гномонической сетки Лаузских диаграмм

Расстояние плоскости проекций — D см. Длины кристаллографических осей a , b , c ; ромбоэдрический угол α .

Кристаллическая система	Направление первичных лучей ¹	Форма ячеек гномонической сетки	Длины сторон
Кубическая	Одна из 3 кристаллограф. осей (четверная ось)	Квадрат ²	D
	Пространственная диагональ куба (тройная ось)	Равносторонний треугольник	$\sqrt{6} \cdot D$
Тетрагональная	Главная ось (c)	Квадрат ²	$D \cdot \frac{c}{a}$
	Одна из двух других осей (a)	Прямоугольник ²	D и $D \cdot \frac{a}{c}$
Ромбическая	Ось c	"	$D \cdot \frac{c}{a}$ и $D \cdot \frac{c}{b}$
	Ось b	"	$D \cdot \frac{b}{a}$ и $D \cdot \frac{b}{c}$
	Ось a	"	$D \cdot \frac{a}{b}$ и $D \cdot \frac{a}{c}$
Гексагональная ³ (обычные гексагональные координаты)	Главная ось (c)	Ромб ³ (состоящий из двух равносторонних треугольников)	$\sqrt{\frac{2}{3}} \cdot D \cdot \frac{c}{a}$
	Тройная ось	Равносторонний треугольник	$6D \sqrt{\frac{1}{4 \sin^2 \frac{\alpha}{2}} - \frac{1}{9}}$

¹ Во всех приведенных в таблице случаях кристаллографические индексы отражающих плоскостей могли быть непосредственно отсчитаны по проекции.

² Нуевые линии сетки проходят через центр первичного пятна.

³ Включая и ромбоэдрический подотдел.

По известным индексам решетки (h, k, l) и величине элементарной ячейки ($a, b, c, \alpha, \beta, \gamma$) определяется постоянная решетки d , а значит и λ из соотношения Браггов.

Так как для непрерывного спектра λ должна быть больше граничной длины волны λ_0 , и, кроме того, лежать в интервале спектра, обладающем наибольшей интенсивностью, то, задавая различные значения числу n , можно установить значение λ .

Для определения пространственной группы кристалла составляется перечень имеющихся и принципиально возможных, но отсутствующих отражений (индексовое поле).

Установление координат атомов в элементарной ячейке связано с измерением плотности покрытия пленок.

Сравнениям могут быть подвергнуты лишь покрытия пяты, полученных отражением под одинаковыми углами θ с учетом длин волн отраженных лучей (распределение плотности интенсивности по спектру и различное поглощение в активном слое фотопленки).

Аналогично ранее сказанному (стр. 178) приближенно

$$\frac{S}{\tau} \cdot \frac{\sin^2 \theta}{1 + \cos^2 2\theta} \cdot e^{\frac{\alpha T}{k^2} \sin^2 \theta} = kW_0 \cdot \sum.$$

Применимость указанной формулы ограничена теми системами отражающих плоскостей, для которых структурный множитель не играет существенной роли.

г) Текстурдиаграммы

Если для рентгенограммы по Дебаю воспользоваться не цилиндрически изогнутой пленкой, а фотографической пластинкой, перпендикулярной к первичным лучам, то на ней образуются равномерно покрашенные концентрические кольца, сплошные или расщепленные на отдельные мелкие точки в зависимости от размеров зерен препарата.

В противоположность беспорядочной ориентации кристалликов в кристаллическом порошке, кристаллы в проволоках и вальцованных пластинах до известной степени одинаково ориентированы, а потому при просвечивании перпендикулярно оси проволоки или направлению вальцовки получаются не сплошные кольца, а лишь местные сильные покраснения. При просвечивании вдоль оси проволоки получают равномерно зачерненные кольца не более одного двух.

Расположение, при котором у всех кристалликов определенное кристаллографическое направление оказывается параллельным, называется полной текстурой, а общее направление — осью текстуры.

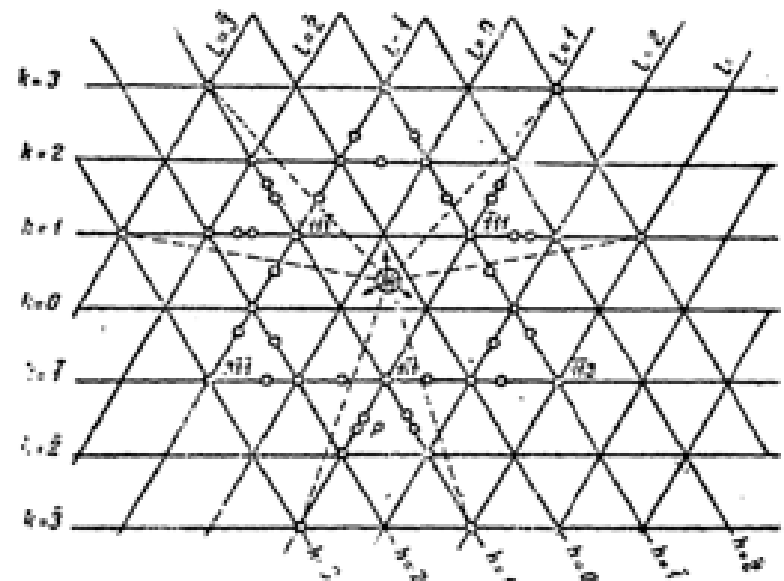


Рис. 76 Гномоническая проекция рентгенограммы цинковой обманки.

Для получения текстурдиаграммы тяжелых элементов вместо обычно применяемых в методе Дебая лучей меди выгоднее применять более проникающие лучи серебра или молибдена. Для слабо поглощающих волокнистых веществ целесообразнее пользоваться лучами меди.

Ориентированное положение кристалликов образуется при весьма разнообразных процессах кристаллизации. Структура роста при электролизе обладает той особенностью, что ось получаемой полной текстуры совпадает с направлением линии тока. Ось текстуры является направлением особенно быстрого роста кристаллов.

Структура деформации при волочении также всегда дает полную текстуру, причем кристаллические плоскости, наиболее плотно заполненные атомами, располагаются перпендикулярно оси проволоки.

Структура деформации при вальцовании дает ограниченную текстуру. Многообразие положений отдельных кристаллов здесь ограничено тем, что у всех кристаллов определенная кристаллографическая плоскость параллельна плоскости вальцовки, а одно кристаллографическое направление параллельно направлению вальцовки.

Положение кристаллитов зависит от типа решетки и степени деформирования.

В структуре для пространственно центрированных кубических решеток кристаллиты занимают лишь одно положение, для гранецентрированных имеются два зеркально симметричные положения.

Образование текстуры имеет место при одностороннем сжатии (алюминий) и растяжении (каучук). Особенно богатую область применения текстурдиаграммы имеют для исследований различных видов целлюлозы.

Структура рекристаллизации при отжиге дает исчезновение текстуры при вполне определенных температурах.

Нормальный отжиг при высокой температуре и соответственно удлиненный, но при более низкой температуре, не равнозначны.

Признаком вполне „рекристаллизованного металла“ является не только прекращение роста зерен, но и их полная дезориентировка.

Расшифровка полных текстурдиаграмм. Все плоскости решетки с одинаковым расстоянием d дают пятна, лежащие на одном и том же кольце, независимо от их наклона к оси волокна.

После измерения радиусов колец r и расстояния от образца до пластиинки A находится угол отражения θ :

$$\operatorname{tg} 2\theta = \frac{r}{A}.$$

По углу θ и длине волны лучей λ из соотношения Брэгга находится расстояние d для каждого кольца.

Так как кристаллическая структура при получении текстурдиаграммы известна, то, подставляя в квадратичную форму решетки простые значения для индексов (h, k, l), путем сравнения полученных, наблюдением и подсчетом значений $\sin^2 \theta$ устанавливаются индексы соответствующих плоскостей.

Совокупность появляющихся на каком-либо конце точек сгущения позволяет найти углы (ρ) между определенного рода кристаллическими плоскостями с индексами (h, k, l) и осью волокна (ось вращения плоскости в текстуре) с индексами (u, v, w).

Для кубической решетки

$$\cos \rho = \frac{u \cdot h + v \cdot o + w \cdot l}{\sqrt{u^2 + v^2 + w^2} \sqrt{h^2 + o^2 + l^2}}.$$

В табл. 71 приведены углы наклона наиболее важных кристаллических плоскостей кубических решеток к оси волокон.

Так как согласно Поляни (рис. 77)

$$\cos \rho = \cos \delta_0 \cdot \cos \theta,$$

то при малых углах отражения θ справедливо

$$\delta_0 \approx \rho.$$

Для непосредственного определения индексов оси текстуры могут быть применены снимки с различными углами наклона лучей к оси.

Если для получения отражения рентгеновские лучи должны падать на кристаллическую плоскость, перпендикулярную оси текстуры, под углом θ , то на снимке, для которого угол, образованный осью волокон с падающими лучами $\beta = 90 - \theta$, вверху на вертикальной линии в точке пересечения с одним из колец наблюдается интенсивное отражение. Последнее получается от плоскости, перпендикулярной к оси волокна, индексы которой могут быть определены по радиусу кольца.

В случае кубических решеток индексы оси волокон могут быть вычислены на основании одного снимка, если только на кольце плоскости октаэдра и на кольце плоскости куба встречается, по крайней мере, одна точка сгущения.

В случае произвольной октаэдрической точки (угол δ_1 на пластинке и соответствующий ему ρ_1) в качестве образующей плоскости рассматривается кристаллическая плоскость с индексами (I, I, I) .

Вследствие симметрии этой тройки индексов для последующих вычислений безразлично, приписать ли отражению от плоскости куба (углы δ_2 и ρ_2) индексы (100) или (010) или (001) . Искомые индексы (u, v, w) оси волокна получаются из уравнений:

$$\cos \rho_1 = \frac{u+v+w}{\sqrt{3} \sqrt{u^2+v^2+w^2}}$$

$$\cos \rho_2 = \frac{u}{\sqrt{u^2+v^2+w^2}}.$$

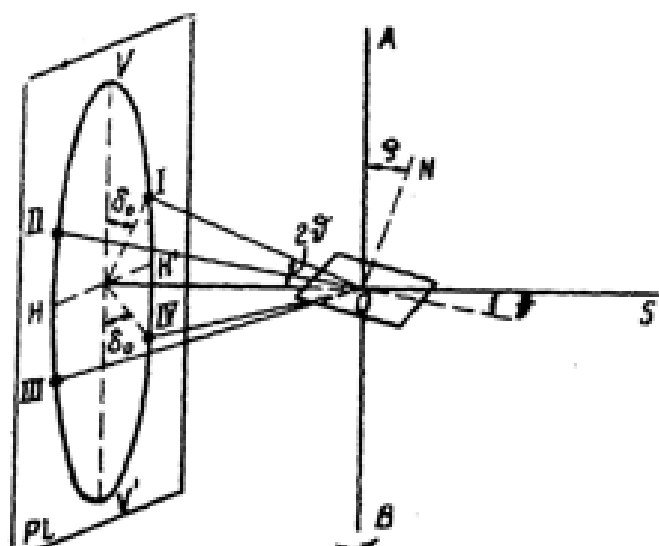


Рис. 77. Схема образования текстур-диаграммы.

Расшифровка ограниченной текстуры. Индексы трех направлений, характеризующих структуру вальцовки (направление вальцовки, поперечное направление и нормаль к плоскости вальцовки), могут быть определены для кубических решеток на основании одного только снимка с пучком лучей, перпендикулярным направлению вальцовки графическим методом.

Таблица 71

Угол наклона и фактор повторяемости H наиболее важных кристаллографических плоскостей в текстурднаграммах кубических кристаллов

О. В. (001)			О. В. (110)			О. В. (111)			О. В. (112)		
Крист. плоск.	Гра- дус	Н	Крист. плоск.	Гра- дус	Н	Крист. плоск.	Гра- дус	Н	Крист. плоск.	Гра- дус	Н
(100)	90	4	(100)	45	4	(100)	55	6	(001)	35	2
(010)			(010)	90	2	(010)			(100)	65	1
(001)			(001)			(001)			(010)		
(101)			(101)			(110)			(011)		
(101)	45	8	(101)	60	8	(101)	35	6	(101)	30	4
(011)			(011)			(011)			(110)	55	2
(011)			(011)			(110)			(101)		
(110)	90	4	(110)	90	2	(101)	90	6	(011)	73	4
(110)			(110)			(011)			(110)	90	2
(111)			(111)	36	4	(111)	71	6	(111)	62	1
(111)	55	8	(111)	90	4	(111)			(111)	90	2
(111)			(111)			(111)			(111)	90	2
(111)			(111)			(112)			(121)	34	4
(112)			(121)	40	8	(121)	19	6	(211)	48	4
(112)	35	8	и т. д.	55	4	(112)	82	12	и т. д.		
(112)			(112)			(112)			(121)		
(112)			(112)			(112)			(211)		
и т. д.	68	16	(211)	73	8	(112)	90	6	и т. д.	60	4
(211)			(211)			(121)			(211)		
и т. д.			и т. д.			и т. д.			(112)	71	2
			(112)	90	4	(112)			(121)		
			(112)			(112)			(211)		
									и т. д.		
(011)			(130)			(012)			(013)	25	4
(103)			(310)			(031)			(103)		
(013)	18	8	и т. д.	27	4	и т. д.	43	12	и т. д.		
(103)			(301)			(013)			(013)		
(031)			(031)	48	4	(031)	69	12	(103)	50	6
и т. д.	72	16	и т. д.			и т. д.			и т. д.		
(301)			(130)			(130)			(130)		
и т. д.			(310)			(310)			(310)	59	4
			и т. д.			и т. д.			и т. д.		
			(103)			(103)			(103)		
			(013)			(013)			(013)		
			и т. д.			и т. д.			и т. д.		
(113)			(311)			(113)			(301)	83	4
(113)			(131)			(131)			(113)	10	2
(113)	25	8	и т. д.	31	4	и т. д.	30	6	(131)	42	2
(113)			(311)			(113)			(311)		
(113)			(113)	65	16	(113)	59	12	(113)	61	6
(131)			и т. д.			и т. д.			(131)		
(311)	72	16	(113)	90	4	(113)	80	6	(131)	76	4
и т. д.			и т. д.			(151)			(311)		
						и т. д.			(131)	100	4
									и т. д.		

На основании данных табл. 71 находится ось текстуры.

Строятся углы отражения лучей, падающих перпендикулярно к оси вращения, на различные кристаллические плоскости, как функции угла вращения одного кристалла ϕ от 0 до 360° .

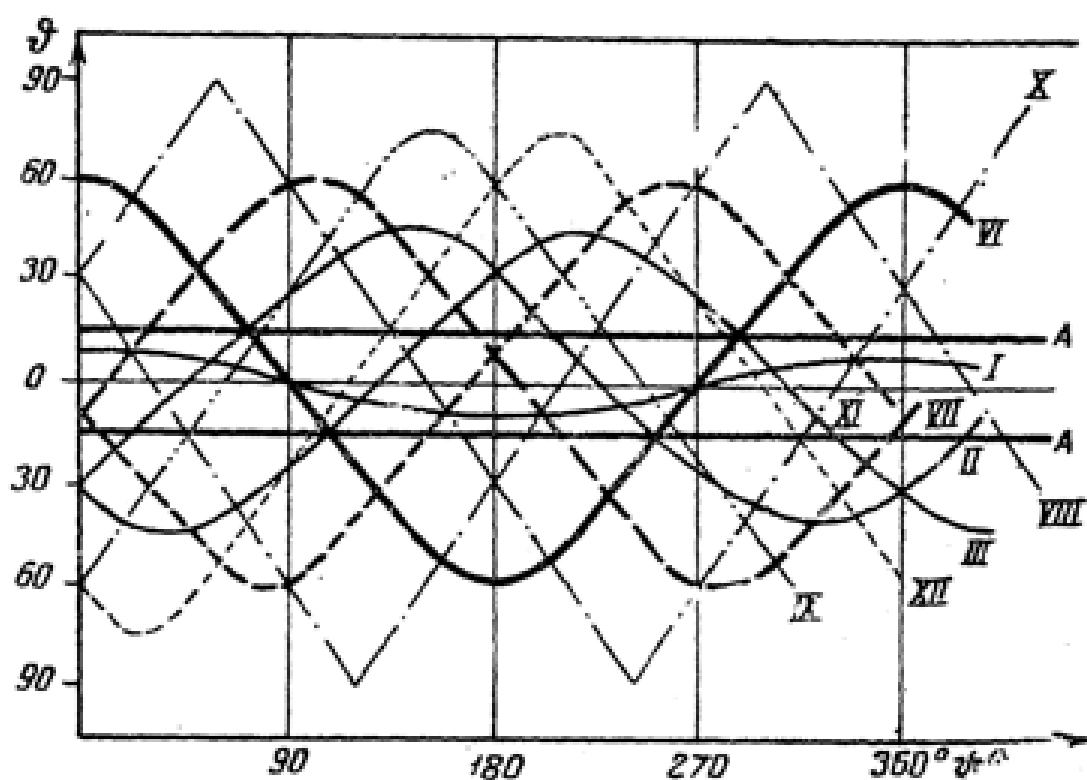


Рис. 78. Кривые вращения для оси вращения (112) плоскости куба.

Исходным направлением ($\psi = 0$) избирается кристаллографическое направление с простыми индексами (например 111).

На расстоянии $\pm \theta$ проводятся две прямые параллельные оси абсцисс (θ вычисляется из условия Бреггов по известным λ и d) и тем самым находятся возможные значения угла ϕ , а по ним индексы кристаллических плоскостей, дающих точки скопления на кольцах.

Другой способ определения положения кристаллов в структуре вальцовки заключается в нахождении полюсной фигуры на основании ряда снимков.

Определение положения отражающей кристаллической плоскости производится с помощью стереографической проекции, причем точки пересечения нормалей к плоскостям со сферой стереографически проектируются на плоскость, проходящую через нормаль к пластинке и поперечное направление ее.

Направление вальцовки при этом перпендикулярно к плоскости чертежа.

Очевидно, при беспорядочной ориентировке кристаллов весь круг полюсной фигуры (рис. 79) был бы заштрихован.

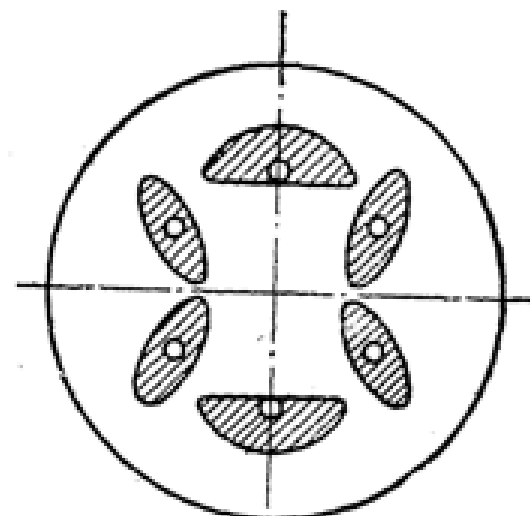


Рис. 79. Полюсная фигура по Веверу. Расположение плоскостей куба в фольгах вальцованного алюминия.

§ 5. Кристаллографические формулы

1. Кристаллографические системы осей и соответствующие элементы решетки

	Углы между гранями	
Отрезки осей abc	α, β, γ	$\alpha = \angle(b, c)$ и т. д.
Триклиническая система . . .	a, b, c	любые
Моноклиническая система . . .	a, b, c	" $\alpha = \gamma = 90^\circ, \beta$ любой
Ромбическая система . . .	a, b, c	$\alpha = \beta = \gamma = 90^\circ$
Гексагональная система . . .	$a = b, a$ и c	$\alpha = \beta = 90^\circ, \gamma = 120^\circ$
Ромбоэдрическая система (подразделение гекс. сист.)	$a = b = c, a$. . .	* $\alpha = \beta = \gamma, \alpha$ любое
Тетрагональная система . . .	$a = b, a$ и c . . .	$\alpha = \beta = \gamma = 90^\circ$
Кубическая система . . .	$a = b = c, a$. . .	$\alpha = \beta = \gamma = 90^\circ$

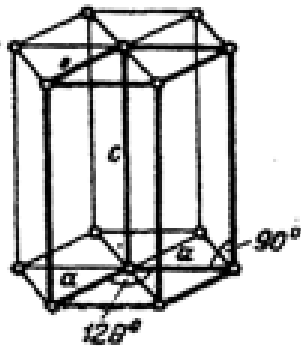


Рис. 80. Гексагональ-
ная ячейка.

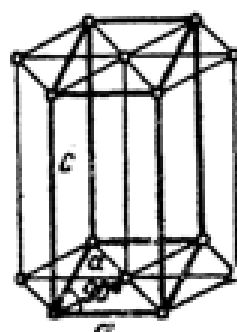


Рис. 81. Ортогексаго-
нальная ячейка.

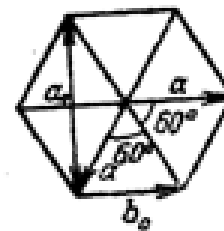


Рис. 82. Связь между
гексагональной и орто-
гексагональной ячей-
ками.

В некоторых случаях выгодно описать гексагональную кристаллическую структуру в прямоугольной, так называемой „ортогексагональной“ системе осей. Связь между гексагональными осями $a, c, \gamma = 120^\circ$ и ортогексагональными осями $a_0, b_0, c_0, \alpha_0 = \beta_0 = \gamma_0 = 90^\circ$ можно проследить по формам ячеек (рис. 80, 81, 82), так что мы имеем:

$$a_0 = a\sqrt{3}, \quad b_0 = a, \quad c_0 = c.$$

2. Связь между гексагональной и ромбоэдрической решетками

Гексагональная решетка, элементарная ячейка которой содержит, кроме узлового атома, еще два атома, расположенных согласно рис. 83 [координаты $(1/3, 2/3, 1/3)$ и $(2/3, 1/3, 2/3)$], может быть еще проще описана при помощи элементарной ячейки (содержащей лишь один атом) ромбоэдрического вида. Основная плоскость четырех гексагональных ячеек, вместе с проекциями лежащих на расстоянии $1/3$ или $2/3$ над нею атомов, изображена на рис. 84. На рис. 85 представлено положение ромбоэдрической ячейки. Из восьми угловых точек шести лежат на высоте $1/3$ или $2/3$ ребер гексагональной призмы основная плоскость которой изображена пунктирными линиями на рис. 84. Три исходящие от центра пунктирные линии на рис. 84 представляют собой проекцию трех ребер ромбоэдра (длины a_{Rh}), образующих между собою

равные углы α . Из длин ребер гексагональной призмы (a и c) можно вычислить a_{Rh} и α согласно следующему уравнению:

$$a_{Rh} = \sqrt{\frac{a^2}{3} + \frac{c^2}{9}} = a \sqrt{\frac{1}{3} + \left(\frac{c}{a}\right)^2 \cdot \frac{1}{9}},$$

$$2 \sin \frac{\alpha}{2} = \frac{1}{\sqrt{\frac{1}{3} + \left(\frac{c}{a}\right)^2 \cdot \frac{1}{9}}}.$$

Объем V элементарных ячеек различных систем пространственных решеток (параллелепипед с ребрами a , b , c и углами α , β , γ) может быть вычислен следующим образом:

Триклиниальная система,

$$V = abc \sqrt{1 - \cos^2 \alpha - \cos^2 \beta - \cos^2 \gamma + 2 \cos \alpha \cos \beta \cos \gamma}.$$

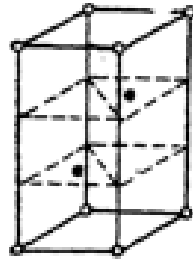


Рис. 83. Гексагональная решетка, расположение атомов которой удовлетворяет ромбоэдрическому условию.

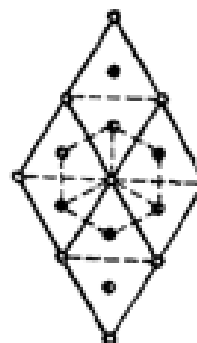


Рис. 84. Связь между гексагональной и ромбоэдрической решетками.

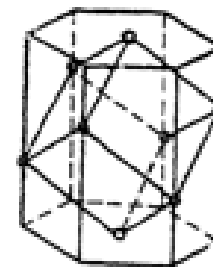


Рис. 85. Ромбоэдрическая решетка.

Моноклиническая $V = abc \sin \beta$.

Ромбическая система, $V = abc$.

Гексагональная система, $V = \frac{\sqrt{3}}{2} a^2 c$.

Ромбоэдрическая система (ромбоэдрическое подразделение гексагональной системы):

$$V = a^3 \sqrt{1 - 3 \cos^2 \alpha + 2 \cos^3 \alpha}.$$

Тетрагональная система,

$$V = a^2 c.$$

Кубическая система,

$$V = a^3.$$

Ортогексальная элементарная ячейка (рис. 81) в два раза больше гексагональной (рис. 83), а ромбоэдрическая — в три раза меньше последней.

3. Преобразование осей и индексов

Индексы (h, k, l) граней при переходе к другой системе осей превращаются в (h', k', l') ; если в старой системе координаты концов новых основных векторов равны

$$u_1, \quad v_1, \quad w_1, \quad u_2, \quad v_2, \quad w_2, \quad u_3, \quad v_3, \quad w_3,$$

то мы имеем:

$$\begin{aligned} h' &= u_1 h + v_1 k + w_1 l, \\ k' &= u_2 h + v_2 k + w_2 l, \\ l' &= u_3 h + v_3 k + w_3 l. \end{aligned}$$

Вычисленные таким образом индексы (h' , k' , l') могут еще иметь общий делитель.

Преобразование гексагональных индексов (h , k , l) в ортогексагональные h' , k' , l' .

$$\begin{aligned} h' &= k + 2h \quad \text{и обратно} \quad h = \frac{h' - k'}{2} \\ k' &= k \quad " \quad " \quad k = k' \\ l' &= l \quad " \quad " \quad l = l' \end{aligned}$$

Преобразование гексагональных индексов (h , k , l) в ромбоэдрические (p , q , r)

$$\begin{aligned} p &= 2h + k + l \quad \text{и обратно} \quad h = p - q \\ q &= k - h + l \quad k = q - r \\ r &= -2k - h + l \quad l = p + q + r. \end{aligned}$$

если отвлечься от наличия возможного общего делителя.

Преобразование ортогексагональных индексов (h' , k' , l') в ромбоэдрические (p , q , r)

$$\begin{aligned} p &= 2h' + 2l' \quad \text{и обратно} \quad h' = 2p - q - r \\ q &= -h' + 3k' + 2l' \quad k' = q - r \\ r &= -h' - 3k' + 2l' \quad l' = p + q + r. \end{aligned}$$

если отвлечься от наличия возможного общего делителя.

4. Расстояние между плоскостями и квадратичная форма

Расстояние d для плоскостей с индексами (h , k , l) может быть вычислено следующим образом из осей и углов между осями, причем

$$\begin{aligned} s_{11} &= b^2 c^2 \sin^2 \alpha & s_{12} &= abc^2 (\cos \alpha \cos \beta - \cos \gamma) \\ s_{22} &= a^2 c^2 \sin^2 \beta & s_{23} &= a^2 b c (\cos \beta \cos \gamma - \cos \alpha) \\ s_{33} &= a^2 b^2 \sin^2 \gamma & s_{13} &= ab^2 c (\cos \gamma \cos \alpha - \cos \beta) \end{aligned}$$

и

$$V^2 = a^2 b^2 c^2 (1 - \cos^2 \alpha - \cos^2 \beta - \cos^2 \gamma + 2 \cos \alpha \cos \beta \cos \gamma)$$

Триклиновая система

$$\frac{1}{d^2} = \frac{1}{V^2} [s_{11}h^2 + s_{22}k^2 + s_{33}l^2 + 2s_{12}hk + 2s_{23}kl + 2s_{13}hl].$$

Моноклинная система

$$\frac{1}{d^2} = \frac{h^2}{a^2 \sin^2 \beta} + \frac{k^2}{b^2} + \frac{l^2}{c^2 \sin^2 \beta} - \frac{2hl \cos \beta}{ac \sin^2 \beta}.$$

Ромбическая система

$$\frac{1}{d^2} = \left(\frac{h}{a}\right)^2 + \left(\frac{k}{b}\right)^2 + \left(\frac{l}{c}\right)^2.$$

Гексагональная система¹

$$\frac{1}{d^2} = \frac{4}{3} \frac{h^2 + k^2 + hk}{a^2} + \frac{l^2}{c^2}.$$

Ортогексагональная система

$$\frac{1}{d^2} = \frac{1}{3} \left(\frac{h}{a} \right)^2 + \left(\frac{k}{a} \right)^2 + \left(\frac{l}{c} \right)^2.$$

Ромбоэдрическая система

$$\frac{1}{d^2} = \frac{(h^2 + k^2 + l^2) \sin^2 \alpha + 2(hk + kl + hl)(\cos^2 \alpha - \cos \alpha)}{a^2(1 - 3 \cos^2 \alpha + 2 \cos^3 \alpha)}.$$

Тетрагональная система

$$\frac{1}{d^2} = \frac{h^2 + k^2}{a^2} + \frac{l^2}{c^2}.$$

Кубическая система

$$\frac{1}{d^2} = \frac{h^2 + k^2 + l^2}{a^2}.$$

Если же в эти уравнения вставить по порядку простейшие целые числа для h, k, l , то можно получить все возможные плоские решетки.

Из брегговского закона отражения:

$$\lambda = 2d \sin \theta$$

следует, что угол отражения θ всех граней (h, k, l) любой решетки должен подчиняться уравнению следующего вида:

Квадратичная форма триклинической решетки

$$\sin^2 \theta = \frac{\lambda^2}{4} \cdot \frac{1}{V^2} \{ s_{11} h^2 + s_{22} k^2 + s_{33} l^2 + 2s_{12} hk + 2s_{23} kl + 2s_{13} hl \}.$$

Частные случаи:

Гексагональная система:

$$\sin^2 \theta = \frac{\lambda^2}{4} \left\{ \frac{4}{3} \frac{h^2 + k^2 + hk}{a^2} + \frac{l^2}{c^2} \right\}.$$

Ромбическая система:

$$\sin^2 \theta = \frac{\lambda^2}{4} \left\{ \left(\frac{h}{a} \right)^2 + \left(\frac{k}{b} \right)^2 + \left(\frac{l}{c} \right)^2 \right\}.$$

Отсюда тетрагональная система для $a = b$.

" кубическая " " " $a = b = c$.

5. Угол между двумя гранями кристалла

$\angle \varphi$ есть угол, который образуют нормали к обеим граням (h, k, l) и (h', k', l'); d и d' — расстояние между параллельными гранями, V — объем элементарной ячейки решетки. Значение s_{11}, s_{22} и т. д., как и в предыдущем отделе.

¹ В случае обычного гексагонального обозначения тремя индексами (h, k, l) не всегда можно сразу узнать, каким плоскостям решетки соответствует одинаковое d , например (102) и (112) и (102). Если, однако, нужно писать 4 индекса (h, k, l, l'), то, вследствие симметрии гексагональной системы путем перестановки индексов h, k, l, l' могут быть получены все однозначные плоскости трех побочных осей; так, например, значениям (1012) соответствуют эквивалентные плоскости (1102) и (1012); если опустить 3-й индекс, то получаются однозначные плоскости с равными d (102) и (102) и (102).

Триклиниальная система:

$$\cos \varphi = \frac{d \cdot d'}{V^2} [s_{11}h_1h_2 + s_{22}k_1k_2 + s_{33}l_1l_2 + s_{23}(k_1l_2 + k_2l_1) + s_{13}(l_1h_2 + l_2h_1) + s_{12}(h_1k_2 + k_2h_1)].$$

Частные случаи:

Гексагональная система:

$$\cos \varphi = \frac{h_1h_2 + k_1k_2 + \frac{1}{2}(h_1k_2 + h_2k_1) + \frac{3a^2}{4c^2} \cdot l_1l_2}{\sqrt{\left(h_1^2 + k_1^2 + h_1k_1 + \frac{3a^2}{4c^2} \cdot l_1^2\right)\left(h_2^2 + k_2^2 + h_2k_2 + \frac{3a^2}{4c^2} \cdot l_2^2\right)}}.$$

Ромбическая система:

$$\cos \varphi = \frac{\frac{h_1h_2}{2} + \frac{k_1k_2}{h_2^2} + \frac{l_1l_2}{c^2}}{\sqrt{\left[\left(\frac{h_1}{a}\right)^2 + \left(\frac{k_1}{b}\right)^2 + \left(\frac{l_1}{c}\right)^2\right] \left[\left(\frac{h_2}{a}\right)^2 + \left(\frac{k_2}{b}\right)^2 + \left(\frac{l_2}{c}\right)^2\right]}}.$$

Отсюда тетрагональная система для $a = b$.

,, кубическая ,,, ,,, $a = b = c$.

6. Угол между двумя прямыми и в частности между ребрами кристалла

Угол ψ , который образует между собой две прямые¹ с индексами (u_1, v_1, w_1) и (u_2, v_2, w_2) , может быть вычислен из

$$\cos \psi = f(u_1, u_2, v_1, v_2, w_1, w_2, a, b, c, \alpha, \beta, \gamma).$$

Общая форма функции f найдется: Ниггли (Niggli). Учебник минералогии.

Частные случаи:

Гексагональная система:

$$\cos \psi = \frac{u_1u_2 + v_1v_2 - \frac{1}{2}(u_1v_2 + u_2v_1) + w_1w_2 \left(\frac{c}{a}\right)^2}{\sqrt{u_1^2 + v_1^2 - u_1v_1 + w_1^2 \left(\frac{c}{a}\right)^2} \sqrt{u_2^2 + v_2^2 - u_2v_2 + w_2^2 \left(\frac{c}{a}\right)^2}}.$$

Ромбическая система:

$$\cos \psi = \frac{u_1u_2a^2 + v_1v_2b^2 + w_1w_2c^2}{\sqrt{u_1^2a^2 + v_1^2b^2 + w_1^2c^2} \sqrt{u_2^2a^2 + v_2^2b^2 + w_2^2c^2}}.$$

Отсюда тетрагональная система для $a = b$.

,, кубическая ,,, ,,, $a = b = c$.

7. Расстояние между соседними точками по выбранному направлению трансляционных решеток

Расстояние J_e между соседними точками на прямой (u, v, w) в случае "простых трансляционных решеток":

$$J_e^2 = u^2a^2 + v^2b^2 + w^2c^2 + 2uvab \cos \gamma + 2vwbc \cos \alpha + 2wuca \cos \beta$$

триклиниальная решетка.

¹ Направление прямой с индексами (u, v, w) обычно отличается от направления нормалей к граням с равными индексами (u, v, w) ; только в кубической системе оба направления совпадают.

О П Е Ч А Т К И

<i>Страница</i>	<i>Строка</i>	<i>Напечатано</i>	<i>Должно быть</i>
197	12 сверху	(110)	(1 $\bar{1}$ 0)
197	14 "	(110), (101), (011)	($\bar{1}$ 10) ($\bar{1}01$) ($\bar{0}11$)
197	15—16 сверху	(111), (111), (111) (111)	(111) ($\bar{1}\bar{1}1$) ($\bar{1}\bar{1}\bar{1}$) (111)
197	сноска	переменить у	переменить знак у

Справочн. по рентгеном.

Частные случаи:

Гексагональная система:

$$J_e = a \sqrt{u^2 + v^2 - uv + w^2 \left(\frac{c}{a}\right)^2}.$$

Ромбическая система:

$$J_e = \sqrt{u^2 a^2 + v^2 b^2 + w^2 c^2}.$$

Отсюда тетрагональная система для $a = b$.

" кубическая " " " $a = b = c$.

В случае сложных трансляционных решеток с центрированными основаниями, центрированными гранями и центрированными ячейками трансляционных групп получаем следующие отклонения:

$$\begin{aligned} & \text{в случае центрирования} \\ & \text{основания граней } \Gamma_m, \Gamma_v \quad \left\{ J_{bz} = \frac{1}{2} J_e \quad \text{для прямых} \right. \begin{cases} (110), (110) \\ (110), (101), (011) \\ (110), (101), (011) \end{cases} \\ & \text{центрированных граней } \Gamma_v, \Gamma_c \quad \left\{ J_{fx} = \frac{1}{2} J_e \quad \text{для прямых} \right. \begin{cases} (110), (101), (011) \\ (110), (101), (011) \end{cases} \\ & \text{центрированных ячеек } \Gamma_v, \Gamma_q, \Gamma_c \quad \left\{ I_{rz} = \frac{1}{2} I_e \quad \text{для прямой} \right. \begin{cases} (111), (111), (111), \\ \quad (111) \end{cases} \end{aligned}$$

8. Закон зон

Под "зоной" подразумеваются все плоскости кристалла, параллельные однородной прямой; эта прямая называется "осью зоны".

Плоскость (h, k, l) принадлежит в зоне (u, v, w) , т. е. нормаль к плоскости перпендикулярна оси зоны (u, v, w) , если:

$$uh + vk + wl = 0.$$

Для определения индексов (h, k, l) плоскости, о которой известно, что она принадлежит обеим зонам (u_1, v_1, w_1) и (u_2, v_2, w_2) , индексы оси зоны пишутся следующим образом: первые и последние члены отделяются, а средняя часть вычисляется из формулы теории определителей:

$$\begin{array}{c|ccccc|cc} u_1 & v_1 & w_1 & u_1 & v_1 & w_1 \\ \hline u_2 & v_2 & w_2 & u_2 & v_2 & w_2 \end{array}$$

Имеем, следовательно:

$$h : k : l = (v_1 w_2 - v_2 w_1) : (w_1 u_2 - w_2 u_1) : (u_1 v_2 - u_2 v_1).$$

Индексы (u, v, w) прямой, которая лежит одновременно в плоскости (h_1, k_1, l_1) и в плоскости (h_2, k_2, l_2) , т. е. индексы оси зон могут быть вычислены аналогичным образом:

$$\begin{array}{c|ccccc|cc} h_1 & k_1 & l_1 & h_1 & k_1 & l_1 \\ \hline h_2 & k_2 & l_2 & h_2 & k_2 & l_2 \end{array}$$

а именно:

$$u : v : w = (k_1 l_2 - k_2 l_1) : (l_1 h_2 - l_2 h_1) : (h_1 k_2 - h_2 k_1).$$

Закон зон употребляется при расчете рентгенограммы Лауэ.

¹ И для прямых, которые получаются из написанных, если перменить у написанных индексов.

9. Структурный множитель

Если координаты атомов в элементарной ячейке выражены в дробных долях длины ребер (m_1, n_1, p_1) (m_2, n_2, p_2) и т. д. и атомные номера различных встречающихся в решетке видов атомов A, B и т. д., то тогда структурный множитель равен

$$\Sigma = A e^{2\pi i (m_1 h + n_1 k + p_1 l)} + B e^{2\pi i (m_2 h + n_2 k + p_2 l)} + \dots,$$

где (h, k, l) обозначают индексы отражающих граней.

Решетка пространственно-центрированного куба

2 одинаковых атома: (000) и $\left(\frac{1}{2} \frac{1}{2} \frac{1}{2}\right)$

$$\Sigma = 2 e^{\pi i (h+k+l)}$$

$$\begin{aligned} \Sigma &= 0 \text{ для } h+k+l = 2n+1 \\ \Sigma &= 2 \text{ для } h+k+l = 2n \end{aligned} \quad \left. \begin{array}{l} n = 0, 1, 2, 3, 4 \dots \end{array} \right.$$

Кубическая решетка с центрированными гранями

4 одинаковых атома: (000), $\left(\frac{1}{2} \frac{1}{2} 0\right)$, $\left(\frac{1}{2} 0 \frac{1}{2}\right)$, $\left(0 \frac{1}{2} \frac{1}{2}\right)$

$$\Sigma = 1 + e^{\pi i (h+k)} + e^{\pi i (k+l)} + e^{\pi i (h+l)}$$

$\Sigma = 0$, если h, k, l числа "смешанные" по четности

$\Sigma = 4$, если h, k, l числа четные или все нечетные.

Тип хлористого цезия

Два разных атома: A (000), B $\left(\frac{1}{2} \frac{1}{2} \frac{1}{2}\right)$.

$$\Sigma = A + B e^{\pi i (h+k+l)}$$

$$\Sigma = A + B, \text{ если } h+k+l = 2n$$

$$\Sigma = A - B, \text{,, } h+k+l = 2n+1 \quad \left. \begin{array}{l} n = 0, 1, 2, 3 \dots \end{array} \right.$$

Если A приблизительно равно B , то на снимке большую частью не получаются отражения от граней с суммой индексов $2n+1$.

Тип цинковой обманки

4 атома двух родов, каждый размещен в решетке с центрированными гранями: одна относительно другой сдвинута в направлении диагонали куба на $\frac{1}{4}$.

$$A (000) \left(0 \frac{1}{2} \frac{1}{2}\right) \left(\frac{1}{2} 0 \frac{1}{2}\right) \left(\frac{1}{2} \frac{1}{2} 0\right)$$

$$B \left(\frac{1}{4} \frac{1}{4} \frac{1}{4}\right) \left(\frac{1}{4} \frac{3}{4} \frac{3}{4}\right) \left(\frac{3}{4} \frac{1}{4} \frac{3}{4}\right) \left(\frac{3}{4} \frac{3}{4} \frac{1}{4}\right).$$

$$\Sigma = A [1 + e^{\pi i (h+k)} + e^{\pi i (k+l)} + e^{\pi i (h+l)}] +$$

$$+ B \left[e^{\frac{\pi i}{2} (h+k+l)} + e^{\frac{\pi i}{2} (h+3k+3l)} + e^{\frac{\pi i}{2} (3h+k+3l)} + e^{\frac{\pi i}{2} (3h+3k+l)} \right]$$

$$\Sigma = \left(A + B e^{\frac{\pi i}{2} (h+k+l)}\right) (1 + e^{\pi i (h+k)} + e^{\pi i (k+l)} + e^{\pi i (h+l)});$$

2-й множитель представляет собой то же выражение, как и в решётке с центрированными гранями

$$\Sigma = 0, \text{ если } h, k, l \text{ числа разной четности}$$

$$\Sigma = 4(A - B), \text{ если } h, k, l \text{ числа одинаковой четности}$$

и, если

$$h + k + l = 4n + 2$$

$$\Sigma = 4(A + B), \text{ если } h, k, l \text{ числа одинаковой четности}$$

и, если

$$h + k + l = 4n$$

$$\Sigma = 4(A \pm iB)^1, \text{ если } h, k, l \text{ числа одинаковой четности}$$

и, если

$$h + k + l = 4n \pm 1.$$

Частный случай: алмаз $A = B$ дает $|\Sigma| = 0$
или $8A$ или $4A\sqrt{2}$.

Тип каменной соли

4 атома, двух родов каждый, размещены в решётке с центрированными гранями, начальные точки которых передвинуты друг относительно друга в направлении диагоналей куба на $\frac{1}{2}$.

$$A(000) \left(0 \frac{1}{2} \frac{1}{2}\right) \left(\frac{1}{2} 0 \frac{1}{2}\right) \left(\frac{1}{2} \frac{1}{2} 0\right)$$

$$B\left(\frac{1}{2} \frac{1}{2} \frac{1}{2}\right) \left(\frac{1}{2} 00\right) \left(0 \frac{1}{2} 0\right) \left(00 \frac{1}{2}\right)$$

$$\Sigma = (A + Be^{\pi i(h+k+l)}) (1 + e^{\pi i(h+k)} + e^{\pi i(k+l)} + e^{\pi i(h+l)})$$

$\Sigma = 0$, если h, k, l числа разной четности

$$\Sigma = 4(A + B), \text{ если } h, k, l \text{ числа одинаковой четности}$$

и $h + k + l = 2n$

$$\Sigma = (4A - B), \text{ если } h, k, l \text{ числа одинаковой четности}$$

и $h + k + l = 2n + 1$

Тип плавикового шпата

4 атома A и дважды четыре атома B заполняют каждую ячейку с центрированными гранями, начальные точки которых сдвинуты в направлении диагоналей куба на $+\frac{1}{4}$ и $-\frac{1}{4}$.

$$A(000) \left(0 \frac{1}{2} \frac{1}{2}\right) \left(\frac{1}{2} 0 \frac{1}{2}\right) \left(\frac{1}{2} \frac{1}{2} 0\right)$$

$$B\left(-\frac{1}{4} \frac{1}{4} \frac{1}{4}\right) \left(\frac{1}{4} -\frac{3}{4} \frac{3}{4}\right) \left(\frac{3}{4} \frac{1}{4} -\frac{3}{4}\right) \left(\frac{3}{4} -\frac{3}{4} \frac{1}{4}\right)$$

$$B\left(\frac{3}{4} -\frac{3}{4} -\frac{3}{4}\right) \left(-\frac{3}{4} \frac{1}{4} \frac{1}{4}\right) \left(\frac{1}{4} \frac{3}{4} -\frac{1}{4}\right) \left(\frac{1}{4} -\frac{1}{4} -\frac{3}{4}\right)$$

¹ Тем самым. $|\Sigma| = 4\sqrt{(A^2 + B^2)}$

Структурный множитель может быть кратко записан следующим образом.

$$\Sigma = (A + Be^{\frac{\pi i}{2}(h+k+l)} [1 + e^{\pi i(h+k+l)}]) (1 + e^{\pi i(h+k)} + e^{\pi i(h+l)} + e^{\pi i(h-k)}).$$

$\Sigma = 0$, если h, k, l числа разной четности.
 $\Sigma = 4(A + 2B)$, если h, k, l числа одинаковой четности
и $h+k+l = 4n$.
 $\Sigma = 4(A - 2B)$, если h, k, l числа одинаковой четности
и $h+k+l = 4n+2$.
 $\Sigma = 4A$, если h, k, l числа одинаковой четности
и $h+k+l = 4n \pm 1$.

Тип куприта

Атомы сорта A образуют решетку центрированного куба, атомы B — решетку куба с центризованными гранями, начальные точки обоих решеток сдвинуты на $\frac{1}{4}$ в направлении диагоналей куба.

$$A(000) \left(\frac{1}{2} \frac{1}{2} \frac{1}{2} \right)$$

$$B \left(\frac{1}{4} \frac{1}{4} \frac{1}{4} \right) \left(\frac{3}{4} \frac{3}{4} \frac{1}{4} \right) \left(\frac{3}{4} \frac{1}{4} \frac{3}{4} \right) \left(\frac{1}{4} \frac{3}{4} \frac{3}{4} \right).$$

$$\Sigma = A(1 + e^{\pi i(h+k+l)}) + Be^{\frac{\pi i}{2}(h+k+l)} (1 + e^{\pi i(h+k)} + e^{\pi i(h+l)} + e^{\pi i(h-k)}).$$

$\Sigma = 0$, если h, k, l числа разной четности
и $h+k+l = 2n+1$.
 $\Sigma = A$, если h, k, l числа разной четности
и $h+k+l = 2n$.
 $\Sigma = 2A + 4B$, если h, k, l числа одинаковой четности
и $h+k+l = 4n$.
 $\Sigma = 2A - 4B$, если h, k, l числа одинаковой четности
и $h+k+l = 4n+2$.
 $\Sigma = 4B$, если h, k, l числа одинаковой четности
и $h+k+l = 4n \pm 1$.

Гексагональная наиболее плотная шаговая упаковка

2 одинаковых атома с координатами $(000) \left(\frac{1}{3} \frac{2}{3} \frac{1}{2} \right)$.

$$\Sigma = 1 + e^{\frac{\pi i}{3}(2h+4k+3l)} = 1 + e^{\pi i h} e^{\frac{\pi i}{3}(2h+4k)}.$$

$\Sigma = 0$, если l нечетное число
и $h+2k = 3n$.
 $\Sigma = \sqrt{3}$, если l нечетное число
и $h+2k = 3n+1$ или $3n+2$.
 $\Sigma = 2$, если l четное число
и $h+2k = 3n$.
 $\Sigma = 1$, если l четное число
и $h+2k = 3n+1$ или $3n+2$.

10. Условие ромбоэдра

Гексагональная решетка, содержащая в элементарной ячейке еще два атома с гексагональными координатами $\left(\frac{1}{3}, \frac{2}{3}, \frac{1}{3}\right)$ и $\left(\frac{2}{3}, \frac{1}{3}, -\frac{2}{3}\right)$, может быть проще описана с помощью ромбоэдрической решетки.

Структурный множитель в гексагональных координатах равен:

$$\Sigma = 1 + e^{\frac{2\pi i}{3}(h+2k+l)} + e^{\frac{2\pi i}{3}(2h+k+2l)}$$

$$\Sigma = 0, \text{ если } h - k + l = 3n \pm 1, n = 0, 1, 2, 3 \dots,$$

иными словами, если $h - k + l$ не делится без остатка на число 3, то все линии отсутствуют.

Следовательно, если рентгенограмма гексагонального кристалла содержит только такие линии, для которых при гексагональном индексировании имеют место

$$\begin{aligned} & \text{или } h - k + l = 3n \\ & \text{или, } k - h + l = 3n \end{aligned} \quad n = 0, 1, 2, 3 \dots,$$

(ромбоэдрическое условие), то структура решетки может быть описана ромбоэдрической решеткой.

Вторая форма ромбоэдрического условия, которая может быть получена путем перестановки индексов h и k , а именно:

$$k - h + l = 3n,$$

соответствует другой установке ромбоэдра; координаты двух внутренних атомов равны $\left(\frac{2}{3}, \frac{1}{3}, \frac{1}{3}\right)$ и $\left(\frac{1}{3}, \frac{2}{3}, -\frac{2}{3}\right)$.

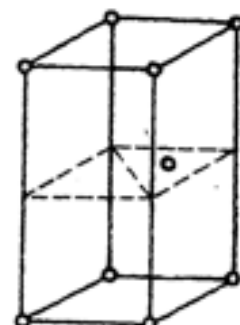


Рис. 86. Ячейка плотнейшей гексагональной решетки.

ЛИТЕРАТУРНЫЙ УКАЗАТЕЛЬ

R. Glocker. Materialprüfung mit Röntgenstrahlen, 1927 (перевод — 1932 г.).

Лгее в. Рентгенография металлов и сплавов, 1931.

Александер и Хевеши. Химический анализ рентгеновскими лучами, 1933.

Zeitschrift für Physik.

Zeitschrift für Kristallographie.

Annalen der Physik.

Zeitschrift für physikalische Chemie

Zeitschrift für anorganische Chemie.

Zeitschrift für Metallkunde.

МАТЕМАТИЧЕСКИЕ ВЕЛИЧИНЫ

Некоторые числовые значения

$$\begin{aligned}\pi &= 3,14159 \\ \pi^2 &= 9,86960 \\ \pi^3 &= 31,00628 \\ \sqrt{\pi} &= 1,77245 \\ \sqrt[3]{\pi} &= 1,46459 \\ \pi \sqrt{\pi} &= 5,56833 \\ \pi \sqrt[3]{2} &= 4,44288 \\ \frac{\pi}{\sqrt{2}} &= 2,22144 \\ e &= 2,71828 \\ e^2 &= 7,38906 \\ e^3 &= 20,08553 \\ \sqrt{e} &= 1,64872 \\ \sqrt[3]{e} &= 1,39561\end{aligned}$$

Таблица логарифмов

	0	1	2	3	4	5	6	7	8	9	1	2	3	4	5	6	7	8	9
10	0000	0043	0086	0128							4	9	13	17	21	26	30	34	38
11	0414	0453	0492	0531	0170	0212	0253	0294	0334	0374	4	8	12	16	20	24	28	32	36
12	0792	0828	0864	0899	0569	0607	0645	0682	0719	0755	4	8	12	15	19	23	27	31	35
13	1139	1173	1206	1239	0934	0969	1004	1038	1072	1106	3	7	11	14	18	21	25	28	32
14	1461	1492	1523	1553	1271	1303	1335	1367	1399	1430	3	7	10	14	17	20	24	27	31
15	1761	1790	1818	1847	1875	1903	1931	1959	1987	2014	3	6	9	11	14	17	20	23	26
16	2041	2068	2095	2122	2148	2175	2201	2227	2253	2279	3	5	8	11	14	16	19	22	25
17	2304	2330	2355	2380	2405	2430	2455	2480	2504	2529	3	5	8	10	13	16	18	21	23
18	2553	2577	2601	2625	2648	2672	2695	2718	2742	2765	2	5	7	10	12	15	17	20	22
19	2783	2810	2833	2856	2878	2900	2923	2945	2967	2989	2	4	6	8	11	13	16	18	20
20	3010	3032	3054	3075	3096	3118	3139	3160	3181	3201	2	4	6	8	11	13	15	17	19
21	3222	3243	3263	3284	3304	3324	3345	3365	3385	3404	2	4	6	8	10	12	14	16	18
22	3424	3444	3464	3483	3502	3522	3541	3560	3579	3598	2	4	6	8	10	12	14	15	17
23	3617	3636	3655	3674	3692	3711	3729	3747	3766	3784	2	4	6	7	9	11	13	15	17
24	3802	3820	3838	3856	3874	3892	3909	3927	3945	3962	2	4	5	7	9	11	12	14	16
25	3979	3997	4014	4031	4048	4065	4082	4099	4116	4133	2	3	5	7	9	10	12	14	15
26	4150	4166	4183	4200	4216	4232	4249	4265	4281	4298	2	3	5	7	8	10	11	13	15
27	4314	4330	4346	4362	4378	4393	4409	4425	4440	4456	2	3	5	6	8	9	11	13	14
28	4472	4487	4502	4518	4533	4548	4564	4579	4594	4609	2	3	5	6	8	9	11	12	14
29	4624	4639	4654	4669	4683	4698	4713	4728	4742	4757	1	3	4	6	7	9	10	12	13
30	4771	4786	4800	4814	4829	4843	4857	4871	4886	4900	1	3	4	6	7	9	10	11	13
31	4914	4928	4942	4955	4969	4983	4997	5011	5024	5038	1	3	4	6	7	8	10	11	12
32	5051	5065	5079	5092	5105	5119	5132	5145	5159	5172	1	3	4	5	7	8	9	11	12
33	5185	5198	5211	5224	5237	5250	5263	5276	5289	5302	1	3	4	5	6	8	9	10	12
34	5315	5328	5340	5353	5366	5378	5391	5403	5416	5428	1	3	4	5	6	8	9	10	11
35	5441	5453	5465	5478	5490	5502	5514	5527	5539	5551	1	2	4	5	6	7	9	10	11
36	5563	5575	5587	5599	5611	5623	5635	5647	5658	5670	1	2	4	5	6	7	8	10	11
37	5652	5694	5705	5717	5729	5740	5752	5763	5775	5786	1	2	3	5	6	7	8	9	10
38	5798	5809	5821	5832	5843	5855	5866	5877	5888	5899	1	2	3	5	6	7	8	9	10
39	5911	5922	5933	5944	5955	5966	5977	5988	5999	6010	1	2	3	4	5	7	8	9	10
40	6021	6031	6042	6053	6064	6075	6085	6096	6107	6117	1	2	3	4	5	6	8	9	10
41	6128	6138	6149	6160	6170	6180	6191	6201	6212	6222	1	2	3	4	5	6	7	8	9
42	6232	6243	6253	6263	6274	6284	6294	6304	6314	6325	1	2	3	4	5	6	7	8	9
43	6335	6345	6355	6365	6375	6385	6395	6405	6415	6425	1	2	3	4	5	6	7	8	9
44	6435	6444	6454	6464	6474	6484	6493	6503	6513	6522	1	2	3	4	5	6	7	8	9
45	6532	6442	6551	6561	6571	6580	6590	6599	6609	6618	1	2	3	4	5	6	7	8	9
46	6628	6637	6646	6656	6666	6675	6684	6693	6702	6712	1	2	3	4	5	6	7	7	8
47	6721	6730	6739	6749	6758	6767	6776	6785	6794	6803	1	2	3	4	5	5	6	6	7
48	6812	6821	6830	6839	6848	6857	6866	6875	6884	6893	1	2	3	4	4	5	6	6	7
49	6902	6911	6920	6928	6937	6946	6955	6964	6972	6981	1	2	3	4	4	5	6	7	8

	0	1	2	3	4	5	6	7	8	9	1	2	3	4	5	6	7	8	9
50	6990	6998	7007	7016	7024	7033	7042	7050	7059	7067	1	2	3	3	4	5	6	7	8
51	7076	7084	7093	7101	7110	7118	7126	7135	7143	7152	1	2	3	3	4	5	6	7	8
52	7160	7168	7177	7185	7193	7202	7210	7218	7226	7235	1	2	2	3	4	5	6	7	7
53	7243	7251	7259	7267	7275	7284	7292	7300	7308	7316	1	2	2	3	4	5	6	6	7
54	7324	7332	7340	7348	7356	7364	7372	7380	7388	7396	1	2	2	3	4	5	6	6	7
55	7404	7412	7419	7427	7435	7443	7451	7459	7466	7474	1	2	2	3	4	5	5	6	7
56	7482	7490	7497	7505	7513	7520	7528	7536	7543	7551	1	2	2	3	4	5	5	6	7
57	7559	7566	7574	7582	7589	7597	7604	7612	7619	7627	1	2	2	3	4	5	5	6	7
58	7634	7642	7649	7657	7664	7672	7679	7686	7694	7701	1	1	2	3	4	4	5	6	7
59	7709	7716	7723	7731	7738	7745	7752	7760	7767	7774	1	1	2	3	4	4	5	6	7
60	7782	7789	7796	7803	7810	7818	7825	7832	7839	7846	1	1	2	3	4	4	5	6	6
61	7853	7860	7868	7875	7882	7889	7896	7903	7910	7917	1	1	2	3	4	4	5	6	6
62	7924	7931	7938	7945	7952	7959	7966	7973	7980	7987	1	1	2	3	3	4	5	6	6
63	7993	8000	8007	8014	8021	8028	8035	8041	8048	8055	1	1	2	3	3	4	5	5	6
64	8062	8069	8075	8082	8089	8096	8102	8109	8116	8122	1	1	2	3	3	4	5	5	6
65	8129	8136	8142	8149	8156	8162	8169	8176	8182	8189	1	1	2	3	3	4	5	5	6
66	8195	8202	8209	8215	8222	8228	8235	8241	8248	8254	1	1	2	3	3	4	5	5	6
67	8261	8267	8274	8280	8287	8293	8299	8306	8313	8319	1	1	2	3	3	4	5	5	6
68	8325	8331	8338	8344	8351	8357	8363	8370	8376	8382	1	1	2	3	3	4	4	5	6
69	8388	8395	8401	8407	8414	8420	8426	8432	8439	8445	1	1	2	2	3	4	4	5	6
70	8451	8457	8463	8470	8476	8482	8488	8494	8500	8506	1	1	2	2	3	4	4	5	6
71	8513	8519	8525	8531	8537	8543	8549	8555	8561	8567	1	1	2	2	3	4	4	5	5
72	8573	8579	8585	8591	8597	8603	8609	8615	8621	8627	1	1	2	2	3	4	4	5	5
73	8633	8639	8645	8651	8657	8663	8669	8675	8681	8686	1	1	2	2	3	4	4	5	5
74	8692	8698	8704	8710	8716	8722	8727	8733	8739	8745	1	1	2	2	3	4	4	5	5
75	8751	8756	8762	8768	8774	8779	8785	8791	8797	8802	1	1	2	2	3	3	4	5	5
76	8808	8814	8820	8825	8831	8837	8842	8848	8854	8859	1	1	2	2	3	3	4	5	5
77	8865	8871	8876	8882	8887	8893	8899	8904	8910	8915	1	1	2	2	3	3	4	4	5
78	8921	8927	8932	8938	8943	8949	8954	8960	8965	8971	1	1	2	2	3	3	4	4	5
79	8976	8982	8987	8993	8998	9004	9009	9015	9020	9025	1	1	2	2	3	3	4	4	5
80	9031	9036	9042	9047	9053	9058	9063	9069	9074	9079	1	1	2	2	3	3	4	4	5
81	9085	9090	9096	9101	9106	9112	9117	9122	9128	9133	1	1	2	2	3	3	4	4	5
82	9138	9143	9149	9154	9159	9165	9170	9175	9180	9186	1	1	2	2	3	3	4	4	5
83	9191	9196	9201	9206	9212	9217	9222	9227	9232	9238	1	1	2	2	3	3	4	4	5
84	9243	9248	9253	9258	9263	9269	9274	9279	9284	9289	1	1	2	2	3	3	4	4	5
85	9294	9299	9304	9309	9315	9320	9325	9330	9335	9340	1	1	2	2	3	3	4	4	5
86	9345	9350	9355	9360	9365	9370	9375	9380	9385	9390	1	1	2	2	3	3	4	4	5
87	9395	9400	9405	9410	9415	9420	9425	9430	9435	9440	0	1	1	2	2	3	3	4	4
88	9445	9450	9455	9460	9465	9469	9474	9479	9484	9489	0	1	1	2	2	3	3	4	4
89	9494	9499	9504	9509	9513	9518	9523	9528	9533	9538	0	1	1	2	2	3	3	4	4
90	9542	9547	9552	9557	9562	9567	9571	9576	9581	9586	0	1	1	2	2	3	3	4	4
91	9590	9595	9600	9605	9609	9614	9619	9624	9628	9633	0	1	1	2	2	3	3	4	4
92	9638	9643	9647	9652	9657	9661	9666	9671	9675	9680	0	1	1	2	2	3	3	4	4
93	9685	9689	9694	9699	9703	9708	9713	9717	9722	9727	0	1	1	2	2	3	3	4	4
94	9731	9736	9741	9745	9750	9754	9759	9763	9768	9773	0	1	1	2	2	3	3	4	4
95	9777	9782	9786	9791	9795	9800	9805	9809	9814	9818	0	1	1	2	2	3	3	4	4
96	9823	9827	9832	9836	9841	9845	9850	9854	9859	9863	0	1	1	2	2	3	3	4	4
97	9868	9872	9877	9881	9886	9890	9894	9899	9903	9908	0	1	1	2	2	3	3	4	4
98	9912	9917	9921	9926	9930	9934	9939	9943	9948	9952	0	1	1	2	2	3	3	4	4
99	9956	9961	9965	9969	9974	9978	9983	9987	9991	9996	0	1	1	2	2	3	3	3	4

Функции угла через 1°

Углы	Радианы	Хорды	Sin	Tang	Cotang	Cosin			
0°	0	0	0	0	∞	1	1,414	1,5708	90°
1	0,0175	0,17	0,175	0,175	57,2900	9998	1,402	1,5533	89
2	0,0349	0,35	0,349	0,349	28,6363	9994	1,389	1,5359	88
3	0,0524	0,52	0,523	0,524	19,0811	9986	1,377	1,5184	87
4	0,0698	0,70	0,698	0,699	14,3006	9976	1,364	1,5010	86
5	0,0873	0,87	0,872	0,875	11,4301	9962	1,351	1,4835	85
6	0,1047	1,05	1,045	1,051	9,5144	9945	1,338	1,4661	84
7	0,1222	1,22	1,219	1,228	8,1443	9925	1,325	1,4486	83
8	0,1396	1,39	1,392	1,405	7,1154	9903	1,312	1,4312	82
9	0,1571	1,57	1,564	1,584	6,3138	9877	1,299	1,4137	81
10	0,1745	1,74	1,736	1,763	5,6713	9848	1,286	1,3963	80
11	0,1920	1,92	1,908	1,944	5,1446	9816	1,272	1,3788	79
12	0,2094	2,09	2,079	2,126	4,7046	9781	1,259	1,3614	78
13	0,2269	2,26	2,250	2,309	4,3315	9744	1,245	1,3439	77
14	0,2443	2,44	2,419	2,493	4,0108	9703	1,231	1,3265	76
15	0,2618	2,61	2,588	2,679	3,7321	9659	1,217	1,3090	75
16	0,2793	2,78	2,756	2,867	3,4874	9613	1,204	1,2915	74
17	0,2967	2,96	2,94	3,057	3,2709	9563	1,190	1,2741	73
18	0,3142	3,13	3,090	3,249	3,0777	9511	1,176	1,2566	72
19	0,3316	3,30	3,256	3,443	2,9042	9455	1,161	1,2392	71
20	0,3491	3,47	3,420	3,640	2,7475	9397	1,147	1,2217	70
21	0,3665	3,64	3,584	3,839	2,6051	9336	1,133	1,2043	69
22	0,3840	3,82	3,746	4,040	2,4751	9272	1,118	1,1868	68
23	0,4014	3,99	3,907	4,245	2,3559	9205	1,104	1,1694	67
24	0,4189	4,16	4,067	4,452	2,2460	9135	1,089	1,1519	66
25	0,4363	4,33	4,226	4,663	2,1445	9063	1,075	1,1345	65
26	0,4538	4,50	4,384	4,877	2,0503	8988	1,060	1,1170	64
27	0,4712	4,67	4,540	5,095	1,9626	8910	1,045	1,0996	63
28	0,4887	4,84	4,695	5,317	1,8807	8829	1,030	1,0821	62
29	0,5061	5,01	4,844	5,543	1,8040	8746	1,015	1,0647	61
30	0,5236	5,18	5,000	5,774	1,7321	8660	1,000	1,0472	60
31	0,5411	5,34	5,150	6,009	1,6643	8572	985	1,0297	59
32	0,5585	5,51	5,299	6,249	1,6003	8480	970	1,0123	58
33	0,5760	5,64	5,446	6,494	1,5399	8387	954	9948	57
34	0,5934	5,85	5,592	6,745	1,4826	8290	939	9774	56
35	0,6109	6,01	5,736	7,002	1,4281	8192	923	9599	55
36	0,6283	6,18	5,878	7,265	1,3764	8090	908	9425	54
37	0,6458	6,35	6,018	7,536	1,3270	7986	892	9250	53
38	0,6632	6,51	6,157	7,813	1,2799	7880	877	9076	52
39	0,6807	6,68	6,293	8,098	1,2349	7771	861	8901	51
40	0,6981	6,84	6,428	8,391	1,1918	7660	845	8727	50
41	0,7156	7,00	6,561	8,693	1,1504	7547	829	8552	49
42	0,7330	7,17	6,691	9,004	1,1106	7431	813	8378	48
43	0,7505	7,33	6,820	9,325	1,0724	7314	797	8203	47
44	0,7679	7,49	6,947	9,657	1,0355	7198	781	8029	46
45	0,7854	7,65	7,071	10,000	1,0000	7071	765	7854	45

Cosin Cotang Tang Sin Хорды Радианы Углы:

Степени, корни и обратные величины целых чисел (1—100)

n	n^2	n^3	$\sqrt[n]{n}$	$\sqrt[3]{n}$	$\sqrt[4]{10n}$	$\sqrt[3]{10n}$	$\sqrt[3]{100n}$	$\frac{1}{n}$
1	1	1	1	1	3,162	2,154	4,642	1
2	4	8	1,414	1,260	4,475	2,714	5,848	5000
3	9	27	1,732	1,442	5,477	3,107	6,694	3333
4	16	64	2	1,587	6,325	3,420	7,368	2500
5	25	125	2,236	1,710	7,071	3,684	7,937	2000
6	36	216	2,449	1,817	7,746	3,915	8,434	1667
7	49	343	2,646	1,913	8,367	4,121	8,879	1429
8	64	512	2,828	2,000	8,944	4,309	9,283	1250
9	81	729	3,000	2,080	9,487	4,481	9,655	1111
10	100	1000	3,162	2,154	10,0	4,642	10,000	1000
11	121	1331	3,317	2,224	10,488	4,791	10,323	9091
12	144	1728	3,464	2,289	10,954	4,932	10,627	8333
13	169	2197	3,606	2,351	11,402	5,066	10,914	7692
14	196	2744	3,742	2,410	11,832	5,192	11,187	7143
15	225	3375	3,873	2,466	12,247	5,313	11,447	6667
16	256	4096	4,000	2,520	12,649	5,429	11,896	6250
17	289	4913	4,123	2,571	13,038	5,540	11,935	5882
18	324	5832	4,243	2,621	13,416	5,646	12,164	5556
19	361	6859	4,359	2,668	13,784	5,749	12,386	5263
20	400	8000	4,472	2,714	14,142	5,848	12,599	5000
21	441	9261	4,583	2,759	14,491	5,944	12,806	4762
22	484	10648	4,690	2,802	14,832	6,037	13,006	4545
23	529	12167	4,796	2,844	15,166	6,127	13,200	4348
24	576	13824	4,899	2,884	15,492	6,214	13,389	4167
25	625	15625	5,000	2,924	15,811	6,300	13,572	4000
26	676	17570	5,099	2,962	16,125	6,383	13,751	3846
27	729	19683	5,196	3,000	16,432	6,463	13,925	3704
28	784	21952	5,292	3,037	16,733	6,542	14,005	3571
29	841	24389	5,385	3,072	17,029	6,619	14,200	3448
30	900	27000	5,477	3,107	17,321	6,694	14,422	3333
31	961	29791	5,568	3,141	17,607	6,768	14,581	3226
32	1024	32768	5,657	3,175	17,889	6,840	14,736	3125
33	1089	35937	5,745	3,208	18,166	6,910	14,888	3030
34	1156	39304	5,831	3,240	18,439	6,980	15,037	2941
35	1225	42875	5,916	3,271	18,708	7,047	15,183	2857
36	1296	46656	6,000	3,302	18,974	7,114	15,326	2778
37	1369	50653	6,083	3,332	19,235	7,179	15,467	2703
38	1444	54872	6,164	3,362	19,494	7,243	15,605	2632
39	1521	59319	6,245	3,391	19,748	7,306	15,741	2564
40	1600	64000	6,325	3,420	20,00	7,368	15,874	2500
41	1681	68921	6,403	3,448	20,248	7,429	16,005	2439
42	1764	74088	6,481	3,476	20,494	7,489	16,134	2381
43	1849	79507	6,557	3,503	20,736	7,548	16,261	2326
44	1936	85184	6,633	3,530	20,976	7,606	16,384	2273
45	2025	91125	6,708	3,557	21,213	7,663	16,510	2222
46	2116	97336	6,782	3,583	21,448	7,719	16,631	2174
47	2209	103823	6,856	3,609	21,679	7,775	16,751	2128
48	2304	110592	6,928	3,634	21,909	7,830	16,869	2083
49	2401	117649	7,000	3,659	22,136	7,884	16,985	2041
50	2500	125000	7,071	3,684	23,361	7,937	17,100	20

Степени, корни и обратные величины

n	n^2	n^3	$\sqrt[n]{n}$	$\sqrt[3]{n}$	$\sqrt[4]{10n}$	$\sqrt[3]{10n}$	$\sqrt[3]{100n}$	$\frac{1}{n}$
51	2601	132651	7,141	3,708	22,583	7,990	17,313	01961
52	2704	140608	7,211	3,733	22,804	8,041	17,325	01923
53	2809	148877	7,280	3,756	23,022	8,093	17,435	01887
54	2916	157464	7,348	3,780	23,238	8,143	17,544	01852
55	3025	166375	7,416	3,803	23,452	8,193	17,652	01818
56	3136	175616	7,483	3,826	23,664	8,243	17,758	01786
57	3249	185193	7,550	3,849	23,875	8,291	17,863	01754
58	3364	195112	7,616	3,871	24,083	8,340	17,967	01724
59	3481	205379	7,681	3,893	24,290	8,387	18,070	01695
60	3600	216000	7,746	3,915	24,495	8,434	18,171	01667
61	3721	226981	7,810	3,936	24,698	8,481	18,272	01639
62	3844	238328	7,874	3,958	24,900	8,527	18,371	01613
63	3969	250047	7,937	3,979	25,100	8,573	18,469	01587
64	4096	262144	8,000	4,000	25,298	8,618	18,566	01562
65	4225	274625	8,062	4,021	25,495	8,662	18,663	01538
66	4356	287496	8,124	4,041	25,690	8,707	18,758	01515
67	4489	300763	8,185	4,062	25,884	8,750	18,852	01493
68	4624	314432	8,246	4,082	26,077	8,794	18,945	01471
69	4761	328509	8,307	4,102	26,268	8,837	19,038	01449
70	4900	343000	8,367	4,121	26,458	8,879	19,129	01429
71	5041	357911	8,426	4,141	26,646	8,921	19,220	01408
72	5184	373248	8,485	4,160	26,833	8,963	19,310	01389
73	5329	389017	8,544	4,179	27,019	9,004	19,399	01370
74	5476	405224	8,602	4,198	27,203	9,045	19,487	01351
75	5625	421875	8,660	4,217	27,386	9,086	19,574	01333
76	5776	438976	8,718	4,236	27,568	9,126	19,661	01316
77	5929	456533	8,775	4,254	27,749	9,166	19,747	01299
78	6084	474552	8,832	4,273	27,928	9,205	19,832	01282
79	6241	493039	8,888	4,291	28,107	9,244	19,916	01266
80	6400	512000	8,944	4,309	28,284	9,283	20,000	01250
81	6561	531441	9,000	4,327	28,460	9,322	20,083	01235
82	6724	551368	9,055	4,344	28,636	9,360	20,165	01220
83	6889	571787	9,110	4,362	28,810	9,398	20,247	01205
84	7056	592704	9,165	4,380	28,983	9,435	20,328	01190
85	7225	614125	9,220	4,397	29,155	9,473	20,408	01176
86	7396	636056	9,274	4,414	29,326	9,510	20,488	01163
87	7569	658503	9,327	4,431	29,496	9,546	20,567	01149
88	7744	681472	9,381	4,448	29,665	9,583	20,646	01136
89	7921	704969	9,434	4,465	29,833	9,619	20,724	01124
90	8100	729000	9,487	4,481	30,000	9,655	20,801	01111
91	8281	753571	9,539	4,498	30,166	9,691	20,878	01099
92	8464	778688	9,592	4,514	30,332	9,726	20,954	01087
93	8649	804357	9,644	4,531	30,496	9,761	21,029	01075
94	8836	830584	9,695	4,547	30,659	9,796	21,105	01064
95	9025	857375	9,747	4,563	30,822	9,830	21,179	01053
96	9216	884736	9,798	4,579	30,984	9,865	21,253	01042
97	9409	912673	9,849	4,595	31,145	9,899	21,327	01031
98	9604	941192	9,899	4,610	31,305	9,933	21,400	01020
99	9801	970299	9,950	4,626	31,464	9,967	21,472	01010
100	10000	1000000	10,000	4,642	31,623	10,000	21,544	01000

Таблица значений показательных и гиперболических функций

x	e^x	e^{-x}	$\operatorname{Sinh} x$	$\operatorname{Cosh} x$	x	e^x	e^{-x}	$\operatorname{Sinh} x$	$\operatorname{Cosh} x$
0,02	1,0202	9802	0200	1,0002	1,0	2,7183	3679	1,1752	1,543
0,04	1,0408	9603	0400	1,0008	1,1	3,0042	3329	1,3356	1,668
0,06	1,0618	9418	0600	1,0018	1,2	3,3201	3012	1,5095	1,810
0,08	1,0833	9231	0801	1,0032	1,3	3,6693	2725	1,6984	1,970
0,10	1,1052	9048	1002	1,0050	1,4	4,0552	2466	1,9043	2,150
0,11	1,1163	8958	1102	1,0061	1,5	4,4817	2231	2,1293	2,352
0,12	1,1275	8869	1203	1,0072	1,6	4,9530	2019	2,3756	2,5775
0,13	1,1388	8781	1304	1,0085	1,7	5,4739	1827	2,6456	2,828
0,14	1,1503	8694	1405	1,0098	1,8	6,0497	1658	2,9422	3,107
0,15	1,1618	8607	1506	1,0113	1,9	6,6859	1496	3,2682	3,417
0,16	1,1735	8521	1607	1,0128	2,0	7,3891	1353	3,6269	3,762
0,17	1,1853	8437	1708	1,0145	2,1	8,1662	1225	4,0219	4,1443
0,18	1,1972	8353	1810	1,0162	2,2	9,0250	1108	4,4571	4,567
0,19	1,2092	8270	1911	1,0181	2,3	9,9742	1003	4,9370	5,037
0,20	1,2214	8187	2013	1,0201	2,4	11,023	0907	5,4662	5,556
0,21	1,2337	8106	2115	1,0221	2,5	12,182	0821	6,0502	6,132
0,22	1,2461	8025	2218	1,0243	2,6	13,464	0743	6,6947	6,769
0,23	1,2586	7945	2320	1,0266	2,7	14,880	0672	7,4063	7,473
0,24	1,2712	7866	2423	1,0289	2,8	16,443	0608	8,1919	8,252
0,25	1,2840	7788	2526	1,0314	2,9	18,174	0550	9,0596	9,114
0,26	1,2969	7711	2629	1,0340	3,0	20,085	0498	10,018	10,068
0,27	1,3100	7634	2733	1,0367	3,1	22,198	0450	11,076	11,121
0,28	1,3231	7558	2837	1,0395	3,2	24,532	0408	12,246	12,287
0,29	1,3364	7483	2941	1,0423	3,3	27,113	0369	13,538	13,575
0,30	1,3499	7408	3045	1,0453	3,4	29,964	0334	14,965	14,999
0,31	1,3634	7335	3150	1,0484	3,5	33,115	0302	16,543	16,57
0,32	1,3771	7261	3255	1,0516	3,6	36,598	0273	18,285	18,313
0,33	1,3910	7189	3360	1,0550	3,7	40,447	0247	20,211	20,236
0,34	1,4050	7118	3466	1,0584	3,8	44,701	0224	22,339	22,362
0,35	1,4191	7047	3572	1,0619	3,9	49,402	0202	24,691	24,711
0,36	1,4333	6977	3678	1,0655	4,0	54,598	0183	27,290	27,308
0,37	1,4477	6907	3785	1,0692	4,1	60,340	0166	30,162	30,178
0,38	1,4623	6839	3892	1,0731	4,2	66,686	0150	33,336	33,351
0,39	1,4770	6771	4000	1,0770	4,3	73,700	0136	36,843	36,857
0,40	1,4918	6703	4107	1,0811	4,4	81,451	0123	40,719	40,732
0,41	1,5068	6636	4216	1,0852	4,5	90,017	0111	45,003	45,014
0,42	1,5220	6570	4325	1,0895	4,6	99,484	0100	49,737	49,747
0,43	1,5373	6505	4434	1,0939	4,7	109,95	00910	54,969	54,976
0,44	1,5527	6440	4543	1,0984	4,8	121,51	00823	60,751	60,759
0,45	1,5683	6376	4653	1,1030	4,9	134,29	00745	67,141	67,149
0,46	1,5841	6313	4764	1,1077	5,0	148,41	00674	74,203	74,210
0,47	1,6000	6250	4875	1,1125	5,1	164,02	00610	82,008	82,01
0,48	1,6161	6188	4986	1,1174	5,2	181,27	00552	90,633	90,639
0,49	1,6323	6126	5098	1,1225	5,3	200,34	00499	100,17	100,17
0,50	1,6487	6065	5211	1,1276	5,4	221,41	00452	110,70	110,71
0,6	1,8221	5488	6366	1,1855	5,5	244,69	00409	122,34	122,35
0,7	2,0138	4966	7546	1,2552	5,6	270,43	00370	135,21	135,21
0,8	2,2255	4493	8881	1,3374	5,7	298,87	00335	149,43	149,42
0,9	2,4596	4066	1.0265	1,4331	5,8	330,30	00303	165,15	165,15
					5,9	365,04	00274	182,52	182,52
					6,0	403,43	00248	201,71	201,72

Таблица значений функций e^{-x} для $x > 5,0$

x	e^x	x	e^x
5,0	$67,4 \cdot 10^{-4}$	26	$51,0 \cdot 10^{-13}$
6,0	$24,8 \cdot 10^{-4}$	27	$19,0 \cdot 10^{-13}$
7,0	$91,0 \cdot 10^{-5}$	28	$69,0 \cdot 10^{-14}$
8,0	$33,0 \cdot 10^{-5}$	29	$25,0 \cdot 10^{-14}$
9,0	$12,0 \cdot 10^{-5}$	30	$93,0 \cdot 10^{-15}$
10	$45,0 \cdot 10^{-6}$	31	$34,0 \cdot 10^{-15}$
11	$17,0 \cdot 10^{-6}$	32	$13,0 \cdot 10^{-15}$
12	$61,0 \cdot 10^{-7}$	33	$46,0 \cdot 10^{-16}$
13	$23,0 \cdot 10^{-7}$	34	$17,0 \cdot 10^{-16}$
14	$83,0 \cdot 10^{-8}$	35	$63,0 \cdot 10^{-17}$
15	$30,0 \cdot 10^{-8}$	36	$23,0 \cdot 10^{-17}$
16	$11,0 \cdot 10^{-8}$	37	$85,0 \cdot 10^{-18}$
17	$41,0 \cdot 10^{-9}$	38	$31,0 \cdot 10^{-18}$
18	$15,0 \cdot 10^{-9}$	39	$11,0 \cdot 10^{-18}$
19	$56,0 \cdot 10^{-10}$	40	$42,0 \cdot 10^{-19}$
20	$21,0 \cdot 10^{-10}$	41	$16,0 \cdot 10^{-19}$
21	$76,0 \cdot 10^{-11}$	42	$57,0 \cdot 10^{-20}$
22	$28,0 \cdot 10^{-11}$	43	$21,0 \cdot 10^{-20}$
23	$10,0 \cdot 10^{-11}$	44	$78,0 \cdot 10^{-21}$
24	$38,0 \cdot 10^{-12}$	45	$29,0 \cdot 10^{-21}$
25	$14,0 \cdot 10^{-12}$		

Ряды

а. Биномиальные ряды

Бином вида $(1 \pm x)^n$ при $x < 1$ и любом вещественном значении n представляется рядом

$$(1 \pm x)^n = 1 \pm \frac{n}{1} x + \frac{n(n-1)}{1 \cdot 2} x^2 \pm \frac{n \cdot (n-1)(n-2)}{1 \cdot 2 \cdot 3} x^3 + \dots$$

Если $n \geq 1$, то ряд конечный и имеет $(n+1)$ член

При $n < 1$, то ряд бесконечный.

В большинстве случаев достаточную точность можно получить, взяв 2 или 3 члена разложения, если x не превосходит некоторого определенного числа

$$\sqrt[3]{1 \pm x} = 1 + \frac{1}{2} x, \text{ абсолютная погрешность } \alpha < 0,01, \text{ если } x \leq 0,3$$

$$\sqrt[3]{1 \pm x} = 1 \pm \frac{1}{3} x, \alpha < 0,01, \text{ если } x \leq 0,3$$

$$\frac{1}{\sqrt[3]{1 \pm x}} = 1 \mp \frac{1}{2} x, \alpha < 0,01, \text{ если } x \leq 0,15$$

$$\frac{1}{\sqrt[3]{1 \pm x}} = 1 \mp \frac{1}{3} x, \alpha < 0,01, \text{ если } x \leq 0,2$$

$$\frac{1}{1 \pm x} = 1 \mp x, \quad \alpha < 0,01, \text{ если } x \leq 0,14$$

$$\frac{1}{(1 \pm x)^2} \approx 1 \mp 2x: \quad \alpha < 0,01, \quad \text{если } x \leq 0,08$$

$$\frac{1}{(1 \pm x)^3} \approx 1 \mp 3x \quad \alpha < 0,01, \quad x \leq 0,05$$

6. Показательные и логарифмические функции

$$e^x = 1 + x + \frac{x^2}{2!} + \frac{x^3}{3!} + \dots |x| < \infty$$

$$e^{\pm x} \approx 1 \pm x, \quad \text{причем } \alpha < 0,001, \text{ если } x \leq 0,06$$

$$e^{+x} \approx 1 + x + \frac{x^2}{2} \quad \dots \quad x \leq 0,11.$$

$$a^x = 1 + \ln a \cdot x + \frac{(\ln a)^2}{2!} x^2 + \frac{(\ln a)^3}{3!} x^3 + \dots |x| < \infty a > 0$$

$$\ln(1 \pm x) = \pm x - \frac{x^2}{2} \pm \frac{x^3}{3} - \dots - 1 < x < 1$$

$$\ln \frac{1+x}{1-x} = 2 \left(x + \frac{x^2}{3} + \frac{x^4}{5} + \dots \right) |x| > 1$$

$$\ln \frac{x+1}{x-1} = 2 \left(\frac{1}{x} + \frac{1}{3x^3} + \frac{1}{5x^5} + \dots \right) |x| > 1$$

$$\ln x = 2 \left[\frac{x-1}{x+1} + \frac{1}{3} \left(\frac{x-1}{x+1} \right)^3 + \frac{1}{5} \left(\frac{x-1}{x+1} \right)^5 + \dots \right] x > 0$$

В. Тригонометрические круговые и гиперболические функции

$$\sin x = x - \frac{x^3}{3!} + \frac{x^5}{5!} - \dots x < \infty$$

$$\cos x = 1 - \frac{x^2}{2!} + \frac{x^4}{4!} - \dots x < \infty$$

$$\operatorname{tg} x = x + \frac{x^3}{3} + \frac{2}{15} x^5 + \frac{17}{315} x^7 \quad -\frac{\pi}{2} < x < \frac{\pi}{2}$$

$$\operatorname{ctg} x = \frac{1}{x} - \frac{x}{3} - \frac{x^3}{45} - \frac{2}{945} x^5 \quad -\pi < x < \pi$$

приближенно $\sin x \approx x$, причем $\alpha < 0,001$, если $x \leq 0,12 \approx 6^\circ 46'$

" $\sin x \approx x - \frac{x^3}{6}$ " " " " $x \leq 0,74 \approx 42^\circ 37'$

" $\cos x \approx 1$ " " " " $x \leq 0,04 \approx 2^\circ 30'$

" $\cos x \approx 1 - \frac{x^2}{2}$ " " " " $x \leq 0,46 \approx 26^\circ 28'$

" $\operatorname{tg} x \approx x$ " " " " $x \leq 0,01 \approx 0^\circ 34$

" $\operatorname{tg} x \approx x + \frac{x^3}{3}$ " " " " $x \leq 0,43 \approx 24^\circ 28$

$$\arcsin x = x + \frac{x^3}{2 \cdot 3} + \frac{3x^5}{2 \cdot 4 \cdot 5} + \frac{3 \cdot 5 \cdot x^7}{2 \cdot 4 \cdot 6 \cdot 7} + \dots |x| \leq 1$$

$$\operatorname{arctg} x = x - \frac{x^3}{3} + \frac{x^5}{5} - \frac{x^7}{7} + \dots |x| \leq 1$$

$$\operatorname{sh} x = x + \frac{x^3}{3!} + \frac{x^5}{5!} + \dots |x| < \infty$$

$$\operatorname{ch} x = 1 + \frac{x^2}{2!} + \frac{x^4}{4!} + \dots |x| < \infty$$

Соотношения между круговыми, гиперболическими и показательными функциями в комплексной форме

$$\operatorname{sh} x = \frac{1}{2} (e^x - e^{-x}) \quad \operatorname{ch} x + \operatorname{sh} x = e^x$$

$$\operatorname{ch} x = \frac{1}{2} (e^x + e^{-x}) \quad \operatorname{ch} x - \operatorname{sh} x = e^{-x}$$

$$\operatorname{ch}^2 x - \operatorname{sh}^2 x = 1 \quad \operatorname{th} x = \frac{\operatorname{sh} x}{\operatorname{ch} x} = \frac{e^{2x} - 1}{e^{2x} + 1}$$

$$\operatorname{th} x - \operatorname{cth} x = 1$$

$$\begin{aligned} e^{ix} &= \cos x + i \sin x \\ e^{-ix} &= \cos x - i \sin x \end{aligned}$$

$$e^z = e^{x+iy} = e^x (\cos y + i \sin y) = r (\cos \theta + i \sin \theta),$$

где

$$r = e^x$$

и

$$\theta = y + 2k\pi$$

$$\sin x = \frac{1}{2i} (e^{ix} - e^{-ix}),$$

$$\cos x = \frac{1}{2} (e^{ix} + e^{-ix}),$$

$$\sin ix = i \operatorname{sh} x \quad \operatorname{sh} ix = i \sin x$$

$$\cos ix = \operatorname{ch} x \quad \operatorname{ch} ix = \cos x$$

$$\operatorname{tg} ix = i \operatorname{th} x \quad \operatorname{th} ix = i \operatorname{tg} x$$

$$\operatorname{ctg} ix = i \operatorname{cth} x \quad \operatorname{cth} ix = i \operatorname{ctg} x$$

При вещественных значениях x $\operatorname{sh} x$ принимает любые положительные и отрицательные значения $\operatorname{ch} x \geq 1$, $\operatorname{th}^2 x < 1$, $\operatorname{cth}^2 x > 1$.

При изменении знака аргумента x .

$$\operatorname{sh}(-x) = -\operatorname{sh} x \quad \operatorname{ch}(-x) = \operatorname{ch} x$$

Преобразование комплексного числа из одной формы в другую:

$$Z = a + bi = r(\cos y + i \sin y) = re^{-iy} = e^{x-iy},$$

где

$$r = \sqrt{a^2 + b^2},$$

$$\cos y = \frac{a}{r},$$

$$\sin y = \frac{b}{r},$$

$$x = \ln r$$

или

$$r = e^x.$$

Производные некоторых функций

$$(x^m)' = mx^{m-1}; (\sin x)' = \cos x; (\arcsin x)' = \frac{1}{\sqrt{1-x^2}}; (\operatorname{sh} x)' = \operatorname{ch} x$$

$$(e^x)' = e^x; (\cos x)' = -\sin x; (\arccos x)' = -\frac{1}{\sqrt{1-x^2}}; (\operatorname{ch} x)' = \operatorname{sh} x$$

$$(a^x)' = a^x \quad \ln a, (\operatorname{tg} x)' = \frac{1}{\cos^2 x}; \quad (\operatorname{arctg} x)' = \frac{1}{1+x^2}; \quad (\operatorname{th} x)' = \frac{1}{\operatorname{ch}^2 x}$$

$$(\ln x)' = \frac{1}{x}; \quad (\operatorname{ctg} x)' = -\frac{1}{\sin^2 x}; \quad (\operatorname{arcctg} x) = -\frac{1}{1+x^2}; \quad (\operatorname{cth} x)' = -\frac{1}{\operatorname{sh}^2 x}$$

$$a \ln x = \frac{1}{x \ln a}$$

$$d \ln \sin x = \operatorname{ctg} x dx$$

$$d \ln \cos x = -\operatorname{tg} x dx$$

$$d \ln \operatorname{tg} x = \frac{2dx}{\sin 2x}$$

$$d \ln \operatorname{ctg} x = -\frac{2dx}{\sin 2x}$$

$$d(x^r) = x^{r-1}(x \ln x \cdot dy + ydx).$$

Некоторые неопределенные интегралы

а. Интегралы простейших функций

$$\int x^n dx = \frac{x^{n+1}}{n+1} + C$$

для n — целого или дробного за исключением $= -1$.

$$\int \frac{dx}{x} = \ln x + C$$

$$\int a^x dx = \frac{a^x}{\ln a} + C$$

$$\int e^x dx = e^x + C$$

$$\int \sin x dx = -\cos x + C$$

$$\int \cos x dx = \sin x + C$$

$$\int \frac{dx}{\sin^2 x} = -\operatorname{ctg} x + C$$

$$\int \frac{dx}{\cos^2 x} = \operatorname{tg} x + C$$

$$\int \frac{dx}{\sqrt{1-x^2}} = \arcsin x + C = -\arccos x + C$$

$$\int \frac{dx}{1+x^2} = \operatorname{arctg} x + C = -\operatorname{arcctg} x + C$$

$$\int \operatorname{sh} x \cdot dx = \operatorname{ch} x + C$$

$$\int \operatorname{ch} x dx = \operatorname{sh} x + C$$

$$\int \frac{dx}{\operatorname{ch}^2 x} = \operatorname{th} x + C$$

$$\int \frac{dx}{\operatorname{sh}^2 x} = -\operatorname{cth} x + C$$

О П Е Ч А Т К И

<i>Страница</i>	<i>Строка</i>	<i>Напечатано</i>	<i>Должно быть</i>
214	2 сверху	(arcctg) x	(arcctg x)'
214	3 ..	$a \ln x =$	$(a \lg x)' =$

Справочник по рентгеном.

$$\int \frac{dx}{\sqrt{1+x^2}} = \operatorname{arsh} x + C = \ln(x + \sqrt{1+x^2}) + C$$

$$\int \frac{dx}{\sqrt{x^2-1}} = \operatorname{arch} x + C = \ln(x + \sqrt{x^2-1}) + C$$

$$\begin{aligned}\int \frac{dx}{1-x^2} &= \operatorname{arth} x + C = \frac{1}{2} \ln \frac{1+x}{1-x} + C = \operatorname{arcth} x + c = \\ &= \frac{1}{2} \ln \frac{x+1}{x-1} + c\end{aligned}$$

6. Интегралы рациональных функций

$$\int (a+bx)^n dx = \frac{(a+bx)^{n+1}}{(n+1)b} + C \quad (n \neq -1)$$

$$\int \frac{dx}{a+bx} = \frac{1}{b} \ln(a+bx) + C = \frac{1}{b} \ln C \cdot (a+bx)$$

$$\int \frac{x \cdot dx}{a+bx} = \frac{1}{b^2} [a+bx - a \ln(a+bx)] + C$$

$$\int \frac{x^2 dx}{a+bx} = \frac{1}{b^3} \left[\frac{1}{2} (a+bx)^2 - 2a(a+bx) + a^2 \ln(a+bx) \right] + C$$

$$\int \frac{dx}{x(a+bx)} = -\frac{1}{a} \ln \frac{a+bx}{x} + C$$

$$\int \frac{dx}{(a+bx)^2} = -\frac{1}{b(a+bx)} + C$$

$$\int \frac{x dx}{(a+bx)^2} = \frac{1}{b^2} \left[\ln(a+bx) + \frac{a}{a+bx} \right] + C$$

$$\int \frac{x^2 dx}{(a+bx)^2} = \frac{1}{b^3} \left[a+bx - 2a \ln(a+bx) - \frac{a^2}{a+bx} \right] + C$$

$$\int \frac{dx}{x(a+bx)^2} = \frac{1}{a(a+bx)} - \frac{1}{a^2} \ln \frac{a+bx}{x} + C$$

$$\int \frac{dx}{a^2+x^2} = \frac{1}{a} \operatorname{arctg} \frac{x}{a} + C$$

$$\int \frac{dx}{x^2} = -\frac{1}{x} + C.$$

$$\int \frac{dx}{1-x^2} = \frac{1}{2} \ln \frac{1+x}{1-x} + C = \operatorname{arth} x + C, \text{ если } x < 1.$$

$$\int \frac{dx}{x^2-1} = \frac{1}{2} \ln \frac{x-1}{x+1} + C = -\operatorname{Arcth} x + C, \text{ если } x > 1.$$

$$\int \frac{dx}{a+bx^2} = \frac{1}{\sqrt{a \cdot b}} \operatorname{arctg} \left(x \sqrt{\frac{b}{a}} \right) + C, \text{ если } ab > 0.$$

$$\int \frac{dx}{a-bx^2} = \frac{1}{2\sqrt{ab}} \ln \frac{\sqrt{ab}+bx}{\sqrt{ab}-bx} + C = \frac{1}{\sqrt{ab}} \operatorname{artanh} \left(x \sqrt{\frac{b}{a}} \right) + C,$$

если $ab < 0$.

в. Интегралы иррациональных функций

$$\int \sqrt{a+bx} dx = \frac{2}{3b} (\sqrt{a+bx})^3 + C.$$

$$\int \frac{dx}{\sqrt{a+bx}} = \frac{2}{b} \sqrt{a+bx} + C.$$

$$\begin{aligned} \int \frac{dx}{\sqrt{a^2-x^2}} &= \arcsin \frac{x}{a} + C = -\arccos \frac{x}{a} + \\ &+ C = 2 \operatorname{arc tg} \sqrt{\frac{a+x}{a-x}} + C. \end{aligned}$$

$$\begin{aligned} \int \frac{dx}{\sqrt{a^2+x^2}} &= \ln(x + \sqrt{a^2+x^2}) + C = \frac{1}{2} \ln \frac{x+\sqrt{a^2+x^2}}{-x+\sqrt{a^2+x^2}} + \\ &+ C = \operatorname{Arsh} \frac{x}{a} + C. \end{aligned}$$

$$\begin{aligned} \int \sqrt{a^2+x^2} dx &= \frac{x}{2} \sqrt{a^2+x^2} + \frac{a^2}{2} \ln(x + \sqrt{a^2+x^2}) + C = \\ &= \frac{x}{2} \sqrt{a^2+x^2} + \frac{a^2}{2} \operatorname{Arsh} \frac{x}{a} + C. \end{aligned}$$

$$\int \sqrt{a-x^2} dx = \frac{x}{2} \sqrt{a^2-x^2} + \frac{a^2}{2} \arcsin \frac{x}{a} + C.$$

$$\begin{aligned} \int \sqrt{x^2-a^2} dx &= \frac{x}{2} \sqrt{x^2-a^2} - \frac{a^2}{2} \ln(x + \sqrt{x^2-a^2}) + C = \\ &= \frac{x}{2} \sqrt{x^2-a^2} - \frac{a^2}{2} \operatorname{Arsh} \frac{x}{a} + C. \end{aligned}$$

г. Интегралы трансцендентных функций

$$\int x^n \cdot e^x dx = e^x [x^n - nx^{n-1} + n(n-1)x^{n-2} + \dots + (-1)^n n!].$$

$$\int \ln x dx = x \ln x - x + C.$$

$$\int (\ln x)^n dx = \int y^n e^y dy, \text{ где } y = \ln x.$$

$$\int x^n \cdot \ln x dx = \frac{x^{n+1}}{n+1} \ln x - \frac{x^{n+1}}{(n+1)^2} + C.$$

$$\int \frac{1}{x} \ln x dx = \frac{1}{2} (\ln x)^2 + C.$$

$$\int \frac{(\ln x)^n}{x} dx = \frac{1}{n+1} (\ln x)^{n+1} + C.$$

$$\int \frac{dx}{x \ln x} = \ln(\ln x) + C.$$

$$\int e^{nx} \ln x dx = x^{n+1} \left[\frac{\ln x}{n+1} - \frac{1}{(n+1)^2} \right] + C.$$

$$\int \sin^2 x dx = -\frac{1}{4} \sin 2x + \frac{1}{2} x + C.$$

$$\int \cos^2 x dx = \frac{1}{4} \sin 2x + \frac{1}{2} x + C.$$

$$\int \sin m \cdot x \, dx = -\frac{\cos mx}{m} + C.$$

$$\int \cos mx \cdot dx = \frac{\sin mx}{m} + C.$$

$$\int \operatorname{tg} x \cdot dx = -\ln \cos x + C.$$

$$\int \operatorname{ctg} x \cdot dx = \ln \sin x + C.$$

$$\int \frac{dx}{\sin x} = \ln \operatorname{tg} \frac{x}{2} + C.$$

$$\int \frac{dx}{\cos x} = \ln \operatorname{tg} \left(\frac{\pi}{4} + \frac{x}{2} \right) + C.$$

$$\int \frac{dx}{\operatorname{sh} x} = 2 \operatorname{arc th}(e^x) + C.$$

$$\int \frac{dx}{\operatorname{ch}_1 x} = 2 \operatorname{arc tg}(e^x) + C.$$

$$\int \frac{dx}{1 + \cos x} = \operatorname{tg} \frac{x}{2} + C.$$

$$\int \frac{dx}{1 - \cos x} = -\operatorname{ctg} \frac{x}{2} + C.$$

$$\int \sin x \cdot \cos x \cdot dx = \frac{1}{2} \sin^2 x + C.$$

$$\int \frac{dx}{\sin x \cdot \cos x} = \ln \operatorname{tg} x + C.$$

$$\int \sin^n x \, dx = -\frac{\cos x \cdot \sin^{n-1} x}{n} + \frac{n-1}{n} \int \sin^{n-2} x \cdot dx + C.$$

$$\int \cos^n x \, dx = \frac{\sin x \cdot \cos^{n-1} x}{n} + \frac{n-1}{n} \int \cos^{n-2} x \cdot dx + C.$$

$$\int \operatorname{tg}^n x \, dx = \frac{\operatorname{tg}^{n-1} x}{n-1} - \int \operatorname{tg}^{n-2} x \cdot dx + C.$$

$$\int \operatorname{ctg}^n x \, dx = -\frac{\operatorname{ctg}^{n-1} x}{n-1} - \int \operatorname{ctg}^{n-2} x \cdot dx + C.$$

$$\int \frac{dx}{\sin^n x} = -\frac{\cos x}{(n-1) \sin^{n-1} x} + \frac{n-2}{n-1} \int \frac{dx}{\sin^{n-2} x} + C.$$

$$\int \frac{dx}{\cos^n x} = \frac{\sin x}{(n-1) \cos^{n-1} x} + \frac{n-2}{n-1} \int \frac{dx}{\cos^{n-2} x} + C.$$

$$\int x^m \sin x \cdot dx = -x^m \cos x + m \int x^{m-1} \cos x \cdot dx + C.$$

$$\int x^m \cos x \cdot dx = x^m \sin x - m \int x^{m-1} \sin x \cdot dx + C.$$

$$\int e^{ax} \sin bx \cdot dx = \frac{a \sin bx - b \cos bx}{a^2 + b^2} \cdot e^{ax} + C.$$

$$\int e^{ax} \cos bx \cdot dx = \frac{a \cos bx + b \sin bx}{a^2 + b^2} \cdot e^{ax} + C.$$

$$\int \arcsin x \, dx = x \cdot \arcsin x + \sqrt{1-x^2} + C.$$

$$\int \arccos x \, dx = x \arccos x - \sqrt{1-x^2} + C.$$

$$\int \text{arc tg } x \, dx = x \text{ arc tg } x - \frac{1}{2} \ln(1+x^2) + C.$$

$$\int \text{arc ctg } x \, dx = \text{arc ctg } x + \frac{1}{2} \ln(1+x^2) + C.$$

Приближенное вычисление определенных интегралов

Для нахождения численного значения $\int_a^b f(x) \, dx$ промежуток (a, b) делится на n равных частей, ограниченных значениями $x_i = a + ih$, где $i = 0, 1, 2, \dots, (n-1)$ и $h = \frac{b-a}{n}$. При разделении промежутка (a, b) на $2n$ частей значения x , лежащие между x_{i-1} и x_i , обозначены через $x_{i-\frac{1}{2}}$. Значения функции $f(x_i)$ обозначены через y .

$$(1) \int_a^b f(x) \, dx = \frac{b-a}{n} [y_0 + y_1 + \dots + y_{n-1}] \quad (\text{Формула прямоугольников по недостатку})$$

$$(2) \int_a^b f(x) \, dx = \frac{b-a}{n} [y_1 + y_2 + \dots + y_n] \quad (\text{Формула прямоугольников по избытку})$$

$$(3) \int_a^b f(x) \, dx = \frac{b-a}{2n} [y_0 + 2y_1 + 2y_2 + \dots + 2y_{n-1} + y_n] \quad (\text{Формула трапеций})$$

$$(4) \int_a^b f(x) \, dx = \frac{b-a}{n} [y_{\frac{1}{2}} + y_{\frac{3}{2}} + \dots + y_{n-\frac{1}{2}}] \quad (\text{Формула касательных})$$

$$(5) \int_a^b f(x) \, dx = \frac{b-a}{2n} \left[\frac{y_0 + y_n}{4} - \frac{y_{\frac{1}{2}} + y_{n-\frac{1}{2}}}{4} + 2y_{\frac{1}{2}} + 2y_{\frac{3}{2}} + \dots + 2y_{n-\frac{1}{2}} \right] \quad (\text{Формула Понселе})$$

$$(6) \int_a^b f(x) \, dx = \frac{b-a}{6n} [y_0 + 4y_{\frac{1}{2}} + 2y_1 + 4y_{\frac{3}{2}} + 2y_2 + \dots + 2y_{n-1} + 4y_{n-\frac{1}{2}} + y_n] \quad (\text{Формула Симпсона})$$

О Г Л А В Л Е Н И Е

Стр.

Предисловие

3

Отдел I

ОБЩИЕ ФИЗИЧЕСКИЕ ВЕЛИЧИНЫ

§ 1. Единицы измерений	7
2. Соотношения между различными единицами измерений	7
3. Разные величины	11
4. Механические величины	12
5. Газы	13
6. Жидкости	18
7. Твердые тела	20
8. Оптические свойства тел	22
9. Таблицы атомных весов химических элементов	24

Отдел II

РЕНТГЕНОВСКАЯ АППАРАТУРА

1. Электротехнические величины и зависимости	31
2. Рентгеновские трубы и аппараты	48
3. Спектрометры	50
4. Рентгенометры	55

Отдел III

ОСНОВНЫЕ ПОНЯТИЯ, ТЕРМИНЫ И ОБОЗНАЧЕНИЯ В РЕНТГЕНОМЕТРИИ (СТАНДАРТЫ)

ОСТ ВКС 6350. Основные понятия, термины и обозначения в области рентгеновских лучей	67
ОСТ ВКС 7623. Единицы рентгеновского излучения	71
ОСТ ВКС 7770. Рентгенометрия	74

Отдел IV

РЕНТГЕНОВСКИЕ ЛУЧИ

§ 1. Рентгеновские спектры	81
2. Энергетические величины и соотношения	95
3. Поглощение и рассеяние рентгеновских лучей	96
4. Качество излучения	112
5. Действие рентгеновских лучей	119
6. Физическая доза и биологическое действие рентгеновских лучей	132
§ 7 Защита от рентгеновских лучей	142

219

Отдел V

РЕНТГЕНОВСКИЙ АНАЛИЗ

§ 1. Анализ поглощением	151
2. Качественный анализ	157
3. Количественный анализ	167
§ 4. Анализ структуры вещества	170
а) Метод Дебай-Шерер для поликристаллических агрегатов	170
б) Метод вращения кристаллов для монокристаллов	181
в) Метод Лауэ	183
г) Текстурдиаграммы	187
§ 5. Кристаллографические формулы	192
Приложение. Математические величины	203
